

U 1187 - 4011

Vysoká škola strojní a textilní v Liberci,
nositelka Řádu práce
Fakulta strojního inženýrství
Katedra materiálu a strojírenské metalurgie

TEPELNÉ ZPRACOVÁNÍ FOREM ZE SÁDROVÝCH SMĚSÍ
POUŽÍVANÝCH PŘI VÝROBĚ PŘESNÝCH ODLITKŮ

Kandidátská disertační práce

Číslo a název vědního oboru
23 - 07 - 9

Strojírenská technologie

Aspirant: Ing. Iva Nová

Školitel: Doc. Ing. Zdeněk Holubec, CSc

Liberec, červenec 1985

OBSAH		str. 2
Seznam symbolů		5
<u>Úvod</u>		8
a) Přehled o současném stavu problematiky tepelného zpracování a výroby forem ze sádrových směsi		9
b) Cíl disertační práce		19
 1.0 <u>Charakteristika forem ze sádrových formovacích směsí</u>		21
1.1 Fyzikální vlastnosti sádry		21
1.1.1 Rozdělení sádry		25
1.1.2 Vlastnosti sádry pro slévárenské účely		26
1.1.3 Tuhnutí a tvrdnutí sádry		28
1.2 Sádrové směsi		31
1.3 Formy ze sádrových směsí		36
1.3.1 Výroba forem ze sádrových směsí		37
 2.0 <u>Zákonitosti tepelného zpracování forem ze sádrových směsí</u>		39
2.1 Vlhkost sádrové formy		39
2.1.1 Vazby vody v sádrové formě		40
2.2 Vliv tepelného zpracování na vlastnosti forem ze sádrových směsí		42
2.2.1 Pohyb vody tepelně zpracovávanou formou		48
2.2.2 Odpařování vody s povrchu formy ze sádrové směsi		49
2.3 Zákonitosti přenosu tepla při tepelném zpracování forem ze sádrových směsí		50
2.3.1 Přenos tepla mezi formou a sušící atmosférou		50
2.3.2 Přenos tepla vedením v sádrové formě		51
2.4 Fyzikálně chemický popis tepelného zpracování sádrových forem		52
2.4.1 Přenos vody při tepelném zpracování sádrových forem		54
2.4.2 Termodynamický popis tepelného zpracování sádrových forem		55
 3.0 <u>Vlastnosti vlhkého vzduchu v procesu sušení sádrových forem</u>		59
3.1 Fyzikální vlastnosti vzduchu		60
3.1.1 Diagram vlhkého vzduchu		61
3.1.2 Změny stavu vzduchu v procesu sušení		61

3.2	<u>Princip činnosti vzduchové sušárny</u>	63
4.0	<u>Odlitky získané litím do forem ze sádrových směsí</u>	66
5.0	<u>Experimentální sledování tepelného zpracování forem ze sádrových směsí</u>	68
5.1	Návrh metodiky sledování tepelného zpracování sádrových forem v laboratorních podmínkách	68
5.2	Návrh měřícího zařízení pro sledování tepelného zpracování sádrových forem	71
5.2.1	Požadavky na měřící zařízení	71
5.2.2	Popis měřícího zařízení	72
5.2.3	Měření teploty	73
5.2.4	Postup při termogravimetrickém měření vzorků sádrových forem	76
5.2.5	Příprava vzorků pro termogravimetrická měření	78
5.3	Přehled termogravimetrických měření vzorků při sledování tepelného zpracování sádrových forem	80
5.3.1	Vyhodnocení naměřených hodnot	81
5.3.1.1	Závislost poměrného zbytku hmotnosti vzorku na teplotě	81
5.3.1.2	Vyhodnocení rozdílů teplot mezi povrchem a středem vzorku v závislosti na čase	85
5.3.2	Shrnutí výsledků a jejich praktické využití v technické praxi	89
5.3.3	Termogravimetrické měření vzorků ze sádrových směsí prováděná na VŠCHT Praha	91
5.4	Porovnání získaných výsledků měření na VŠST a VŠCHT	92
5.5	Zhodnocení navrženého postupu termogravimetrických měření vzorků forem při jejich tepelném zpracování	93
5.6	Sledování vlivu tvarového a velikostního činitele sádrových forem při jejich tepelném zpracování	94
5.6.1	Návrh nomogramu pro tepelné zpracování forem ze sádrových směsí nenaopřených	97
5.6.1.1	Příklady odečítání z nomogramu	98
5.6.2	Shrnutí výsledků sledování vlivu tvarového a velikostního činitele sádrových forem	100
6.0	<u>Výpočtové a experimentální metody použité při sledování tepelného zpracování sádrových forem</u>	103
6.1	Aplikace fyzikálně chemických výpočtů pro reakce probíhající v sádrové formě při jejím tepelném zpracování	103

6.1.1	Aplikace výpočtu pro alabastrovou sádru	106
6.1.2	Aplikace výpočtu pro stavební sádru	108
6.1.3	Zhodnocení výpočtů	109
6.2	Experimentální stanovení fází soustavy $\text{CaSO}_4 - \text{H}_2\text{O}$	112
6.2.1	Druhy hodnocených sádrových směsí	114
6.2.2	Výsledky rozborů sledovaných sádrových směsí	114
6.2.3	Zhodnocení výsledků rozboru sádrových směsí	116
7.0	<u>Návrh a ověření režimu tepelného zpracování sádrových forem a zhodnocení získaných odlitků</u>	118
7.1	Výroba a tepelné zpracování sádrových forem pro zhotovení odlitků tvaru desky	118
7.1.1	Režim tepelného zpracování sádrových forem	120
7.1.2	Rozměrová a tvarová přesnost získaných odlitků a drsnost jejich povrchu	122
7.2	Výroba a tepelné zpracování forem ze sádrových směsí pro výrobu odlitků používaných v moderní radiotechnice	123
7.2.1	Příprava forem, jader a jejich tepelné zpracování	124
7.3	Zhodnocení režimů tepelného zpracování sádrových forem a získaných odlitků	126
8.0	<u>Diskuse výsledků</u>	128
9.0	<u>Závěr</u>	133
10.0	<u>Seznam použité literatury</u>	138

Seznam symbolů

A_n	- konstanta
C	- koncentrace
C_1	- průměrná koncentrace vody v sádrové formě
C_2	- průměrná koncentrace vody v sušici atmosféře
C_p	- tepelná kapacita $/J \cdot mol^{-1} \cdot K^{-1}$
ΔG	- zněna Gibbsovy energie $/J$
ΔH_{298}^0	- změna entalpie za standardních podmínek $/J$
I_m	- intenzita toku vody vlivem hmotnostního spádu $/kg \cdot m^{-2} \cdot s^{-1}$
I_s	- intenzita tepelného zpracování sádrových dílů $/kg \cdot m^{-2} \cdot s^{-1}$
I_t	- intenzita toku vody vlivem teplotního spádu $/kg \cdot m^{-2} \cdot s^{-1}$
I_w	- intenzita toku vody v sádrovém dílu $/kg \cdot m^{-2} \cdot s^{-1}$
M_{sv}	- množství suchého vzduchu
Q_{FA}	- množství tepla obsažené v látce před sušením $/J$
Q_{FB}	- množství tepla obsažené v látce po sušení $/J$
Q_{LA}	- množství tepla vzduchu před vstupem do sušárny $/J$
Q_{LB}	- množství tepla vzduchu na výstupu ze sušárny $/J$
Q_{OHR}	- množství tepla přivedené ohříváčem $/J$
Q_{VE}	- množství tepla vzniklé prací ventilátoru $/J$
Q_{ZTR}	- energetické ztráty $/J$
R	- redukovaná tloušťka formy $/m$
S	- plocha sádrového dílu $/m^2$
ΔS_{298}^0	- změna entropie při standardních podmínkách $/J \cdot K^{-1}$
T	- teplota $/K, {}^\circ C$
T	- změna teploty
T_1	- teplota atmosféry při tepelném zpracování sádrových dílů $/{}^\circ C$
T_2	- teplota povrchu sádrového dílu $/{}^\circ C$
T_3	- teplota ve středu sádrového dílu $/{}^\circ C$
T_s	- teplota vzduchu při sušení $/{}^\circ C$
T_m	- teplota vlhkého sádrového dílu $/{}^\circ C$
T_{vyl}	- teplota vnitřku sádrového dílu $/{}^\circ C$
T_w	- teplota vody $/{}^\circ C$
V	- objem sádrového dílu $/m^3$
X	- měrná vlhkost vzduchu $/kg \cdot kg_{sv}^{-1}$
X_m	- měrná vlhkost vzduchu na povrchu sádrového dílu $/kg \cdot kg_{sv}^{-1}$
X_v	- měrná vlhkost atmosféry tepelného zpracování $/kg \cdot kg_{sv}^{-1}$
a	- součinitel tepelní vodivosti $/m^2 \cdot K^{-1}$
c	- měrné teplo $/J \cdot kg^{-1} \cdot K^{-1}$

- d - tepelný obsah /J.kg⁻¹/
 Δd - změna tepelného obsahu /J.kg⁻¹/,
 a' - součinitel vlhkostní vodivosti vlivem teplotního spádu
 /K⁻¹/,
 dq - přírůstek tepla za časový okamžik /J.s⁻¹/,
 q' - měrný tepelný tok /W.m⁻²/,
 q - měrný tepelný výkon /W.m⁻²/,
 j - entalpie vzduchu /J.kg⁻¹/,
 j_A - entalpie vzduchu na vstupu do sušárny /J.kg⁻¹/,
 j_B - entalpie vzduchu na výstupu ze sušárny /J.kg⁻¹/,
 k - součinitel vlhkostní vodivosti vlivem vlhkostního spádu
 /m².s⁻¹/,
 lo - počáteční délkový rozměr
 Δl - změna délkového rozmezru
 m - hmotnost /kg/
 m_{FA} - hmotnost látky před sušením /kg/
 m_{FB} - hmotnost látky po sušení /kg/
 m_{LA} - hmotnost vzduchu vstupujícího do sušárny /kg/
 m_{LB} - hmotnost vzduchu vystupujícího ze sušárny /kg/
 m_{kon} - konečná hmotnost sádrového dílu po tepelném zpracování /kg/
 m_{poč} - počáteční hmotnost sádrového dílu před tep. zpracováním
 /kg/
 m_{sv} - hmotnost suchého vzduchu
 m_y - okamžitá hmotnost sádrového dílu při tep. zpracování /kg/
 m_w - hmotnost vody v sádrovém dílu
 m_x - úbytek hmotnosti sádrového dílu při tepel. zpracování/kg/
 n - počet úseků dělení sádrového dílu /l/
 p_{pM} - parciální tlak vodní páry nad sádrovým dílem při teplotě
 jeho mokrého povrchu /MPa/
 p_{pp} - parciální tlak vodní páry v atmosféře tep. zpracování /MPa/
 p_{p''} - parciální tlak nasycené vodní páry /MPa/
 t - čas
 u - měrná vlhkost sádrového dílu %/
 u_{poč} - u₁, počáteční měrná vlhkost sádr. dílu %/
 u_{kr} - kritická měrná vlhkost sádrového dílu %/
 v - rychlosť tepelného zpracování /kg.h⁻¹, g.s⁻¹/
 w - vlhkost sádrového dílu (dříve označovaná jako relativní
 vlhkost) %/

- x, y, z - souřadnice místa
 α - součinitel přestupu tepla /W.m⁻².K⁻¹/,
 β - součinitel přestupu vody dotykem /J.K⁻¹.s⁻¹/,
 β_p - součinitel přenosu vody vztažený na rozdíl parciálních tlaků
 β_x - součinitel přenosu vody vztažený na rozdíl měrných vlhkostí
 ρ_{kon} - měrná hmotnost /kg.m⁻³/
 ρ_{MS} - střední měrná hmotnost sádrového dílu po tepelném zpracování /kg.m⁻³/
 ρ_p - měrná hmotnost páry
 ρ_p'' - měrná hmotnost nasycené vodní páry /kg.m⁻³/
 φ - relativní vlhkost /l/
 χ - součinitel úměrnosti tepelného zpracování sádrového dílu /g.h⁻¹/
 χ_1 - součinitel úměrnosti tepelného zpracování sádrového dílu vztažený na jednotkový povrch /g.h⁻¹.cm⁻²/
 λ - tepelná vodivost /W.m⁻¹.K⁻¹/
 Fo - Fourierovo číslo ($Fo = \frac{a \cdot t}{(s/2)^2}$)
 Au - napařovaný sádrový vzorek zlatem
 SEM - řádkovací elektronový mikroskop
 $VŠCHT$ - Vysoká škola chemicko technologická (v Praze)
 $VÚSH$ - Výzkumný ústav stavebních hmot (v Brně)

Ú V O D

Jedním z hlavních úkolů našeho průmyslu je neustálé zvyšování strojirenské výroby se snižujicími se náklady na suroviny a energii.

Probiehající vědeckotechnický rozvoj socialistické výroby je založen na vývoji techniky a plném využití poznatků vědeckotechnického pokroku ve výrobní praxi.

S l é v á r e n s t v í, které je dôležitou součástí strojirenské výroby se orientuje na takové druhy technologií, které umožňují snížit spotřebu energie, kovů a pracnost ve strojirenské výrobě. Jedná se především o růst výroby odlitrků s vyšší rozměrovou a tvarovou přesností. Jednou z těchto metod je odlévání do forem ze sádrových formovacích směsí. Současná slévárenská technologie klade na tyto formy vysoké požadavky. Základním požadavkem je nejen sledování minimální změny rozměrů, praskání při tepelném zpracování, prodyšnost, vývin par a plynů při odlévání roztaveného kovu, ale i jiné. U odlitrků, které získáváme z těchto forem, požadujeme nejen velmi vysokou hladkosť povrchu, kvalitu, ale také rozměrovou přesnost. Tyto uvedené požadavky lze zajistit řešením mnoha úkolů týkajících se fyzikálněchemických a slévárenských vlastností sádry a zejména sádrových formovacích směsí (sádrových směsí).

Jedním z těchto úkolů je také dokonalé prozkoumání procesu tepelného zpracování forem ze sádrových směsí. Tímto směrem je zaměřena i tato práce, a to na děje, které probíhají při tepelném zpracování (sušením a žíháním) forem ze sádrových směsí.

a) Přehled o současném stavu problematiky tepelného zpracování a výroby forem ze sádrových směsí.

Při odlévání tekutého kovu do formy ze sádrové formovací směsi (sádrové formy) dochází na rozhraní forma - kov k intenzivnímu odpařování vlhkosti obsažené v této formě, nebo k uvolňování některých plynných podílů formovací směsi, které vznikají jejím tepelným rozkladem. Z tohoto důvodu je nutno tyto formy tepelně zpracovávat (sušit a žíhat).

První etapa tepelného zpracování - sušení - probíhá při teplotě do 200°C v sušárnách a odstraňuje se převážně voda volná (kapilární), která je určena tak zvaným vodním poměrem (množstvím rozdělávací vody) a z části voda vázaná.

Druhé etapa tepelného zpracování - žihání - se provádí při teplotě nad 200°C v komorevých pecích, kdy se odstraňuje voda vázaná (voda krystalická) obsažená v dihydrátu nebo polohydrátu síraná vápenatého.

V zahraničí se používá pro komplexní výrobu sádrových forem metoda ANTIPOCH nebo BENDIX / 28, 44 /.

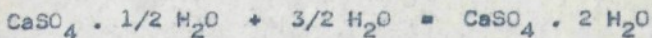
Metoda ANTIPOCH

Je proces výroby predyšných sádrových forem s fázovou přeměnou síranu vápenatého, který je známý pod názvem Antioch Process a byl vyvinutý na Antioch College Rellow Springs, Ohio, USA roku 1930.

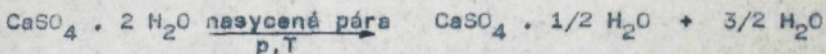
Z fyzkkálněchemického hlediska se dá proces výroby predyšných sádrových forem rozdělit do 4 stádií. / 28 /.

A) Pájení - spočívá v tom, že získáme spojením polohydrátu síranu vápenatého ($\text{CaSO}_4 \cdot 1/2 \text{H}_2\text{O}$) a vody

dihydrát síranu vápenatého ($\text{CaSO}_4 \cdot 2 \text{H}_2\text{O}$)

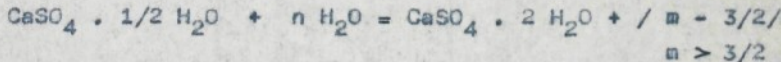


- B) Pak zahříváme dihydrát síranu vápenatého v atmosféře nasycené páry při teplotě $110 - 117^\circ\text{C}$, vzniká opět polohydrát síranu vápenatého, protože dihydrát je při této teplotě termodynamicky nestabilní.



V sádrové formě, ve které je pojivem dihydrát vápenatý, pak v autoklávu zůstává voda uvolněná přeměnou dihydrátu síranu vápenatého ve formě a rozpouštění v sobě polohydrát až do nasycení.

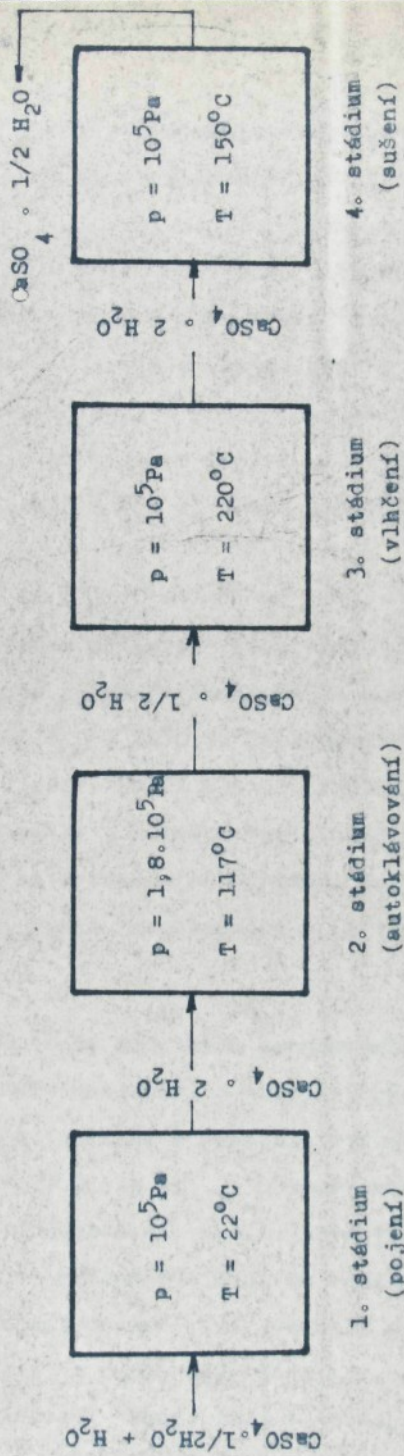
- C) Po dobu 6 - 8 hodin pobytu formy v autoklávu se forma ochlazuje ve vlhké atmosféře a probíhá chemická reakce:



Povrch formy se ochladi rychleji než její vnitřek, proto se vylučují ve vrstvách na povrchu jemné krystalky dihydrátu síranu vápenatého a ve vnitřku formy hrubé krystaly. Vznikne forma s jemnozrným povrchem a písčitým vnitřkem, což má za následek zvýšení její prodyšnosti, ta se pohybuje od 50 až do 150 n.j.p.

- D) Pak probíhá sušení při teplotě 150°C a tlaku 0,1 MPa, opět vzniká polohydrát síranu vápenatého.

Schématické neznačení tohoto procesu je patrné z obrázku 1.



Schemata metod Antioch

Metoda ANTIPOCH představuje dvoufázový proces komplexní výroby sádrových forem, kdy se získává jejich vysoká průděnosť a nízký obsah vody. V první fázi se forma napařuje v autoklávu s 7 - 9 hodin v syté vodní páře o tlaku 0,1 MPa, jak je schematicky popsáno v bodu A). Ve druhé fázi se forma ponořuje do vody a nechá se 16 hodin v klidu, při čemž proběhne překrystallizace polohydrátu siranu vápenatého na dihydrát. Pak se forma dosouší pomalým ohřevem na teplotu 100, 150, 200 až 300°C po dobu 10 - 15 hodin a pak se ihned provádí odlévání.

Metoda BENDIX / 44 /

Další metodou celkové výroby sádrových forem je metoda Bendix. Forma se po ztuhnutí nechá 24 hodin odstát na vzduchu za normální teploty (20°C). Za tuhé dobu proběhnou některé hydrtatační dilatace. Další postup spočívá v tepelném zpracování nejrůznějších cyklů v rozmezí teplot 230 - 400°C po dobu 16 hodin, lišících se zkušenostmi výrobců. Takto tepelně zpracovaná forma se nechá pomalu vychladnout a je také připravena k odlévání.

Studium procesu tepelného zpracování sádrových forem, provedené na katedře materiálů a strojírenské metalurgie Vysoké školy strojní a textilní v Liberci, vycházelo z metody Bendix. / 20, 21, 22 /. Ukázalo se, že připravované sádrové formy je nutno tepelně zpracovávat, sušit v běžných sušárnách do teploty 200°C a žihat v komorové peci do teploty 400°C . Dále bylo zjištěno, že každá použitá sádrová směs a z ni vyrobená sádrová forma má vlastní režim tepelného zpracování. Celková doba tepelného zpracování těchto form se pohybuje v rozmezí od 24

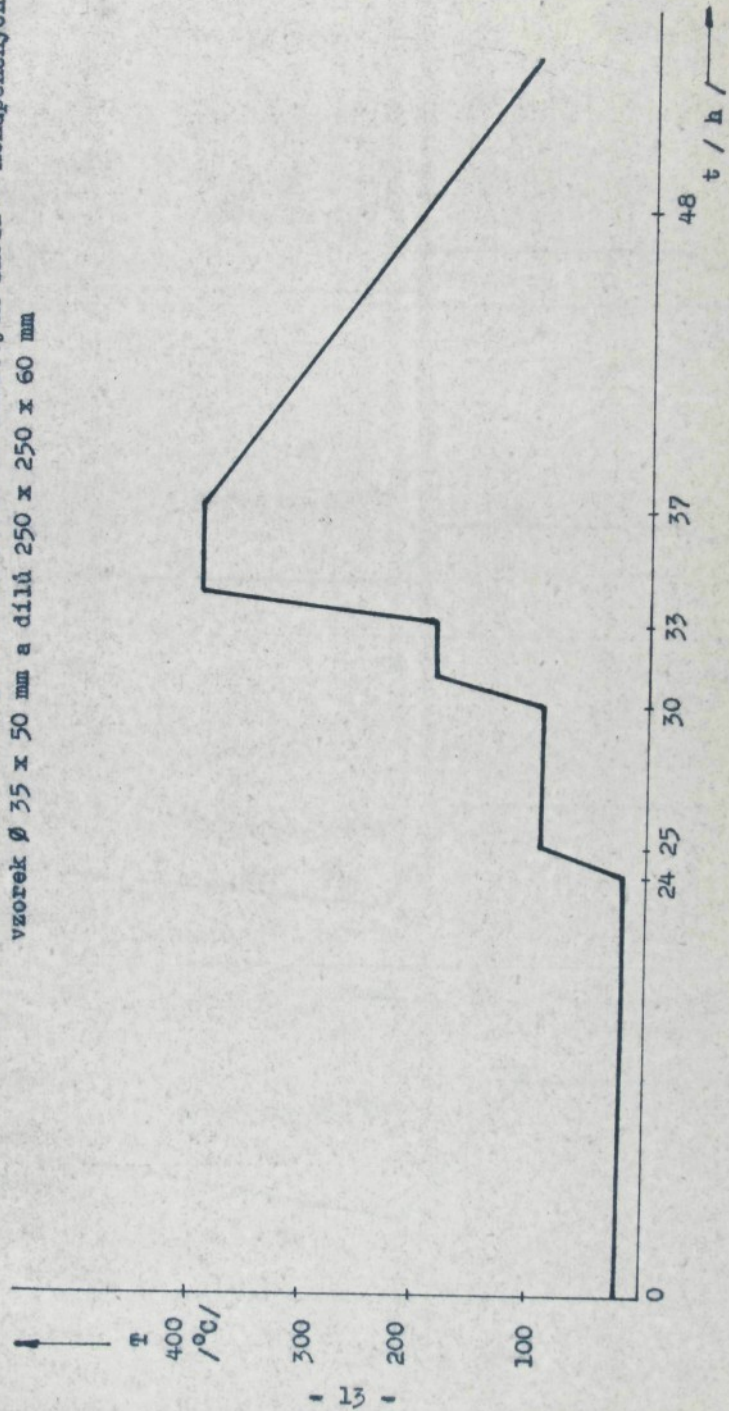
do 72 hodin podle velikosti a členitosti event. podle obsahu rozdělávací vody použité při přípravě formy. Na obrázku 2 je znázorněn režim tepelného zpracování forem z nenařízené sádrové směsi, tvořené 50 % hmotnostních dílů alabastrové sádry a 50 % hmotnostních dílů stavební sádry. Vhodnost takto navrženého cyklu tepelného zpracování byla sledována na sádrových vzorcích Ø 35 x 50 mm a na formách 250 x 250 x 60 mm. Z těchto forem byly získány odlitky, které byly rozměrově vyhodnoceny a byla zhodnocena jakost povrchu.

Dále byl proveden návrh režimu tepelného zpracování pro formovací směs Garasin, která je podle domněnek tvořena asi 30 hmotnostními díly křemičitého písku, zbytek tvoří sádra a příměsi, avšak výrobce Dentál, n.p., žádání složení neuveřejňuje. Dnes již se tato formovací směs nevyrábí. Režim tepelného zpracování forem z Garasina byl prováděn na vzorcích Ø 35 x 50 mm, Ø 50 x 50 mm, 22,5 x 22,5 x 170 mm a na formách 250 x 250 x 60 mm. Tepelné zpracování bylo započato 24 hodin po výrobě forem v sušárně o příkonu 3 kW s automatickou regulací. Ve 24 hodinových intervalech byly pak jednotlivé sádrové díly, resp. formy ohřáté na zvolenou teplotu. Žihání na teplotu 600 - 700°C se provádělo v elektrické peci po přemístění dílů ze sušárny maximální teploty 150°C, aby nedošlo k jejich popraskání / 20 /.

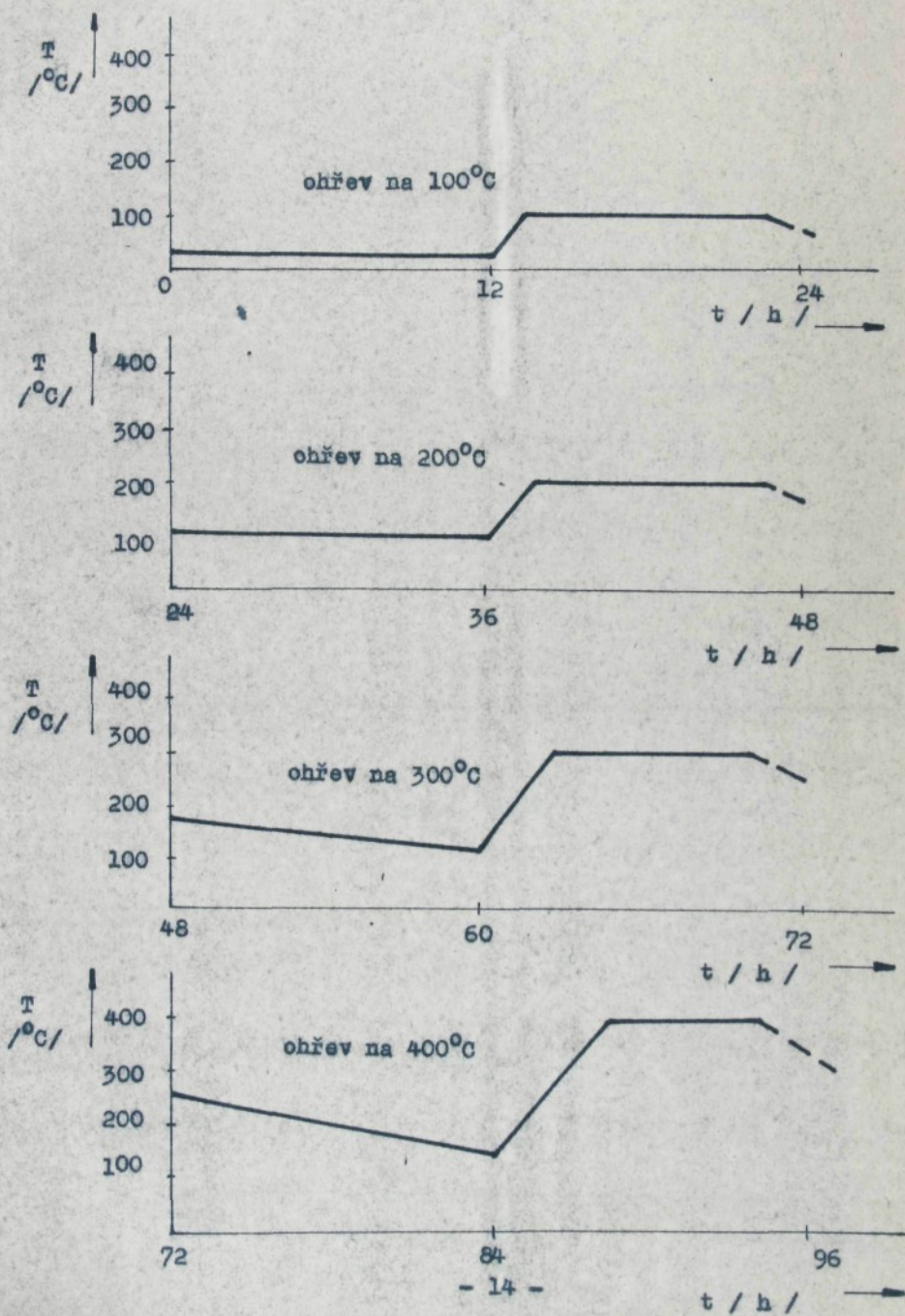
Podmínky tepelného zpracování těchto dílů, resp. průběh tepelného zpracování je patrný z obrázku 3. Jednotlivé části tepelného zpracování jsou označovány nejvyšší dosaženou teplotou v peci. Ohřev je prováděn stupňovitě. Takto zvolený režim byl realizován pro konkrétní tvar a velikost formy / 21 /, bližší informace tato literatura neuvédí.

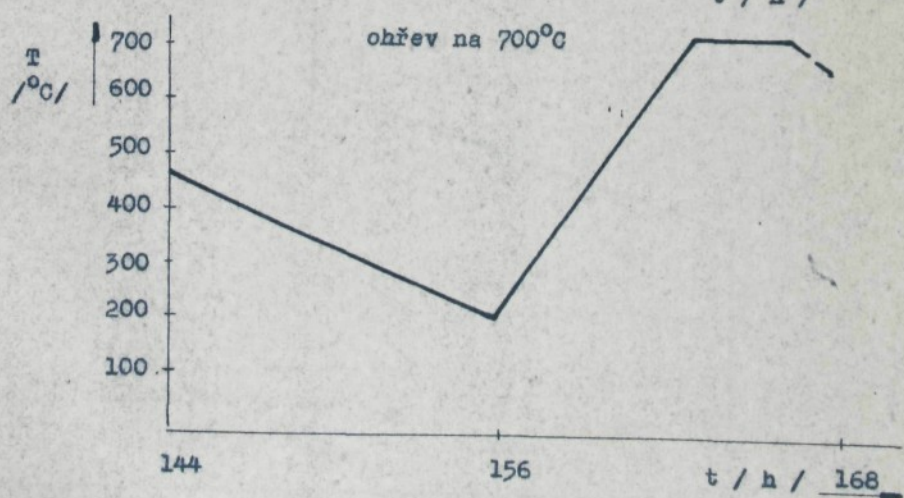
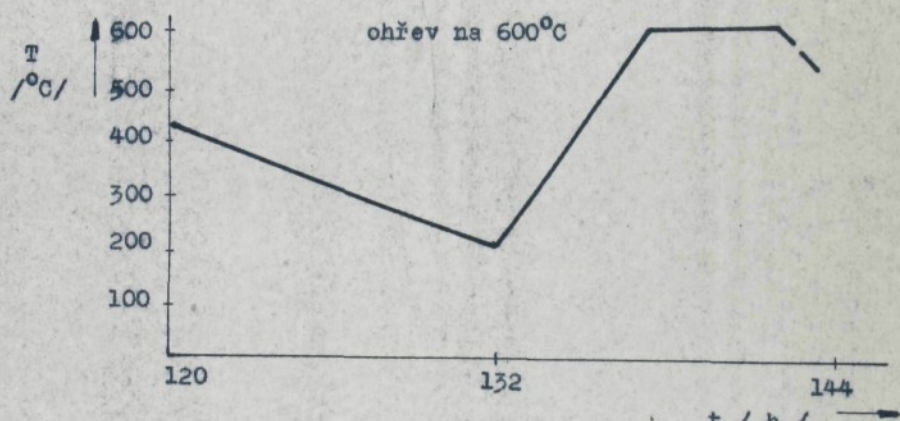
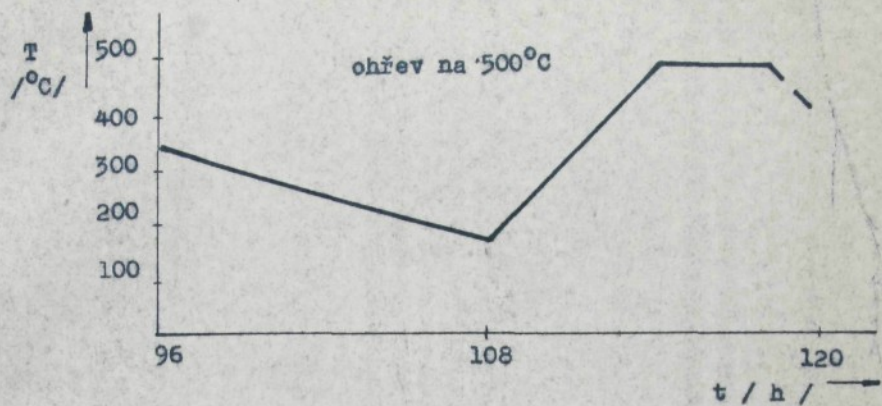
Zvláštní skupinu sádrových forem tvoří t.zv. napěněné formy,

Obr. 2 Režim tepelného zpracování forem ze sádrových směsí - nenařených
vzorek $\varnothing 35 \times 50$ mm a dílu $250 \times 250 \times 60$ mm

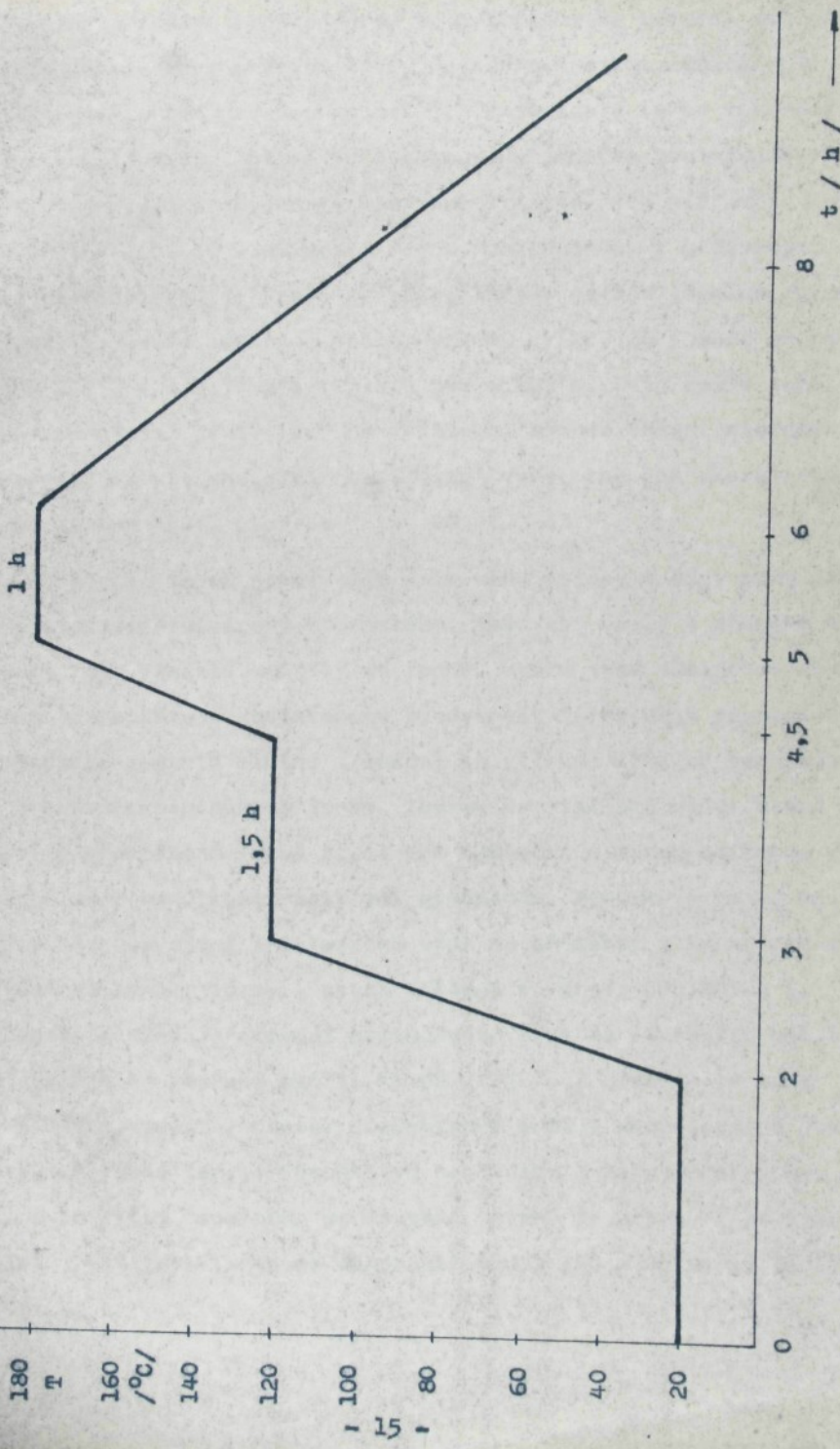


Obr. 3 Režim tepelného zpracování forem 250 x 250 x 60 mm
ze sádrové směsi GARASIN





Obr. 4 Režim tepelného zpracování sádrových dílů z napěněných směsí



Podstatou přípravy těchto forem je poznatek, že přisada malého množství povrchově aktivní látky do sádrové směsi způsobi při jejím rozdělávání s vodou napěnění. Po ztuhnutí takto vyrobených směsi vzniká hmota, která je prostoupena jemnými bublinkami, čímž se zvyšuje její prodyšnost. Vlastnosti napěněných sádrových forem se výrazně liší od vlastnosti forem nenapěněných (prodyšnost, malá hmotnost atd.). Proto se tímto liší i jejich tepelné zpracování. Napěněné formy se podle výzkumu / 22, 33 / suší na teplotě 120°C a žíhají při teplotě $180 - 200^{\circ}\text{C}$. Celý režim tepelného zpracování je závislý na velikosti těchto forem, složení formovací směsi, množství rozdělávací vody, tak jak ukazují výzkumné zprávy VŠST, Liberec / 19, 20, 22, 33 /.

U těchto forem stačí odstranit vodu volnou a část vody vězané z dihydrátu siranu vápenatého, tak, aby došlo k přeměně na polihydrát. Vzniklé kanálky ve formě, které jsou důsledkem napěnění a zajišťují dostatečnou prodyšnost formy, mají za následek, že použitá teplota žíhání a sušení se výrazně liší od tepelného zpracování nenapěněných forem. Zbytek krystalické vody, která zůstala v napěněné formě stačí při odlévání z formy uniknout v podobě páry kanálkami vzniklými napěněním. Naopak je možno usuzovat, že zbývající krystalická voda má příznivý vliv na ochlazovací schopnost formy (ústní sdělení s. prof. ODSTRČILA). Režim tepelného zpracování napěněných forem ze sádrových směsi nejrůznějšího složení ověřil MIKUŠ / 33 /. Pro sádrovou směs 50 % hmotnostních jednotek alabestrové a 50 % hmotnostních jednotek stavební sádry, respektive pro formy z ní vyrobené, byl stanoven režim tepelného zpracování, který je patrný z obrázku 4. Rozměr použitých forem se pohyboval $150 \times 150 \times 30$ mm až $250 \times 250 \times 60$ mm.

Ověřeny průběh tepelného zpracování na konkretních dílech se skládá ze sušení, které se provádí na vzduchu při teplotě 20°C po dobu 2 hodin, a vlastní sušení se provádí na teplotě 120°C po dobu 2,5 hodiny, kdy hmotnostní úbytek čini 40 % původní hmotnosti formy.. Žihání se provádí při teplotě 160°C po dobu 1 hodiny. Celkový úbytek hmotnosti napěněné formy se pohybuje od 42 - 45 % původní hmotnosti.

Tyto výzkumy ukázaly, že správně stanovený režim tepelného zpracování nahrazuje technologicky a energeticky náročný proces výroby form - metodu ANTIOCH, event. BENDIX.

Dostupná zahraniční literatura se zabývá výzkumem a zdokonalováním převážně metody ANTIOCH. Při této příležitosti byla studována soustava $\text{CaSO}_4 - \text{H}_2\text{O}$ a fázové přeměny síranu vápenatého. Ukázalo se, že ohřev síranu vápenatého nesmí být spojen s chemickou reakcí / 28 /. Dále velký důraz se klade na teplotu, při vysoké teplotě kolem 960°C dochází k rozkladu síranu vápenatého na oxid vápenatý a oxid sirový. Některé přísady v sádře (hlavní složky sádrové směsi) jako na příklad oxid železa, hliny, uhlík atd. snižují teplotu rozkladu podle / 42 /, z čehož plyne, že teplota sádrové formy, při jejím tepelném zpracování by neměla přesáhnout 700°C . Podle ústního sdělení doc. FIALY z VÚT, Brno, který prováděl tepelné zpracování sádrových form až na teplotu $800 - 900^{\circ}\text{C}$ a s odlitky získanými z těchto form má dobré zkušenosti - jsou kvalitní.

Při prostudování dostupné literatury, která se týká výroby sádrových form a jejich tepelného zpracování, se ukazuje, že neexistuje komplexní rozbor této problematiky s výjimkou metody AN-

TIOCH, která by se zabývala výzkumem síranu vápenatého určeného pro tyto účely.

Závěrem lze konstatovat, že studium této problematiky je závislé na podmírkách tepelného zpracování, na použité formovací směsi, na množství rozdělávací vody, na velikosti a členitosti forem, na použitém zařízení pro tepelné zpracování.

Seznam nejdůležitější literatury:

KOLEKTIV: Studium výroby odlitků litých do sádrových forem /Závěrečná výzkumná zpráva úkolu P 15 - 24 - 008 - 21/02/ VŠST - FS, Liberec 1973;

KOLEKTIV: Studium technologie odlévání do sádrových forem GARASIN /Dílčí výzkumná zpráva úkolu V - 124 - 001, 022/ VŠST - FS, Liberec 1978;

KOLEKTIV: Studium technologie a vlastnosti sádrových formovacích směsi /Závěrečná výzkumná zpráva úkolu V - 124 - 001, 022/ VŠST - FS Liberec 1980;

KOLEKTIV: Technologie a vlastnosti forem ze sádrových směsi /Dílčí výzkumné zpráva úkolu V - 119 - 203(/N - 132/)/ VŠST - FS Liberec 1983;

LUSNIAK - LECH, L.: Způsob přípravy propustných forem pro výrobu přesních odlitků /Sborník referátů z II. Symposia o přesném liti/ 10 - 12. 9. 1975, Písek, s. 28

MIKUŠ, M.: Študium spracovania a vlastnosti napätených sádrových formovacích zmesí. /Diplomová práca/ VŠST - FS Liberec 1980;

ROCHIER, M.: Fonderie 274 Janvier 1969 Les Liauts Olineraux Les Plat-

c) Cíl disertační práce

Hlavním cílem disertační práce je výzkum tepelného zpracování sádrových forem zaměřený k dosažení maximální přesnosti odlitků a dosažení odpovídající drsnosti jejich povrchu.

K vyřešení tohoto hlavního cíle bylo nutno řešit tyto dílčí úkoly:

1. Provést teoretický rozbor všech vlivů při tepelném zpracování sádrových forem na základě aplikace zákonitosti sdílení tepla, difusních pochodů a vlivu velikostních a tvarových činitelů těchto forem.
2. Navrhnut metodiku sledování fyzikálně-chemických procesů probíhajících při tepelném zpracování sádrových forem.
3. Navrhnut a realizovat vhodná měřicí zařízení pro unožnění studia a řešení výše uvedených cílů.
4. Ověřit navrženou metodiku i měřicí zařízení a dosažené výsledky porovnat s výsledky dosaženými na VŠCHT Praha a literárními údaji.
5. Na základě vyvinuté metodiky a zařízení provést studium dějů při tepelném zpracování vybraných sádrových směsí a experimentálně získané výsledky porovnat s vypočítanými hodnotami.
6. Na základě experimentálních výsledků využít LYKOVOVU teorii.
7. Výsledky experimentů použít při stanovení a optimalizaci režimu tepelného zpracování sádrových forem s cílem jejich využití v průmyslové výrobě.
8. Při konkrétní slévárenské výrobě prokázat výsledky tohoto výzkumu.

Shrnutí všech těchto poznatků a jejich další aplikace při návrhu optimálního režimu tepelného zpracování dané sádrové formy v použitém zařízení by mělo přispět ke zvýšení efektivnosti tohoto procesu z hlediska úspory energie.

Práce se řešila v podmínkách katedry materiálu a strojirenské metalurgie na Vysoké škole strojní a textilní v Liberci.

1.0 CHARAKTERISTIKA FOREM ZE SÁDROVÝCH FORMOVACÍCH SMĚSÍ

1.1 Fyzikálněchemické vlastnosti sádry / 11, 45, 49 /

Práškové sádra se získává pálením sádrovce $\text{CaSO}_4 \cdot 2 \text{H}_2\text{O}$ (dihydrát síranu vápenatého), který se mele na moučku. Sádrovec je minerál krystalizující v jednoklonné soustavě, nejčastěji v tabulkách, sloupcích, čočkovitých, zaobleného tvaru. Do teploty asi 42°C je stálý, při zvýšení teploty postupně ztráci vodu. Zahřátim na teplotu 110°C ztráci sádrovec krystalicky vázanou vodu a postupně přechází na nižší formy až bezvodý síran vápenatý. Při teplotě asi $1 \cdot 400^\circ\text{C}$ se sádrovec rozkládá na oxid vápenatý a sírový. Teplota rozkladu se snižuje přítomností oxida křemičitého, železitého až na teplotu 700°C podle / 42 /.
Množství krystalické vody, které zbývá po zahřátí sádrovce má vliv na vlastnosti vyrobené sádry. Když se zahříváním při teplotě $110 - 130^\circ\text{C}$ uvolní $3/2$ krystalické vody zůstane polohydrát síranu vápenatého, který tvoří hlavní složku každé sádry. Při ztrátě vody při teplotě vyšší než je 200°C začíná vznikat postupně anhydrit, nad 400°C bezvodý anhydrit čili mrtvá sádra.

Podle způsobu odvodnění můžeme získat dvojí druh polohydrátu. Pálením sádrovce na vzduchu při $120 - 130^\circ\text{C}$ se získává β - polohydrát, jehož mikrokristalické částice jsou vločkovité, pňovité a poněkud nepravidelné. Odvodněním sádrovce v autoklávu se při tlaku $0,13 \text{ MPa}$, teplotě 125°C po dobu 7 - 8 hodin se vyrábí α - polohydrát s dobrými vyvinutými hranolovitými krystaly o délce $0,1 - 1 \text{ mm}$.

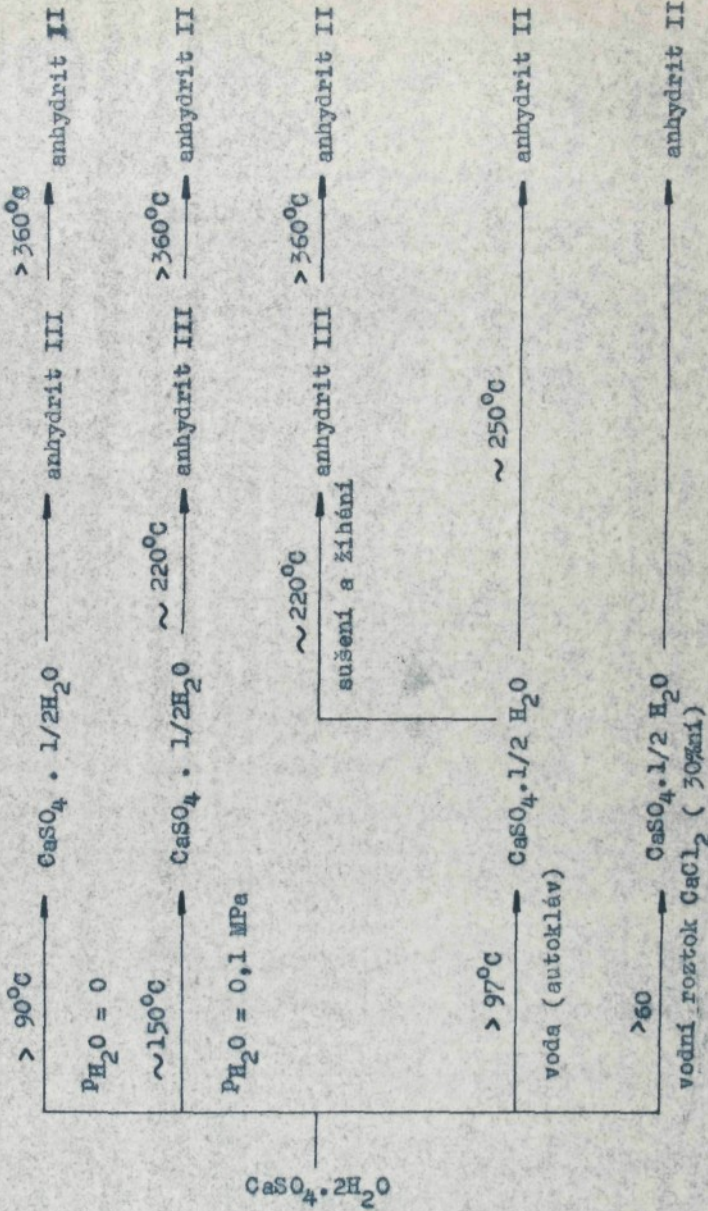
Sled přeměn při zahřívání sádrovce za různých podmínek je na obrázku 1.1 a přehled fází soustavy CaSO_4 - voda je patrný z tabulky 1.1.

Produkty tepelného rozpadu sádrovce dávají různé formy sádry HARMÁČEK / 11 /.

1. Polohydrát $\text{CaSO}_4 \cdot 1/2 \text{H}_2\text{O}$ vzniká částečným odvodněním sádrovce v prostředí přesyceném vodní parou při teplotě $115 - 125^\circ\text{C}$. Polohydrát je krystalický, má zřetelně rozeznatelné obrysy krystalků (při pozorování mikroskopem). Při prohlídce okem se struktura projevuje hedvábným leskem.
2. Polohydrát $\beta\text{CaSO}_4 \cdot 1/2 \text{H}_2\text{O}$ vzniká odvodněním sádrovce při teplotě 100°C nebo při teplotách poněkud vyšších. Struktura je vločkovitá, šupinkovitá, rozeklanná. Při pozorování mikroskopem, avšak ani při velkém zvětšení, nejsou rozeznatelné obrysy krystalů. Protože má polohydrát větší povrch krystalu, je energeticky méně stabilní a ve vodě lépe rozpustný.
3. Anhydrit CaSO_4 III (rozpustný anhydrit) vzniká úplným odvodněním sádrovce nebo polohydrátu ve vakuu při 100°C nebo při 110°C za normálního tlaku.
4. Anhydrit βCaSO_4 III vzniká rovněž úplným odvodněním ve vakuu při teplotě blízké 100°C nebo žiháním při teplotě 140 až 300°C za normálního tlaku.
5. Anhydrit CaSO_4 II vzniká úplným odvodněním sádrovce při teplotě vyšší než 300°C za normálního tlaku. Při teplotách převyšujících 800°C se rozkládá na oxid vápenatý

Obr. 1.1

Sled přeměn při zahřívání sádrovce $\text{CaSO}_4 \cdot 2\text{H}_2\text{O}$ za různých podmínek / 12 /



Tabulka 1.1

Fáze soustavy $\text{CaSO}_4 - \text{voda}$ (podle LEHMANNOVA a jiných autorů). / 49 /

Název	Chemický vzorec:	Obsah vody %:	Teplota přeměny /°C/:	Měrná hmotnost /g.cm ⁻³ /	Oblast termodynam.	Krystal. soustava:
Sédrovec (dihydrát sirenou vápen.)	$\text{CaSO}_4 \cdot 2\text{H}_2\text{O}$	21 (teor. 20,9)	95 - 130 (107 - 115)	2,32	do 40°C	monoklinická
Polohydrát	$\alpha\text{CaSO}_4 \cdot 1/2\text{H}_2\text{O}$ $\beta\text{CaSO}_4 \cdot 1/2\text{H}_2\text{O}$	6,2 - 8 (teor. 6,21)	150 - 230 (110 - 200)	2,76 (α) 2,63 (β)	metastabilní	pseudoromb. tetragonál.
Anhydrit III	αCaSO_4 βCaSO_4	0,02 - 0,05 0,60 - 0,90	400 - 750	2,59 (α) 2,48 (β)	metastabilní	hexagonální
Anhydrit II (nerozpustný přírodní)	δCaSO_4	-	800	2,98	40. - 118°C	rombická
Anhydrit I (vysokopevnostní)	ϵCaSO_4	-	1 450 - tání	nad 118°C		kubická

Poznámka: Polohydrát α a β a anhydrit III α a β nejsou odlišné polymorfni modifikace, jde pouze o modifikace odlišné formy. Teploty přeměny v závislosti na teplotě uvádí LEHMANN, jejich praktické hodnoty závisí na metodě a podmínkách stanovení.

a. oxid sírový.

6. Anhydrit CaSO_4 I vzniká žiháním sádrovce nebo předchozích produktů při teplotě $1225 - 1230^\circ\text{C}$ za normálního tlaku.

1.1.1 Rozdělení sádry

V praxi rozlišujeme sádu podle mnoha kladisek, na příklad podle stupně pálení sádrovce, podle doby tuhnutí, podle jemnosti mletí, bělosti, druhu pálení atd. V podstatě sádu rozdělujeme do 4 skupin / 11 /.

- a) sádra rychletuhnoucí
- b) sádra pomalutuhnoucí
- c) vysokopevnostní sádra
- d) anhydritové pojivo

a) Sádra rychletuhnoucí - získává se pálením sádrovce při teplotě $107 - 200^\circ\text{C}$, jde prakticky o polohydrát síranu vápenatého a určité množství anhydritu, který způsobuje rychlé tuhnutí nerozloženého sádrovce a cizích příměsí.

Dále se dělí na:

1. sádu modelářskou, která obsahuje asi 90% polohydrátu;
 2. sádu alabastrovou, která obsahuje 90% polohydrátu
4% anhydritu a 2% dihydrátu;
 3. sádu omítkovou, která je tvořena pouze polohydrátem.
- b) Sádra pomalutuhnoucí - sádra stavební, je tvořena anhydritem II, který tvoří hlavní složku, dále anhyditem I a 2 - 4% CaO . Označuje se také jako sádra hydraulická, vyrábí se pálením sádrovce při teplotě $800 - 1000^\circ\text{C}$.
- c) Vysokopevnostní sádra je tvořena v podstatě polohydrátem.

d) Anhydritové pojivo - je v podstatě tvořeno anhydritem a obsahuje malé množství příasad, které zlepšují konečné vlastnosti.

1.1.2 Vlastnosti sádry pro slévárenské účely / 5, 12, 45 /

Nejdůležitější mechanickou vlastností sádry je pevnost v tlaku, která se pohybuje 50 - 70 MPa / 5 /. Důležitá je závislost hodnoty pevnosti v tlaku na vodním poměru v/s (množství rozdělávací vody a sádry). Povrchová pevnost kvalitních sáder dosahuje až 130 MPa podle /12/. Po ztuhnutí narůstá tvrdost rychleji než pevnost, protože povrchové vrstvy sádry rychleji vysychají. Reprodukční schopnost některých druhů sáder dosahuje až 50 μm drsnosti povrchu.

Vlastnosti sádry značně klesají podle způsobu výroby a jejího účelu, proto jejich rozmezí je velmi široké. Vlastnosti některých druhů sádry jsou uvedeny v tabulce 1.2

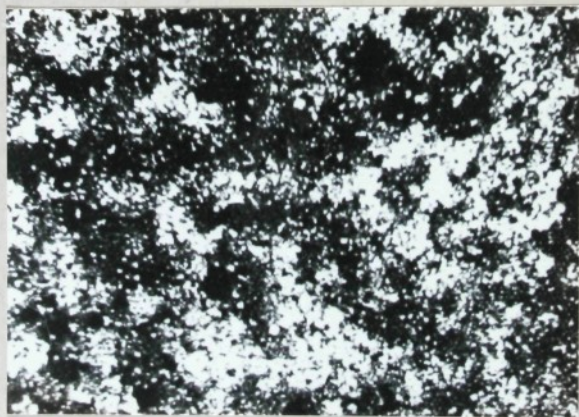
Tabulka 1.2

Vlastnost	Druh sádry		
	Rychletuhneuci	Pomalutuhneuci	Anhydrit.pojivo
Měrná hmot. /kg. $\cdot \text{m}^{-3}$ /	$2,7 \cdot 10^{-3}$	$2,9 \cdot 10^{-3}$	$2,9 \cdot 10^{-3}$
Sypká hmot. /kg. $\cdot \text{m}^{-3}$ /	$1,1 \cdot 10^{-3}$	$1,2 \cdot 10^{-3}$	$1,0 \cdot 10^{-3}$
Velikost částic v mm	0,2	0,2	0,09
Počátek tuhnutí /s/	240 - 480	~ 18000	~ 15000
Množství roz- dělávací vody 40 - 80 / hmot. % /	20 - 35	25 - 35	25 - 35
Pevnost v tlaku /MPa/ 130	30	28	
Objemová změna při tuhnutí 1 / obj. % /	nepatrné smrštění	nepatrné smrštění	



100 x

Obr. 1.2 α polohydrát podle ŠATAVY / 49 /



100 x

Obr. 1.3 β polohydrát podle ŠATAVY / 49 /



200 x

Obr. 1.4 dihydrát síranu vápenatého podle ŠATAVY
/ 49 /

1.1.3 Tuhnutí a tvrdnutí sádry /12, 45 /

Při výkladu zpevňování sádrových pojiv je nutno nejdříve uvážit poměr rozpustnosti jednotlivých fází systému $\text{CaSO}_4 \cdot \text{H}_2\text{O}$ ve vodě. Hlavní děje, které probíhají při tuhnutí a tvrdnutí sádry jsou:

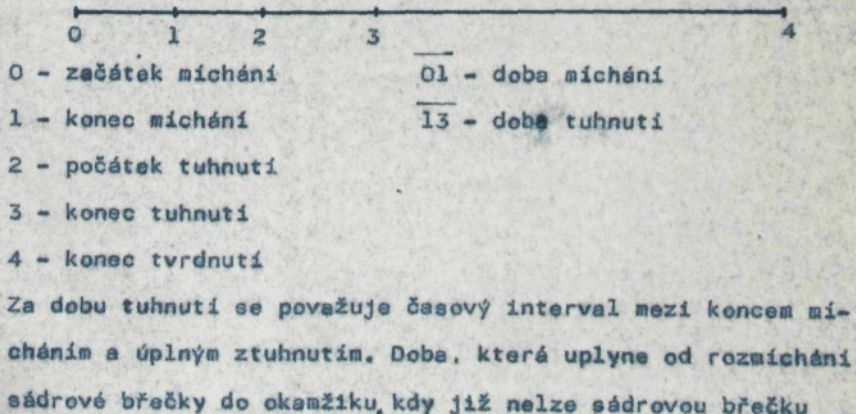
- rozpouštění polohydrátu
- nukleace dihydrátu
- růst krystalů dihydrátu

Tyto děje limitují rychlosť hydratace a tím i zpevňování, jež postupuje souběžně s hydratací. Na rozdíl od většiny maltovin se tuhnutí sádry zpomaluje s rostoucí teplotou. Je to způsobeno tím, že se stoupající teplotou silně zlepší rozpustnost polohydrátu, zatím co rozpustnost dihydrátu je zhruba stejná.

Tím se snižuje rozdíl rozpustnosti mezi oběma látkami a snižuje se možnost přesycení, které je příčinou vzniku zéronečných nuklei dihydrátu. Nedostatek krystalizačních center je pak příčinou zpomalevání. Z toho vyplývá, že nad teplotou 48°C je stabilní fázi anhydrit II a měl by tedy při tuhnutí vzniket. Nukleace anhydritu II je ale tak pomalá, že k tuhnutí dochází vznikem metastabilního dihydrátu. Tuhnutí je vždy provázeno zvětšením objemu a uvolněním tepla, které se rovná součtu rozpouštěcího a hydratačního tepla. Při zpracování sádry rozdělujeme:

- rychlosť michání
- začátek michání
- dobu michání
- začátek tuhnutí
- konec tuhnutí
- dobu tuhnutí
- dobu tvrdnutí
- dobu odlévání sádrové břečky

/ viz obrázek 1.5 /:



volně vylit z kelimku, se jmenuje doba lití.

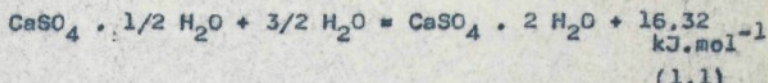
Na rychlosť tuhnutí sádry, resp. sádrové břečky (to je směs práškové sádry a vody) má vliv řada činitelů:

- vlastní výrobní postup
- michání sádry s vodou
- poměr mezi vodou a sádrou - v/s
- teplota sádrové břečky (kaše)
- některé chemikálie ovlivňující tuhnutí.

Čím je sádra jemnější, tím tuhne rychleji, protože se snadněji rozpouští. To platí pro obě formy polohydruatu. Pórovité a jemnější vločky spolohydruatu přijímají vodu více a rozpouštějí se rychleji než celistvé krystaly dípolohydruatu. Čím více sádrovou kaši micháme, tím rychleji tuhne. Micháním se podporuje rozpouštění sádry ve vodě i tím i celkové tuhnutí. Zrychlení tuhnutí způsobené delším micháním je patrné z tabulky 1.3. Vliv michání sádry na dobu tuhnutí. (albastrová sádra).

Doba michání /s/	Tuhnutí /min./ začátek	Rozdíl mezi začátkem a koncem tuhnutí
15	14,3	3,3
30	12,5	2,8
45	11,6	2,7
60	11,1	2,8
75	9,3	2,3
90	8,0	1,5
105	5,6	1,7

Sádra rozmíchaná s potřebným množstvím vody, které poměrem v/v, na řídkou kaši tuhne v pevnou hmotu. Po rozmíchání sádry s vodou probíhá děj opačný než při pálení. Reakci můžeme vyjádřit rovnici: 1.1



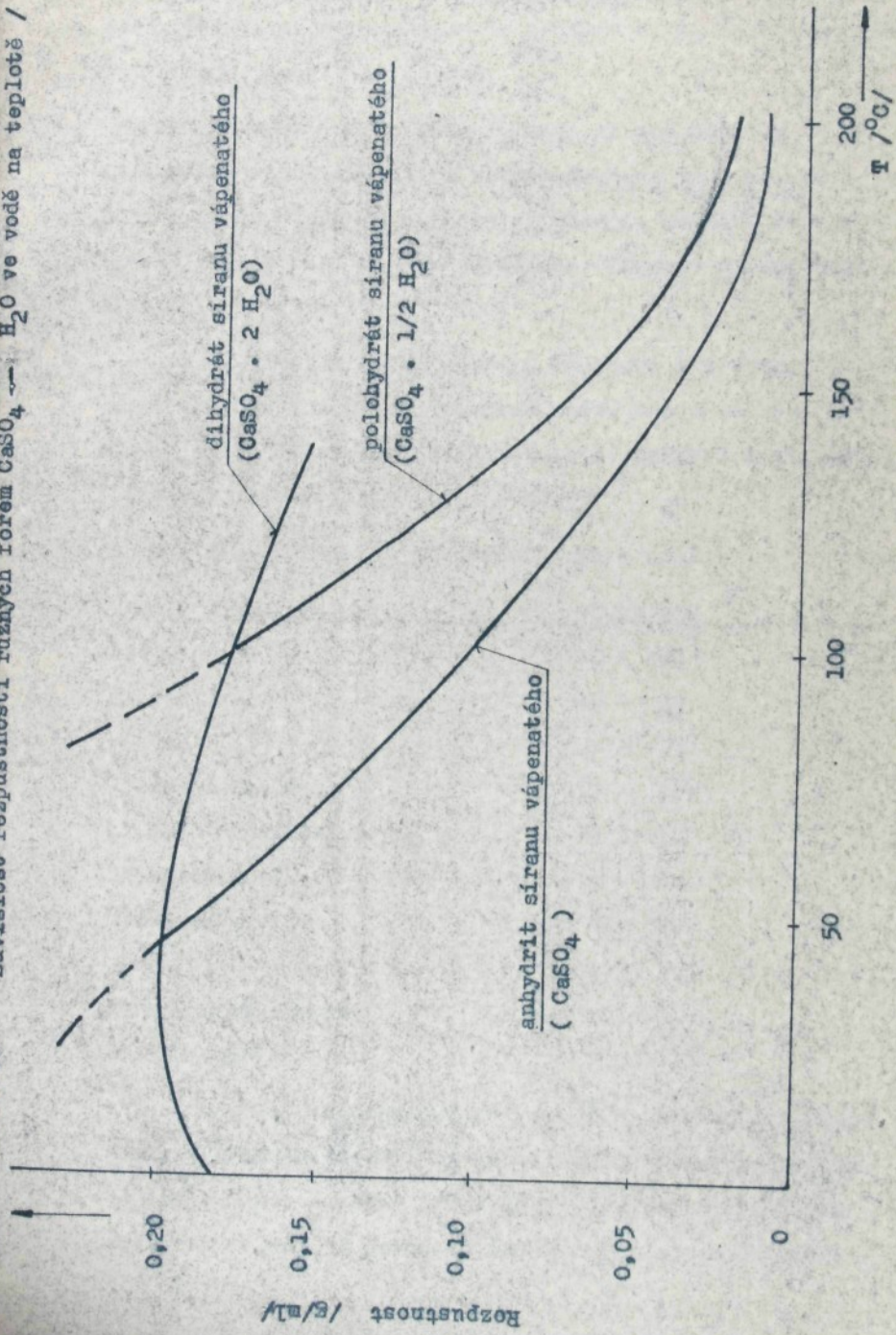
Jedná se o exotermní proces a sádra při tuhnutí se zahřívá. Pro přeměnu polohydrátu na dihydrát je teoreticky zapotřebí 18,6 % vody. Ve skutečnosti se ji však přidává mnohem více, aby se jednotlivé částice sádry mohly ve vzniklé kaši volně pohybovat. Větší přidavek vody způsobuje, že v řídké kaši je málo krystalačních center, a proto tuhnutí probíhá déle. Správný poměr vody v sádře v/s udává zkouška konsistence dle ČSN 72 2301. Závislost v rozpustnosti různých forem $\text{CaSO}_4 \cdot \text{H}_2\text{O}$ ve vodě na teplotě je patrná z obrázku 1.6

1.2 Sádrové směsi

Sádrové směsi na bázi sádry mají dnes významné uplatnění ve slévárenství při výrobě forem určených ke získávání přesných odliatků, nejčastěji ze slitin hliniku, zinku, po případě jiných vhodných kovů. Tímto způsobem odlévání byly vyřešeny mnohé výrobní těžkosti při výrobě drobných odliatků, na příklad centimetrových dílů nejvíce používaných v radio-lokační technice.

Vlastnosti sádrových formovacích směsi určuje nejen jakost sádry, ale i množství dalších formovacích příasad. Sádra tvoří sádrové formovací směsi hydraulické (hydratační)

Obr. 1.6 Závislost rozpustnosti různých forem CaSO_4 — H_2O ve vodě na teplotě / 12 /



pojivo. Sádrou se váže směs křemenného písku, který tvoří ostřivo a dalších přísad na příklad silidy, jemně mletého azbestu, mastku a podobně.

Obsah sádry ve formovací směsi se pohybuje od 25 do 65 hmotnostních procent. K vázání dochází tím, že sádra je zčásti dehydratovaným síranem vápenatým, přibírá krystalickou vodu a mění se v krystalický dihydrát síranu vápenatého.

Velmi jemné krystalky sádry vzájemně prorůstají a váží celek v kompaktní hmotu. Složením směsi lze v omezené míře měnit jejich technologické vlastnosti. Sádrové směsi mohou obsahovat tyto příslušenství podle / 42 /.

Tabulka 1.4 Přehled příslušenství sádrových směsí

Druh příslušenství	Obsah v %
sádra	30 - 100
azbest	40 - 50
mastek	19 - 30
křemenné moučky	5 - 80
hlina (hrnčířská)	0 - 10
křemenný písek	0 - 50
kristobalit	až 70
vápno	až 1,5
portlandský cement	až 5
bromid amonný	0,25 - 3

Azbest zvyšuje póravost, zlepšuje mechanické vlastnosti sádrových forem. Křemenná moučka zmenšuje objemové změny sádrových směsí při tuhnutí. Mastek, vápno a cement též ovlivňují objemové změny podobně jako křemenný

písek. Bromid amonný se při vypalování forem rozkládá na plynné látky, čímž se zvyšuje prodyšnost forem.

Vedle uvedených případů se uvádí ještě další, méně často používané jako například kyselina boritá (1 - 2 %), vodní sklo alkalické, které zvyšuje pevnost a oddolnost forem proti otěru, hlinitan vápenatý (2,5 - 12 %) a oxid zinečnatý, které zpomalují tuhnutí a zvyšují pevnost formy. Směs, která se nejvíce osvědčila podle / 20 / pro odliévání slitin hliníku má následující složení (hmotnostní podíly):

65 % alabastrové práškové sádry

28 % křemenné moučky FF

2 % jemně mleté křemelinu

5 % jemně mletého mastku.

Nejčastěji pro přípravu sádrových směsí se používá prášková sádra MG 11 druh II podle TGL 21 843 (výrobce Gipswerk Stadtfeldendorf - NDR). Tato sádra se nazývá alabastrová. Dále se používá sádra tuzemského původu, která je známá pod názvem stavební, výrobce SOSD, národní podnik Ostrava, závod Kobeřice u Opavy. Kromě těchto směsí vyráběných z uvedených séder se používají některé zatahovací hmoty (běžně používané v dentální technice), označované obchodním názvem GARASIN, GLORIA, EXPADENTA atd., jejichž složení a původ výrobce Dental, Jičín neuvádí.

Sádrové směsi je možno podle přípravy a zhotovování sádrové břečky dělit na sádrové směsi nenapěněné a napěněné. Nenapěněné sádrové směsi se připravují přímo smícháním s vodou v příslušném poměru podle časového rozpisu přípravy.

1. Sypání sádrové směsi do vody - doba 15 s.
2. Michání sádrové směsi s vodou - doba 30 s.
3. Poklepávání nádoby se sádrovou břečkou, čímž se dosahuje odplyňování - doba 35 s.
4. Homogenizační michání - 20 s.
5. Odlévání sádrové břečky a výroby forem se provádí ve 110. s. od počátku přípravy.

Napěněné sádrové směsi jsou připravovány dle metody Gypson - Hydropert se připravují přidáním malého množství povrchově aktivní látky - pěnidla, které způsobují při rozdělávání s vodou její napěnění. Pěnidla jsou látky, které chemickou reakcí uvolňují plyn. Na příklad jako uhličitan a zředěná kyselina peroxid vodíku s čpavkem, případně se do směsi s organickým pěnidlem speciálnimi metodami mixování vmichává vzduch. Pěnidla se přidávají, buď do suché směsi (pokud se jedná o suchá napěňovadla) nebo do sádrové kaše ve formě předem úřípravené pěny. Podle tohoto, jakým způsobem se pěnidla (napěňovadla) přidávají do sádrové kaše a v jaké formě, pak se technologická příprava napěněné sádrové směsi dělí na přípravu jednofázovou a dvoufázovou, což je patrné z tabulky 1.5.

Tabulka 1.5 Přehled napěňovadel sádrové směsi

Forma napěňovadel	Napěňovadlo přidávané do vody	přidávané do suché směsi	kaše
prášek	jednofáz. příprava	jednofáz. příprava	
kapalina	jednofáz. příprava		
pěna			dvoufáz. příprava

Po ztuhnutí takto výrobené sádrové směsi je vzniklé hmota prostoupena jemnými bublinkami a vyznačuje se poměrně vysokou prodyšností, která odpovídá 150 n.j.p.

Jednofázová příprava se nejčastěji používá při výrobě napěněných sádrových forem. Do nedoby s příslušným množstvím vody přidáme určité množství napěňovadla. Do takto připraveného roztoku následuje:

1. Sypání sádrové směsi - doba 15 s.
2. Michání sádrové směsi - doba 30 s.
3. Napěňování směsi vhodným michadlem po dobu 110 s.
4. Odlévání napěněné sádrové břečky a výroby forem se provádí ve 155. s.

Dvoufázová metoda - v první fázi se připraví separátová emulze a její napěnění. Ve druhé fázi se přidává určité množství pěny do sádrové kaše, která se zhomoogenizuje. Tim získáme napěněnou sádrovou kaši.

Dvoustupňová metoda dosahuje lepších výsledků v kvalitě napěnění, jako vhodné napěňovadlo se používá ETOXON EPA, ze kterého se vytváří hustá pěna, která se vmichává do sádrové kaše.

1.3 Formy ze sádrových směsi

Hlavním problémem, který vzniká při výrobě forem ze sádrových směsi je dosažení dostatečné prodyšnosti. Tu lze dosáhnout vhodným složením sádrových směsi a dokonalým dodržením postupu tepelného zpracování těchto forem.

Na závadu je také sklon forem k navlháni. Navlhnutí forem z těchto směsi má za následek odvařování a tím podstatné zhoršení kvality odlitků. Proto se přidávají do sádrových

směsi přisady, které umožnuji regulovat dobu tuhnutí, roztažnost při tuhnutí a tvrdnutí, zvyšovat prdyšnost forem.

Od sádrových forem vyžadujeme tyto vlastnosti:

- dostatečnou prdyšnost
- dostatečnou pevnost a oddolnost proti zborcení při liti
- minimální změnu rozměrů
- při ohřevu na vyšší teploty se nesmí tvořit výrazné praskliny na lici formy.

Těchto vlastností lze dosáhnout vhodným složením sádrové směsi a dodržení optimálního režimu tepelného zpracování.

1.3.1 Výroba forem ze sádrových směsi

Formy ze sádrových směsi se vyrábějí obléváním modelu kaševitou břečkou (to je směs sádrové směsi a vody). Tato břečka je dosti lehká a dodává lesklý a hladký povrch těmto formám. Zvětšováním objemu sádry při tuhnutí má za následek lepší zaplnění formy a dobré kopírování modelu. Sádrová břečka vytvořená promicháním práškové sádry ve vodě rychle tuhne, kde doba tuhnutí závisí na:

- a) druhu sádry, event. sádrové směsi
- b) množství rozdělávací vody
- c) teplotě rozdělávací vody
- d) jemnosti sádry
- e) přípravě břečky.

Při malém obsahu rozdělávací vody se směs špatně lije, značně hustne, rychle tvrdne a vylučuje větší množství tepla za současného zvětšování objemu. Se vzrůstající teplotou vody se prodlužuje doba tuhnutí směsi.

Proto se musí pro přípravu břečky používat voda teplá
18°C podle literatury / 20 /.

2.0 ZÁKONITOSTI TEPELNÉHO ZPRACOVÁNÍ FOREM ZE SÁDROVÝCH SMĚSÍ

Při odlévání tekutého kovu do forem ze sádrových směsí dochází na rozhraní forma - kov k intenzivnímu odpaření vlhkosti, nejčastěji vody v dílech těchto forem, která byla dodána při výrobě sádrové břežky. Jedná se o vodu volnou a vodu vázanou. Voda volná je určená vodním poměrem v/s, voda vázaná tak zvaným dihydrátem, event. polohydrátem síranu vápenatého.

Z tohoto důvodu je nutno formy tepelně zpracovávat (sušit a žihat). Při sušení se odstraňuje voda volná, žihéním odstraňujeme vodu vázanou - krystalickou.

Proces tepelného zpracování forem ze sádrových směsí je důležitou součástí jejich výroby, čímž dosahujeme vhodné prodyšnosti a vhodných vlastností, které jsou spojeny s výrobou kvalitních odlitků.

2.1 Vlhkost sádrové formy / 41 /

Vlhkou sádrovou formu z hlediska tepelného zpracování lze si představit jako systém složený pouze ze 2 složek:

1. absolutní suché látky (s nulovým obsahem vlhkosti) - skěletem
2. vody. Tato představa je zjenodušená.

Existence suché látky je však vyjimečná, proto se zavádí v praxi pojem sušina. Tak se označuje látka sušená při teplotě 105°C do konstatní hmotnosti. Obsah vlhkosti v tepelně zpracovávané sádrové formě se nechá vyjádřit různým způsobem, v technické praxi se udává pomocí

podílu vlhkosti w (dříve označované jako relativní vlhkost), což je dáno poměrem hmotnosti vody a hmotnosti vlhké formy.

$$W = \frac{m_w}{m_{poč}} \cdot 100 = \frac{m_{poč'} - m_{kon}}{m_{poč}} \cdot 100 [\%] \quad (2.1)$$

kde m_w - hmotnost vody obsažené ve formě

$m_{poč}$ - hmotnost nevysušené sádrové formy

m_{kon} - hmotnost formy po tepelném zpracování

Pro určení obsahu vody je lépe použít měrné vlhkosti, neboť je vztažena k sušině, která je během celého procesu konstantní. Vztah mezi měrnou vlhkostí u a hodnotou podílu vlhkosti w platí:

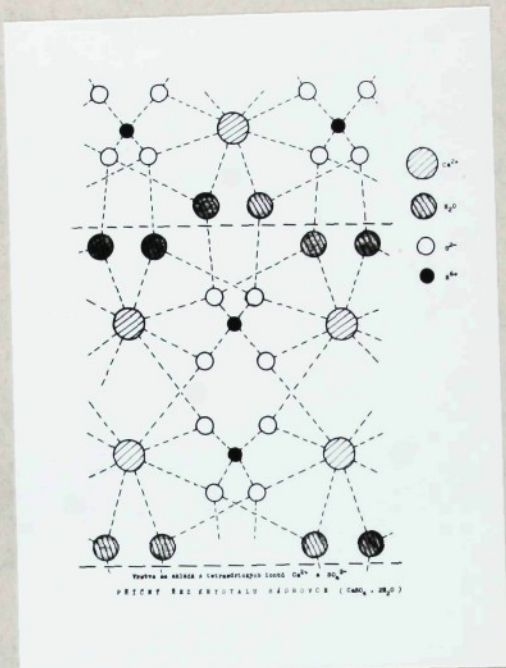
$$u = \frac{w}{100 - w} \cdot 100 [\%] \quad (2.2)$$

2.1.1 Vazby vody v sádrové formě

Charakter vazby vody v sádrové formě je závislý na druhu látky, na jejím složení atd. Schematické znázornění vazby vody v dihydrátru sírenu vápenatého je znázorněno na obr. 2.1.

Vodu vázanou lze dělit podle vazební energie na:

- a) vodu vázanou fyzikálně mechanicky (kapilární)
- b) vodu vázanou fyzikálně chemicky (na povrchu částic)
- c) vodu vázanou chemicky jako součást vnitřní struktury,



Obr. 2.1 Příčný řez krystalu sádrovce /3/

Voda vázaná fyzikálně mechanicky - označuje se jako voda plastická a smržovací podle / 41 /. V sádrové formě se tato voda udržuje pouze kapilárními silami, obklopuje pevné částice formy vodním obalem, vyplňuje kapiláry, póry a dutiny a vytváří na povrchu látky vodní hladinu. Zachovává si vlastnosti kapalné vody, její množství závisí na velikosti pórů a dutin. Takto vázaná voda v sádrové formě se označuje jako voda volná.

Voda vázaná fyzikálně chemicky se označuje jako absorpční osmotická. Svými vlastnostmi se liší od vody volné.

Tato voda se chová jako pevná látka pouze dlouhodobým sušením se nechá odstranit / 41 /. označuje se jako voda vázaná.

Voda vázaná chemicky označuje se jako voda krytalická, je vázaná přímo v krystalech tuhé látky. Při běžném sušení ani přiteplotě 105°C se neodstraní. Uniká při vyšších teplotách, při žihání. problematice sušení se neuvažuje.

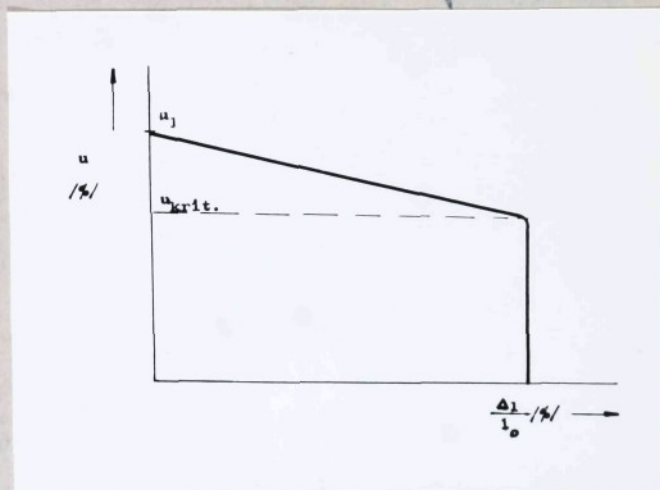
2.2 Vliv tepelného zpracování na vlastnosti form ze sédrových směsí

V důsledku tepelného zpracování dochází nejen ke snížování obsahu vlhkosti (vody) takto zpracovávané formy, ale také k jejímu smrštění. To se vysvětluje tím, že během tepelného zpracování, hlavně sušením se odstraňuje voda mechanicky vázaná, tím se zmenšuje vodní obsah částic (molekul, atomů) a ty následkem působení molekulárních sil se vzájemně přitahují a vyplňují postupně prázdný prostor po odstraněné vodě, což se navenek projevuje zmenšením rozměrů - smrštěním.

Podle dnešních názorů, založených hlavně na rentgenologickém vyšetření tvoří ionty Ca^{2+} a SO_4^{2-} u dihydrátu sira-nu vápenatého vrstvy, které jsou od sebe odděleny molekulami krytalické vody. Vrstvy vody u řetězců CaSO_4 souhlasí se směrem štěpitelnosti. Při odstraňování se oddělí voda uložená mezi vrstvami. Zůstanou po ní kanálky, do kterých může voda zase vniknout a vázat se jako u původního dihydrátu. U polohydrátu zůstává mezi ionty Ca^{2+} a SO_4^{2-} .

ještě část krystalické vody, které se dá vypudit jen při vyšší teplotě podle SEDLÁČKA /45/.

Chování forem ze sádrových směsi (sádrových forem) v procesu tepelného zpracování je rozmanité. Proto je při tomto procesu snaha ovlivňovat nepříznivé změny (na př. vznik trhlin, pokles mechanické pevnosti atd.). Z tohoto důvodu se zavádí pojem citlivost látek, což se vyjadřuje jako jejich náchylnost k těmto změnám. Mezi nejpoužívanější patří kriteria ^{patří} citlivost k sušení podle Bigotovy křivky, která vyjadřuje závislost vlhkosti jako funkci změny rozměru k celkovému ~~nejimu~~ rozměru.



Obr. 2.2 Bigotova křivka

Někdy se citlivost sušení udává pomocí součinitelů citlivosti, který je dán poměrem intervalu vlhkosti Bigotovy křivky.

Tabuľka 2.1

Určujúci rozmery pro rôzne tvary geometrických telies / 52 /

Geometrický útvar	Rozmery útvaru	Povrch útvaru S / m ²	Objem útvaru V / m ³	Určujúci rozmer R = V/S	Charakt. rozmer
Kvádr	a, b, c	$2(ab + bc + ac)$	abc	$\frac{1}{2}(\frac{a}{b} + \frac{b}{c} + \frac{c}{a})$	-
Hranol	a, b, c > a	$\sim 2c(a + b)$	abc	$\sim 2(\frac{a}{b} + \frac{b}{c})$	-
Krychle	a, a, a	$6a^2$	a^3	$\frac{a}{6}$	$\frac{a}{2}$
Válec	$a = H$ $a = b = D$	$\pi D(\frac{D}{2} + H)$	$\frac{\pi D^2}{4} \cdot H$	$\frac{1}{2(\frac{D}{2} + \frac{H}{D})}$	$\frac{D}{2}$
Válec	$a = b = c = H$ $a = b = D$ $c = H \gg D$	$\frac{3}{2}\pi D^2$ $\sim \pi DH$	$\frac{\pi D^3}{4}$ $\sim \pi DH$	$\frac{D}{6}$ $\frac{D}{2}$ $\frac{D}{4}$	$\frac{D}{2}$
Trubica	D - a, H	$\pi(D+d)(\frac{D-d}{2} \cdot H)$	$\frac{\pi}{4}(D^2 - d^2) \cdot H$	$\frac{1}{2}(\frac{D}{2} + \frac{d}{H})$	$\frac{D-d}{2}$
Trubica	H > D - d	$\pi(D+d) \cdot H$	$\frac{\pi}{4}(D^2 - d^2) \cdot H$	$\frac{2}{2}(\frac{D}{2} + \frac{d}{H})$	$\frac{D-d}{2}$
Trubka tenkostenná	d, D, H	$\sim \pi(D+d) \cdot H$	$\frac{\pi}{4}(D+d) \cdot Hdd$	$\frac{1}{2}(\frac{2}{D} + \frac{d}{H})$	$\frac{dD}{2}$
Keule	a = b = c = D	πD^2	$\frac{\pi D^3}{6}$	$\frac{D}{6}$	$\frac{D}{2}$
Deska	a, b, da	$\sim 2ab$	abda	$\frac{da}{2}$	$\frac{D}{2}$

$$K_c = \frac{u_1 - u_{kr}}{u_{kr}} \quad (2.3)$$

kde K_c - součinitel citlivosti
 u_1 - počáteční vlhkost formy
 u_{kr} - kritická vlhkost formy

Bigotova křivka však platí za ideálních podmínek, kdy vlhkost ve formě je v celém objemu konstantní. Ve skutečnosti je však při sušení ve formě gradient vlhkosti, který je následkem její nerovnoměrné rozloženosti, což vede ke vzniku deformace těchto forem.

Deformace, které nastávají v průběhu tepelného zpracování těchto forem, jsou způsobeny vztěstem molekulárních sil. Důsledkem je pak nerovnoměrná změna rozměrů formy po tepelném zpracování. Následkem smrštění může být i vnitřnípnutí, které způsobuje popraskání forem (povrchových vlastiv). Dalším důležitým faktorem při tepelném zpracování forem je určující rozměr formy $R = V/S$ (objem formy / povrch formy). ŠUMILIN / 52 / dospěl k názoru, že čím je větší určující rozměr formy R, tím jsou větší výkyvy sušicího procesu. Určující rozměry pro různé tvary geometrických těles jsou patrné z tabulky 2.1.

Theorie tepelného zpracování, resp. sušení a žihání plorovitých těles, což sádrové formy představují, podle LYKOVA / 31 / vychází ze znalosti energie vazby vody v tělese a její závislosti na obsahu vlhkosti, kterou lze určit ze vztahu:

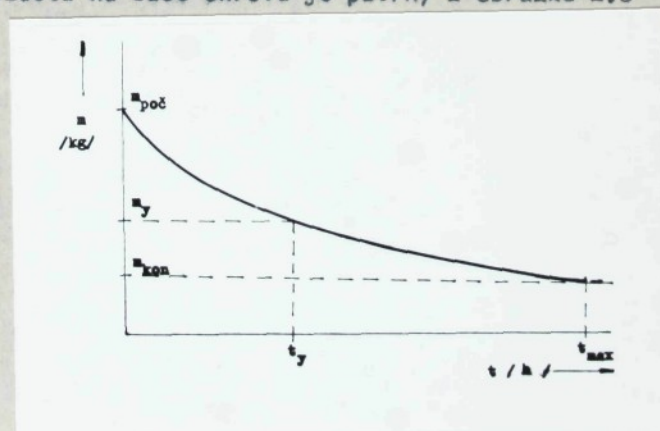
$$w = - m_{poč} \cdot \int\limits_u^0 e(u) \cdot du \quad (2.4)$$

kde $e(u)$ - měrná vazebná energie

$m_{poč}$ - hmotnost tělesa před tepelným zpracováním

Energie potřebná k tepelnému zpracování (potřebná k překonání vazby vody v tělese), je závislá na určujících podmínkách (rychlosti sušení, způsobu průdění média).

Vloží-li se sádrová forma o počáteční hmotnosti do sušicího prostředí o určité teplotě, začne se uvolňovat vlhkost z povrchových vrstev formy, což se projeví v určitém časovém okamžiku snížením hmotnosti formy. Po určité době se tato hmotnost ustálí na konečné hodnotě m_{kon} , za postupného odstranění vody z vnitřních částí formy. Obecný průběh změny hmotnosti tělesa při jeho ohřevu na teplotu v závislosti na čase ohřevu je patrný z obrázku 2.3.



Obr. 2.3 Závislost úbytku hmotnosti na čase

Teorie tepelného zpracování sádrových forem vychází z předpokladu, že rychlosť sušení, event. žiháni je definována podle LYKOVA / 29 /:

$$v = \lim_{\Delta t \rightarrow 0} \frac{\Delta m}{\Delta t} = \frac{dm}{dt}$$

(2.5)

V průběhu tepelného zpracování sádrových forem je důležitý vliv jejich rozměrů, což představuje součinitel úměrnosti α . Pomocí tohoto součinitele můžeme vyjádřit rychlosť sušení a obdržíme vztah (2.6). Protože řídicím procesem tepelného zpracování je difuze, pak součinitel α představuje také zároveň rychlostní součinitel difuze.

$$\frac{dm}{dt} = \alpha \cdot \frac{m_y - m_{kon}}{m_{kon}}$$

(2.6)

kde v - rychlosť tepelného zpracování dílu

m_y - hmotnost sádrového dílu v určitém časovém okamžiku tepelného zpracování

$m_{kon.}$ - konečná hmotnost sádrového dílu

α - součinitel úměrnosti

Řešením vztahu (2.5 a 2.6) obdržíme diferenciální rovnici a po dosazení okrajových podmínek dostaváme vztah:

$$\ln \frac{m_{poč} - m_{kon}}{m_y - m_{kon}} = - \alpha \cdot \frac{t}{m_{kon}}$$

(2.7)

kde t - doba tepelného zpracování

Výpočtem některé neznámé hodnoty ze vztahu (2.7) získáme obraz o probíhajícím tepelném zpracování.

2.2.1 Pohyb vody tepelně zpracovávanou formou

Tento pohyb závisí na fyzikálních vlastnostech sádrové formy, ale i na vazbě vody v látce. Při sledování pohybu vody v sádrové formě je důležitá její struktura, měrné teplo, tepelná a teplotní vodivost, jakost povrchu, vlhkost, součinitel difuze vody, vliv teplotního a vlhkostního spádu. Dále se projevuje vliv vody, její druh, měrná hmotnost, měrné teplo, viskozita, povrchové napětí, bod varu, tlak par, rovnovážná a hydroskopická vlhkost. Vlastní pohyb vody v kapalné nebo plynné formě je způsoben rozdílem tlaků vyvolaných úbytkem vody v povrchových vrstvách sušené formy a rozdílem teplot na povrchu a uvnitř formy. S úbytkem vody během tepelného zpracování, resp. sušení, ustupuje hladina sušení do vnitřku sušené látky a tím snouší podíl vody, která se pohybuje sušenou látkou ve formě páry k jejímu povrchu. Při procesu sušení těchto forem je důležitá intenzita toku vody I_w této formou / 41 /:

$$I_w = I_m + I_t = -k \cdot \rho_f \cdot \frac{du}{dt} - k \cdot \rho_f \cdot d' \cdot \frac{dT}{dt} \quad (2.8)$$

kde I_m - intenzita toku vody vlivem hmotnostního spádu

I_t - intenzita toku vody vlivem teplotního spádu

ρ_f - střední měrná hmotnost sádrové formy po tepelném zpracování

- k - součinitel vlhkostní vodivosti vlivem vlhkostního spádu
- d' - součinitel vlhkostní vodivosti vlivem teplotního spádu

Součinitel vlhkostní vodivosti představuje danou vlhkost formy. Mení to konstanta, neboť závisí na teplotě a na průběhu tepelného zpracování. / 41 /.

2.2.2 Odpařování vody s povrchu formy ze sádrové směsi

Toto odpařování je závislé na přestupu tepla do tepelně zpracovávané formy na fyzikálních vlastnostech vzduchu, termodynamických poměrů, převážně v sušící atmosféře, která je definována teplotou, tlakem, rychlosí a charakterem proudění. Při řešení podmínek tepelného zpracování je třeba klást největší důraz na proces současné výměny tepla a látkový transport mezi sušící atmosférou a povrchem sušené formy, jejímž důsledkem jsou termodynamické změny vzduchu.

Látkovým transportem rozumíme přenos difundující vlhkosti (vody) v podobě par s povrchu sušené, resp. tepelně zpracovávané sádrové formy do sušící atmosféry. Tento proces popisuje intenzitu sušení I_s , která vyjadřuje odpařené množství vody za jednotku času z plošné jednotky povrchu sádrové formy. Tato intenzita je definována vztahem / 41 /

$$I_s = \beta_p (\nu_{pm} - \nu_p) = \beta_x (X_m - X_r)$$

(2.9)

- kde β_p - součinitel přenosu transportované vody vztázený na rozdíl parciálních tlaků
- α_x - součinitel přenosu transportované vody vztázený na rozdíl měrných vlhkostí
- M_p - parciální tlak vodní páry v sušící atmosféře
- M_{pm} - parciální tlak vodní páry nad sádrovou formou při teplotě jejího mokrého povrchu
- X_m - měrná vlhkost vzduchu na povrchu tepelně zpracovávané formy
- X_v - měrná vlhkost vzduchu atmosféry tepelného zpracování

Při odpařování vody z tepelně zpracovávané sádrové formy je určující veličinou sušící rychlosť a vnitřní podmínky sušení.

2.3 Zákonitosti přenosu tepla při tepelném zpracování forem ze sádrových směsí

Má-li být zvládnutý proces tepelného zpracování sádrových forem, je nutno zvládnout zákonitosti přenosu tepla mezi stýkajícími se prostředími (to je mezi atmosférou tepelného zpracování a tepelně zpracovávanou formou), ale také přenos tepla v samotné formě.

2.3.1 Přenos tepla mezi formou a sušící atmosférou

Uvažujeme-li, že při tepelném zpracování sádrových forem, atmosféra obkladuje formu a obě tato prostředí se liší jiným tepelným obsahem a jinou teplotou. Teplota, které přechází z atmosféry do forma za jednotku času přes mezifázový styčný povrch, je definována vztahem

$$dq = \alpha \cdot S (T_1 - T_2)$$

(2.10)

kde T_1 - teplota atmosféry

T_2 - teplota povrchu formy

α - součinitel přestupu tepla

S - styčný povrch formy

2.3.2 Přenos tepla vedením v sádrové formě

Materiál sádrové formy představuje složitý systém, proto při tepelném zpracování musíme uvažovat tepelné děje při neustálených podmínkách (nestacionární děje). Proces nestacionárního sdílení tepla je pro řešení velmi komplikovaný, protože v každém časovém okamžiku se mění teplota nejen časově, ale i prostorově. Problematicka nestacionárního sdílení tepla je popsána diferenciální rovnicí:

$$\frac{\partial (\rho c_v T)}{\partial t} = \frac{\partial}{\partial x} \left(\lambda \frac{\partial T}{\partial x} \right) + \frac{\partial}{\partial y} \left(\lambda \frac{\partial T}{\partial y} \right) + \frac{\partial}{\partial z} \left(\lambda \frac{\partial T}{\partial z} \right) + q_z \quad (2.11)$$

kde T - teplota v určitém časovém okamžiku místa ve formě

t - čas

x, y, z - souřadnice místa formy, jež popisuje teplotní a časovou závislost

c_v - měrné teplo

ρ - měrná hmotnost

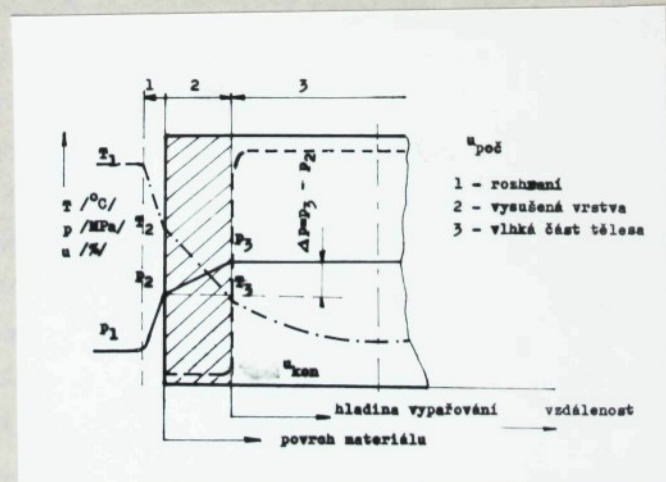
q_z - energie vnitřních zdrojů

$$\lambda - \text{součinitel tepelné vodivosti} \\ / \text{W.m}^{-1} \cdot \text{K}^{-1} /$$

Uvedená diferenciální rovnice (2.11) určuje rozložení teplot v tělese v závislosti na čase, lze z této rovnice stanovit dobu ohřevu tělesa, resp. sádrové formy. Při její integraci získáme čas potřebný k požadované změně teploty. Je nutné znát okrajové podmínky na rozhraní tělesa a okolního prostředí.

2.4 Fyzikálně chemický popis tepelného zpracování sádrových forem

V průběhu tepelného zpracování sádrových forem probíhají složité fyzikálně chemické pochody, jejichž základem jsou difuzní děje. V průběhu tohoto procesu se sleduje tlak, teplota a vlhkost tepelně zpracovávané formy. Na obrázku 2.4 je znázorněn průběh tlaku, teploty a vlhkosti v určitém časovém okamžiku tepelného zpracování, resp. sušení v závislosti na tloušťce formy.



Obr. 2.4 Schematické znázornění rozdělení teploty vlhkosti a tlaku v určitém okamžiku tepelného zpracování /40/

Proces tepelného zpracování je podmíněn velikostí parciálního tlaku par vlhkosti (vody) v atmosféře tepelného zpracování, resp. sušení a parciálního tlaku vlhkosti na povrchu formy. Tento proces probíhá za předpokladu, že parciální tlak par vlhkosti v sušící atmosféře p_1 je menší než parciální tlak vlhkosti p_2 na povrchu tepelně zpracované formy. Rozdíl teplot $T_1 - T_2$ ovlivňuje rychlosť přestupu tepla, neboť je závislý na teplotní vodivosti. Hnací silou průchodu tepla vrstvou sušené formy je rozdíl teplot $T_2 - T_3$. Podmínkou pro odstraňování vody z této formy je rozdíl parciálních tlaků $p_3 - p_2$. Tento rozdíl je hnací silou difuze vlhkosti zvnitra formy k jejímu povrchu. Podle schopnosti propouštění tepla formou do jejího středu dochází ke zvyšování teploty a tímto směrem prostupuje i hladina vypařování. Vzdálenost hladiny vypařování resp. sušení od povrchu formy vzrůstá. Ten toto vzrůst závisí na intenzitě tepelného zpracování.

Fyzikálně chemický model tepelného zpracování forem, lze charakterizovat jako soustavu, na kterou působí vnější vliv a tím se tato soustava snaží o dosažení původního stavu. Uvažujeme-li tento děj izobarický, pak je mírou této snažby změna termodynamické funkce ΔG (změna Gibbsovy energie), která doprovázi uvažovaný děj. Změna Gibbsovy energie představuje maximální množství energie, která se při tomto pochodu ze soustavy uvolní a je schopna konat práci. Jak je ze zákonů fyzikálně chemických patrné, samovolně probíhají jen děje, při kterých je změna Gibbsovy energie menší než nula ($\Delta G < 0$) nebo Gibbsova energie klesá.

2.4.1 Přenos vody při tepelném zpracování sádrových form

Zpracovává-li se tepelně sádrová forma, která je vložena do atmosféry tepelného zpracování, pak každé toto prostředí obsahuje jiné množství vody. Pohyb vody při tepelném zpracování je dán rozdílkou koncentrací, neboť vody přechází z míst s větší koncentrací do míst s koncentrací nižší. Množství vody, které projde za sekundu styčnou plochou S sádrové formy do sušicího prostředí je dáno vztahem:

$$q_w = \bar{\beta} \cdot S \cdot (C_1 - C_2) \quad (2.12)$$

kde C_1 - průměrná koncentrace vody v sádrové formě

C_2 - průměrná koncentrace vody v sušící atmosféře

$\bar{\beta}$ - součinitel přestupu vody dotykem

S - styčná plocha formy

V průběhu zahřívání formy se styčná plocha nemění, avšak hodnota rozdílu koncentrací je závislá na čase, a proto tento děj je označován jako nestacionární. V nejširším slova smyslu difuzi (přenos hmoty vedení) rozumíme pohyb vody, jehož přičinou jsou náhodilé pohyby atomů vody při tepelném zpracování formy. Statistickým souhrnem těchto náhodilých pohybů je pohyb orientovaný nebo-li celkový tok vody podle /l/ směrem k prostoru s menší koncentrací, který trvá až do úplného vyrovnání koncentrací v obou místech. Matematicky difuze se popisuje Fickovými zákony.

2.4.2 Termodynamický popis tepelného zpracování sádrových forem

Tepelné zpracování sádrových forem, které se skládá ze sušení a žíhání je z hlediska termodynamiky složitý pochop zahrnující v sobě široký komplex rozmanitých dějů statický a dynamický popsaných. Nejsou částí tohoto procesu je sušení, při kterém se odstraňuje největší podíl vlhkosti (vody) z formy. Proto se tímto procesem bude podrobněji zabývat.

Statika sušení definuje děj pouze z hlediska počátečních a konečných podmínek sušené formy a definuje děje látkovými a energetickými bilancemi, ze kterých se může určit pouze spotřeba sušicího media / 40 %.

Kinetika sušení definuje rychlosť změny vlhkosti za různých podmínek sušení. Důležitou součástí jsou děje spojené s přechodem tepla a sdílením hmoty.

Dynamika sušení definuje časový průběh (křivku sušení) který se týká úbytku vody, ale i teplotních polí v procesu sušení v určitém místě formy. Dynamický průběh sušení je spojen se složitými zákonami nestacionárního vedení tepla a vlhkosti. Předpokladem úspěšného řešení je znalost číselných hodnot, které charakterizují vnější i vnitřní podmínky sušení.

Vnější podmínky sušení, které se týkají přenosu tepla a hmoty rozpracoval LYKOV / 29 %.

Vnitřní podmínky, které se týkají znalosti sušené látky v našem případě sádrové formy, nejsou dosud rozpracovány.

V praxi se řeší experimentálně, nejčastěji chováním látky v průběhu sušení, což znázorňuje křivka sušení.

Z obr. 2.5 je patrná závislost intenzity sušení vlhkosti a teplota sušení na čase, kdy křivky představují:

1 - časový průběh změny hmotnosti (úbytek vody v sádrové formě)

2 - časová závislost změny vlhkosti (křivka vzniká derivací křivky sušení)

3 - teplotní křivka, která zachycuje průběh teplot v závislosti na čase

1. Křivka sušení $u = f(t)$

2. Křivka rychlosti sušení $\frac{du}{dt} = f(t)$

3. Teplotní křivka $T = f(t)$

Body na obrázku 2.5 představují:

1 - počáteční stav

2 - stav prohřátí

3 - kritický stav

4 - hygroskopický stav

5 - rovnovážný stav

kde T_s - teplota vzduchu při sušení

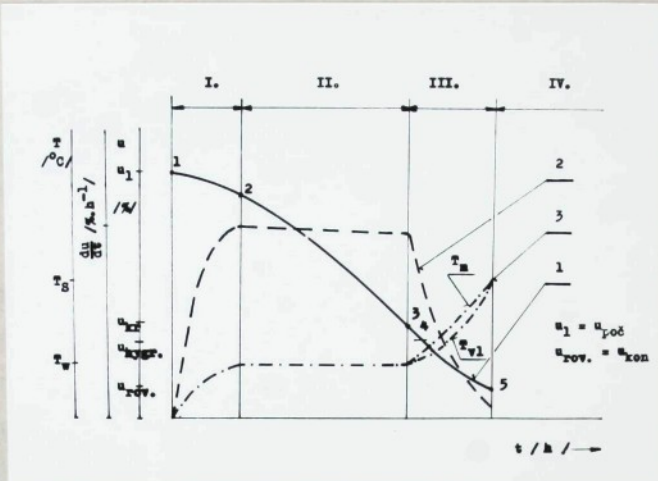
T_w - teplota vlhkého materiálu

T_m - teplota materiálu (formy)

T_{vl} - teplota vnitřku materiálu (formy)

Křivkám na obrázku 2.5 odpovídají 4 základní úseky průběhu sušení.

I. Úsek vznášející rychlosť sušení představuje nestacionární úsek sušení, se vznášem rychlosť sušení z hodnoty odpovídající samovolnému sušení přechází na hodnotu sušicího režimu.



Obr. 2.5 Závislost intenzity sušení vlhkosti a teploty sušení na čase /41/

Úbytek vlhkosti je nepatrný, křivka teploty má vzhledem k charakteru zahřívání látky teplota vzniká spád ve směru do středulátky a je závislý na rychlosti ohřevu a na vlastnostech látky. Již v tomto úseku sušení dochází k počátečním objemovým změnám sušené látky /41/.

II. Úsek konstatní rychlosti sušení, velikost rychlosti sušení je dána tangentou úhlu sklonu křivky sušení. V tomto úseku dochází k odpařování vody volné, kdy povrch látky je tak vlhký, že se chová jako volná hladina kapaliny. / 41 /. Teplota povrchu látky se postupně snižuje do jejího nitra. Postupné úbytky vlhkosti jsou rovnovážné a odpovídají lineárnímu průběhu smrštění, které je ukončeno úplným odpařením vody volné.

K tomu dochází na konci tohoto úseku v t. zv. kritickém bodě, při kritické vlhkosti, která se bliží hygroskopické.

III. Úsek klesající rychlosti sušení je charakteristický pro poslední část stadia sušení. Zde se odpařuje voda vázaná fyzikálně chemicky. Pro křivku sušení je typický její průběh, kdy se asymptoticky bliží k nule. Vlhkost látky klesá až na hodnotu konečnou, která je rovna vlhkosti rovnovážné. Teplota látky se zvyšuje za současného vzniku teplotního spádu směrem do středu sušené látky a bliží se teplotě sušící atmosféry / 41 /.

IV. Úsek rovnovážného stavu následuje po úseku klesající rychlosti sušení, nesouvisí již s vlastním sušením, neboť sušení je již ukončeno. Zde je docíleno vyrovnání teplot parciálních tlaků a vlhkosti v látce. Jednotlivé délky úseků (period) sušení a intenzita vypařování vlhkosti závisí na podmínkách sušicího prostředí / 9 /:

- a) teplotě
- b) relativní vlhkosti
- c) rychlosti jejího šíření a na vlastnostech sušené látky (formy) :
- d) teplotě, vlhkosti

Žihání je ta část tepelného zpracování látek (sádrových forem), při kterém se z formy uvolňuje voda chemicky vázaná (voda krystalická). Tento děj je proti sušení z hlediska odstraňování vlhkosti méně podstatný, avšak při tepelném zpracování sádrových forem je mu nutno přikládat také význam.

3.0 VLASTNOSTI VLHKÉHO VZDUCHU V PROCESU SUŠENÍ SÁDROVÝCH FOREM

Při rozboru nejdůležitějších vlivů na tepelné zpracování sádrových forem je nutné se zabývat také atmosférou tepelného zpracování. Jak již bylo dříve řečeno, je sušení nosnou částí tepelného zpracování těchto forem (hlavně z hlediska odstraňování velkého množství vlhkosti), a proto budeme v této kapitole sledovat některé vlastnosti vlhkého vzduchu v procesu sušení.

Při sušení se ze sádrové formy odstraňuje voda volná a z části voda vázená v dihydrátu a polohydrátu síranu vápenatého / 45 /. Při tomto procesu nastávají změny ve stavu vzduchu, který je tvořen směsí suchého vzduchu a vodní páry. Každá z obou těchto složek je zastoupena v této směsi s určitým podílem a temuto podílu přísluší určitý tlak, zvaný parciální. Suchý vzduch může na sebe pojmut určité množství páry. Bude-li vzduch vodní parou nasycen, pak jí bude odpovídat maximální parciální tlak. Tlak syté vodní páry je označován jako p_p " a závisí pouze na teplotě. Závislost tlaku syté vodní páry na teplotě je patrné z tabulky 3.1

Tabulka 3.1:

Teplota vzduchu /°C/	0	10	20	30	40	50
p_p /kPa/	0,622	1,251	2,383	4,325	7,520	12,57
Teplota vzduchu /°C/	60	70	80	90	100	200
p_p /kPa/	20,310	31,770	48,290	71,490	103,32	1585,

Ochlazením nasyceného vzduchu se část páry sráží a stane se při nižší teplotě přebytečnou ve formě mlhy a pára se tak

stávě vlhkou.

3.1 Fyzikální vlastnosti vzduchu

Relativní vlhkost $\varphi\%$ vyjadřuje schopnost vzduchu přijimat vodní páru. Tato vlhkost je dána poměrem obsahu vodních par (v určitém objemu vzduchu za daných podmínek) k obsahu vodních par při stavu nasycení za stejně teploty. Místo hmotnosti lze uvažovat i poměr měrných hmotností vodní páry nebo parciálních tlaků.

$$\varphi = \frac{p_p}{p_p''} = \frac{m_p}{m_p''} \quad (3.1)$$

kde p_p - parciální tlak páry

p_p'' - parciální tlak nasycené vodní páry

m_p - měrná hmotnost páry

m_p'' - měrná hmotnost nasycené vodní páry

Měrná vlhkost vzduchu X označuje hmotnost par připadající na 1 kg suchého vzduchu:

$$X = \frac{m_p}{m_{sv}''} \quad (3.2)$$

kde m_p - hmotnost páry

m_{sv}'' - hmotnost suchého vzduchu

Obě vlhkosti můžeme vzájemně přpočítat za předpokladu, že je znám tlak nasycení pro danou teplotu. Tento převod je možný za pomocí Mollierova diagramu.

3.1.1 Diagram vlhkého vzduchu

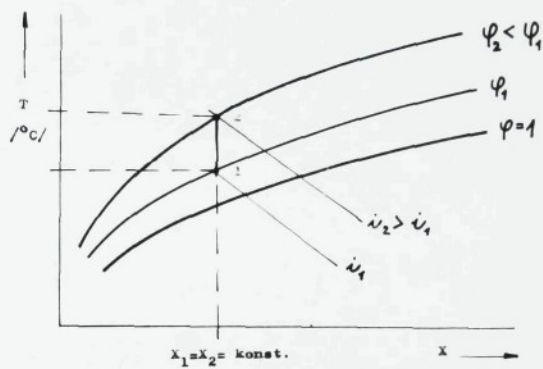
Mellierův (psychrometrický) diagram i - x umožňuje grafické znázornění změn, k nimž v průběhu jevů dochází. Je konstruován nejčastěji pro barometrický tlak vzduchu - 98,1 kPa, změny stavu probíhají za konstantního tlaku. Z diagramu lze vyčíst teplotu rosného bodu T_R pro daný stav vzduchu, což je teplota, při niž je vzduch o dané vlhkosti vodními parami právě nasycen a pára v něm obsažená se při dalším nepetrném ochlazení sráží v podobě mlhy. Dále z diagramu vyčteme teplotu mokrého teploměru T_{mp} (jejiž izoterma prochází průsečíkem křivky sýtosti s čárou přibližně $i = \text{konst.}$ jdoucí daným stavem vzduchu).

3.1.2 Změny stavu vzduchu v procesu sušení

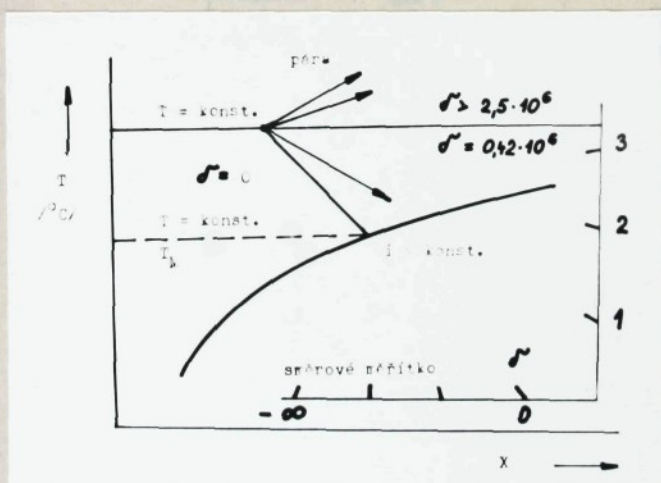
Sledují-li se změny stavu vlhkého vzduchu uvažuje se, že jejich účast je při stálém stejném množství suchého vzduchu. To je 1 kg, při tom množství páry x kg se mění.

Ohřívání vzduchu - při ohřívání vzduchu se mění měrná vlhkost vzduchu, probíhá tato změna z počátečního stavu 1 do stavu 2, což je patrné z obrázku 3.1

Odpářování vody bez přivodu tepla - je adiabatická změna k niž dochází v případech, kdy potřebné teplo odpařování se odebírá z okoli. Vlhčení vzduchu a výměna tepla mezi vzduchem a vodou ustane tehdy, je-li relativní vlhkost vzduchu 100 %. pak v diagramu obrázek 3.2, je dán rovnovážný stav vzduchu nad hladinou odpařování průsečíkem izoentalpy.



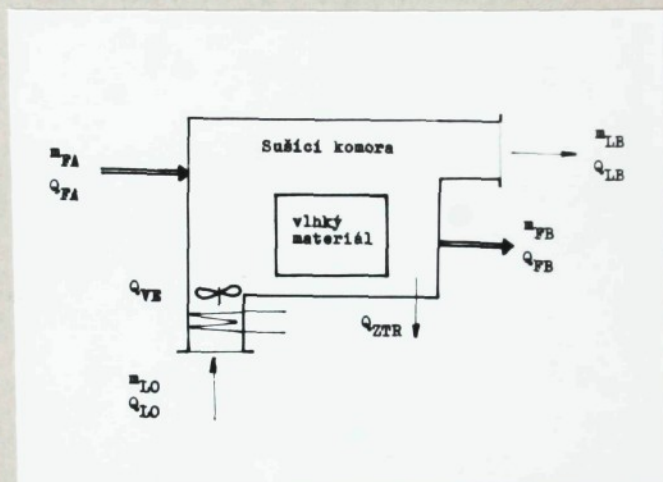
Obr. 3.1 Ohřívání vzduchu /41/



Obr. 3.2 Rovnovážný stav vzduchu při odpařování /41/

3.2 Princip činnosti vzduchové sušárny

Při sledování činnosti této sušárny je nutné vycházet z podmínky, že p_s musí být větší než p_{H_2O} (parciální tlak vodních par na povrchu sušené látky musí být větší než parciální tlak vodních par obsažených v sušici atmosféře). Schematické znázornění sušicího zařízení - vzduchové sušárny je patrné z obrázku 3.3



Obr. 3.3 Schema vzduchové sušárny

- m_{LA} - hmotnost vzduchu vstupujícího do sušárny
- m_{LB} - hmotnost vzduchu vystupujícího ze sušárny
- m_{FA} - hmotnost látky před sušením
- m_{FB} - hmotnost látky po sušení
- Q_{FA} - množství tepla obsažené v látce před sušením
- Q_{FB} - množství tepla obsažené v látce po sušení
- Q_{LA} - množství tepla vzduchu před vstupem do sušárny
- Q_{BL} - množství tepla vzduchu na výstupu ze sušárny
- $Q_{OHŘ}$ - množství tepla přivedené ohříváčem
- Q_{VE} - množství tepla vzniklého prací ventilátoru

Q_{ZTR} - energetické ztráty vzniklé nedokonalou izolací sušici atmosféry.

Celková energetická bilance sušicího zařízení:

$$Q_{LA} + Q_{OH} + Q_{VE} + Q_{FA} = Q_{LB} + Q_{FB} + Q_{ZTR} \quad (3.3)$$

Množství vody odstraněné z látky sušením lze vyjádřit vztahem:

$$\Delta m_w = m_{FA} - m_{FB} = m_{LB} - m_{LA}$$

$$\Delta m_w = m_{sv} \cdot (d_B - d_A) = m_{sv} \cdot \Delta d$$

kde m_{sv} - hmotnost suchého vzduchu

Δd - změna tepelného obsahu

Po úpravě rovnice (3.3) lze psát:

$$- Q_{LA} + Q_{LB} = Q_{FA} - Q_{FB} + Q_{VE} + Q_{ZTR}$$

$$Q_{LA} = m_{sv} \cdot j_A; \quad Q_{LB} = m_{sv} \cdot j_B$$

pro jednotková množství tepla lze psát vztah:

$$q_{LB} - q_{LA} = q_{FA} - q_{FB} + q_{VE} - q_{ZTR}$$

$$q_{LB} - q_{LA} = \frac{m_{sv}}{\Delta m_w} \cdot (j_B - j_A) = m_{sv} \cdot (j_B - j_A) \quad (3.4)$$

kde j_A - entalpie vzduchu na vstupu do sušárny

j_B - entalpie vzduchu na výstupu ze sušárny

m_{sv} - množství suchého vzduchu

Entalpie vzduchu na výstupu ze sušárny je dána vztahem:

$$j_B = j_A + \frac{1}{m_{sv}} \cdot (q_{FA} - q_{FB} - q_{ZTR} + q_{VE})$$

$$j_B = j_A + \frac{1}{m_{sv}} \cdot \Delta q''$$

podle poměru $\frac{\Delta q''}{m_{sv}}$ lze bliže charakterizovat sušárnu.

$$\frac{\Delta q''}{m_{sv}}$$

= 0 - případ teoretické sušárny
 $q_{FA} = q_{FB}$, $q_{VE} = q_{ZTR}$

> 0 - sušení s přívodem tepla
 $q_{FA} > q_{FB}$, $q_{VE} = q_{ZTR}$

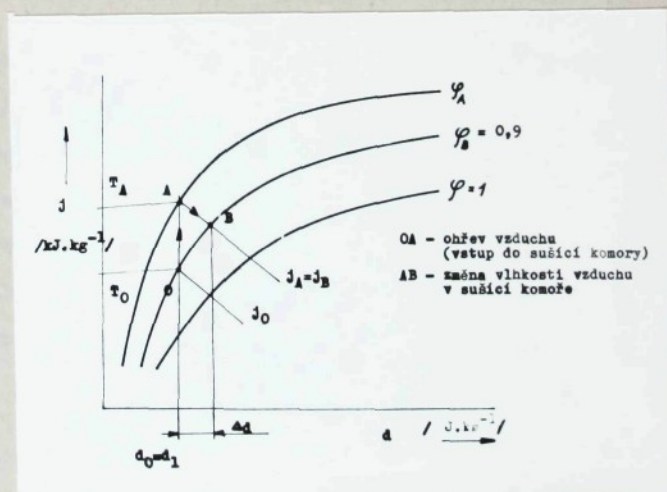
< 0 - sušení s odvodem tepla
 $q_{FB} > q_{FA}$, $q_{VE} = q_{ZTR}$

Pro případ teoretické sušárny platí $j_A = j_B$, $\Delta j = 0$.

Množství tepla, které je třeba k ohřátí vzduchu:

$Q_{OHŘ} = m_{sv} \cdot (j_A - j_0)$, pak pro jednotkové množství tepla lze psát vztah: $q_{OHŘ} = \frac{Q_{OHŘ}}{m_W} = \frac{j_A - j_0}{\Delta d}$

Znázornění ohřevu vzduchu a změny vlhkosti vzduchu v sušící komoře je patrné z obr. 3.4



Obr. 3.4 Znázornění ohřevu vzduchu a změny vlhkosti vzduchu v sušící komoře teoretické sušárny

4.0 ODLITKY ZÍSKANÉ LITÍM DO FOREM ZE SÁDROVÝCH SMĚSÍ

Výroba odlitků získávaných ze sádrových forem není ve slévárenství neznámá. Je to jeden ze zvláštních způsobů výroby odlitků s nižší teplotou tavení převážně slitin neželzných kovů (Al, Mg, Zn, i některých slitin Cu). Odlitky se vyznačují zejména vysokou hladkostí povrchu, dobrou reprodukci nejjemnějších detailů a velmi dobrou rozměrovou přesností. Přesnost těchto odlitků je závislá na celé řadě vlivů. Je dána přesnosti formy a modelového zařízení, jejich technickým provedením, použitou sádrovou směsí atd. Je též závislá na fyzikálních a technologických vlastnostech nejen formy, ale i odlévaného kovu. Z důvodu složnosti je nutno sledovat přesnost odlitků komplexně. Použitá technologie výroby má vliv na vztah mezi rozdíly modelového zařízení a konečnými rozměry odlitku.

Geometrická přesnost odlitku se může definovat podle / 37 / jako souhrn 3 složek:

- a) rozměrová přesnost včetně úchytek geometrického tvaru dle ČSN 01 4470,
- b) tvarová přesnost, která zahrnuje úchylky skutečného tvaru odlitku vlivem deformací při brzděném smršťování nebo vlivem nerovnoměrného rozložení hmoty odlitku,
- c) jakost povrchu určená drsností povrchu.

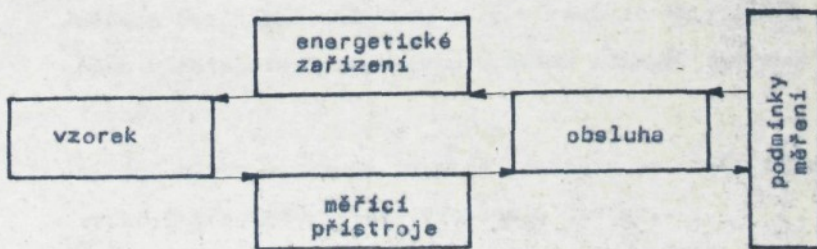
Výzkumy ukázaly / 20 /, že dosažená rozměrová přesnost odlitků získávaných ze sádrových forem se pohybuje $\pm 0,1 \text{ mm}$ na délku 100 mm i u odlitků složitějších tvarů. Získané odlitky se vyznačují také vysokou hladkostí povrchu a dosahuje se drsnost povrchu $R_a = 0,8 - 1,6 \mu\text{m}$.

Na tuto přesnost rozměrů a kvalitu povrchu má vedle vhodně volené sádrové směsi významný vliv správně navržený režim tepelného zpracování. Je-li sádrová forma nedostatečně tepelně zpracována, pak získané odlitky jsou nekvalitní, neboť nesplňují požadavky na ně kladené.

5.0 EXPERIMENTÁLNÍ SLEDOVÁNÍ TEPELNÉHO ZPRACOVÁNÍ FOREM ZE SÁDROVÝCH SMĚSÍ

5.1 Návrh metodiky sledování tepelného zpracování sádrových forem v laboratorních podmínkách / 50 /

Při návrhu metodiky a laboratorního zařízení pro sledování procesu tepelného zpracování sádrových forem byla využita termická analýza. Tato metoda umožnuje sledovat úbytky hmotnosti tepelně zpracovaných látek v našem případě sádrových forem v závislosti na čase při různých podmínkách ohřevu. Pod pojmem termické analýzy rozumíme obecně experimentální metody pomocí kterých lze sledovat některé fyzikální vlastnosti zkoumané látky v závislosti na čase nebo na teplotě. Tato metoda zahrnuje měření při kterých se plynule registruje určitá vlastnost sledované látky při jejím ohřevu. Fyzikální experiment termické analýzy je patrný z obrázku 5.1



Obr 5.1 Blokové schema základního uspořádání fyzikálního experimentu termické analýzy

Pro realizaci měření na vzorku 1 (vzorek sádrové formy) je třeba, aby blok 2 byl tvořen vhodnou sestavou energetického zařízení, které svými výstupy působí na vzorek, jehož odezva je sledována pomocí soustavy měřicích zařízení připojených svými vstupy na vzorek. Na správně nastaveném energetickém zařízení a vyhodnocení odezvy přístrojů zabezpečuje blok obsluhy 3. To podle toho jaké jsou požadavky na měření v bloku 4. Tomuto fyzikálnímu experimentu přísluší určitý tok informací.

Na průběh fyzikálního experimentu, resp. experimentálního uspořádání má vliv způsob uložení vzorku a měřicích čidel, způsob styku vzorku s jeho okolím atd., což je důležité pro další vyhodnocení experimentu. Způsob, jakým se dostává hodnota sledované fyzikální vlastnosti jako určitý signál na vstupu měřidla přístroje je ovlivněn celou řadu faktorů:

1. Sledovaný vzorek - odezva vzorku na změnu teploty jeho okolí je dána jeho velikostí a geometrií, vodivosti, tepelnou kapacitou a dalšími faktory. Okamžitá hodnota měřené fyzikální veličiny je tak závislá na fyzikálních vlastnostech materiálu v našem případě sádrové formě.
2. Měřicí hlava - hlavní tepelné rezistence styčných povrchů (přechodů) mezi vzorkem a čidlem.
3. Měřicí zařízení - dopravní zpoždění mezi okamžitou hodnotou měřené veličiny zprostředkováné čidlem a výstupním signálem měřidla přístroje, t.j. vliv elektrického zpracování sledovaných veličin pomocí pře-

vědníků. Hodnota registrovaného signálu Z_{REG} je vztažená ke skutečné hodnotě hledaného procesu Z_{PROC} úměrou. Platí vztah, že $Z_{REG} \approx Z_{PROC} + \phi(\tau_{(1)} + \tau_{(2)} + \tau_{(3)})$

kde ϕ je rychlosť změny ovládaného parametru okoli vzorku

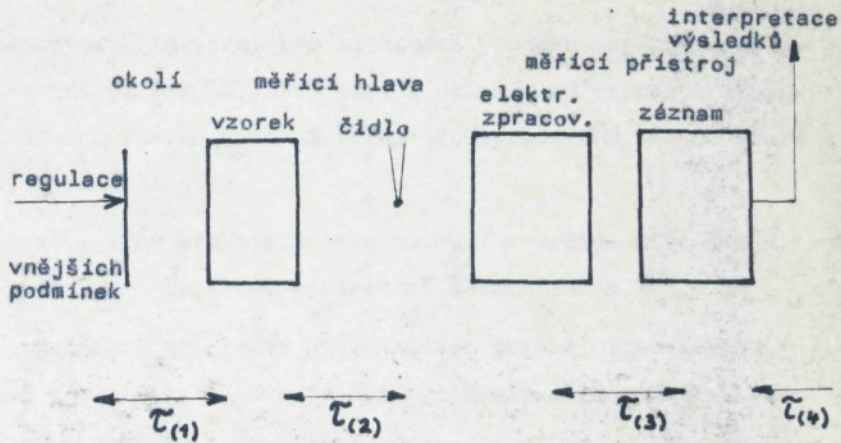
$\tau_{(1)}$ - časová konstanta vlivu vzorku

$\tau_{(2)}$ - časová konstanta vlivu vzorku a čidla

$\tau_{(3)}$ - časová konstanta vlivu záznamu

$\tau_{(4)}$ - čas zpracování výsledků

Pestup zpracování výsledků termické analýzy je dán způsobem, jakým uchováváme výstupní signál z měřicího přístroje. Typickou součástí těchto přístrojů je zapisovač, který zprostředkovává grafický záznam sledované veličiny (veličin) na čase nebo teplotě. V praxi používáme klasických zapisovačů s přímým ovládáním zapisovacího prvku.



Obr. 5.2 Schema dopravního zpoždění a jeho rozložení v následujících etapách termické analýzy

Pro sledování teploty se využívá termoelektrických článků. S klesajícím průměrem větví termočlánků se potlačuje i škodlivý vliv odvodu tepla z měřeného prostoru, čímž se snižuje časová konstanta. Časový průběh měření teploty je dán rovnicí 5.1

$$T = \Delta T' [1 - \exp(-t/\tau)] \quad (5.1)$$

kde $\Delta T'$ - změna absolutní teploty

t - čas

τ - časová konstanta čidla, t.j. doba za kterou dosáhne měřený údaj 63,2 % své konečné hodnoty

5.2 Návrh měřícího zařízení pro sledování tepelného zpracování sádrových forem

5.2.1 Požadavky na měřící zařízení

Laboratorní zařízení pro sledování procesu tepelného zpracování vzorků sádrových forem musí s ohledem na možnosti využití získaných poznatků v praxi tepelného zpracování těchto forem splňovat tyto požadavky:

1. Velikost a tvar zkušebního vzorku musí v určité míře odrážet poměry při tepelném zpracování těchto forem.
2. Musí umožňovat stanovení hmotnostních úbytků připravených vzorků v závislosti na čase při současném sledování průběhu teplot na povrchu a ve středu vzorku.
3. Musí umožňovat různé podmínky ohřevu vzorků, např. různé rychlosti ohřevu, prodlevy při různých teplotách a pod.

4. Musí zajistit pokud možno co nejjednodušší a přehledný způsob vyhodnocení získaných výsledků.

Celý vývoj metodiky měření je možno rozdělit do dvou etap, zejména ve smyslu údajů získaných na zařízení a jejich porovnání s výsledky měření na klasických termováhách.

5.2.2 Popis měřicího zařízení

Pro návrh termováhy pro termogravimetrická měření vzorků ze sádrových směsi se vycházelo z podmínek katalogy materiálu a strojirenské metalurgie Vysoké školy strojní a textilní v Liberci.

U daného zařízení bylo místo principu analytických vah, který je typický pro klasické termováhy, využito pružné vlastnosti ocelového tyčového materiálu o průměru 2 mm a délky 150 mm. Tento materiál byl upevněn jako staticky určitý větknutý nosník na pohyblivou část masivního stojanu. Prohnutí pružného materiálu je určeno hmotností zavěšeného sádrového vzorku na jeho volném konci. Snímání změny polohy tyčového materiálu (nosníku) bylo realizováno pomocí induktivního vysílače č. 99424, který umožňuje vést střídavý signál do převodníku č. 90124 a stabilizátoru napětí ST 8000.1, usměrněná výstupní veličina byla registrována šestibodovým zapisovačem Mk 16 (NDR). Ke stanovení závislosti výchylky nosníku a její registrace na zapisovači pomocí vychýlení jádra induktivního vysílače byla použita kalibrace pomocí laboratorních závaží. Na tomto základě

byla stanovena kalibrační křivka $g = f(mV)$, která je v příloze 1.

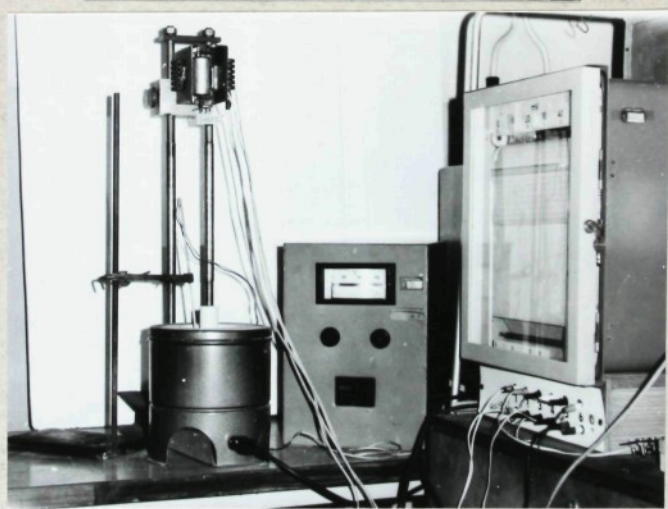
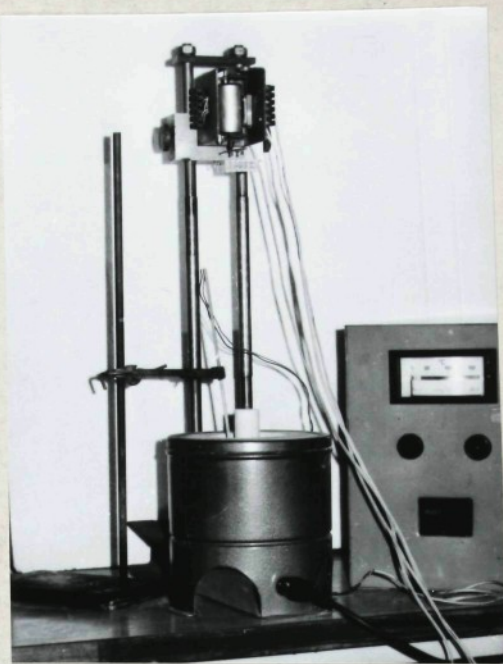
Velikost výchylky a tím i průběh kalibrační křivky je možno měnit změnou hodnoty odporu v převodníku.

Pro ohřev vzorků byla použita běžná kelimková pec typ K 59, doplněná regulačním zařízením teploty ZEPAFOTEM. Celkové uspořádání tohoto zařízení je na obrázku 5.3 a skupinové schéma na obrázku 5.4.

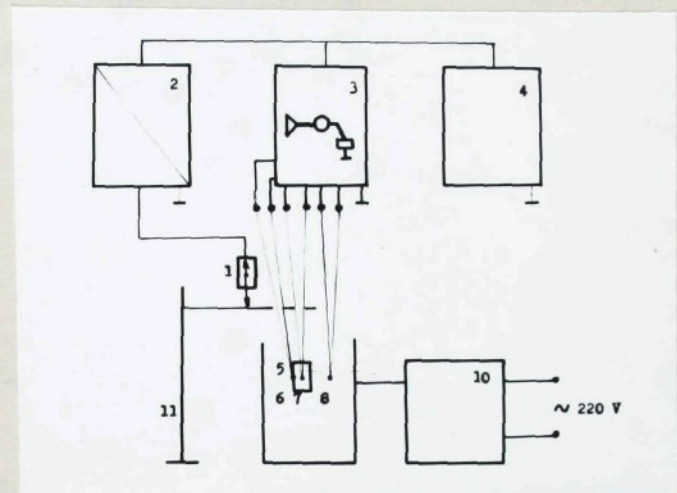
Hlavní část zařízení tvoří stojan skládající se ze dvou U profilů a dvou nosných tyčí, po kterých se pohybuje ve svíleém směru nosník, pomocí kterého je možno nastavit správnou polohu jádra induktivního vysílače.

5.2.3 Měření teploty

Teplota při tepelném zpracování byla měřena pomocí termoelektrických článků (termočlánků) Fe - Ko o $\varnothing 0,5$ mm a NiCr - Ni $\varnothing 0,3$ mm. Kalibrační křivky těchto termočlánků jsou v příloze č. 2 a 3. Pro stanovení teploty v peci byl použit termočlánek Fe - Ko a pro měření teploty ve středu a na povrchu vzorku termočlánky NiCr - Ni. Termočlánek Fe - Ko byl chráněn kapilárou $\varnothing 3$ mm. Zvláštní pozornost byla věnována termočlánkům ke snímání teploty vzorku. Po několika úpravách se nejvíce osvědčilo zabudování, které je na obrázku 5.5. Toto zabudování termočlánku bylo prováděno pomocí připravku, který je na obrázku 5.6. Pohled na připravený vzorek k měření je na obrázku 5.7.

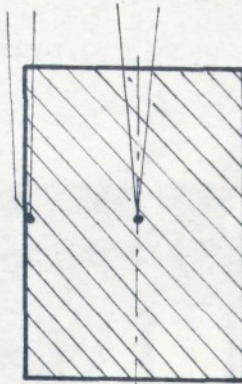


Obr. 5.3 Celkové uspořádání zařízení



- Legenda:
- 1 - induktivní vysílač 99 424
 - 2 - převodník 90 124
 - 3 - šestibodový zapisovač Mk I6 (NDR)
 - 4 - stabilizátor napěti ST 8000.1
 - 5 - zkušební vzorek
 - 6 - termočlánek NiCr - Ni \varnothing 0,3 mm
 - 7 - termočlánek NiCr - Ni \varnothing 0,3 mm
 - 8 - termočlánek Fe - Ko \varnothing 0,5 mm
 - 9 - elektrická kelimková pec K 59
 - 10 - fotoelektrický regulátor ZEPAFOT
 - 11 - stojan

Obr. 5.4 Skupinové schema zařízení



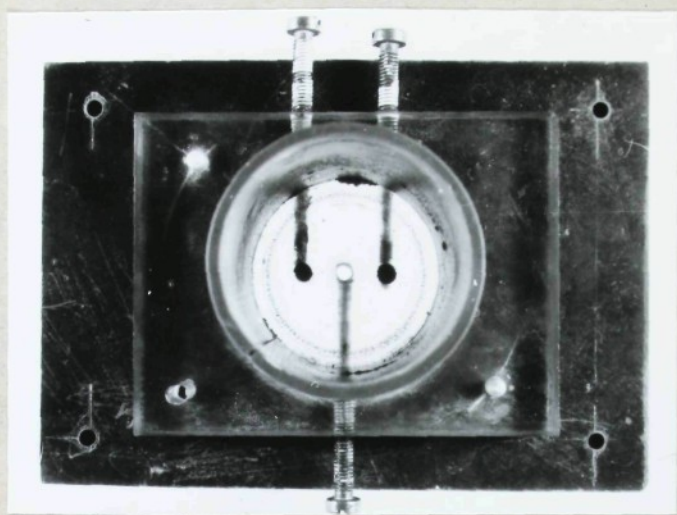
Obr. 5.5 Zabudování termočlánků do vzorku

5.2.4 Postup při termogravimetrickém měření vzorků sádrových forem

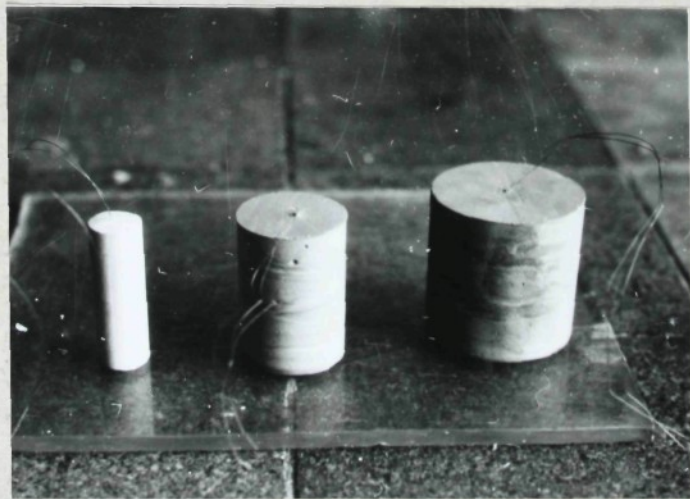
Připravený vzorek odlitý ze sádrové břežky (připrava vzorku je popsána v kapitole 5.2.5) se zabudovanými termočlánky byl před upevněním na zařízení zvážen na předvážkách a pak zavěšen na pružný element zařízení (termovéh). Nastavením výchozí polohy jádra induktivního vysílače a po zapnutí elektrické pece a uvedení do chodu 6 budového zapisovače začalo termogravimetrické měření vzorku. V průběhu měření byly registrovány tyto funkční závislosti:

1. Okamžitý úbytek hmotnosti vzorku, jako funkce času.
2. Teplota na povrchu vzorku jako funkce času.
3. Teplota ve středu vzorku jako funkce času.
4. Teplota v peci jako funkce času,

Při měření je nutno dbát na rychlosť ohřevu vzorku a na velikost teploty tak, aby nepřekročila 700°C . kdy



Obr. 5.6 Přípravek pro zabudování termočlánků



Obr. 5.7 Připravený vzorek k měření

za určitých podmínek dochází k rozkladu síranu vápenatého.

Posuv papíru v zapisovači byl seřízen na hodnotu 600 - 1200 mm za hodinu podle potřeby tak, aby zápis bodů byl dostatečně čitelný a přehledný. Po ukončení měření, kdy úbytek hmotnosti sádrového vzorku byl konstantní, byl vzorek z pece vyjmut a opět zvážen. To z důvodu kontroly, přesnosti měření na daném zařízení. Z naměřených výsledků byla sestavena tabulka a sestrojeny další grafické závislosti:

a) okamžitý poměrný úbytek hmotnosti jako funkce času:

$$\frac{m_x}{m_{poč}} = f(t)$$

b) okamžitý poměrný zbytek hmotnosti jako funkce teploty:

$$\frac{m_{poč} - m_x}{m_{poč}} = f(T)$$

c) teplota v jednotlivých měřených místech vzorku jako funkce času:

$$T = f(t)$$

kde m_x - úbytek hmotnosti v vzorku v daném časovém okamžiku;

$m_{poč}$ - počáteční hmotnost vzorku

$m_y = m_{poč} - m_x$ - zbytek hmotnosti vzorku v určitém časovém okamžiku

5.2.5 Příprava vzorků pro termogravimetrická měření

S ohledem na vliv tvarového a velikostního faktoru vzorků sádrových forem při jejich tepelném zpracování by-

ly použity vzorky válcového tvaru nebo tvaru krychle. Pro výrobu vzorků byla použita forma PVC. Na přípravu jednoho vzorku je potřeba 100 - 150 g (sádrové směsi, sádry) a určité množství rozdělávací vody, dané zkouškou konsistence dle ČSN 66 5224.

Příprava vzorku ze sádrové směsi nenapěněné se provádí podle následujícího časového rozpisu. Sádrová směs se 15 s sypne do připravené prýžové misky s potřebným množstvím rozdělávací vody. Pak následuje michání po dobu 45 s, 30 s se prýžovou miskou poklepává, čímž se vyklopává vzduch. Pak následuje po dobu 20 s pomalé michání. Takto připravená směs se lije do formy z PVC, která je upěvněna na přípravku tak, aby bylo možno zabudovat termočlánky do středu a na povrch vzorku. Ztuhlý sádrový vzorek se po určité době z formy z PVC vyjímá a tím je připraven pro vlastní termogravimetrické měření.

Příprava vzorků z napěněné sádrové směsi se provádí tak, že se nejdříve vytvoří pěna. Na přípravu pěny se nejčastěji používá 3 % vodní roztok ETOXON EPA. Dále je potřeba příslušná sádrová směs a jí odpovídající množství rozdělávací vody, určené zkouškou konsistence. Postup přípravy napěněné sádrové břečky je následující. Do válcové nádoby objemu asi 2 l se nalije 100 ml vody 20°C teplé a 3 ml ETOXONU EPA. Obsah této nádoby se michá rychlosťí 1500 ot/min. pomocí speciální michačky, která má jako michací element 2 prýžové kotouče o průměru asi 60 mm. / 22 /. Tím dojde k postupnému napěnění sapomátové emulze. Další postup se provádí tak, že na 100 g sádrové směsi (sádry) se používá asi 70 ml

rozdělávací vody (podle druhu sádrové směsi), do které se přidá 35 ml připravené pěny. Další postup se provádí podle následujícího časového rozpisu. Sypání sádrové směsi do vody po dobu 15 s, dále následuje 15 s homogenizace a po té probíhá napěňování, které se skládá ze 3 částí (etap). První část se provádí po dobu 15 s s výše uvedenou michačkou, kdy rychlosť michání je 1700 otáček za minutu. Druhé část trvá 30 s a rychlosť michání je 1500 otáček za minutu, třetí etapa trvá 35 s rychlostí 800 - 1000 otáček za minutu.

Takto připravená napěněná sádrová břečka se nalévá do příslušné formy z PVC s připravenými termočlánky (tak jak bylo uvedeno při přípravě vzorků nenapěněných). Ztuhlý sádrový vzorek se po určité době z formy vyjímá a tím je připraven k měření.

5.3 Přehled termogravimetrických měření vzorků při sledování tepelného zpracování sádrových forem

Na dříve uvedeném zařízení (termováhách) byla provedena celá řada měření na vzorcích válcového tvaru Ø 20 x 50 mm, Ø 35 x 50 mm, Ø 50 x 50 mm a 22,5 x 22,5 x 90 mm za použití nejrůznějších sáder a sádrových směsí. Do této práce jsou vybrána jen některé měření, prováděná při plynulém ohřevu vzorku v peci. Z hlediska sádrových směsí největší pozornost byla kláděna (z důvodu ceny a dostupnosti na nášem trhu) na:

1. alabastrovou sádu,
2. směs 50 hmotnostních % alabastrové sádry a 50 hmotnostních % stavební sádry, která je dále označována 50 - 50,

3. směs 50 hmotnostních % alabastrová sádry a 50 hmotnostních % stavební sádry - napěněná, označovaná dále 50 - 50 N.

Pro přípravu vzorků byla použita prášková sádra Modellgips MG 11 druh II (NDR) označovaná jako sádra alabastrová TGL 21 842. Dále byla použita stavební sádra tuzemského původu, výrobce SOSD, n.p. Ostrava, závod Kobeřice u Opavy, ČSN 722301.

Přehled termogravimetrických měření, registrace funkčních závislostí a jejich příslušné grafické závislosti jsou uvedeny, v příloze č. 4 - 40.

5.3.1 Vyhodnocení naměřených hodnot

Byla provedena řada měření vzorků $\emptyset 20 \times 50$ mm, $\emptyset 35 \times 50$ mm a $\emptyset 50 \times 50$ mm, dále vzorky tvaru $22,5 \times 22,5 \times 90$ mm z alabastrové sádry, směsi 50 - 50 a směsi 50 - 50 N.

5.3.1.1 Závislost poměrného zbytku hmotnosti vzorku na teplotě

Při plynulém ohřevu vzorku v peci dochází k okamžitému poměrnému úbytku hmotnosti vlivem dehydratace v rozmezí teplot 40 - 450°C měřených ve středu vzorku.

1. Vzorek $\emptyset 20 \times 50$ mm - alabastrová sádra

Při teplotě 40 - 90°C se poměrný zbytek hmotnosti vzorku pohybuje od 0,986 do 0,680, při teplotě 95°C , kdy vzorek ztráci další vlhkost je poměrný zbytek hmotnosti 0,652 - 0,680. K další výrazné změně dochází při teplotě 105°C , kdy poměrný zbytek činí 0,585, od teploty 135°C činí poměrný zbytek hmotnosti 0,574. Při teplotě 210 nedochází ke změně hmotnosti a poměrný zbytek hmotnosti činí 0,560, což trvá až do konce zahřívání vzorku.

2. Vzorek \varnothing 20 x 50 mm - sádrová směs 50 - 50

Při teplotě 41 - 90°C se poměrný zbytek hmotnosti pohybuje od 0,991 - 0,680, při teplotě prodlevy 95°C je poměrný zbytek hmotnosti 0,594. K poslední výrazné změně hmotnosti dochází při teplotě 110°C, kdy poměrný zbytek hmotnosti čini 0,520. Od této teploty se hmotnost vzorku nemění i při dalším zahřívání vzorku. Úbytek hmotnosti vzorku čini 48% z jeho celkové hmotnosti.

3. Vzorek \varnothing 20 x 50 mm - sádrová směs 50 - 50 N

Při teplotě 41 - 85°C se poměrný zbytek hmotnosti pohybuje od 0,914 - 0,631. K další výrazné změně hmotnosti vzorku dochází v rozmezí teplot 95 - 115°C, kdy poměrný zbytek hmotnosti vzorku dosahuje 0,594. Při dalším zvýšení teploty je hmotnost vzorku konstantní. Úbytek hmotnosti vzorku čini 45 - 46% jeho původní hmotnosti.

4. Vzorek \varnothing 35 x 50 mm - alabastrová sádra

Při teplotě 40 - 91°C se poměrný zbytek hmotnosti pohybuje v rozmezí 0,987 - 0,762. K další výrazné změně hmotnosti vzorku dochází při teplotě prodlevy 95°C, kdy tato hodnota se pohybuje od 0,725 - 0,610. K další změně hmotnosti dochází při teplotě 120°C, kdy tato hodnota čini 0,593. K další změně hmotnosti dochází při teplotě 205°C, kdy poměrný zbytek hmotnosti čini 0,582. Při teplotě 370°C je poměrný zbytek hmotnosti vzorku konstantní a dosahuje hodnotu 0,562. Celkový úbytek hmotnosti vzorku čini 44%.

5. Vzorek \varnothing 35 x 50 mm - sádrová směs 50 - 50

Při teplotě 40 - 85°C se poměrný zbytek hmotnosti vzorku pohybuje od 0,988 do 0,762. Další změně dochází v rozmezí teplot 90 - 95°C, kdy poměrný zbytek hmotnosti se pohybuje od 0,744 - 0,561. Při teplotě prodlevy 125°C čini tato hodnota 0,529.

K poslední změně hmotnosti dochází při teplotě 350°C , kdy poměrný zbytek hmotnosti činí 0,513. Celkový úbytek hmotnosti je 48% z původní hmotnosti vzorku.

6. Vzorek $\emptyset 35 \times 50$ mm - sádrová směs 50 - 50 N.

Při teplotě $40 - 90^{\circ}\text{C}$ poměrný zbytek hmotnosti se pohybuje od 0,943 do 0,704. K další dehydrataci dochází při teplotě 115°C , kdy poměrný zbytek hmotnosti je 0,606. K poslední změně hmotnosti vzorku dochází při teplotě 290°C , kdy poměrný zbytek hmotnosti je konstantní a dosahuje hodnotu 0,558. Celkový úbytek hmotnosti vzorku je 44% jeho hmotnosti původní.

7. Vzorek $\emptyset 50 \times 50$ mm - alabastrová sádra

Při teplotě $40 - 95^{\circ}\text{C}$ činí poměrný zbytek hmotnosti 0,976 - 0,691. K další výrazné změně této hmotnosti dochází, při teplotě $105 - 115^{\circ}\text{C}$, kdy poměrný zbytek hmotnosti činí 0,677 - 0,646. Při teplotě 160°C je poměrný úbytek hmotnosti již konstantní a dosahuje hodnotu 0,550. Celkový úbytek hmotnosti vzorku činí 45% jeho původní hmotnosti.

8. Vzorek $\emptyset 50 \times 50$ mm - sádrová směs 50 - 50

Při teplotě $40 - 96^{\circ}\text{C}$ poměrný zbytek hmotnosti se pohybuje od 0,982 - 0,635. K další změně hmotnosti dochází při teplotě 110°C , kdy poměrný zbytek hmotnosti činí 0,576. Při teplotě prodlevy 127°C je poměrný zbytek hmotnosti 0,519. K poslední změně hmotnosti dochází při teplotě 140°C , kdy poměrný zbytek dosahuje hodnotu 0,517. Při dalším ohřevu vzorku je již konstantní, úbytek hmotnosti je 48% celkové hmotnosti vzorku.

9. Vzorek $\emptyset 50 \times 50$ mm - sádrová směs 50 - 50

Při teplotě $40 - 85^{\circ}\text{C}$ se poměrný zbytek hmotnosti pohybuje od 0,951 do 0,760. K další výrazné změně hmotnosti vzorku dochází při teplotě 95°C , kdy poměrný úbytek hmotnosti vzorku činí

0,716. Při teplotě prodlevy 125°C je poměrný úbytek hmotnosti 0,645. K poslední změně hmotnosti dochází při teplotě 195°C , kdy poměrný úbytek hmotnosti čini 0,532 a při dalším ohřevu vzorku se již nemění. Úbytek hmotnosti vzorku je 47% původní hmotnosti.

10. Vzorek $22,5 \times 22,5 \times 90$ mm - alabastrová sádra

Při teplotě $40 - 97^{\circ}\text{C}$ je poměrný úbytek hmotnosti vzorku 0,997 - 0,770. K další dehydrataci vzorku dochází při teplotě prodlevy 115°C , kdy poměrný zbytek hmotnosti vzorku je 0,712. Při teplotě 178°C dosahuje tato hodnota hmotnosti vzorku 0,539, která je konstantní až do teploty 215°C . Při teplotě 224°C je již poměrný zbytek hmotnosti konstantní a čini 0,534. Celkový úbytek hmotnosti vzorku je 46% jeho celkové hmotnosti.

11: Vzorek $22,5 \times 22,5 \times 90$ mm - sádrová směs 50 - 50

Při teplotě $41 - 90^{\circ}\text{C}$ se pohybuje poměrný zbytek hmotnosti od 0,998 - 0,817. Při teplotě prodlevy 105°C čini poměrný úbytek hmotnosti 0,676. K další výrazné změně hmotnosti vzorku dochází při teplotě 125°C a poměrný zbytek hmotnosti čini 0,514 a při teplotě 211°C dosahuje tato hodnota 0,511. Úbytek hmotnosti vzorku čini 48% z původní hmotnosti.

12. Vzorek $22,5 \times 22,5 \times 90$ mm - sádrová směs 50 - 50 N

Při teplotě $39 - 90^{\circ}\text{C}$ je poměrný úbytek hmotnosti vzorku 0,955 - 0,762. Při teplotě prodlevy 95°C je poměrný zbytek hmotnosti 0,649. K další změně hmotnosti vzorku vlivem dehydratace dochází při teplotě 200°C , kdy poměrný zbytek hmotnosti je 0,550. Při teplotě 295°C je již poměrný zbytek hmotnosti vzorku konstantní a dosahuje hodnotu 0,537. Celkový úbytek hmotnosti vzorku čini 46% jeho původní hmotnosti.

5.3.1.2 Vyhodnocení rozdílu teplot mezi povrchem a středem vzorku v závislosti na čase

Z měření, která byla prováděna, vyplývá, že při plynulém zahřívání vzorků v peci se mění teploty na povrchu a středu vzorku. Při zahřívání vzorků do teploty 100°C se vlivem dehydratace odstraňuje voda volná a rozdíl teplot mezi povrchem a středem vzorku se mění pozvolně. Při vyšších teplotách se odstraňuje voda vázaná a rozdíl těchto teplot se zvyšuje. Na konci tepelného zpracování sádrových vzorků, kdy již je ukončeno odstraňování vody a hmotnost vzorku je konstantní, dochází k postupnému prohřívání i středu vzorku a rozdíl teplot na povrchu a středu vzorku se začíná změňovat. Takto probíhá rozdíl teplot u vzorků menších ($\varnothing 20 \times 50 \text{ mm}$, $\varnothing 35 \times 50 \text{ mm}$, $22,5 \times 22,5 \times 90 \text{ mm}$). U vzorků $\varnothing 50 \times 50 \text{ mm}$ je tento rozdíl teplot největší na konci tepelného zpracování, kdy střed vzorku se prohřívá pomalu. Výše teploty ve středu vzorku se pohybuje od $216 - 360^{\circ}\text{C}$ a tato teplota již zajišťuje přeměnu polohydritu na anhydrit. Vzorek při této teplotě nevykazuje změnu hmotnosti.

1. Vzorek $\varnothing 20 \times 50 \text{ mm}$ - alabastrová sádra

Rozdíl teplot mezi povrchem a středem vzorku se od počátku tepelného zpracování zvětšuje, neboť se povrchové vrstvy vzorku prohřívají rychleji než střed vzorku. Od 15. minuty se teplota na povrchu vzorku začíná výrazněji zvyšovat. V 17. minutě dosahuje teplota povrchu vzorku 120°C a středu vzorku 95°C . Největší hodnotu rozdílu teplot vykazuje vzorek ve 22. minutě. Teplota na povrchu vzorku je 247°C a teplota ve středu vzorku dosahuje 155°C . Při dalším zahřívání vzorku rozdíl teplot kleseá, neboť se začínají prohřívat i střední části vzorku. Rozdíl

teplot na konci tepelného zpracování, to je ve 31. minutě, dosahuje hodnotu 29°C .

2. Vzorek $\emptyset 20 \times 50$ mm - sádrová směs 50 - 50

Rozdíl teplot v tomto vzorku se mění následovně. Od počátku tepelného zpracování až do 13. minuty, kdy teplota na povrchu vzorku dosahuje 95°C a střed vzorku 83°C . Od tohoto okamžiku se začíná rozdíl teplot postupně zvyšovat. Největší hodnotu dosahuje ve 21. minutě (teplota na povrchu vzorku je 205°C a v jeho středu 127°C). Při dalším zahřívání se rozdíly teplot začínají snižovat. Na konci tepelného zpracování, ve 31. minutě, tento rozdíl činí pouze 16°C .

3. Vzorek $\emptyset 20 \times 50$ mm - sádrová směs 50 - 50 N

Rozdíl teplot v tomto vzorku se mění od počátku tepelného zpracování až do 18. minuty, kdy rozdíl teplot nepřesahuje 30°C . Pak se začíná rozdíl teplot výrazněji zvětšovat a ve 22. minutě dosahuje teplota povrchu vzorku 398°C a střed vzorku 195°C . Pak následuje i při dalším ohřívání vzorku prohřívání jeho středních vrstev a rozdíl teplot mezi povrchem a středem se zmenšuje. Po 30. minutě dochází k vyrovnání teplot vzorku.

4. Vzorek $\emptyset 35 \times 50$ mm - alabastrová sádra

Rozdíl teplot tohoto vzorku se mění následovně od počátku tepelného zpracování až do 17. minuty, kdy se teplota mezi povrchem a středem vzorku výrazně nelisí. Od 18. minuty se teplota povrchu vzorku začíná zvyšovat, ale teplota ve středu vzorku se zvyšuje pozvolna, neboť nedošlo v této části vzorku k jeho prohřátí. Ve 30. minutě vzorek vykazuje největší rozdíl teplot. Povrch vzorku dosáhl teplotu 422°C a střed vzorku 95°C . Při dalším ohřívání vzorku se prohřívá intenzivně i jeho střed a následkem

teho se rozdíl teplot vzorku začíná zmenšovat. Na konci tepelného zpracování, to je v 62. minutě je teplota na povrchu vzorku 620°C a ve středu vzorku 546°C .

5. Vzorek $\emptyset 35 \times 50$ mm - sádrová směs 50 - 50

Rozdíl teplotv tomtéto vzorku se mění od počátku tepelného zpracování vzorku. Do 19. minuty je rozdíl teplot ve vzorku malý (nepřesahuje 30°C). Od 20. minuty se začíná rozdíl teplot ve vzorku pozvolna zvětšovat, neboť se začínají rychleji prohřívat povrchové vrstvy vzorku. Ve 38. minutě je největší rozdíl teplot. Teplota na povrchu vzorku dosahuje hodnotu 496°C a střed vzorku 130°C . Od 39. minuty, kdy se intenzivněji prohřívají i střední vrstvy vzorku, se rozdíl teplot ve vzorku zmenšuje. Na konci tepelného zpracování, to je v 62. minutě, rozdíl teplot činí 20°C .

6. Vzorek $\emptyset 35 \times 50$ mm - sádrová směs 50 - 50 N

Rozdíl teplot se od počátku tepelného zpracování ve vzorku zvětšuje až do 18. minuty, kdy rozdíl teplot mezi povrchem a středem vzorku nepřesahuje teplotu 40°C . Ve 43. minutě je rozdíl teplot největší. Vzorek dosáhl teplotu svého povrchu 583°C a teplotu ve středu vzorku 260°C . Při dalším zahřívání vzorku se rozdíly teplot ve vzorku zmenšují a na konci tepelného zpracování, to je ve 62. minutě, dosahují 55°C .

7. Vzorek $\emptyset 50 \times 50$ mm - alabastrová sádra

Rozdíl teplot ve vzorku při tepelném zpracování se mění takto - do 36. minuty je rozdíl vzorku malý (nepřesahuje 65°C .). Od 37. minuty se začíná rozdíl teplot ve vzorku zvětšovat. V 61. minutě je největší, kdy povrch vzorku dosáhnul teplotu 600°C a střed vzorku 215°C . To je způsobeno velkým průměrem

vzorku, střed vzorku za tuto dobu není ještě dostatečně prohřátý, i když hmotnost vzorku při jeho tepelném zpracování byla již od 51. minuty konstantní.

8. Vzorek Ø 50 x 50 mm - sádrová směs 50 - 50

Od počátku tepelného zpracování se rozdíl teplot ve vzorku zvětšuje pozvolna až do 35. minuty. Od 36. minuty se začínají výrazněji prohřívat povrchové vrstvy vzorku a rozdíl teplot se začíná značně zvětšovat až do konce tepelného zpracování, to je do 62. minuty, kdy vzorek dosáhl teplotu 595°C na svém povrchu a 216°C ve středu. To je opět způsobeno velkým průměrem vzorku, který neumožňuje snadněji prohřátí středu vzorku.

9. Vzorek Ø 50 x 50 mm - sádrová směs 50 - 50 N

Rozdíl teplot během tepelného zpracování je výrazný a mění se následovně - do 25. minuty se mění pozvolna, nepřesahuje 88°C . Pak vlivem intenzivního prohřívání povrchových vrstev vzorku se začíná zvětšovat. V 51. minutě je nejvyšší, povrch vzorku dociluje teplotu 585°C a střed 173°C . Pak se začínají prohřívat i střední vrstvy vzorku a rozdíl teplot se postupně začíná zmenšovat. Na konci tepelného zpracování to je v 62. minutě rozdíl teplot dosahuje 240°C .

10. Vzorek 22,5 x 22,5 x 90 mm - alabastrová sádra

Rozdíl teplot se začíná pozvolna zvětšovat až do 19. minuty, kdy se intenzivněji začínají prohřívat povrchové vrstvy vzorku. Ve 39. minutě je rozdíl teplot největší. Teplota na povrchu vzorku je 479°C a teplota středu vzorku 305°C . Pak následuje dalším ohříváním vzorku prohřívání jeho středních částí. V 56. minutě jsou teploty ve vzorku stejně dosahují

hodnotu 600°C .

11. Vzorek $22,5 \times 22,5 \times 90$ mm - sádrová směs 50 - 50

Rozdíl teplot při tepelném zpracování tohoto vzorku se mění do 19. minuty pozvolna. Po 19. minutě dochází k prohřívání povrchových vrstev vzorku. Ve 38. minutě dosahuje povrch vzorku teplotu 462°C a střed vzorku 285°C a rozdíl teplot ve vzorku je největší. Pak následuje v důsledku dalšího prohřívání vnitřních vrstev vzorku zmenšování rozdílu teplot. V 56. minutě dosahují tyto teploty 600°C , čímž jsou rozdíly teplot vyrovnaný.

12. Vzorek $22,5 \times 22,5 \times 90$ mm - sádrová směs 50 - 50 N

Rozdíl teplot na povrchu a ve středu vzorku vzrůstá do 19. minuty pozvolna. Od 20 minuty se intenzivněji prohřívají povrchové vrstvy vzorku a rozdíl teplot ve vzorku se zvětšuje výrazněji. Ve 33. minutě je největší, kdy vzorek na povrchu dosahuje teploty 486°C a střed vzorku 265°C . Při dalším prohřívání vzorku se rozdíl teplot začíná zmenšovat. Ve 48. minutě dochází k vyrovnání teplot na povrchu a ve středu vzorku, kdy tyto teploty činí 600°C .

5.3.2 Shrnutí výsledků a jejich praktické využití v technické praxi

Ze všech získaných výsledků, které byly při sledování tepelného zpracování vzorků pomocí termální analýzy dosaženy, vyplývá, že u vzorků z nemapěně sádrové směsi (alabastrová sára, sádrová směs 50 - 50) probíhá proces dehydratace volné a vázané vody, podle podmínek a velikosti vzorku. V příloze č. 41 je znázorněna závislost redukované tloušťky vzorku na

čase tepelného zpracování, kdy vzorek nemění již svou hmotnost. Celkový poměrný úbytek hmotnosti u vzorků ze směsi nenapěněných se pohybuje od 44 do 48% původní hmotnosti vzorku. Poměrný úbytek hmotnosti vzorků z napěněných směsí dosahuje hodnoty od 44 až do 46% jejich původní hmotnosti.

U napěněných vzorků dochází v důsledku větší pórovitosti ke snadnějšímu odpařování vody, což má vliv i na kratší dobu tohoto zpracování. Doba tepelného zpracování u vzorků z nena-
pěněných sádrových směsí je závislá na vodním poměru v/s. Vzorky průměru 20 x 50 mm dosahují konstantní hmotnost již v 18. až 23. minutě od počátku tepelného zpracování. U vzorků průměru 35 x 50 mm dochází k poslednímu úbytku hmotnosti ve 45. až 46. minutě. U vzorků průměru 50 x 50 mm je úbytek hmotnosti konstantní ve 47. až 51. minutě. U vzorků 22,5 x 22,5 x 90 mm poslední úbytek hmotnosti vzorku se projevuje ve 25. až 31. minutě.

U vzorků ze směsi napěněných dochází při tepelném zpracování k dosažení konstantní hmotnosti dříve než tomu bylo u příslušných vzorků ze směsi nenapěněných.

Rozdíl teplot na povrchu a ve středu vzorků je závislý na tvaru a velikosti vzorku. Vzorky menších rozměrů se prohřívají dříve než vzorky rozměrů větších. Vzorky menších průměrů dosahují i menších rozdílů teplot na jejich povrchu a středu. Vzorky velkých rozměrů dosahují i větších rozdílů teplot.

V technologickém procesu by bylo nejvhodnější z ekonomického hlediska vyrábět formy a jádra z napěněných sádrových směsí, avšak celková výroba těchto forem je náročnější než výroba forem nenapěněných. Uplatnění napěněných forem je hlavní při výrobě některých dílů ventilátorů, které mají formy nedě-

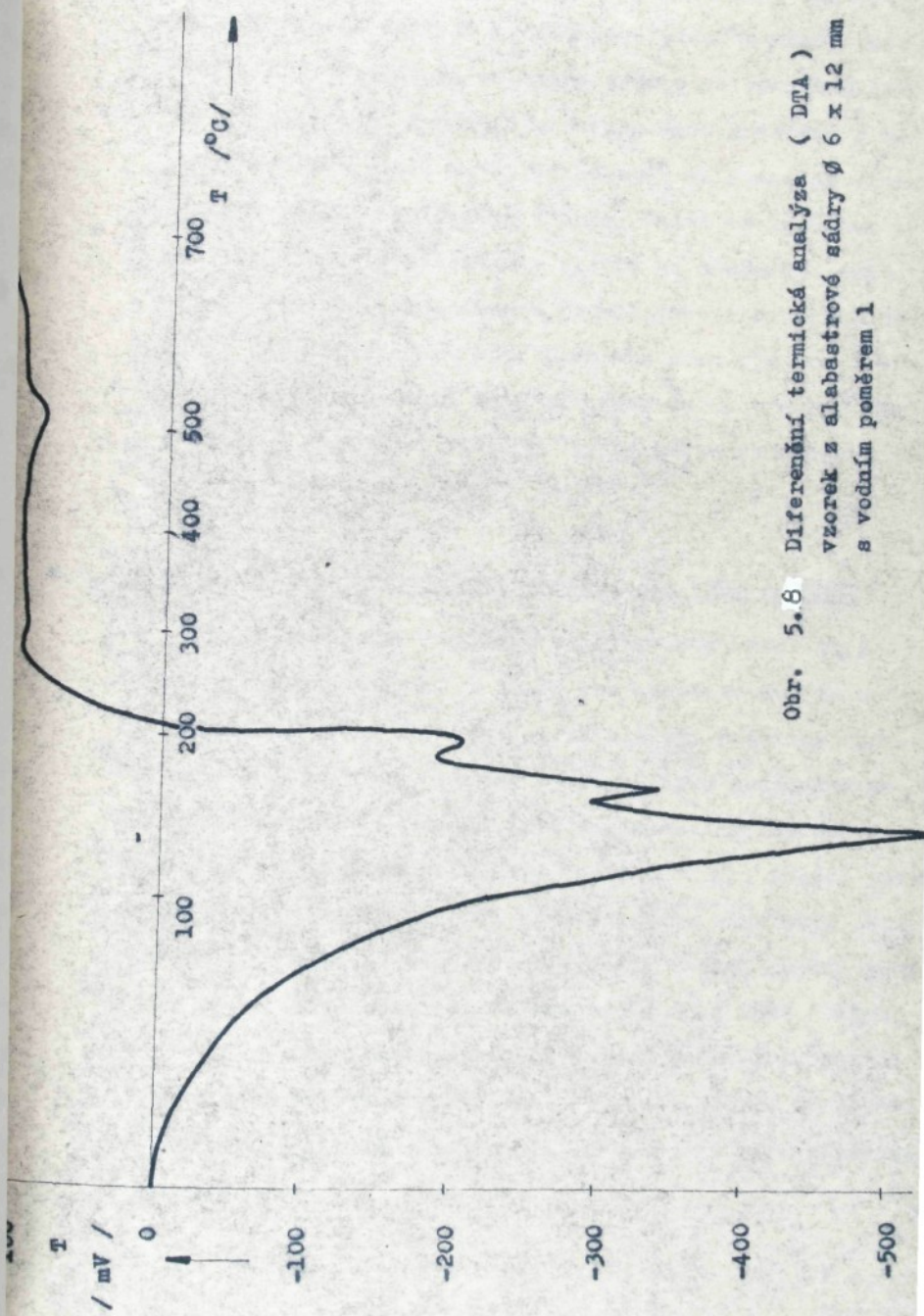
lené. Sádrové směsi nenapěněné mají velké uplatnění při výrobě dílů používaných v radiotechnice, kde je nutné zachovávat malou změnu rozměrů.

Pokud hodnotíme mechanické vlastnosti sádrových směsí napěněných a nenapěněných, pak lze konstatovat, že u napěněných směsí je větší pórositost a tyto směsi dosahují menší hodnoty pevnosti v tlaku a obyhu ve srovnání s nenapěněnými.

5.3.3 Termogravimetrická měření vzorků ze sádrových směsí prováděná ve spolupráci s VŠCHT Praha

Ve spolupráci s VŠCHT Praha bylo provedeno několik měření vzorků $\varnothing 6 \times 12$ mm, které bylo prováděno na katedře silikátů. Získané výsledky byly porovnány s výsledky dosaženými na našem experimentálním zařízení.

V této spolupráci byly analyzovány vzorky z alabastrové sádry a sádrové směsi GARASIN. Do této práce je zahrnuto měření alabastrové sádry, ostatní měření jsou uvedena v práci /36/. Z měření DTA vzorků vyplývá, že dehydratace vzorků probíhá od teploty 40°C do teploty 240°V ve třech výrazných a od sebe oddělených stupních a méně výrazném stupni při teplotě 300 až 460°C . První stupeň je největší, kdy dochází k úbytku hmotnosti 35,4% z celkové navážky, je ukončen při teplotě $150 - 155^{\circ}\text{C}$. Druhý stupeň má úbytek hmotnosti 5,1% z celkové navážky a je ukončen při teplotě 190°C . Třetí stupeň má úbytek 2,4% z celkové navážky a je ukončen při teplotě 240°C . Na křivce DTA je v oblasti $300 - 460^{\circ}\text{C}$ nevýrazný exoefekt, který svědčí o uvolňování posledního zbytku vázané vody. Zobrazení křivka DTA pro alabastrovou sádu je uvedeno na obr. 5.8.



Obr. 5.8 Diferenční termická analýza (DTA)
vzorek z slabastrové sádry $\varnothing 6 \times 12 \text{ mm}$
s vodním poměrem 1

Zařízení používané na VŠCHT je podrobně popsáno / 36 /. Hlavní část je tvořena analytickou váhou typu MEOPTA A 3. Nad ní je umístěna speciálně upravená laboratorní picka. V pecním prostoru jsou umístěny 3 termočlánky PtRo - Pt. Na 1 termočlánek se nasazuje vzorek čímž je měřena teplota ve vzorku. Další termočlánek je umístěn v pecním prostoru a slouží ke sledování teploty v peci. Poslední termočlánek slouží jako srovnávací pro DTA. Řídící a registrační jednotka obsahuje zdroj proudu pro celé zařízení. Celé zařízení je opatřeno 2 zapisovači, 1 zapisovač sleduje úbytek hmotnosti, druhý je určen pro záznam DTA.

5.4 Porovnání získaných výsledků měřených na VŠST a VŠCHT

Rozbor získaných výsledků a jejich porovnání je podrobně provedeno v práci / 36 /. Lze konstatovat, že hodnoty získané na našem zařízení se přibližují hodnotám naměřeným na VŠCHT, Praha, hlavně pokud se týká počáteční dehydratace vzorku. Měření se liší v rozmezí teplot 230 - 450°C. Měření získané na VŠCHT, Praha ukazuje, že při teplotě okolo 300 - 460°C dochází k nevýraznému exoesfektu, který svědčí o poslední dehydrataci vzorku, avšak úbytek hmotnosti není přiliš výrazný. Měření získaná na VŠST, Liberec tento úbytek zaznamenává asi jako 2 procentní. Naproti tomu naše měření nezaznamenala výrazný úbytek hmotnosti při teplotě kolem 230°C, kdy vzniká anhydrit síranu vápenatého CaSO_4 .

5.5 Zhodnocení navrženého postupu termogravimetrického měření vzorků sádrových forem při jejich tepelném zpracování

Měření na termovahách, které vyrábějí zahraniční společnosti, jsou velmi přesná na termovahách se provádějí termogravimetrická měření i měření diferenční termické analýzy. Pro měření na těchto přístrojích se používají vzorky velmi malé, nejčastěji malé navážky. Zařízení, které bylo pro sledování tepelného zpracování sádrových forem zkonstruováno na KMM a věřeno lze zhodnotit takto:

- a) Na zařízení je možno provádět měření nejrůznějších tvarů od nejménších průměrů až do průměru 50 - 60 mm a výšky vzorku 90 mm s dostatečnou citlivostí. Reprodukovatelnost měření je velmi dobrá, odchylky nepřesahují 10 %.
- b) Při ohřevu vzorků lze mimo hmotnosti snímat i teplotu uvnitř vzorku i na jeho povrchu.
- c) Na zařízení je možno sledovat vliv různých parametrů na proces tepelného zpracování, tak, jak se chovají při tepelném zpracování konkrétních sádrových forem (na př. tvar a velikost vzorku, rychlosť ohřevu, teplotu, debu prodlevy teploty atd.).

Měření, která lze na daném zařízení provést, umožňují komplexní sledování chování vzorku během tepelného zpracování a napomáhají při volbě optimálního režimu tepelného zpracování konkrétních forem ze sádrových směsí.

5.6 Sledování vlivu tvarového a velikostního činitele
sádrových forem při jejich tepelném zpracování

V podmírkách nestacionárního procesu, jako je i proces tepelného zpracování sádrových forem, je intenzita přestupu vody z ohřívané formy do sušící event, žihací atmosféry závislá také na součiniteli difuze vody, okolní atmosféře a času trvání difuze atd. Na přenos vody mezi formou a okolní atmosférou má vliv tvar a velikost formy.

Pomoci dříve uvedeného termogravimetrického měření vzorků byly získány také hodnoty okamžitých úbytků hmotnosti m_y v určitém časovém okamžiku, které byly dosazeny do vztahu $m_y = m_{poč.} - m_x$. Hodnoty m_y byly dále dosazeny do vztahu (2.7) a byly získány hodnoty součinitelu úměrnosti resp. součinitela difuze, pro teplotu ve středu vzorku a teplotu v peci. Získané hodnoty jsou uvedeny v příloze č. 49. Tyto hodnoty byly porovnány se získanými hodnotami součinitela úměrnosti α_s při tepelném zpracování standardních vzorků $\varnothing 50 \times 50$ mm, z alabastrové sádry, které jsou uvedeny v tabulce č. 5.1

Tabulka č. 5.1 Průměrné hodnoty α_s u vzorků z alabastrové sádry $\varnothing 50 \times 50$ mm, vztázené na teplotu v peci

Teplota v peci /°C/	20	50	100	200	300	400
$\alpha_s /g \cdot min^{-1}$	0,03	0,18	0,61	3,26	4,20	6,15

Hodnoty uvedené v tabulce byly vypočítány též pomocí vztahu

(2.7).

Teorie tepelného zpracování, resp. sušení sádrových forem podle LYKOVA / 30 / vychází z řešení vztahu (2.7):

$$\ln \cdot \frac{m_{poč} - m_{kon}}{m_y - m_{kon}} = - \alpha \cdot \frac{t}{m_{kon}}$$

Pro obecné vyjádření sušicího procesu může být předpokládáno, že absolutní úbytek hmotnosti, resp. absolutní úbytek vody je přímo úměrný ploše povrchu sušeného dílu. Proto lze vyjádřit vztah:

$$\alpha = \alpha_j \cdot S \quad (5.2)$$

kde α_j - součinitel úměrnosti vztázený na jednotkový povrch dílu

S - styčná plocha

Hmotnost sádrové formy (dílu) m je možno vyjádřit jako součin objemu dílu a měrné hmotnosti. Pro konečnou hmotnost formy lze psát vztah:

$$m_{kon} = \rho_{kon} \cdot V \quad (5.3)$$

kde V - objem dílu

ρ_{kon} - měrná hmotnost dílu po sušení, resp. tepelném zpracování

Dosazením vztahu (5.3) do rovnice (2.7) získáme:

$$\ln \frac{m_{poč} - m_{kon}}{m_y - m_{kon}} = - \mathcal{H} \cdot \frac{S}{V} \cdot \frac{t}{\rho_{kon}} \quad (5.4)$$

kde S/V - charakterizuje tvar sušeného dílu, resp.

$R = V/S$, což představuje redukovanou tloušťku formy

Platnost zákonitosti určené vztahem (5.4) byla potvrzena sledováním procesu tepelného zpracování vzorku z slabastrové sádry s různým poměrem S/V ($1/R$). S daným množstvím rozdělávací vody $v/s = 0,7$. Rozměry použitých vzorků byly odvozeny od válcovitého tvaru $\emptyset 50$ mm s proměnou délkou. Zkoušky byly provedeny pro teplotu 20°C a 200°C . Relativní vlhkost vzduchu se pohybovala $60 - 65\%$. Při tomto experimentu byla sledována počáteční hmotnost vzorků ($m_{poč}$), okamžitá hmotnost vzorku m_x v určitém časovém okamžiku a měrná hmotnost vzorku. Získané hodnoty byly porovnány s vypočítanými hodnotami okamžitých hmotností vzorků m_y podle vztahu (5.4).

Získané hodnoty jsou uvedeny v příloze č. 50 - 52 a grafické závislosti jsou uvedeny v příloze 53 - 56.

Sušení vzorků při teplotě 200°C bylo prováděno v sušárně STE - 26 s regulací teploty do 200°C a pohybem vnitřní atmosféry pomocí ventilátoru. Sušené vzorky byly kladeny během sušení na siťové pletivo tak, aby byly

podélně obtékány pohybující se sušící atmosférou.

5.6.1 Návrh nomogramu pro tepelné zpracování forem ze sádrových formovacích směsi nenapěných

Protože použití sádrových forem napěných je méně časté, bylo přistoupeno k návrhu nomogramu tepelného zpracování forem ze sádrových směsi nenapěných.

Vzhledem k tomu, že dosavadní pokusy potvrdily prakticky použitelnou platnost uvažované teorie tepelného zpracování, bylo přistoupeno k řešení nomogramu pro snadné a urychlené stanovení času tepelného zpracování forem obecného tvaru a velikosti. Za základ pro konstrukci byla vzata závislost:

$$\ln \frac{m_{poč} - m_{kon}}{m_y - m_{kon}} = - \frac{\alpha \cdot S \cdot t}{V \cdot \rho_{kon}} = - \frac{\alpha_j t}{R \cdot \rho_{kon}}$$

Pro zobrazení byl zvolen souřadnicový nomogram, kde v první části je použito semilogaritmických stupnic. V další části jsou stupnice lineární. Obrazem všech funkcí dilých závislosti jsou jednoduché přímky procházející počátkem souřadného systému. Pro zvýšení přesnosti odečítání byly měněny moduly vynášených lineárních stupnic (přímky se proto změnily na lomené čáry). Nomogram byl nakreslen pro rozsahy následujících hodnot:

Veličina	rozsah hodnot
t	0,1 - 20 / h /
α_j	0,1 - 10 / g.h ⁻¹ .cm ⁻² /
S/V	0 - 3 / cm ⁻¹ /
$\ln \frac{m_{poč} - m_{kon}}{m_y - m_{kon}}$	0 - 6

$R = \frac{5 - 0,4}{\frac{m_{poč} - m_{kon}}{m_y - m_{kon}}}$ /cm/
Protože vztah $\frac{m_{poč} - m_{kon}}{m_y - m_{kon}}$ znamená reletivní obsah

vlhkosti vzhledem k maximálnímu obsahu vody v sádrové formě, lze stupnici $\ln \frac{m_{poč} - m_{kon}}{m_y - m_{kon}}$ též snadno převést na % obsahu vody (vlhkosti) vzhledem k maximálnímu obsahu odstranitelných látek během tepelného zpracování. Jako odstranitelná látka je uvažována voda.

V této podobě je nomogram uveden v příloze č. 58. Stanovení hodnoty veličiny \mathcal{H}_j bylo řešeno vyhodnocením pokusu tepelného zpracování sádrových dílů - standardních vzorků ($S = 193,8 \text{ cm}^2$) pro podmínky sušení v zařízení suška STE - 26 a speciální žihací pec (bez výměny a nuceného pohybu atmosféry). Závislost hodnoty $\mathcal{H}_j = f(T)$ je uvedená v příloze č. 57. Tabulka naměřených hodnot \mathcal{H}_j se nachází též v příloze č. 57.

Při návrhu nomogramu tepelného zpracování sádrových forem bylo uvažováno zařízení pro sušení STE - 26 a žihací pec TSE - PEK 1, pro které byly zjištěny hodnoty \mathcal{H}_j experimentálně. Teorie, která byla při návrhu nomogramu uplatněna platí obecně.

5.6.1.1

Příklady odečítání z nomogramu

1. Pro vysoušený díl sádrové formy s poměrem $R = 1$.

$\mathcal{H}_{kon} = 0,9 \cdot \mathcal{H}_j = 2,0$ (odpovídá tepelnému zpracování při vysoké teplotě 400°C) za podmínek bez pohybu sušící atmosféry, je nutno stanovit časy pro tepelné zpracování resp. vysoušení 50%, 95%, 99%, 99,5% a 99,8% vody. Z nomogramu je možno odečíst ty-

to hodnoty:

% vysušené vody	čas sušení	/ hod./
50	0,3	
95	1,3	
99	2,0	
99,5	2,5	
99,8	3,0	

2. Máme stanovit průběh sušení, který probíhal stupňovitě:

4 hod. při teplotě 50°C

4 hod. při teplotě 100°C ,

16 hod. při teplotě 200°C .

Podle dříve zjištěných podkladů pro sušení v sušce ST 26 jsou hodnoty α_f , pro danou teplotu sušení 0,04, 0,15 a 1,02 g. hod.^{-1} , cm^{-2} . Velikost dílu slévárenské formy byla $200 \times 200 \times 40$ mm. Použitá sádrová směs měla po dokonalém vyušení měrnou hmotnost $\rho_{\text{kon.}} = 0,9 \text{ g. cm}^{-3}$. Z nomogramu lze odečíst:

- a) po vysušení na teplotu 50°C za dobu 4 hodin bude vysušeno méně než 50 % vody, kterou sádrový díl před sušením obsahoval. Při sušení na 100°C by stejně procento vody se vysušilo asi za 1,5 hod.
- b) Po následujícím dalším setrvání na teplotě 100°C po dobu 4 hodin dojde k vysušení asi 55 % množství vody (z nomogramu odečítáme celkovou dobu, t.j. 5,5 hodiny). Stejné procento vysušení by bylo možno dosáhnout při teplotě 200°C

za dobu asi 1 hodiny.

- c) Po následujícím sušení 16 hodin na teplotě 200°C ,
t.j. celkem při době sušení $16 + 1$ je procento vysušení vyšší než 99,8 %.

Hodnocený způsob sušení dále pokračuje žiháním při teplotě 400°C po dobu 4 hodin.

Z uvedených příkladů je zřejmé, že použití nomogramu je výhodné k účelům hodnocení a navrhování sušicích procesů při tepelném zpracování sádrových dílů.

5.6.2. Shrnutí výsledků sledování vlivu tvarového a velikostního činitele sádrových forem λ .

Při sledování vlivu tvarového a velikostního činitele sádrových forem byla vzata za základ teorie sušení podle LYKOVA a pomocí ní určen součinitel úměrnosti. Výpočet součinitelu úměrnosti byl proveden z naměřených temogravimetrických výsledků okamžitých hmotností vzorků, vztažený pro teplotu středu vzorku a pro teplotu v peci, což vyjadřuje příslušný index (viz příloha č. 49).

Součinitel úměrnosti λ pro jednotlivé vzorky je následující:

$\emptyset 20 \times 50 \text{ mm}$	-	0,05	-	$2,60 \text{ g} \cdot \text{min}^{-1}$
$\emptyset 35 \times 50 \text{ mm}$	-	0,06	-	$4,40 \text{ g} \cdot \text{min}^{-1}$
$\emptyset 50 \times 50 \text{ mm}$	-	0,11	-	$8,45 \text{ g} \cdot \text{min}^{-1}$
$22,5 \times 22,5 \times 90 \text{ mm}$	-	0,10	-	$7,70 \text{ g} \cdot \text{min}^{-1}$

Hodnoty součinitela λ pro napěněné sádrové směsi jsou u jednotlivých vzorků následující:

$\emptyset 20 \times 50 \text{ mm}$	-	0,12	-	$0,71 \text{ g} \cdot \text{min}^{-1}$
-------------------------------------	---	------	---	--

$\varnothing 35 \times 50 \text{ mm}$	- 0,24	- $1,81 \text{ g} \cdot \text{min}^{-1}$
$\varnothing 50 \times 50 \text{ mm}$	- 0,29	- $5,00 \text{ g} \cdot \text{min}^{-1}$
$22,5 \times 22,5 \times 90 \text{ mm}$	- 0,12	- $3,03 \text{ g} \cdot \text{min}^{-1}$

Maximální hodnota součinitele α_c odpovídá nejvyšší teplotě 400°C , s klesající teplotou je nižší i hodnota součinitele α_c . U napěněných sádrových forem jsou hodnoty α_c pro jednotlivé teploty nižší, což je pravděpodobně způsobeno strukturou sádrové formy vytvořenou napěnováním.

Při sledování součinitele α_c vztaženého na teplotu v peci jsou hodnoty podstatně nižší, pohybují se od $0,04 - 3,26 \text{ g} \cdot \text{min}^{-1}$ u vzorků forem nenapěněných. U vzorků forem napěněných se tyto hodnoty pohybují od $0,06$ do $2,05 \text{ g} \cdot \text{min}^{-1}$. Takto vypočítané hodnoty jsou porovnatelné s výsledky součinitele úměrnosti α_c získanými při tepelném zpracování vzorků $\varnothing 50 \times 50 \text{ mm}$ z elabastrové sádry, které se pohybují od $0,03$ do $6,15 \text{ g} \cdot \text{min}^{-1}$.

Z vypočítaných hodnot součinitele α_c vyplývá, že na velikost jeho hodnoty má vliv také tvarový a velikostní faktor. Čím je větší vzorek, tím mu odpovídá vyšší hodnota součinitele α_c při dané teplotě. Přesnost získaných výsledků tohoto součinitele byla potvrzena při sušení vzorků $\varnothing 50 \text{ mm}$ o různé délce při teplotě 20 a 200°C . Teplota 200°C byla volena úmyslně, neboť tato teplota podle dříve získaných poznatků / 20 /, odděluje sušení sádrových forem od jejich žihení. Pro vlastní výpočet byly použity hodnoty součinitele úměrnosti α_c s dle tabulky 5.1.

Pro teplotu 20°C je $0,3 \text{ g} \cdot \text{min}^{-1}$ a pro 200°C $3,26 \text{ g} \cdot \text{min}^{-1}$, z těchto hodnot byl určen součinitel \mathcal{H}_j , se kterým dále bylo počítáno při určování okamžitých hmotností vzorků výpočtem m_y podle vztahu (2,7). Tyto hodnoty byly porovnány s hodnotami m_y získanými odvážením vzorků. Ze získaných výsledků je patrné, že pro teplotu 20°C rozdíly hmotnosti získané výpočtem a vážením nepřesahují 5% a pro teplotu 200°C rozdíl získaných hodnot nepřesahuje 8% .

Závěrem lze říci, že použitá teorie sušení je správně uplatněna při návrhu monogramu tepelného zpracování, resp. sušení.

6.0 VÝPOČTOVÉ A EXPERIMENTÁLNÍ METODY PŘI SLEDOVÁNÍ TEPELNÉHO ZPRÁCOVÁNÍ SÁDROVÝCH FOREM

6.1 Aplikace fyzikálně chemických výpočtů pro reakce probíhající v sádrové formě při jejím tepelném zpracování

Při řešení fyzikálně chemického procesu tepelného zpracování forem ze sádrových směsí byly použity termodynamické hodnoty soustavy $\text{CaSO}_4 - \text{H}_2\text{O}$. Tato soustava tvoří nejrůznější sloučeniny, lišící se obsahem vnitřní energie, / 49 / které vznikají při teplotách 20 - 600°C. Bylo identifikováno celkem 6 pevných fází, které jsou uvedeny v tabulce 6.1

Tabulka 6.1

Součenina	$C_p / \text{J} \cdot \text{K}^{-1} \cdot \text{mol}^{-1}$	$\Delta H_{298}^{\circ} / \text{J} \cdot \text{mol}^{-1}$	$s_{298}^{\circ} / \text{J} \cdot \text{K}^{-1} \cdot \text{mol}^{-1}$
$\text{CaSO}_4 \cdot 2\text{H}_2\text{O}$	91,44 + 0,318 T	-2007151,92	194,27
$\alpha\text{CaSO}_4 \cdot 1/2\text{H}_2\text{O}$	70,96 + 0,163 T	-1560922,77	139,62
$\beta\text{CaSO}_4 \cdot 1/2\text{H}_2\text{O}$	48,06 + 0,255 T	-1558829,37	134,39
αCaSO_4 III	59,03 + 0,138 T	-1407225,34	108,43
βCaSO_4 III	59,03 + 0,138 T	-1404880,74	108,43
CaSO_4 II	59,03 + 0,138 T	-1418194,76	106,76
$\text{H}_2\text{O}_{(g)}$	31,19 + 0,008 T	-241984, 47	188,95
$\text{H}_2\text{O}_{(l)}$	75,44	-286029, 61	70,34

Řešení fyzikálně chemického procesu tepelného zpracování sádrových forem bylo zaměřeno na chování dihydrétu síranu vépenatého při jeho ohřevu. Sledování jeho přeměn bylo doloženo fyzikálně chemickým výpočtem. Základem tohoto výpočtu je sledování závislosti změny termodynamické funkce ΔG (změna Gibbsovy energie) na teplotě, která doprovázi

uvažovaný děj. Jak již bylo uvedeno, samovolně probíhají jen děje, při kterých je $\Delta G < 0$ nebo Gibbsova energie klesá.

Teplotní závislost funkce ($\Delta G^\circ/T$) je možno vyjednít parciální derivací /10/:

$$\left[\frac{\partial \left(\frac{\Delta G^\circ}{T} \right)}{\partial T} \right]_P = \frac{T \cdot \left(-\frac{\partial \Delta G^\circ}{\partial T} \right) - \Delta G^\circ}{T^2} \quad (6.1)$$

Teplotní závislost reakčního tepla je dána Kirchhoffovou rovnicí:

$$\Delta H_T^\circ = \int \Delta C_P \cdot dT + I_H \quad (6.2)$$

kde I_H - integrační konstanta, kterou můžeme určit v závislosti na známé hodnotě ΔH° při jedné teplotě na příklad $T = 298$ K.

Pak lze psát: $\Delta H_T^\circ = \Delta H_{298}^\circ + \int \Delta C_P \cdot dT$

Pak rovnice 6.1 nabývá tvaru:

$$\frac{\Delta G^\circ}{T} = - \int \frac{1}{T^2} \left[\int \Delta C_P \cdot dT + I_H \right] \cdot dT + I_G \quad (6.3)$$

Temto integrál lze vyhodnotit jsou-li známé kapacity teplné zúčastněných látek a údaje nutné pro určení integrálních konstant I_H a I_G .

kde I_G - integrační konstanta, kterou můžeme určit, známe-li G° při jedné teplotě, na př. 298 K

Molární tepla jsou udána nejčastěji empirickými rovnicemi tvaru: $C_p = a + bT + cT^{-2}$, takže funkci $\Delta H^\circ(T)$ lze rozvinout v řadu:

$$\Delta H^\circ(T) = \int (\Delta a + \Delta bT + \Delta cT^{-2}) \cdot dT + I_H =$$

$\Delta aT + \Delta bT^2/2 + \Delta cT^{-1} + I_H$ dosazením do rovnice 6.3 obdržíme vztah 6.4.

$$\frac{\Delta G_r^\circ}{T} = - \int \frac{1}{T^2} \left[\Delta aT + \frac{1}{2} \Delta bT^2 + \frac{1}{2} \Delta cT^{-1} + I_H \right] dT +$$

$$+ I_G = -\Delta a \cdot \ln T - \frac{1}{2} \Delta bT^2 - \frac{1}{2} \Delta cT^{-1}$$

$$+ \frac{I_H}{T} + I_G$$

$$\Delta G_r^\circ = I_H - \Delta a \cdot T \ln T - \frac{1}{2} \Delta b \cdot T^2 - \frac{1}{2} \Delta c \cdot T^{-1} + I_G \cdot T \quad (6.4)$$

$$I_H = \Delta H_{298}^\circ - \Delta a \cdot 298 - \Delta b \cdot \frac{298^2}{2} +$$

$$+ \Delta c \cdot \frac{1}{298}$$

$$I_G = \frac{\Delta G_{298}^\circ}{298} + \Delta a \cdot \ln 298 + \frac{1}{2} \Delta b \cdot 298 +$$

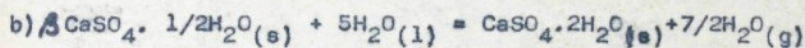
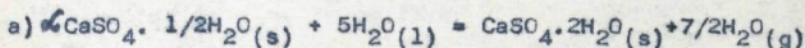
$$+ \frac{1}{2} \Delta c \cdot \frac{1}{298^2} - \frac{I_H}{298}$$

Pro další výpočty budeme uvažovat alabastrovou sádrnu, jejíž hlavní složku tvoří polohydrát a sádrnu stavební, která je převážně tvořena anhydritem II tak, jak bylo dříve uvedeno.

6.1.1 Aplikace výpočtu pro alabastrovou sádrnu

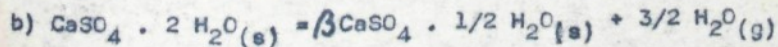
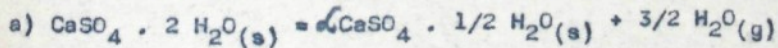
Dle zkoušky konsistence je pro rozdělání sádrové břečky potřeba více vody, což odpovídá $5 \text{H}_2\text{O}$. Pro jednoduché formy polohydrátu, který je hlavní složkou této sádry lze psát rovnice:

I. Rozdělání sádrové břečky a její tuhnutí při výrobě sádrové formy.



Pro slévárenskou technologii je takto vyrobená forma nepoužitelná, neboť voda v ní obsažená se při nalití roztaveného kovu do formy začně intensivně odpařovat, což se projeví na kvalitě získaných odlitrků. Z tohoto důvodu je nutno tyto formy tepelně zpracovávat, sušit a žíhat tak, jak již bylo uvedeno. Při ohřevu těchto forem probíhají tyto reakce:

II. Částečně se uvolňuje voda vázaná, z dihydrátu síranu výpenatého vzniká polohydrát:



III. Uvolňuje se zbylá voda vázaná a polohydrát síranu výpenatého se mění na anhydrit:

- a) $\alpha \text{CaSO}_4 \cdot \frac{1}{2} \text{H}_2\text{O}(s) = \alpha \text{CaSO}_4(s) + \frac{1}{2} \text{H}_2\text{O}(g)$
 b) $\beta \text{CaSO}_4 \cdot \frac{1}{2} \text{H}_2\text{O}(s) = \beta \text{CaSO}_4(s) + \frac{1}{2} \text{H}_2\text{O}(g)$
 c) $\alpha \text{CaSO}_4 \cdot \frac{1}{2} \text{H}_2\text{O}(s) = \alpha \text{CaSO}_4^{\text{II}}(s) + \frac{1}{2} \text{H}_2\text{O}(g)$
 d) $\beta \text{CaSO}_4 \cdot \frac{1}{2} \text{H}_2\text{O}(s) = \beta \text{CaSO}_4^{\text{II}}(s) + \frac{1}{2} \text{H}_2\text{O}(g)$

Vypočítané termodynamické hodnoty pomocí vztahů 6.1 - 6.4 pro uvedené chemické rovnice jsou v příloze č. 42 a grafické znázornění je v příloze 45 - 46.

Teplotní intervaly, při kterých reakce začínají probíhat jsou následující:

Rovnice I a) $\Delta G^0_{371} = 56,79 \text{ J}$
 $\Delta G^0_{371,5} = -109,32 \text{ J}$

Reakce začíná probíhat v teplotním intervalu 371 - 371,5 K (98 - 98,5°C).

Rovnice I b) $\Delta G^0_{369} = 68,42 \text{ J}$
 $\Delta G^0_{369,5} = -95,50 \text{ J}$

Reakce začíná probíhat v teplotním intervalu 369 - 369,5 K (96 - 96,5°C).

Rovnice II a) $\Delta G^0_{379,5} = 49,42 \text{ J}$
 $\Delta G^0_{380} = -57,80 \text{ J}$

Reakce začíná probíhat v teplotním intervalu 379,5 - 380 K (106,5 - 107°C)

Rovnice II b) $\Delta G^0_{382} = 96,65 \text{ J}$
 $\Delta G^0_{382,5} = -15,39 \text{ J}$

Reakce začíná probíhat v teplotním intervalu 382 - 382,5 K (109 - 109,5°C).

Rovnice III a) $\Delta G^{\circ}_{454} = 14,63 \text{ J}$
 $\Delta G^{\circ}_{454,5} = -20,64 \text{ J}$

Reakce probíhá v teplotním intervalu 454 - 454,5 K
(181 ~ 181,5°C).

Rovnice III b) $\Delta G^{\circ}_{491} = 29,00 \text{ J}$
 $\Delta G^{\circ}_{491,5} = -0,976 \text{ J}$

Reakce probíhá v teplotním intervalu 491 - 491,5 K
(218 ~ 218,5°C)

Rovnice III c) $\Delta G^{\circ}_{307} = 25,20 \text{ J}$
 $\Delta G^{\circ}_{307,5} = -10,05 \text{ J}$

Reakce probíhá při teplotě 307 - 307,5 K
(34 - 34,5°C)

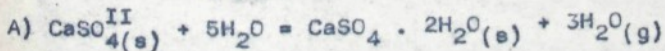
Rovnice III d) $\Delta G^{\circ}_{293,5} = 23,545 \text{ J}$
 $\Delta G^{\circ}_{294} = -9,928 \text{ J}$

Reakce začíná probíhat v teplotním intervalu 293,5 - 294 K
(20,5 - 21°C)

6.1.2 Aplikace výpočtu pro stavební sádro

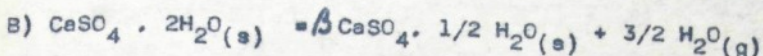
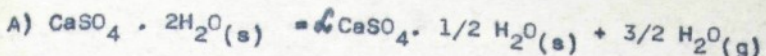
Dle zkoušky konsistence pro výrobu sédrové břečky je zapotřebí více vody, což odpovídá 5 H₂O. Pro výpočet budeme uvažovat opět pouze hlavní složku, která pro stavění sádro je anhydrit II. lze psát rovnice:

I. Rozdělávání sédrové břečky a její tuhnutí při výrobě sédrové formy:

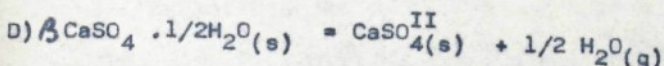
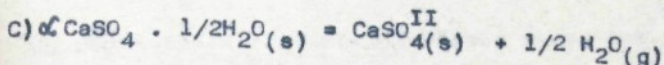
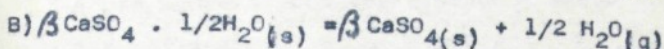
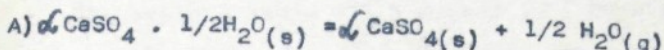


Při tepelném zpracování sédrových forem se uvolňuje volná voda a voda vázaná, což znázorňuje následující rovnice:

II. Uvolňuje se částečně vázaná voda a dihydát síranu vápenatého se mění na polohydrát.



III. Uvolňuje-li se zbylá vázaná voda, pak polohydrát se mění na anhydrit.



Jak je patrné, rovnice od II A) do III D) jsou stejné jako rovnice II a) - III d). Vypočítané termodynamické hodnoty rovnic I A) - III D) jsou uvedeny v příloze č. 43 a grafické znázornění je v příloze č. 47 a č. 48.

Teplotní interval pro rovnici I A) odpovídá teplotě 388 - 388,5 K, což je tedy 115 - 115,5°C.

$$\Delta G^\circ 388 = 94,35 \text{ J}$$

$$\Delta G^\circ 388,5 = - 32,92 \text{ J}$$

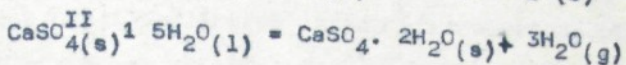
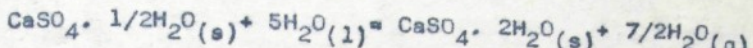
5.1.3 Zhodnocení výpočtů

Výpočty byly prováděny pro hlavní složku slábeastrové sádry - $\text{CaSO}_4 \cdot 1/2 \text{H}_2\text{O}(s)$ a stavební sádry - $\text{CaSO}_4^{\text{II}}(s)$, neboť tyto složky mají největší vliv na chování sádry.

V procesu tuhnutí a tepelného zpracování sádrových forem probíhají děje, které jsou popsány chemickými rovnicemi.

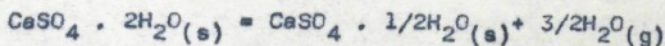
Pro tyto rovnice byly vypočítány hodnoty teplotní závislosti ΔG_T° . Tyto hodnoty jsou uvedeny v příloze č. 44.

1. Uvolňuje-li se voda volná:



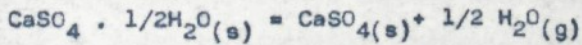
Tento děj začíná intenzivně probíhat pro polohydrát při teplotě 369 - 371,5 K, což je (96 - 98,5°C) a pro anhydrit při teplotě 388 - 388,5 K, to je 115 - 115,5°C.

2. Uvolňuje-li se částečně vázaná voda, pak dihydrát se mění na pělohdydrát:



Tato rovnice je splněna a děj začne probíhat v teplotním intervalu 379,5 - 382,5 K, (106 - 109,5°C). podle toho, zdali bude vznikat více polohydruatu α nebo β .

3. Uvolňuje-li se voda vázaná, pak polohydrát se mění na anhydrit:



Rovnice je splněna a děj začne probíhat v teplotním intervalu 454 - 491,5 K (181 - 218,5°C), kdy vzniká anhydrit III. Z grafické závislosti je zřejmé, že pochod při kterém vzniká anhydrit II $\text{CaSO}_{4(\text{s})}^{\text{II}}$ by měl teoreticky probíhat již za teploty 294 K (21°C), tento pochod při této teplotě probíhá velmi pomalu, a proto se nejdříve uvolňuje voda volná, kdy se mění dihydrát při teplotě 370 K (97°C), na polohydrát. Při teplotách ještě vyšších, nad 455 K (182°C) se začíná vypařovat zbylá voda vázaná

a vzniká anhydrit $\text{CaSO}_4(\text{s})$.

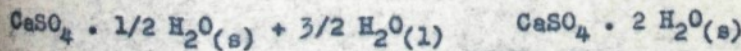
Všechny tyto výpočítané hodnoty jsou teoretické, závisí pouze na použitých termodynamických datech síranu vápenatého. V praxi však získané hodnoty teploty přeměny jsou závislé na kvalitě používané sádry, na podmínkách přípravy forem. Při praktickém procesu tepelného zpracování nejsou děje přesně ohrazeny, ale vzájemně se prolínají.

Ve spolupráci s Vysokou školou chemickotechnologickou v Praze byla provedena analýza alabastrové sádry. Bylo zjištěno, že překrystalizace dihydrátu síranu vápenatého na polohydrát probíhá od teploty 40°C . Tato přeměna je ukončena v rozmezí teplot 125 - 150 $^\circ\text{C}$. Při teplotách 190 - 240 $^\circ\text{C}$ se mění polohydrát síranu vápenatého na anhydrit. Dále při této analýze byla zjištěna přeměna při teplotě 570°C , kdy probíhá přeměna křemene, který alabastrová sádra obsahuje. Tato analýza potvrdila získané výpočty a teploty přeměn jednotlivých fází síranu vápenatého, které budou využity při návrhu optimálního režimu tepelného zpracování sádrových forem.

Z důvodu dobré zpracovatelnosti sádrové suspenze je pro její přípravu třeba více vody. To znázorňuje chemická rovnice:



Z hlediska ryze chemického vzniká z polohydrátu síranu vápenatého dihydrát :



Příprava sádrové suspenze podle této rovnice nezaručuje dobrou a technologicky nutnou tekutost sádrové směsi.

Dále bylo podle stoichiometrických výpočtů zjištěno, že dihydrát síranu vápenatého váže 18,6 % krystalické H_2O a polohydrát 6,67% kryst. H_2O . Tyto hodnoty byly ověřeny prakticky chemickou analýzou prováděncou na VŠCHT v Praze na katedře silikátů.

Výsledkem těchto výpočtů a analýzy je znázornění existenci jednotlivých forem síranu vápenatého při tuhnutí a tepelném zpracování. Toto znázornění je uvedeno v příloze č. 59 a mělo by rozšířit teoretické poznatky o síranu vápenatém při jeho uplatnění při výrobě sádrových forem.

6.2 Experimentální stanovení fází soustavy $\text{CaSO}_4 - \text{H}_2\text{O}$

V návaznosti na rozbor fází soustavy $\text{CaSO}_4 - \text{H}_2\text{O}$ provedený v kapitole 1.1 a pro potřeby posouzení výsledků výpočtů provedených v kapitole 6.1 byly zkoumány možnosti provedení fázové analýzy této soustavy pro některé vybrané sádrové směsi.

Po konsultaci a projednání možností provedení fázové analýzy byly ve Výzkumném ústavu stavebních hmot v Brně provedeny tyto analýzy /73/:

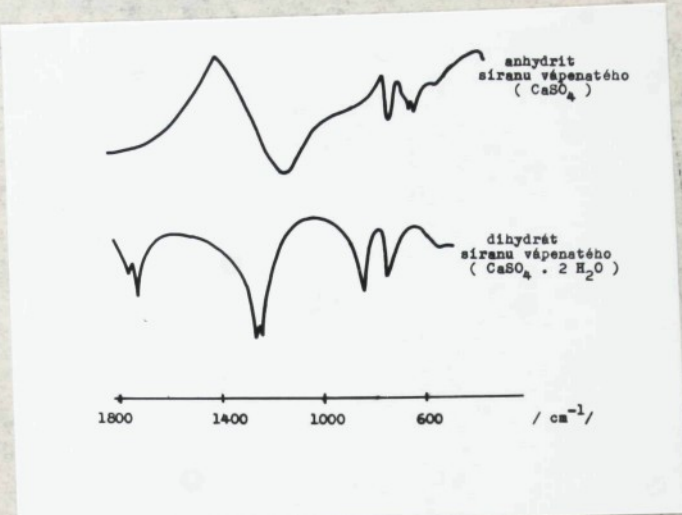
1. Rentgenová analýza
2. Infračervená spektroskopie
3. Elektronová mikroskopie

Rentgenová analýza je vhodná k určování anhydritu síranu vápenatého a dalších minerálů obsahujících krysticky vázanou vodu. Důležité hodnoty rentgenové analýzy síranu vápenatého jsou uvedeny v publikaci /74/.

Ve VÚSH byl proveden rentgenografický rozbor na automatickém difraktografu PHILIPS APD 15.

Infračervená spektroskopie se používá k identifikaci dihydrátu síranu vápenatého od jeho polohandrátu. Na obr. 6.1 jsou uvedena spektra anhydritu a dihydrátu síranu vápenatého /74/.

V tabulce 6.2 jsou uvedeny hodnoty infračervených spektrálních čar některých forem síranu vápenatého /74/.



Obr. 6.1 Charakteristická průběhy spektrálních čar síranu vápenatého

Tabulka 6.2

Dihydrát síranu vápenatého	605	673	/ cm ⁻¹
Anhydrit síranu vápenatého	597	616	/ cm ⁻¹

Tato metoda je vhodná pro kvalitativní a polokvantitativní analýzu. Infračervená spektrální analýza byla na VÚSH provedena na infračerveném spektroskopu fy PERKIN - ELMER, model Infra-cord 337, s rozsahem $\nu = (4000 - 400)$ cm⁻¹, to je odpovídající vlnová délka (2,5 - 25 μm). Měřené vzorky byly vylisovány z homogenizované směsi s KBr ve vakuu v podobě "tablet". Jako srovnávací vzorek byla použita "tableta" z čistého KBr.

Elektronová mikroskopie pomocí rastrovacího mikroskopu umožňuje sledovat krystalickou strukturu produktů (forem) síranu vápenatého při hydrataci a dehydrataci.

Stereoselektrogramy vzorků byly ve VÚSH provedeny na elektronovém mikroskopu Cambridge Stereoscar 2A.

6.2.1 Druhy hodnocených sádrových směsí

K rozboru bylo použito 12 vzorků ze tří druhů sádrových směsí a různě tepelně ovlivněných, jejich přehled je uveden v tabulce 6.3

Tabulka 6.3

Číslo vzorku	Označení ve VÚSH	Druh vzorku:
1.	366	50 - 50 sádrová směs (prášek)
2.	367	50 - 50 sádrová směs po ztuhnutí
3.	368	50 - 50 sádrová směs po TZ na 400°C
4.	369	50 - 50 sádrová směs po odlití Al sl.
5.	358	Gloria speciál (prášek)
6.	359	Gloria speciál po ztuhnutí
7.	360	Gloria speciál po TZ na 400°C
8.	361	Gloria speciál po odlití Al slitiny
9.	362	Anglická sádra (prášek)
10.	363	Anglická sádrová směs (prášek)
11.	364	Anglická sádrová směs po TZ na 120°C
12.	365	Anglická sádrová směs po odlití Al slit.

6.2.2 Výsledky rozboru sledovaných sádrových směsí

Výsledky rozboru sádrových směsí prováděné třemi uvedenými metodami umožňují kvalitativní a částečně i kvantitativní stanovení hlavních fází síranu vápenatého v soustavě nebo případně i jiných minerálů.

Na základě zprávy / 73 / lze složení jednotlivých druhů sádrových směsí vyjádřit takto:

Sádrová směs 50 - 50

Sádrová směs 50 - 50
(prášek)

Sádrová směs 50 - 50
po ztuhnutí

Sádrová směs 50 - 50
po TZ na 400°C

Sádrová směs 50 - 50
po TZ a po odlití

Obsahuje:

velké množství $\text{CaSO}_4 \cdot 1/2 \text{H}_2\text{O}$,
malé množství křemene
malé množství anhydritu (CaSO_4)
nepatrné množství muskovitu

velké množství $\text{CaSO}_4 \cdot 2 \text{H}_2\text{O}$
nepatrné množství $\text{CaSO}_4 \cdot 1/2 \text{H}_2\text{O}$
nepatrné množství muskovitu

velké množství $\text{CaSO}_4^{\text{II}}$
malé množství $\text{CaSO}_4 \cdot 1/2 \text{H}_2\text{O}$
nepatrné množství muskovitu

velké množství $\text{CaSO}_4^{\text{II}}$
malé množství $\text{CaSO}_4 \cdot 1/2 \text{H}_2\text{O}$
nepatrné množství muskovitu

Spektrogramy jednotlivých vzorků jsou uvedeny v příloze č. 80 a krystalická struktura sádrové směsi 50 - 50 po ztuhnutí je v příloze 81 a vnitřní struktura sádrové směsi 50 - 50 po odlití slitiny hliníku je uvedena v příloze č. 82.

Gloria speciál

Gloria speciál
(prášek)

Gloria speciál po
ztuhnutí

Gloria speciál po
TZ na 400°C

Gloria speciál po
Tz a odlití

velké množství křemene
malé množství $\text{CaSO}_4 \cdot 1/2 \text{H}_2\text{O}$
malé množství $\text{CaSO}_4 \cdot 2 \text{H}_2\text{O}^{\text{III}}$
malé množství $\text{CaSO}_4^{\text{II}}$

velké množství křemene
menší množství $\text{CaSO}_4 \cdot 2 \text{H}_2\text{O}$

velké množství křemene
 $\text{CaSO}_4^{\text{II}}$

Spektrogramy vzorků Gloria speciál jsou uvedeny v příloze č. 83. Krystalická struktura sádrové směsi Gloria speciál po ztuhnutí je uvedena v příloze č. 84 a po odlití v příloze č. 85.

Anglická sádra, sádrová směs

Obsahuje:

Anglická sádra (prášek)	velké množství $\text{CaSO}_4 \cdot 1/2 \text{H}_2\text{O}$ nepatrné množství $\text{CaSO}_4^{\text{III}}$
Anglická sádrová směs (prášek)	velké množství $\text{CaSO}_4 \cdot 1/2 \text{H}_2\text{O}$ nepatrné množství $\text{CaSO}_4^{\text{III}}$ CaCO_3
Anglická sádrová směs po ztuhnutí a TZ na 120°C	velké množství $\text{CaSO}_4 \cdot 2 \text{H}_2\text{O}$ nepatrné množství
Anglická sádrová směs po TZ a odlití	$\text{CaSO}_4 \cdot 1/2 \text{H}_2\text{O}$, $\text{CaSO}_4^{\text{III}}$, CaCO_3

Spektrogramy jednotlivých vzorků anglické sádry a sádrové směsi jsou uvedeny v příloze č. 86. Krystalická stavba anglické sádrové směsi po odlití slitiny hliníku je uvedena v příloze č. 87 a 88.

6.2.3 Zhodnocení výsledků rozboru sádrových směsí

Podle jednotlivých výsledků fázové analýzy soustavy $\text{CaSO}_4 - \text{H}_2\text{O}$ sádrových směsí je patrné, že směsi domácí provenience jsou tvořeny polohydrátem síranu vápenatého, který po ztuhnutí s H_2O vytváří dihydrát, který při teplotách nad 120°C se mění na polohydrat a dále na anhydrit. Sádrová směs Gloria speciál je vedle polohydru síranu vápenatého tvořena velkým množstvím křemene. Naproti tomu anglická směs v práškové podobě je tvořena polohydrátem síranu vápenatého a s vodou vzniká

dihydrát síranu vápenatého, u něhož nebyly zjištěny podstatné přeměny ani po tepelném zpracování na teplotu 120°C , ani po ohřevu teplem odlitku z hliníkové slitiny.

Specifikou použití tohoto druhu sádrové směsi (u nás v n. p. METAZ Týnec nad Sázavou) je výroba napěněných forem, které jsou určeny pro výrobu velmi členitých a tenkostěnných odliteků ze slitin hliníku. Tyto formy se vyznačují velkým objemem ve srovnání s objemem odlitků a dále nižšími hodnotami tepelně fyzikálních vlastností /23/.

Uvedené skutečnosti jsou hlavním důvodem pro celkově malé tepelné ovlivnění sádrové směsi a tím i poměrné stability dihydrátu síranu vápenatého.

Velmi podobné poznatky a zkušenosti byly získány při ověřování napěněných forem ze směsi 50 - 50, které byly tepelně zpracovány ohřevem na teplotu do 200°C /22/. U sádrových směsí obsahujících značný podíl křemenného ostřiva (Gloria speciál) nezajišťuje napěnění potřebnou kvalitu formy. Tepelné zpracování napěněných forem musí být proto prováděno ohřevem na teploty vyšší tj. do 400°C , což je spojeno s průběhem fázových přeměn soustavy $\text{CaSO}_4 - \text{H}_2\text{O}$.

7.0 NÁVRH A OVĚŘENÍ REŽIMU TEPELNÉHO ZPRACOVÁNÍ SÁDROVÝCH FORM A ZHODNOČENÍ ZÍSKANÝCH ODLITKŮ

Výsledkem výzkumu tepelného zpracování sádrových forem bylo navržení tchoto režimu pro dané sádrové formy a jeho ověření pomocí získaných odlitků. Na základě poznatků teoretické oblasti, ale především z výsledků termogravimetrického měření, uvedených v kapitole 5 byl pro konkretní sádrové formy navržen režim tepelného zpracování. Při ověření těchto režimů tepelného zpracování sádrových forem se postupovalo ve třech oblastech, kdy byly zhodoveny tři tvarově různé typy odlitků a jím odpovídající množství sádrových forem. Tvarové a velikostní parametry odlitků byly voleny v mezích, které lze očekávat od technologie přesného lití sádrových forem.

7.1 Výroba a tepelné zpracování sádrových forem pro zhodovení odlitků tvaru desky s proměnnou tloušťkou

Byly navrženy tvary zkušebních odlitků s různou místní tloušťkou stěny. Tvarové řešení odlitků bylo provedeno tak, aby při zaformování bez dutin vytvořených jádrem, mohl být studován případný vliv brzděného smrštění. K tomuto účelu byly navrženy tvary odlitků, které jsou uvedeny v příloze č. 60, kde v tabulce jsou rozměry modelů tvarově podobných. Celkem byly vyrobeny 4 modely a základními rozměry odpovídají požadavkům kladeným na odlitky získané litím do sádrových forem. Pomoci těchto modelů byly zhodoveny spodní části forem deskovitého tvaru. Pro příslušné modely byly zhodoveny odlitky A - D. Jednotlivým modelům odpovídají tyto velikosti dílů sádrové formy a příslušné hodnoty R, které jsou uvedeny v následující tabulce:

$$A = \text{forma } 170 \times 116 \times 30 \text{ mm} \quad R = 1,04 \text{ cm}$$

B - forma 86 x 56 x 15 mm R = 0,52 cm

C - forma 43 x 30 x 8 mm R = 0,27 cm

D - forma 170 x 116 x 30 mm R = 1,00 cm

Byla též sledována výše uvedená redukovaná tloušťka formy (určující rozměr) $R = V/S$ (objem formy/povrch formy). Pro výrobu těchto forem byla použita sádrová směs tvořené z 50 % hmotnostního podílu alabastrové sádry MG 11 druh II podle TGL 21843, a 50% hmotnostního podílu stavební sádry. Tato směs je označována 50-50. Pro přípravu sádrové suspense bylo použito na 1000 g směsi 720 ml vody 18° C teplé. Dále byly z této směsi vyrobeny i formy napěněné, kdy na 1000 g sádrové směsi je třeba 700 ml vody a 35 ml etoxonové pěny. Příprava napěněné sádrové suspense byla provedena podle dříve uvedeného postupu v kapitole 1.2.

Formy byly vyrobeny odléváním modelu kašovitou suspensi v příslušném formovacím rámečku, který byl zhotoven z plechu tloušťky 1 mm. Byl položen na skleněnou formovací desku a utěsněn modelovací hmotou. Po ztuhnutí sádrové suspense, které trvalo 20-25 min. (podle druhu sádrové směsi), byly formy vyjmuty z rámečku a odděleny od modelu. Tím byly formy připraveny k tepelnému zpracování.

Sestavené sádrové formy jsou rozděleny horizontální rovinou na vrchní a spodní část, v které je dutina pro zhotovení odlitku. Vtokový kanál byl opatřen pomocným dílem formy (vyhrazovákem) výšky 100 mm pro formy menší 50 mm. Průměr svíslého tokového kanálu se pohyboval od 15 do 20 mm. Při odlévání byla použita slitina hliníku 42433Z dle ČSN 424331. Odlévání slitiny trvalo 5 - 7 s podle velikosti odlitku. Teploty forem pro odlévání se pohybovaly od 120 - 150° C.

7.1.1 Režim tepelného zpracování sádrových forem

Na základě dosud získaných poznatků byl navržen režim tepelného zpracování, který splňuje podmínu tepelného zpracování celé skupiny sádrových forem současně. Při návrhu se vycházelo z hlavní části sušení, které bylo prováděno v sušicím zařízení STE - 26 s výměnnou atmosférou, probíhalo do teploty 200°C , kdy se ze sádrové formy odstraňuje převážně voda volná. Další část tepelného zpracování - žihání byla prováděna v žihací komorové peci TS - PEK - 1 při teplotě prodlevy 400°C . Podle získaných poznatků o chování vzorku sádrových forem při jejich tepelném zpracování byla doba sušení a žihání sledována experimentálně. Režim sušení těchto forem probíhá nejčastěji při teplotě prodlevy v peci 200°C , respektive v sušicím zařízení. Doba se pohybovala od 2 do 4 hodin podle velikosti formy, resp. redukované tloušťky formy. Žihání těchto forem probíhalo po dobu 2 - 5 hodin při teplotě v peci 400°C , kdy při této trplotě je ukončeno uvolňování vody vázané, tak jak bylo zjištěno gravimetrickou metodou.

V příloze č. 61 je patrná doba potřebné prodlevy na teplotě 200°C pro formy nenapěněné a 120°C pro formy napěněné. Doba prodlevy teploty pro jednotlivé části tepelného zpracování obou druhů forem byla zjištěna experimentálně pomocí redukované tloušťky formy R. Ze získaných časů sušení a žihání příslušných forem byla sestrojena závislost doby tepelného zpracování na určujícím rozměru formy R. Doba t je délka prodlevy teploty v peci 400°C pro sádrové formy nenapěněné a 200°C pro formy vyrobené napěněné sádrovou směsí. Délka doby sušení pro jednotlivé druhy formovací směsi odpovídá též tomuto diagramu.

V příloze č. 60 jsou uvedeny rozměry získaných odlitků z nenapěněných forem a příloha č. 61 obsahuje rozměry odlitků

z forem napěných. Z uvedených modelů (příloha č. 60) byly nejvíce zhotovovány odlitky podle modelu A,D. pro které jsou velikosti obou dílů forem $170 \times 116 \times 30$ mm. Grafické znázornění jejich režimu tepelného zpracování, jak pro formy nenapěněné, tak napěněné je uvedeno v příloze č. 63. Pro tepelné zpracování nenapěněných forem se nejvíce uplatnil režim, který se skládá ze sušení při teplotě prodlevy 200°C po dobu 4 hodin a žihání probíhalo při teplotě prodlevy 400°C po dobu 4 hodin. Tepelné zpracování forem napěněných se skládalo ze sušení při teplotě prodlevy 120°C po dobu 4 hodin a ze žihání při teplotě 200°C po dobu 4 hodin. Uvedené teploty odpovídají teplotám v použitém zařízení. Doba sušení a žihání, je závislá na druhu zařízení, ale také na velikosti forem a dalších vlivech. Doba je uvedena v příloze č. 61.

U obou druhů sádrových forem byla sledována jejich struktura po tepelném zpracování. U forem nenapěněných tato struktura odpovídá teplotě 400°C a u forem napěných odpovídá 200°C . Při sledování struktury byl použit řádkovací elektronový mikroskop (SEM) TESLA B 300. Získané obrázky struktur pro oba druhy forem jsou uvedeny v příloze č. 72 - 75. Ze struktury $15000 \times$ násobného zvětšení jsou patrné jehlice CaSO_4 u obou typů forem, (což odpovídá struktuře vysušené sádrové formy). Také pomocí řádkovacího elektronového mikroskopu byly získány snímky povrchu odlitků zhotovených, jak ve formách napěných, tak i nenapěněných, pro různá zvětšení, které jsou uvedeny v příloze č. 76 - 79. Z přílohy č. 71 jsou patrné snímky povrchu odlitků vyrobených z obou druhů forem, které byly získány na optickém metalografickém mikroskopu NEOPHOT 2. V příloze č. 66 je zobrazena mikrostruktura použité hliníkové slitiny materiál 424331.

7.1.2 Rozměrová a tvarová přesnost získaných odliatků a drsnost jejich povrchu

Odlitky vyrobené pomocí sádrových forem se vyznačují vysokou hladkovstí povrchu velmi dobrou reprodukovatelností i nejjemnějších detailů a vyhovující rozměrovou přesnosti. Mírou vhodnosti navrženého tepelného zpracování bylo sledování rozměrů u daných odliatků zhotovených z těchto forem. Pro příslušné modely byly zjištěny rozměry odliatků, které jsou uvedeny v příloze č. 60. Získané hodnoty vyrobených odliatků byly porovnány s příslušnými rozměry modelu (jmenovité rozměry a byla sestrojena grafická závislost $\delta = f(a, b, c)$), to je závislost rozměrů odliatků, které jsou rovnoběžné s dělící rovinou formy. Poměrná změna rozměru odliatků je dána vztahem:

$$\delta = \frac{\text{jmenovitý rozměr} - \text{naměřený rozměr}}{\text{jmenovitý rozměr}} \cdot 100 / \% /.$$

Získaná grafická závislost je uvedena v příloze č. 64. Z hlediska rozměrové přesnosti bylo zjištěno, že přesnější odliinky jsou z forem nenapěněných, u kterých byla zjištěna poměrná změna rozměru 3 % a u forem napěněných 7 % .

Nedílnou součástí pro-měření rozměrů odliatků bylo i zhodnocení dosažené drsnosti jejich povrchu. Drsnost 6 vybraných odliatků byla měřena na přístroji HOMMEL TESTER. Měřením drsnosti povrchu byly zjištěny hodnoty, které jsou uvedeny v tabulce 7.1. Odlitky označené I jsou získané ve formách nenapěněných a odlitky označené II ve formách napěněných, oba druhy odliatků jsou získány pomocí modelu A. Na těchto odliatech byla zvolena tři něhodné místa, na kterých byla drsnost povrchu měřena.

Tabulka 7.1 Drsnosť povrchu odličiek

Odlitek	Ra /um/	Rt /um/	Odlitek	Ra /um/	Rt /um/
I	2,0	11	II	1,4	8
	2,2	13		1,5	8
	1,4	8		1,6	9

Z naměřených hodnot drsnosti povrchu odličiek vyplývá, že kvalitnější drsnost povrchu vykazují odličky získané ve formách napěněných, u kterých Ra se pohybuje od 1,4 do 1,6 um. U odliček z forem nenapěněných tato hodnota dosahuje až 2,2 um.

Pro orientaci jsou v příloze č. 64 uvedeny hodnoty pevnosti v tlaku v závislosti na teplotě vzorků Ø 35 x 50 a Ø 50 x 50 mm ze sádrové směsi 50 - 50 nenapěněné. Jak je ze závislosti patrné s rostoucí teplotou pevnost v tlaku klesá.

7.2 Výroba a tepelné zpracování forem pro zhotevení odliček používaných v moderní radiotechnice

Tato kapitola je zaměřena na zhotevení forem, jáder a odliček z těchto forem vyrobených, které mají uplatnění v radiotechnice. Formy, jádra a odličky byly vyrobeny v poloprovozních podmínkách VÚR TESLA, k.p. Pardubice.

Formy a jádra byly zhoteveny z dříve uvedené sádrové směsi 50 - 50 neneapěněné a ze speciální zetmelovací hmoty GLORIA - Speciál. Tuto hmotu vyrábí SPOFA - Dentál, Praha dle ČSN 665424. Výrobce neuvádí její složení, pouze její tepelné zpracování. Doporučuje sušení po dobu 2 ~ 5 hodin při teplotě 120°C a žihání při teplotě 650 - 700°C po dobu 1 hodiny.

Schematické znázornění formy a odličku je uvedeno v příloze č. 67 a tvar jádra je patrný z přílohy č. 68.

Z hlediska funkčního má význam sledovat jen některé rozměry těchto odložek. Jsou to především ty rozměry, co vymezují funkční plochy odložku. Rozměry odložek jsou spojeny s příslušnými rozměry formy a jádra. V tabulce příloha č. 68 jsou uvedeny nejdůležitější rozměry odložku (též jádra a formy).

7.2.1 Příprava forem jáder a jejich tepelné zpracování

Bylo zhodoveno několik forem a jím odpovídajících jáder v poloprovozních podmínkách ÚVR TESLA, k.p. Pardubice určených pro výrobu velmi přesných odložek pro moderní elektrotechniku. Pro účely sledování režimu tepelného zpracování byly vyrobeny 2 druhy forem z hlediska použité sádrové směsi. Tvar dílu formy je uveden v příloze č. 67 a redukovaná tloušťka formy $R = 1,23$ cm. Použitá sádrová směs 50 - 50 pro výrobu forem má následující složení:

1050 g alabastrová sádra

1050 g šedá stavební sádra

1550 ml vody

20 g minerálního vlákna.

dále byla použita směs o složení:

660 g GLORIA SPECIÁL

540 g HARGIPS

800 g regenerátu

40 g minerálního vlákna

1400 ml vody

Proti popraskání forem a jáder během jejich tepelného zpracování byly do směsi přidány kousky minerálního vlákna (Lubrikované minerální vlákno PN 727314 výrobce Izolace, Praha).

Též byly vyrobeny dva druhy jader s následujícím složením - směs

50 - 50:

50 g alebastrové sádra

50 g stavební sádra

74 ml vody

1 g minerálního vlákna

s dále směs

200 g GLORIA SPECIÁL

85 ml vody

2 g minerálního vlákna.

Příprava sádrové suspence pro výrobu jader byla prováděna podle ČSN 722301 a příprava sádrových forem probíhala podle rozpisu uvedeného v kapitole 1.2.

V této práci jsou uvedeny tři formy a z nich zhotovené tři odlišky. Sádrová forma označení 1 byla vyrobena ze sádrové směsi 50-50 i z této směsi bylo zhotoveno její jádro. Formy označené 2,3, které byly vyrobeny ze sádrové směsi GLORIA SPECIÁL, stejně jako jejich jádra. Velký důraz byl kladen na režim tepelného zpracování uvedených forem. Formy byly tepelně zpracovány po jejich sestavení. Pro všechny formy byl stanoven režim tepelného zpracování, který byl realizován v ÚVR TESLA, k.p. Pardubice, je uveden v příloze č. 69. Pro tepelné zpracování byla použita speciálně upravená komorová pec s částečnou regulací výměny atmosféry. Formy byly tepelně zpracovány v tomto zařízení najednou. Odlévání bylo provedeno při teplotě formy asi 150°C . Při této teplotě též formy byly vyjmuty ze zařízení. Pro výrobu odlišek byla použita slitina hliníku 424331. Lití probíhalo 10 - 12 s,

vtoková soustava byla opatřena pomocným dílem formy. Získané odlitky jsou uvedeny na obrázku v příloze č. 70. Kvalita odlitků je velmi dobrá, drsnost povrchu funkčních ploch odlitku se pohybuje v rozmezí hodnot $R_a = 0,8 - 1,0 \mu\text{m}$. Odlitky rozměrů nepřesahují 1% jmenovitého rozměru.

7.3 Zhodnocení režimu tepelného zpracování sádrových forem a získaných odlitků

Každý zvolený režim tepelného zpracování lze hodnotit z několika hledisek, podle toho do jaké míry splňuje požadavky na něj kladené. Optimální režim musí splňovat tyto požadavky:

1. Dosažení maximální kvality odlitků a jeho užitných vlastností, především přesnosti rozměrů a jakosti povrchu a homogenity.

Pro sádrovou formu to znamená dosažení maximální rozměrové stability a minimálního sklonu ke vzniku prasklin na lici formy.

2. Minimální výrobní náklady, především na potřebné zařízení a energii.

Laboratorní a poloprovozní ověřování výroby zkušebních odlitků i vybraného odlitku vodiče vln do forem do výše uvedených forem ze sádrových směsí, jež byly tepelně zpracovány navrženým postupem prokázalo, že získané odlitky dosahují požadované přesnosti a jakosti povrchu i homogenitu materiálu, při odlévání do forem nenapěněných ze směsi 50 - 50 případně směsi Gloria speciál.

Napěněné sádrové směsi tyto požadavky splnily v potřebném rozsahu pouze pro vnější tvary a plochy odlitku, nikoliv pro dutiny těchto speciálních odlitků.

Z hlediska požadovaných výrobních nákladů na tepelné zpracování forem umožňuje optimalizaci tohoto režimu pro konkrétní

velikost a tvar formy či jádra, spotřebovat takové množství energie, které je právě potřebné k uskutečnění fázových přeměn v konkrétní formě ze sádrové směsi. V tomto lze spatřovat možnosti úspory energie oproti režimu tepelného zpracování, který k odlišnostem ve velikosti a tvaru forem a jader nepřihlizi.

Rozdělení tepelného zpracování sádrových dílů nenapěněných na proces sušení tj. do teploty 200°C v peci (sušce) a žihání na teplotu do 400°C , lze považovat za optimální.

V časových rozvrzích tepelného zpracování je vhodné využít režimů, které nepřesahují délku prodlev příslušné teploty v sušce a peci 24 hodin.

Podstatné snížení spotřeby energie je při tepelném zpracování napěněných směsí. V tomto případě pro sušení je vhodná teplota 120°C a teplota žihání dosahuje 200°C .

8.0 DISKUSE VÝSLEDKŮ

Výsledky, kterých bylo v předložené práci dosaženo, přinášejí do technologie výroby sádrových forem informace, které zvyšují prvek provozních jistot, potřebných pro kvalitativní i kvantitativní rozhodování a úvědomělé řízení procesu tepelného zpracování.

Pod pojmem kvalitativních faktorů rozumíme takové, u kterých byl nalezen směr ve kterém daný parametr působí; tedy urychluje, či zpomaluje tento proces.

Pod pojmem kvantitativních faktorů nebo kvantitativně poznaných parametrů zahrnují takové výsledky, na základě kterých je možno vypočítat základní parametry, jako např. čas, teplotu, množství vyměňovaných vzdušin a příp. dalších.

Obecně charakterizováno je tepelné zpracování sádrových forem proces, který (kdyby se to vůbec podařilo) by byl popsán polyvariantní funkcí, jejíž parametry jsou vzájemně složitě vázány a jejich závislosti známe pouze kvalitativně. (To ještě bez nároku na celý jejich definiční rozsah.)

Protože takto prozatím postupovat nelze (a není to ani v technické praxi obvyklé), nabízí se použití způsobu, ve kterém bude exaktní výpočtová cesta kombinovaná s logickými kvalitativními doplňky. Tak např. jako charakteristiku rozdílů a tvarů formy, která je v určitém souboru hodnot pro určité typy rozdílná, jsem navrhla podle obvyklých vzorců počítat s redukovanou tloušťkou formy, s tím, že výsledek bude upraven podle kvalitativních úvah. Stejně tak by ovšem bylo možné tloušťku formy charakterizovat z konečného souboru různých hodnot hodnotou mini-

mární a maximální. To znamená, vypočteme čas pro tepelné zpracování prvního a posledního místa ve formě. Je zřejmé, že pro dimenování celého procesu je důležitější extrém maximální. Protože efekt tepelného zpracování nejtenšího místa bude růst (mokrá hmota uvolnila vodu) uplatní se v úvaze i extrém minimální tloušťky formy.

S takovýmito úvahami, příp. i výhradami, je nutno přijímat i další výpočtové výsledky. Můžeme je rozdělit celkem do tří oblastí :

1. Výsledky termogravimetrického měření sádrových vzorků různých tvarů a velikostí získané na navrženém a ověřeném zařízení byly použity jako podklad pro návrh režimu tepelného zpracování sádrových forem. Termogravimetrická metoda charakterizuje přeměny síranu vápenatého, který tvoří základ sádrové směsi. Do jisté míry tato metoda nemůže však popsat chování většího množství tepelně zpracovávaných sádrových dílů určitých tvarů a velikostí. O výsledku v tomto příp. rozhoduje energetická kapacita daného zařízení, nasycenosť sušicího nebo žíhacího prostředí vodou, která přichází ze zahřívaného sádrového dílu. Do určité míry i vlastnosti proudění v zaplněném prostoru (to je zařízení pro tepelné zpracování). Důležitým poznatkem v této experimentální oblasti je získání přehledu o hmotnosti tepelně zpracovávaných sádrových dílů během celého procesu. Konečná hmotnost těchto dílů čini 52 - 56% z počáteční hmotnosti u forem nenapěněných a 54 - 56% z počáteční hmotnosti u forem z napěněných sádrových směsí. Dále také však získáváme přehled o chování sádrových forem během celého tepelného zpracování, které je závislé na použité sádrové směsi, množství rozdělávaci vody, velikosti a tvaru sádrového

dilu (tj. redukované tloušťky formy R). Též na použitém zařízení pro tepelné zpracování a jeho zaplněném pracovním prostoru určitým množstvím sádrových forem. Všechny experimenty prováděné na základě hmotnostních úbytků vzorků sádrových forem potvrdily LIKOVOVU teorii sušení. Tento poznatek byl využit při návrhu nomogramu pro stanovení procesu sušení sádrových dilů obecných velikostí a různých tvarových charakteristik. Tvarová charakteristika těchto dilů je určována hodnotou relativní tloušťky R. Je však možno konstatovat, že nomogram je sestřelen pro určitý druh zařízení, avšak není zahrnuta úvaha o tepelném zpracování většího množství dilů najednou.

2. Bylo sledováno chování soustavy $\text{CaSO}_4 \cdot \text{H}_2\text{O}$ pomocí vypočtu změny Gibsovy energie na teplotě a dále byly sledovány kvalitativní a částečně kvantitativní poměry v této sestavě při hydrataci a dehydrataci. Všechny uvedené poznatky byly využity při stanovení tepelného zpracování forem ze sádrových směsí. Tyto rozborové dokazují, že lze účelně pro výrobu sádrových forem použít sádry různé jakosti s přihlédnutím požadavkům technologickým a ekonomickým.

Ukazuje se, že sádry dostupné na našem trhu nesplňují zcela požadavky kladené na jejich použití při výrobě slévárenských forem a jader. Dentální sádrové směsi (např. Gloria speciál), určené především k výrobě drobnějších odliatků v dentální technice, nejsou zcela optimální pro výrobu hmotnějších odliatků.

V tomto směru se jako nejvýhodnější jeví směsi připravované ze speciálních výchozích složek, jako například dovážená anglická sádrová směs používaná v n.p. METEZ Týnec nad Sázavou.

3. Všechny provedené experimentální pokusy a teoretické úvahy byly zaměřeny ke stanovení optimálního režimu tepelného zpracování forem ze sádrových směsí. Bylo ověřeno tepelné zpracování

sádrových forem z nenapěných směsi, kde v podstatě složení sádrové směsi nemá vliv na výši teploty prodlevy v peci 200°C u forem nenapěných a 120°C u forem z napěných směsi. Velká důležitost musí být kladena na výměnu atmosféry, která odstraňuje vlhkost ze sádrové formy do okolí. Tento proces vede k částečnému odstranění vázané vody a je označován jako sušení. Druhá část tepelného zpracování - žihání, probíhá při teplotě prodlevy v peci 400°C u forem nenapěných a 200°C u forem z napěných směsi. Při teplotě 400°C je ukončeno odstraňování vázané vody v síranu vápenatém, což představuje ukončení procesu tepelného zpracování. Pro úspěšné odlévání kovů do těchto forem je tato teplota dostačující.

Rozmezí mezi sušením a žiháním musí být s konečnou platností řešena smluvně. Uvedená hranice 200°C pro formy nenapěněné je v tomto smyslu reálná. Pro určení doby tepelného zpracování nelze vyslovit obecná kriteria, neboť tento proces je závislý na kvalitě sádrové směsi, množství rozdělávací vody a dílech určených k tepelnému zpracování. Tuto otázku je nutno podrobně řešit v souvislosti s použitým zařízením a velikostí sádrových dílů. Doba prodlevy na konečné teplotě žihání v peci 400°C pro formy nenapěněné a 200°C pro formy z napěných sádrových směsi nebyla odvozena z hlediska hmotnostních a tvarevých charakteristik sádrových dílů, ale byla zjištěna experimentálně pomocí kvality získaných odlitků.

Velmi přínosné by bylo pro tepelné zpracování sádrových dílů zařízení s výmennou atmosférou až do teploty 400°C .

4. Při zhotovení odlitků byla použita upravená technologie tepelného zpracování sádrových forem vycházející z výše uvedených poznatků a splňující požadavky kladené na odlitky získané odlé-

váním do sádrových forem. U odlitků byla dosažena vysoká jakost povrchu funkčních ploch a vysoká rozměrová a tvarová přesnost.

Všechny dosažené výsledky a poznatky obsažené v této práci doplňují a rozšiřují poznatky o sádrových slévárenských formách.

9.0 ZÁVĚR

Předložená práce se zabývá tepelným zpracováním forem ze sádrových směsi používaných při výrobě přesných odlitků, podle bodů uvedených v úvodu.

Rešeršní část je zaměřena na oblast sádrových formovacích směsí, které jsou popisovány soustavou $\text{CaSO}_4 \cdot \text{H}_2\text{O}$ a z ní vyplývající fáze síranu vápenatého. Popisuje vliv soustavy na vlastnosti směsi a fyzikálně chemické procesy v ní probíhající při výrobě, zpracování a tuhnutí sádrové směsi. Ve slévárenské praxi jsou tyto děje složité a souvisí ještě s dalšími podmínkami (např. okolní atmosférou, použitým zařízením a sádrovou směsí). Z tohoto důvodu je nutné při tepelném zpracování sádrovou formovací směs posuzovat jako systém, ve kterém navzájem probíhá celá řada procesů. Proto celková analýza tepelného zpracování sádrových forem musí zahrnout ještě další ohledy - termodynamické a fyzikálně chemické.

Celá rešeršní část práce přispívá k rozboru této problematiky a uvádí základní podmínky pro vlastní experimenty.

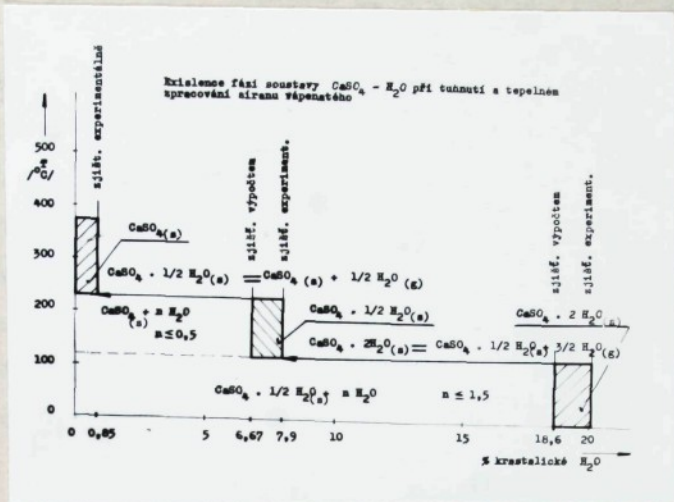
Experimentální část práce je zaměřena na vlastní výzkum tepelného zpracování sádrových forem. Její hlavní výsledky je možno shrnout do těchto bodů:

1. Bylo navrženo a odzkoušeno experimentální zařízení, které modeluje tepelné zpracování sádrových forem ve slévárenské výrobě. Jsou uvedeny výsledky měření jednotlivých skupin sádrových vzorků tvaru válců $\varnothing 20 - 50$ mm, délky 50 mm a tvaru hranolu $22,5 \times 22,5 \times 90$ mm z alabastrové sádry (TGL 21 841), sádrové směsi tvořené 50 hmotnostními procenty alabastrové sádry a

50 hmotnostními procenty stavební sádry (ČSN 722301), dále sádrové směsi napěněné. To přináší představu o průběhu a chování soustavy $\text{CaSO}_4 - \text{H}_2\text{O}$ během tepelného zpracování s ohledem na velikostní a tvarový faktor formy a její vnitřní strukturu.

2. Byla provedena termická analýza vybraných sádrových směsí (ve spolupráci s VŠCHT Praha), ze které vyplynuly teploty přeměn jednotlivých fází síranu vápenatého, které slouží jako podklad pro ověření termodynamických výpočtů a pro návrh režimu tepelného zpracování forem.
3. Byla provedena fázová analýza vybraných sádrových směsí (ve spolupráci s VÚSH Brno), která umožňuje získat kvalitativní a částečně kvantitativní představu o fázovém složení těchto směsí. Z ní lze usuzovat na vhodnost směsí pro výrobu sádrových slévárenských forem. Ze srovnání zkoumaných přírodních materiálů zahraničních a domácích vyplývá, že některé fyzikální vlastnosti materiálů zahraničních nejsou dosahovány u materiálů tuzemských.
4. V návaznosti na prováděné experimenty byly provedeny termodynamické výpočty fázových přeměn soustavy $\text{CaSO}_4 - \text{H}_2\text{O}$ a byly stanoveny teploty přeměn jednotlivých fází síranu vápenatého. Výsledky výpočtů a výše uvedených experimentů vykazují shodu. Souhrnnou představu získanou jak pomocí experimentů, tak pomocí výpočtů o soustavě $\text{CaSO}_4 - \text{H}_2\text{O}$ podává následující obrázek.

Tato grafická interpretace může přispět k rozšíření poznatků o síranu vápenatém, jeho chování při tepelném zpracování a možnostech využití k výrobě slévárenských sádrových forem.



5. Na základě všech poznatků byl zhodnocen stávající režim tepelného zpracování a navržen optimální, který je možno shrnout do těchto bodů:

- Hmotnost tepelně zpracovávaných forem z nenapěněných směsi se pohybuje od 52 – 56% původní hmotnosti a u napěněných forem od 54 – 56% původní hmotnosti.
- Režim tepelného zpracování sádrových forem je vhodné rozdělit na sušení a žihání. Jako konvenční teplota mezi těmito etapami je 200°C u forem nenapěněných a 120°C u forem z napěněných sádrových směsí.
- Rychlosť ohřevu a ochlazování obou typů forem by neměla přesáhnout $0,05 \text{ K.s}^{-1}$, nejvhodnější je použít rychlosti $0,025 - 0,033 \text{ K.s}^{-1}$.
- Ochlazování forem z maximální teploty je nutno provést řízeným způsobem v peci. Při tom je nutno dodržet vhodnou teplotu při vyjmání sádrových dílů ze žihacího zařízení. Samovolným ochlazováním v atmosféře nelze připustit překročení

ochlazovací rychlosti určenou v předchozím bodě. V tomto smyslu maximální teplota při vyjímání byla stanovena hodnota 150°C .

Uvedené výsledky a dosažené poznatky této práce dávají možnost uplatnění a rozšíření technologie liti do sádrových form. V současné době je tato technologie v našich podmínkách málo rozšířená. Liti se používá pouze v malém rozsahu pro výrobu speciálních odlisků (např. v n.p. Metaz Týnec nad Sázavou), při výrobě dmychadel, oběžných kol ventilátorů, ale také v elektrotechnice i při výrobě dalších předmětů. Rozšíření této technologie je možné a účelné. Všeobecné uplatnění je zatím ovlivněno dovozem surovin, pro slévárenské účely převážně z kapitalistických států.

V práci bylo dokázáno fázovým rozbořem, že vyšší úrovní zpracování domácích surovin, by bylo možno účelně zhodnocovat zdroje k náročnějšímu praktickému uplatnění. Tato skutečnost se může ještě dokumentovat např. i porovnáním cen příslušných materiálů:

Z přehledu vyplývá, že je nutné zkvalitňování u nás dostupných sáder na sádrové směsi s potřebnými užitnými vlastnostmi pro

slévárenské účely. K tomu přispívají i teoretické a praktické poznatky obsažené v této práci.

Závěrem lze konstatovat, že uplatnění sádrových forem je možno hodnotit ve strojírenské výrobě jako velmi výhodné pro výrobu speciálních odliteků s různou tloušťkou stěn ze slitin hliníku, cinu, olova, zinku a mědi. Dále se tyto formy uplatňují při výrobě uměleckých předmětů (prstýnků, naušnic atd.) a dentálních výrobků ze slitin stříbra a zlata u nichž je požadovaná vysoká přesnost rozměrů a jakost povrchu.

10.0 SEZNAM POUŽITÉ LITERATURY

- / 1/ ALTNER, V. : Technologie sušení v keramice. Průmyslové vydavatelství, Praha 1951.
- / 2/ BABUŠKA, I., PRÁGER, M., VITÁSEK, E. : Numerické řešení diferenciálních rovnic. SNTL Praha 1964.
- / 3/ BARADANJANC, V.K. : Gipsovaja osnastka dlja tečnogo litja. Moskva 1963.
- / 4/ BÁRTA, R. : Základní výzkum silikátů. SNTL Praha 1957.
- / 5/ BITTNER, J., VACEK, M. : Průměrné otiskovací hmoty ve stomatologické fixní protetice. AVICENNUM Praha 1974.
- / 6/ BLAŽEK, A. : Termická analýza. SNTL Praha 1972.
- / 7/ BOLEY, B.A., WEINER, J.H. : Theory of Thermal Stresses 1960. Ruský překlad: Teorija temperaturnych naprăženij. Moskva 1964.
- / 8/ FEDOROV, I.M. : Teorija a rasčet procesu suški vo vznešennom sostojanii. Moskva 1955.
- / 9/ GINSBERG, D.B., DELIKIŠKIN, S.N., CHODOROV, E.Ja.; ČIŽKOVSKIJ, A.P. : Pece a sušárny v silikátovém průmyslu. Průmyslové vydavatelství Praha 1952.
- /10/ HÁLA, E. : Úvod do chemické termodynamiky. ACADEMIA Praha 1975.
- /11/ HARMÁČEK, J. : Stavební hmoty I. SNTL Praha 1954.
- /12/ HLAVÁČ, J. : Základy technologie silikátů. SNTL Praha 1981.
- /13/ CHYLSKÝ, J. : Vlhký vzduch. SNTL Praha 1963.
- /14/ JENČÍK, J. : Měření teplet v chemii. Sborník prací BT ŠVTS Pardubice 1976, s. 7.
- /15/ KALOJK, J., SÝKORA, K. : Technická termodynamika. ACADEMIA, Praha 1973.
- /16/ KALOUSEK, J., HOLUBECK, Z., KALOUSKOVÁ, G. : Fyzikální chemie metalurgických procesů. Skripta VŠST - FS, Liberec 1982.
- /17/ KAZANSKIJ, V.M. : Svjaz među skorostju suški i temperaturej tela pri termografičeskikh issledovanijach. IFZ, Akademija nauk, Moskva 1973, 24, no. 2, s. 302.
- /18/ KLEČKOVÁ, M. : Nestacionární teplotní pole a napjatost ve strojních součástech. SNTL, Praha 1981.
- /19/ KNEULE, F. : Das Trocknen. Frankfurt a. M. 1959.
- /20/ KOLEKTIV : Studium výroby odlitků litých do sádrových forem. Závěrečná výzkumná zpráva úkolu P 15-124-008-21/02. Liberec, VŠST - FS 1973.
- /21/ KOLEKTIV : Studium technologie odlévání do sádrových forem GARASIN. Dílší výzkumná zpráva úkolu V-124-001,022. Liberec, VŠST - FS 1978.
- /22/ KOLEKTIV : Studium technologie a vlastnosti sádrových formovacích směsí. Závěrečná výzkumná zpráva úkolu V-124-001,022. Liberec, VŠST - FS 1980.

- /44/ RUSÍN, K. : Dispersní formovací materiály, Skripta VUT Brno, SNTL, Praha 1981.
- /45/ SEDLÁČEK, J. : Nekovové materiály ve stomatologii. Státní zdrav. nakl., Praha 1960.
- /46/ SEMENOV, K.N., GROSU, F.P., HALOGA, M.K. : Konvektívnej tepleobmen pri koronnom razrjade v vzduchu. Sborník : Teplot i massoperenos. Moskva 1968, s. 711.
- /47/ SMOLSKIJ, V.M. : Vnější teplo i masseobmen v procese konvektívnej sušky. Izd. Beloruskogo politochničeskogo instituta 1957.
- /48/ STEIDL, H., NEUŽIL, L., FOŘT, I., VLČEK, J. : Úvod do prouďení tekutin a sdílení tepla. ACADEMIA, Praha 1975.
- /49/ ŠATAVA, V. : Úvod do fyzikální chemie silikátů. SNTL, Praha 1963.
- /50/ ŠESTÁK, J. : Měření termofyzikálních vlastností pevných látek. Termická analýza, ACADEMIA, Praha 1982.
- /51/ ŠORIN, S.N. : Sdílení tepla. SNTL, Praha 1968.
- /52/ ŠUMILIN, A.A. : Suška i obžig v průmyslovosti strojítelnoj keramiki. Goistrejzdat, 1962.
- /53/ ŠTELZIGOVÁ, V. : Rozbor termodynamických podmínek při ohřevu forem ze sádrových směsí. Diplomová práce, Liberec VSST - FS 1984.
- /54/ TESÁŘÍK, I. : Prouďení tekutin půrovidým prostředím. SNTL, Praha 1961.
- /55/ TICHÝ, O. : Pálení jemné keramiky. SNTL, Praha 1982
- /56/ TUNCIKIN, I.N. : Diffuzija i slučajnyje processy. Nauka, Novosibirsk 1970.
- /57/ TUREK, M. a kol. : Elektrotechnická keramika. SNTL, Praha 1964.
- /58/ TURIČIN, A.M. : Elektrické měření neelektrických veličin. SNTL, Praha 1958.
- /59/ VACEK, M. : Stomatologické materiály. AVICENNUM, Praha 1980.
- /60/ VACEK, M., BITTNER, J., KOMRSKA, J., ZÁHLAVOVÁ, E. : Stomatologické materiály. AVICENNUM, Praha 1981.
- /61/ VALCHÁŘ, J. : Termokinematika pohybu vlnkosti v materiálu při jeho sušení. Strojírenství č. 6, 1972 s. 34.
- /62/ VALCHÁŘ, J. : Sušení v chemickém průmyslu. SNTL, Praha 1967.
- /63/ VALCHÁŘ, J. : Základy sušení. SNTL, Praha 1966.
- /64/ VEJNIK, A.I. : Termodinamika litnej formy. Mašinostrojenije, Moskva 1968.
- /65/ VETIŠKA, A. a kol. : Teoretické základy slévárenské technologie. SNTL, Praha 1974.
- /66/ VOJTIŠEK, J. : Studium procesu tepelného zpracovávání forem ze sádrových směsí. Diplomová práce. Liberec, VSST - FS 1981.
- /67/ ČSN 66 5224
- /68/ ČSN 72 2301

- /69/ HENNING, O., LACH, V.: Chemie ve stavebnictví SNTL
Praha 1983
- /70/ ČSN 720102
- /71/ ČSN 720103
- /72/ ČSN 720104
- /73/ PERNICA, M., PEKÁREK, J.: Rozbor sádrových směsí a forem
Zpráva HS č. 88/EPÚ - 85 VUSH Brno 1985
- /74/ LANGBEIN, R., PETER, H., SCHWAHN, H.J.: Karbonat - und
Sulfatgesteine VEB Deutscher Verlag für Grundstoffindus-
trie, Liepzig 1982
- /75/ PETZOLD, A.: Anorganisch - nichtmetallische Werkstoffe
VEB Deutscher Verlag für Grundstoffindustrie, Liepzig
1982

P o d ě k o v á n i

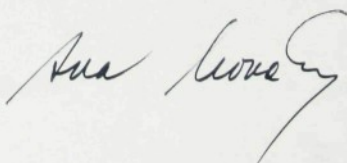
Děkuji vedení Vysoké školy strojní a textilní v Liberci nositelky řádu práce, jejímu rektorovi s. Akademiku Jovanu Čirličovi, Hrdinovi socialistické práce a děkanovi Fakulty strojního inženýrství s. Prof. RNDr. Bohuslavu Střížovi, CSc za vytvoření podmínek pro řešení této práce.

Dále děkuji svému školiteli s. Doc. Ing. Zdeňku Holubcovi, CSc za odborné vedení při řešení téma. Děkuji svým spolu-pracovníkům vedeným s. Doc. Ing. Jánem Alexinem, CSc a to Doc. Ing. Miroslavu Kořínkovi, CSc, Ing. Jiřímu Horynovi, CSc Ing. Petru Loudovi, Ivoně Gubášové, Evě Pokorné a Haně Kerdové, Jaroslavu Vorlovi.

Také mi pomohli ss. Doc. Ing. Jaroslav Tměj, CSc a Ing. František Beran z VŠST, Ing. Miloslav Jirout a Ing. Jaroslav Navrátil z VÚR k.p. Tesla Pardubice, Ing. Milan Pernica z VUŠH Brno, RNDr. Antonín Blažek, DrSc z VŠCHT Praha.

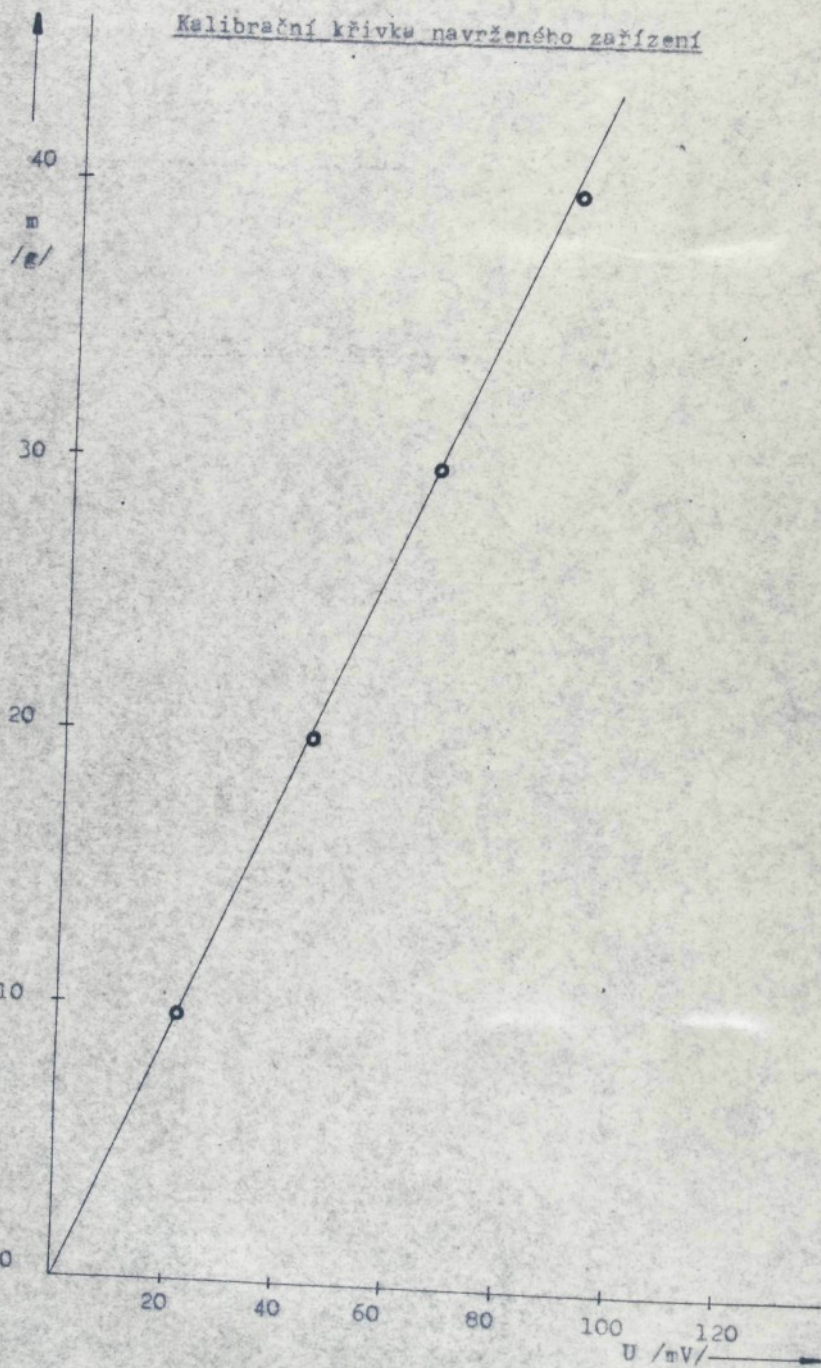
Své mamince děkuji za přepsání textu. Můj dík patří též Evě Mlejnkové a Ireně Pichové, studentkám VŠST.

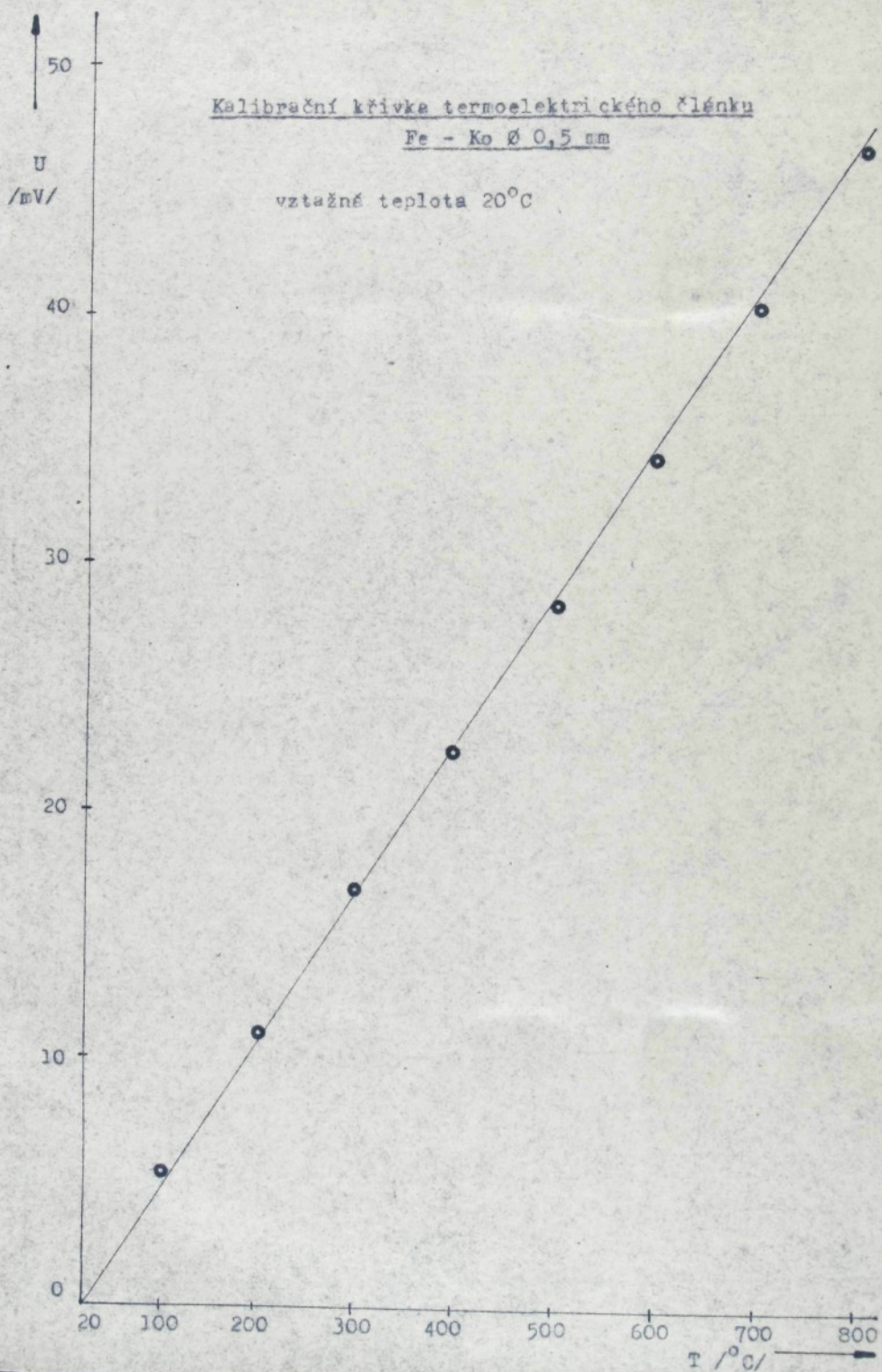
V Liberci, červenec 1985



U 187

+ PŘÍLOHA

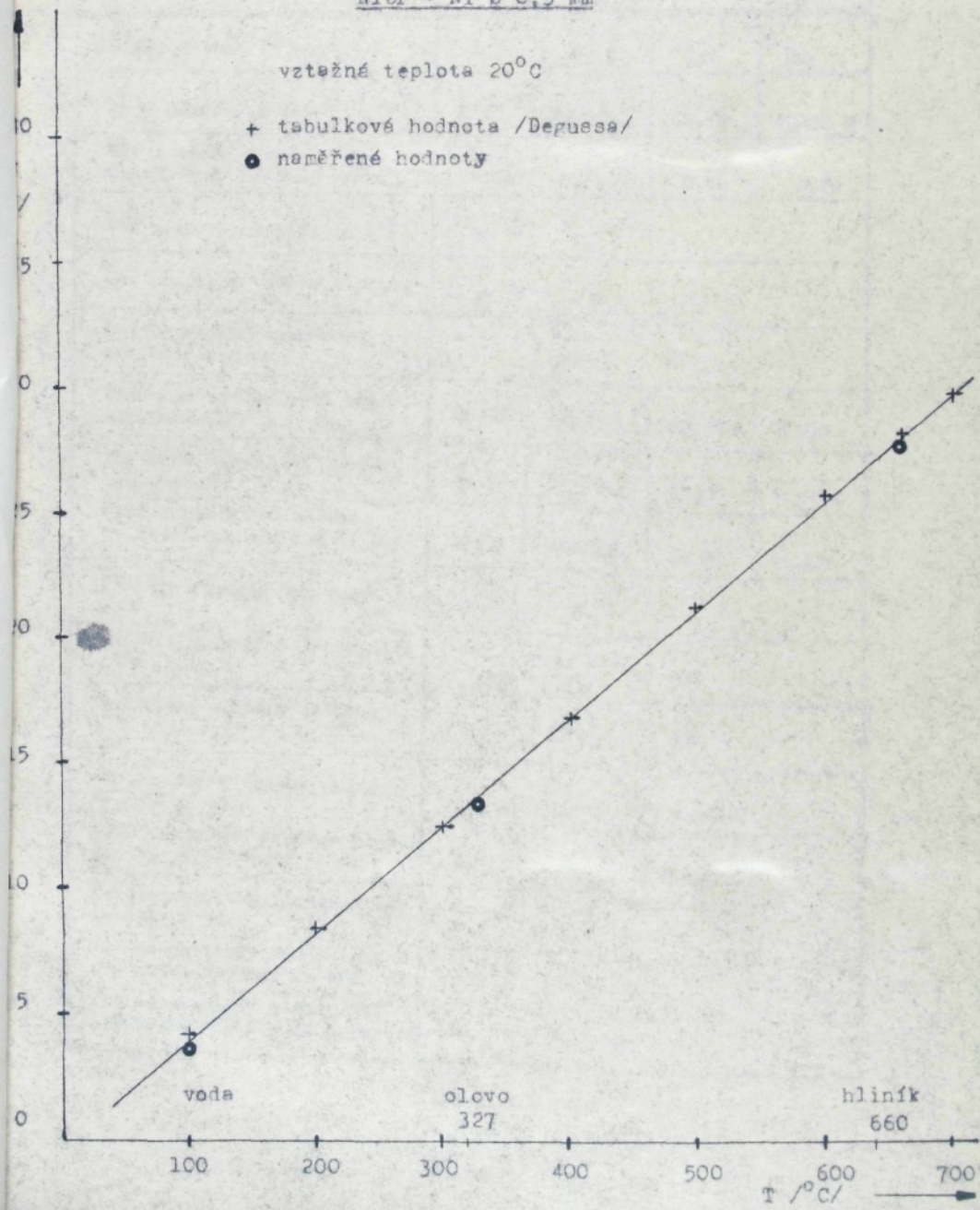




Kalibrační křivka termoelektrického článku
NiCr - Ni Ø 0,3 mm

vztažná teplota 20°C

- + tabulkové hodnoty /Degussa/
- naměřené hodnoty



Sledované veličiny:					
Rozměr vzorku		$\phi 20 \times 50,5 \times 22,5 \times 90 \text{ mm}$			
Číslo měření		1	2 3	11	12
Druh sádrové směsi	ALAB.	50-50AB.	50-50	50-50 N	
Vodní poměr v/s (množ. vody na 100g směsi)	0,64	0,72,64	0,72	0,70	
Čas přípravy břežky / s /					
Čas přípravy vzorku / s /					
Čas tepelného zpracování vzorků / s /		1800			
Hmotnost vzorku před tep. zpracováním / g / $m_{poč.}$	25,00	25,10 ₄₀	80,30	37,30	
Hmotnost vzorku po tepel. zpracování / g / $m_{kon.}$	14,00	13,00 ₀₀	41,00	20,00	
Zbytek hmotnosti vzorku po tepel. zpracování / % /	44,00	48,50 ₆₀	48,90	46,30	
Teplofa rozdělávací vody $/ {}^{\circ}C /$					
Teplofa vzduchu v laboratoři $/ {}^{\circ}C /$		20	20		
Relativní vlhkost vzduchu $/ \% /$		60	61		
Redukovaná tloušťka vzorku $R = V/S / \text{mm} /$		4,20	5,00		
Střední průměr kruhové plochy břežky po ztuhnutí / mm /	90	89	92	91	
Termoelektrický článek sled. teploty v peci					
Termoelektrický článek pro sledování teploty ve stř. vz.					
Termoelektrický článek pro sledování teploty na povr. vz					

ALABASTROVÁ SÁIRA, vzorek š 20 x 50 mm

Čas tepelného zpracování										Čas tepelného zpracování									
Teplota ve stř. vzorku					Teplota na povr. vzorku					Teplota v peci					Teplota ve stř. vzorku				
t	T ₁	T ₂	T ₃	m	x	m	x	m	x	m	x	m	x	m	x	m	x	m	x
min	°C	°C	°C	g		1		1		min	°C	°C	°C	g		1		1	
0	25	28	28	0,00		1,000		0,000		16	95	115	420	9,20	0,630		0,370		
1	27	32	35	0,08		0,996		0,004		17	95	120	435	9,60	0,613		0,387		
2	35	43	65	0,20		0,991		0,009		18	96	130	460	10,00	0,596		0,404		
3	40	50	90	0,35		0,986		0,014		19	98	142	475	10,30	0,585		0,415		
4	50	60	130	0,50		0,977		0,023		20	105	160	495	10,50	0,576		0,424		
5	55	65	150	0,85		0,968		0,032		21	135	225	505	10,60	0,574		0,426		
6	65	75	170	1,20		0,949		0,058		22	155	247	520	10,70	0,570		0,430		
7	70	86	195	1,80		0,927		0,073		23	210	296	540	11,00	0,560		0,440		
8	76	89	220	2,50		0,899		0,101		24	240	321	550	11,00	0,560		0,440		
9	79	90	230	3,40		0,865		0,135		25	315	385	575	11,00	0,560		0,440		
10	83	93	250	4,30		0,826		0,174		26	387	450	595	11,00	0,560		0,440		
11	85	95	335	5,40		0,784		0,216		27	460	520	597	11,00	0,560		0,440		
12	86	95	350	6,50		0,748		0,252		28	496	545	600	11,00	0,560		0,440		
13	89	105	370	7,20		0,714		0,286		29	523	560	600	11,00	0,560		0,440		
14	90	110	385	7,90		0,680		0,320		30	545	575	600	11,00	0,560		0,440		
15	95	115	405	8,60		0,652		0,348		31	551	580	600	11,00	0,560		0,440		

SÁDROVÁ SMĚS 50 - 50, vzorek Ø 20 x 50 mm

Čas tepelného zpracování			Teplota ve stř.			Úbytek hmotnosti vzorku			Ponáry říjbytek hmotnosti vzorku			Čas tepelného zpracování			Teplota na povrchu vzorku			Ponáry říjbytek hmotnosti vzorku		
	Teplota na povr. vzorku	Teplota v peći																		
t	T ₁	T ₂	T ₃	m _x	$\frac{m - m_x}{m}$	$\frac{m}{m_x}$			t	T ₁	T ₂	T ₃	m _x	$\frac{m - m_x}{m}$	$\frac{m}{m_x}$					
min	°C	°C	°C	g	1	1			min	°C	°C	°C	g	1	1					
0	26	27	27	0,00	1,000	0,000			16	95	120	415	9,70	0,610	0,390					
1	28	31	35	0,09	0,996	0,004			17	95	120	430	10,10	0,594	0,406					
2	36	41	60	0,20	0,991	0,009			18	98	130	460	11,50	0,538	0,462					
3	40	49	88	0,30	0,986	0,014			19	106	155	475	11,90	0,525	0,475					
4	51	58	130	0,60	0,977	0,023			20	110	185	490	12,00	0,520	0,480					
5	56	68	152	0,85	0,966	0,034			21	127	205	508	12,00	0,520	0,480					
6	64	78	172	1,20	0,950	0,050			22	157	230	517	12,00	0,520	0,480					
7	70	86	190	1,80	0,926	0,074			23	215	285	539	12,00	0,520	0,480					
8	75	92	210	2,60	0,894	0,106			24	250	315	550	12,00	0,520	0,480					
9	78	93	231	3,40	0,856	0,134			25	320	360	572	12,00	0,520	0,480					
10	80	95	255	4,30	0,826	0,173			26	375	415	585	12,00	0,520	0,480					
11	81	95	272	5,40	0,785	0,215			27	425	456	595	12,00	0,520	0,480					
12	82	95	300	6,40	0,742	0,258			28	450	470	600	12,00	0,520	0,480					
13	83	95	340	7,10	0,714	0,286			29	470	491	600	12,00	0,520	0,480					
14	90	115	385	7,90	0,680	0,320			30	510	530	600	12,00	0,520	0,480					
15	93	120	400	8,70	0,650	0,350			31	534	550	600	12,00	0,520	0,480					

SÁDROVÁ SMĚS - 50 - 50 napěnčná, vzorek Ø 20 x 50 mm

Čas tepelného zpracování										Čas tepelného zpracování									
	Teplota ve stř. vzorku			Teplota na povr. vzorku			Teplota v peci				Teplota ve stř. vzorku			Teplota na povr. vzorku			Teplota v peci		
t	T ₁	T ₂	T ₃	m _x	$\frac{m_p - m_x}{m_p}$	$\frac{m_x}{m_p}$	$\frac{m_p - m_x}{m_p}$	$\frac{m_x}{m_p}$	$\frac{m_p - m_x}{m_p}$	$\frac{m_x}{m_p}$	t	T ₁	T ₂	T ₃	m _x	$\frac{m_p - m_x}{m_p}$	$\frac{m_x}{m_p}$	$\frac{m_p - m_x}{m_p}$	$\frac{m_x}{m_p}$
min	°C	°C	°C	g							min	°C	°C	°C	g				
0	27	27	25	0,00	1,000	0,000					16	95	125	415	3,90	0,577	0,423		
1	28	35	45	0,10	0,990	0,010					17	95	145	432	4,00	0,565	0,435		
2	30	46	60	0,20	0,979	0,021					18	95	185	455	4,20	0,544	0,456		
3	35	50	89	0,40	0,957	0,043					19	115	210	475	4,20	0,544	0,456		
4	41	56	128	0,80	0,914	0,086					20	130	272	495	4,20	0,544	0,456		
5	45	62	150	1,00	0,892	0,108					21	175	336	510	4,00	0,544	0,456		
6	52	71	172	1,30	0,859	0,141					22	195	398	520	4,20	0,544	0,456		
7	59	78	190	1,60	0,827	0,173					23	245	435	535	4,20	0,544	0,456		
8	63	84	219	1,90	0,794	0,206					24	350	475	552	4,20	0,544	0,456		
9	66	90	230	2,30	0,750	0,250					25	380	498	572	4,20	0,544	0,456		
10	70	95	255	2,50	0,729	0,271					26	410	550	580	4,20	0,544	0,456		
11	75	95	292	2,90	0,685	0,315					27	464	575	598	4,20	0,544	0,456		
12	79	101	323	3,20	0,653	0,347					28	520	590	600	4,20	0,544	0,456		
13	85	105	340	3,40	0,631	0,369					29	560	600	600	4,20	0,544	0,456		
14	90	115	369	3,60	0,609	0,391					30	580	600	600	4,20	0,544	0,456		
15	95	125	402	3,80	0,587	0,413					31	600	600	600	4,20	0,544	0,456		

ALABASTROVÁ SÁDRA, vzorek \varnothing 35 x 50 mm

Čas tepelného zpracování	Teplota ve stř. vzorku			Teplota na povr. vzorku			Teplota v peci			Úbytek hmotnosti vzorku	Poměrný zbytek hmotnosti vzorku	Poměrný úbytek hmotnosti vzorku	Čas tepelného zpracování	Teplota ve stř. vzorku			Teplota na povr. vzorku	Teplota v veci Poměrný úbytek hmotnosti vzorku
	t	T ₁	T ₂	T ₃	m _x	m _p -m _x	m _p	t	T ₁	T ₂	T ₃	m _x						
min	°C	°C	°C	g	1	1	min	°C	°C	°C	1							
0	27	29	22	0,00	1,000	0,000	21	95	241	50	418							
1	30	31	32	0,10	0,999	0,001	22	95	270	50	418							
2	30	32	48	0,25	0,996	0,004	23	95	300	5	418							
3	31	36	81	0,30	0,995	0,005	24	95	315	5	418							
4	32	42	118	0,40	0,994	0,006	25	95	350	50	419							
5	34	50	155	0,40	0,994	0,006	26	95	372	58	419							
6	36	59	196	0,80	0,990	0,010	27	95	395	58	419							
7	40	65	222	0,90	0,987	0,013	28	95	418	60	419							
8	50	72	250	1,25	0,984	0,016	29	95	420	60	438							
9	56	80	275	1,90	0,976	0,024	30	95	422	60	438							
10	60	81	300	2,60	0,967	0,033	31	98	424	60	438							
11	68	85	322	3,80	0,952	0,048	32	111	426	60	438							
12	72	88	345	4,80	0,940	0,060	33	120	427	60	438							
13	75	90	365	6,60	0,917	0,083	34	120	428	60	438							
14	80	91	380	8,70	0,891	0,109	35	120	428	60	438							
15	80	93	390	10,30	0,871	0,129	36	125	429	60	438							
16	85	95	400	12,90	0,838	0,162	37	125	430	60	438							
17	89	120	419	15,20	0,810	0,190	38	125	434	60	438							
18	91	151	432	17,10	0,786	0,213	39	125	437	60	438							
19	91	183	458	19,00	0,762	0,238	40	141	441	60	438							
20	92	210	480	22,00	0,725	0,275	41	172	447	60	438							

SÁDROVÁ SMĚS 50 - 50, vzorek \varnothing 35 x 50 mm

SÁDROVÁ SMĚS 50 - 50, napěněná vzorek Ø 35 x 50 mm

Čas topelného zpracování	Teplota ve stř. vzorku										Teplota na povr. vzorku										Teplota v peci										Čas topelného zpracování									
	Teplota napěv. vzorku					Teplota hmotnosti vzorku					Použitý řízení					Teplota hmotnosti vzorku					Teplota hmotnosti vzorku					Teplota v peci					Teplota v peci					Teplota v peci				
	t	T ₁	T ₂	T ₃	x	t	T ₁	T ₂	T ₃	x	t	T ₁	T ₂	T ₃	x	t	T ₁	T ₂	T ₃	x	t	T ₁	T ₂	T ₃	x	t	T ₁	T ₂	T ₃	x	t	T ₁	T ₂	T ₃	x	t	T ₁	T ₂	T ₃	x
0	27	27	25	0,00	1,000	0,000	21	87	155	390	10,30	0,733	0,267	42	2																									
1	27	30	35	0,20	0,997	0,003	22	89	169	400	10,90	0,717	0,283	43	2																									
2	30	35	45	0,40	0,990	0,010	23	90	180	415	11,40	0,704	0,296	44	2																									
3	35	40	52	0,60	0,985	0,015	24	95	197	430	11,80	0,694	0,306	45	2																									
4	37	44	60	1,20	0,969	0,031	25	95	210	446	12,40	0,678	0,322	46	3																									
5	39	49	90	1,70	0,956	0,044	26	95	229	460	12,90	0,665	0,335	47	3																									
6	40	49	112	2,20	0,943	0,057	27	96	254	475	13,40	0,652	0,348	48	3																									
7	42	50	150	2,70	0,930	0,070	28	98	274	489	13,90	0,639	0,361	49	3																									
8	45	60	165	3,10	0,920	0,080	29	100	290	496	14,40	0,626	0,374	50	3																									
9	50	65	185	3,50	0,910	0,090	30	105	309	505	14,80	0,616	0,384	51	3																									
10	55	80	195	3,90	0,899	0,101	31	110	329	519	14,90	0,613	0,387	52	3																									
11	60	82	235	4,20	0,891	0,109	32	115	365	530	15,20	0,606	0,394	53	3																									
12	64	90	255	4,60	0,881	0,119	33	115	390	552	15,70	0,593	0,407	54	4																									
13	69	95	285	5,10	0,868	0,132	34	125	419	565	16,00	0,585	0,415	55	4																									
14	75	98	310	5,60	0,855	0,145	35	135	432	589	16,40	0,575	0,425	56	4																									
15	80	98	319	6,10	0,842	0,158	36	142	450	599	16,70	0,567	0,433	57	4																									
16	80	105	330	6,70	0,826	0,174	37	160	468	600	16,70	0,567	0,433	58	4																									
17	82	110	345	7,30	0,811	0,189	38	189	498	600	16,70	0,567	0,433	59	4																									
18	85	125	353	8,50	0,780	0,220	39	205	515	600	16,70	0,567	0,433	60	4																									
19	85	137	365	9,20	0,746	0,254	40	211	528	600	17,00	0,559	0,441	61	4																									
20	85	145	390	10,300	0,733	0,267	41	229	542	600	17,00	0,559	0,441	62	4																									

ALABASTROVÁ SÁDRA, výšerek Ø 50 x 50 mm

SÁDROVÁ SMĚS 50 - 50, vzorek Ø 50 x 50 mm

Čas tepelného zpracování vzorku										Čas tepelného zpracování vzorku									
Teplota ve stř. vzorku					Teplota na povr. vzorku					Teplota v peci					Teplota ve stř. vzorku				
t	T ₁	T ₂	T ₃	x	P ₁	P ₂	P ₃	x	P ₁	P ₂	P ₃	x	P ₁	P ₂	P ₃	x	P ₁	P ₂	
min	°C	°C	°C	g				1				1	min	°C	°C	°C	1		
0	25	25	25	0,00	1,000	0,000							21	59	120	1,449			
1	25	30	35	0,10	0,999	0,001							22	65	124	1,465			
2	25	36	45	0,30	0,998	0,002							23	67	125	1,481			
3	25	43	51	0,40	0,997	0,003							24	69	125	1,481			
4	27	47	63	0,50	0,996	0,004							25	75	130	1,481			
5	29	54	95	0,70	0,995	0,005							26	79	135	1,483			
6	31	59	119	0,90	0,994	0,006							27	80	135	1,483			
7	33	62	153	1,10	0,993	0,007							28	80	140	1,483			
8	35	70	171	1,60	0,990	0,010							29	80	145	1,483			
9	38	75	187	2,20	0,986	0,014							30	85	150	1,483			
10	40	82	198	2,70	0,982	0,018							31	86	153	1,483			
11	41	95	235	3,60	0,976	0,024							32	89	161	1,483			
12	43	95	258	4,30	0,971	0,029							33	91	168	1,483			
13	44	95	275	6,50	0,957	0,043							34	95	175	1,483			
14	46	100	287	7,30	0,951	0,049							35	96	191	1,483			
15	50	105	308	9,10	0,939	0,061							36	96	213	1,483			
16	51	105	314	11,20	0,925	0,075							37	100	226	1,483			
17	53	105	330	13,40	0,910	0,090							38	105	243	1,483			
18	54	105	346	15,50	0,899	0,101							39	108	268	1,483			
19	55	110	357	17,30	0,884	0,116							40	110	288	1,483			
20	57	115	365	21,30	0,857	0,143							41	115	310	1,483			

SÁDROVÁ SMĚS 50 - 50, napěněná vzorek Ø 50

Čas tepelného zpracování		Teplota ve stře- věrku		Teplota na povr- vzorku		Teplota v peci		Úbytek hmotnosti vzorku		Poměrný zbytek hmotnosti vzorku		Poměrný úbytek hmotnosti vzorku		Čas tepelného zpracování		Teplota ve stře- věrku		Teplota na povr- vzorku		Poměrný úbytek hmotnosti vzorku	
t	T ₁	T ₂	T ₃	m _x	m _p	m _x	m _p	t	T ₁	T ₂	m _x	t	T ₁	T ₂	m _x	t	T ₁	T ₂	m _x		
min	°C	°C	°C	g	g	1	1	min	°C	°C	1	1	min	°C	°C	1	1	°C	°C	1	
0	25	25	23	0,00	1,000	0,000	21	70	13	0,392											
1	25	27	30	0,20	0,997	0,003	22	71	13	0,404											
2	25	30	45	0,40	0,993	0,007	23	74	14	0,415											
3	25	34	50	0,50	0,991	0,009	24	79	15	0,434											
4	27	40	65	0,70	0,988	0,012	25	81	16	0,455											
5	30	45	90	0,90	0,985	0,015	26	82	16	0,462											
6	32	50	120	1,50	0,974	0,026	27	84	21	0,464											
7	34	55	155	1,90	0,967	0,033	28	85	22	0,466											
8	36	65	170	2,40	0,958	0,042	29	87	23	0,466											
9	38	74	195	2,60	0,955	0,045	30	90	24	0,466											
10	40	80	232	2,80	0,951	0,049	31	95	25	0,468											
11	42	85	260	3,10	0,946	0,054	32	95	26	0,468											
12	45	90	276	3,60	0,937	0,063	33	100	30	0,468											
13	49	95	289	4,10	0,928	0,072	34	105	31	0,468											
14	52	95	310	4,90	0,914	0,086	35	108	32	0,468											
15	56	100	315	5,30	0,907	0,093	36	112	33	0,468											
16	59	115	329	5,80	0,898	0,102	37	115	35	0,468											
17	60	120	345	6,20	0,891	0,109	38	120	37	0,468											
18	63	125	355	6,90	0,879	0,121	39	125	38	0,468											
19	65	128	365	7,40	0,870	0,130	40	130	39	0,468											
20	67	130	378	7,80	0,873	0,137	41	135	40	0,468											

ALABASTROVÁ SÁDRA, vzorek 22,5 x 22,5 x 90 mm

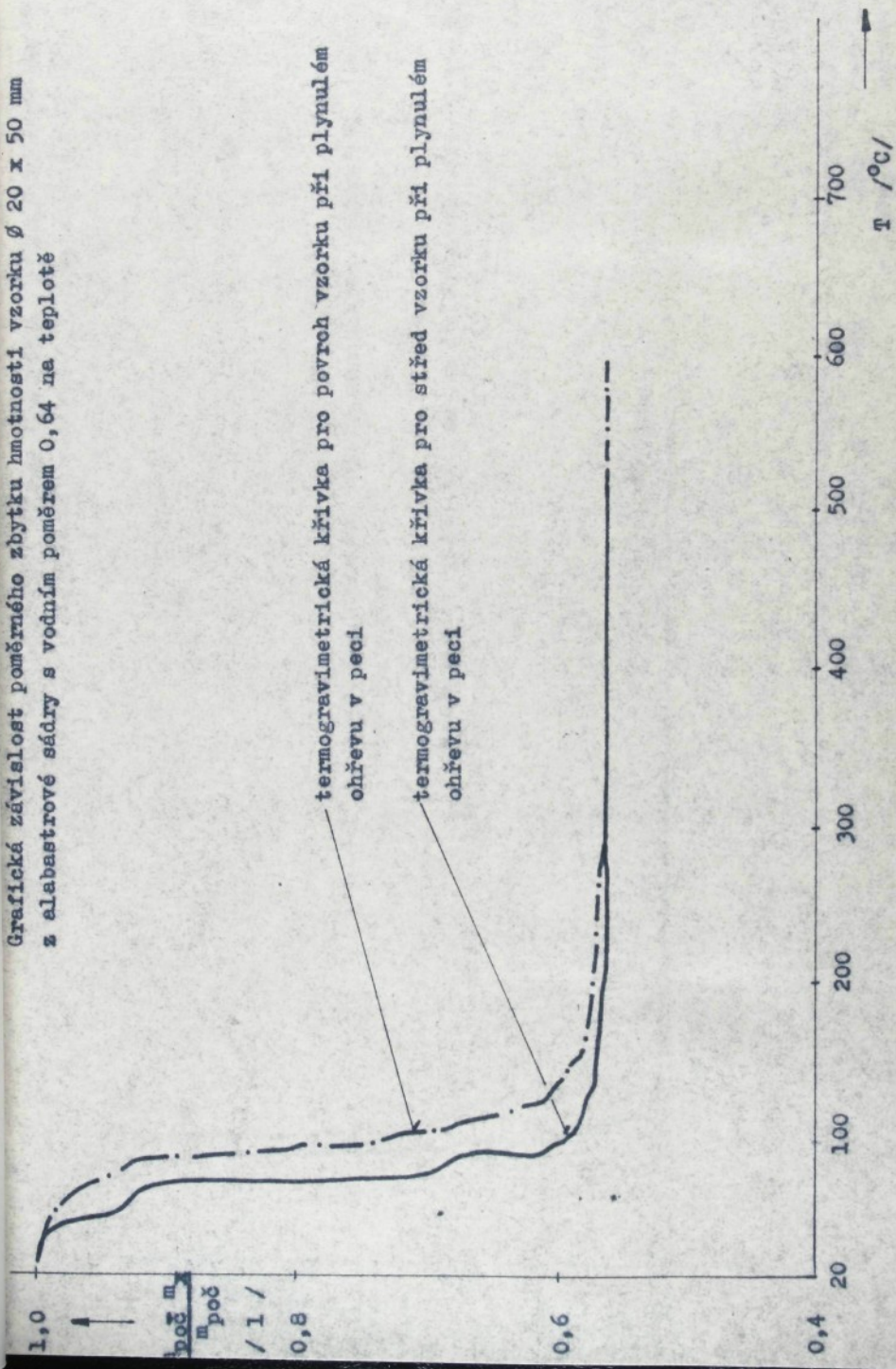
SÁDROVÁ SMĚS 50 - 50, vzorek 22,5 x 22,5 x 90 mm

Čas tepelného spracování								Čas tepelného spracování							
T	T ₁	T ₂	T ₃	m	P	m	P	T	T ₁	T ₂	T ₃	m	P	m	P
min	°C	°C	°C	g		1		min	°C	°C	°C	1			
0	27	27	27	0,00	1,000	0,000		21	129	218	42	,489			
1	36	40	58	0,10	0,999	0,001		22	135	226	43	,489			
2	41	54	85	0,20	0,998	0,002		23	142	238	44	,489			
3	45	60	117	0,50	0,995	0,005		24	148	255	46	,489			
4	56	80	195	1,20	0,985	0,015		25	154	276	47	,489			
5	60	85	210	2,50	0,969	0,031		26	163	289	48	,489			
6	65	90	235	4,10	0,939	0,061		27	172	305	50	,489			
7	71	95	250	5,50	0,932	0,068		28	180	313	51	,489			
8	79	100	265	7,60	0,905	0,095		29	192	325	53	,489			
9	84	110	275	9,80	0,878	0,122		30	198	331	54	,489			
10	89	115	280	11,90	0,851	0,149		31	209	348	55	,489			
11	90	120	305	17,50	0,817	0,183		32	217	365	57	,489			
12	92	125	316	19,10	0,762	0,238		33	225	376	59	,489			
13	95	131	327	23,40	0,709	0,291		34	231	389	59	,489			
14	100	142	338	26,10	0,674	0,326		35	243	408	60	,489			
15	105	153	340	26,50	0,676	0,324		36	255	425	60	,489			
16	108	165	358	27,50	0,647	0,343		37	262	439	60	,489			
17	110	175	367	29,60	0,632	0,368		38	285	462	60	,489			
18	116	182	379	32,80	0,592	0,408		39	307	480	60	,489			
19	120	198	395	34,90	0,564	0,436		40	321	491	60	,489			
20	125	208	410	39,60	0,555	0,445		41	345	501	60	,489			

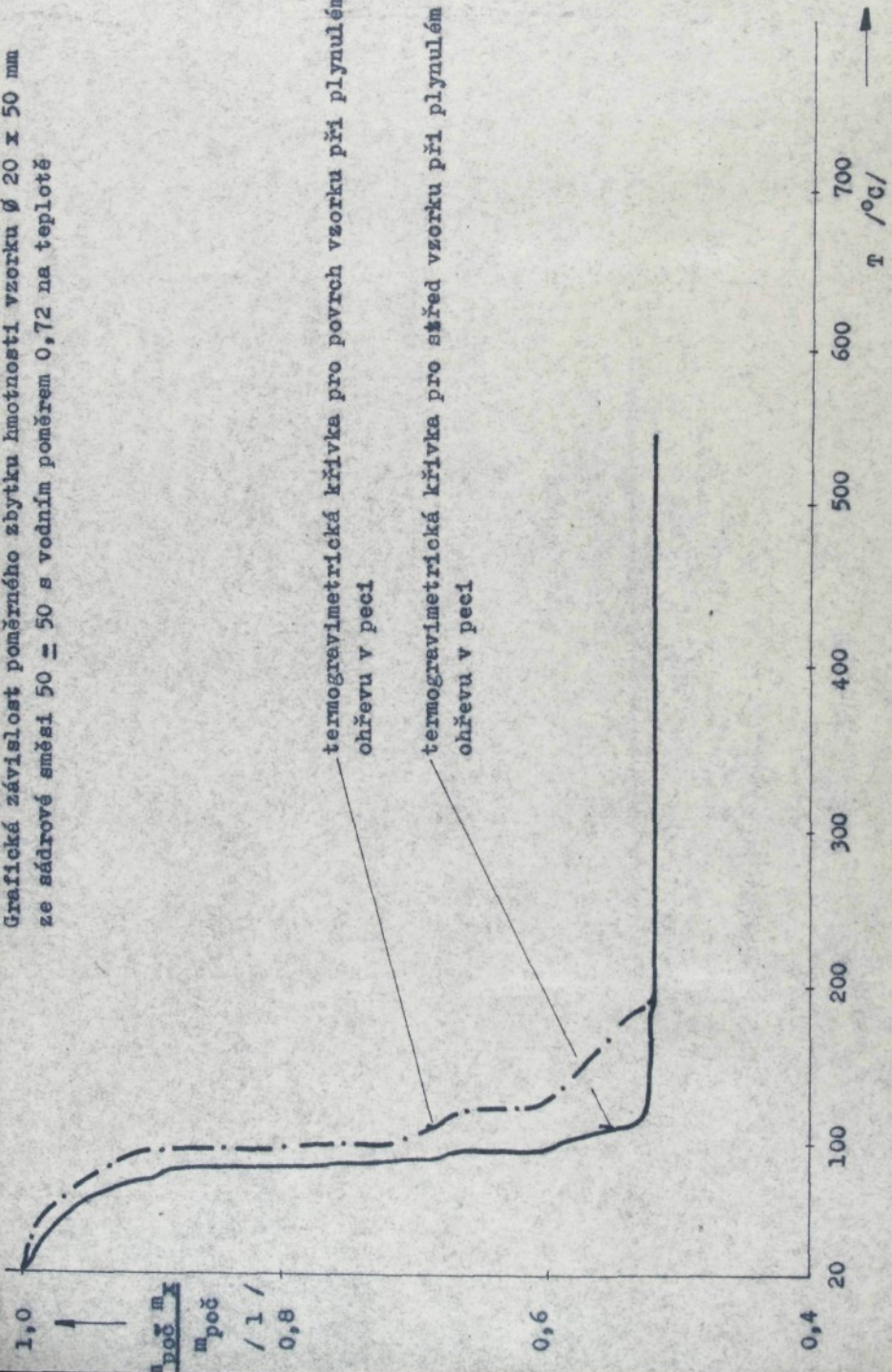
SÁDROVÁ SMĚS 50 - 50, napěněná, vzorek 22,5 x 22,

Čas tepelného zpracování		Teplota ve stř. vzorku		Teplota na povr. vzorku		Teplota v peci		Úbytek hmotnosti vzorku		Poměrný úbytek hmotnosti vzorku		Poměrný úbytek hmotnosti vzorku		Čas tepelného zpracování		Teplota ve stř. vzorku		Teplota na povr. vzorku		Poměrný úbytek hmotnosti vzorku	
t	T ₁	T ₂	T ₃	m	m	m	m	m	m	m	m	m	m	m	m	m	m	m	m	m	m
min	°C	°C	°C	g		1		1		1		1		1		1		1		1	
0	26	26	24	0,00		1,000		0,000		21		115		199		3,0,463					
1	30	35	30	0,10		0,998		0,002		22		120		215		4,0,463					
2	39	43	45	0,20		0,995		0,005		23		126		245		40,463					
3	48	59	51	0,50		0,987		0,013		24		126		267		40,463					
4	55	70	64	1,10		0,971		0,029		25		126		290		40,463					
5	68	85	89	1,90		0,950		0,050		26		130		315		40,463					
6	73	85	117	2,50		0,933		0,067		27		145		345		4,0,463					
7	80	96	150	4,70		0,874		0,126		28		161		368		4,0,463					
8	81	96	168	5,30		0,858		0,142		29		190		396		5,0,463					
9	85	96	195	6,20		0,834		0,166		30		200		405		5,0,463					
10	85	96	235	7,50		0,799		0,201		31		215		425		5,0,463					
11	85	100	258	8,10		0,783		0,217		32		248		458		5,0,463					
12	90	105	275	8,90		0,762		0,238		33		265		486		5,0,463					
13	95	110	285	9,30		0,751		0,249		34		295		500		5,0,463					
14	95	115	309	9,90		0,734		0,266		35		320		516		5,0,463					
15	95	115	316	10,80		0,711		0,289		36		345		535		6,0,463					
16	95	115	330	11,60		0,690		0,310		37		368		550		6,0,463					
17	95	125	345	12,50		0,665		0,335		38		390		561		6,0,463					
18	95	125	365	13,10		0,649		0,351		39		420		570		6,0,463					
19	100	156	375	14,00		0,625		0,375		40		448		592		6,0,463					
20	110	178	392	14,10		0,622		0,378		41		485		600		6,0,463					

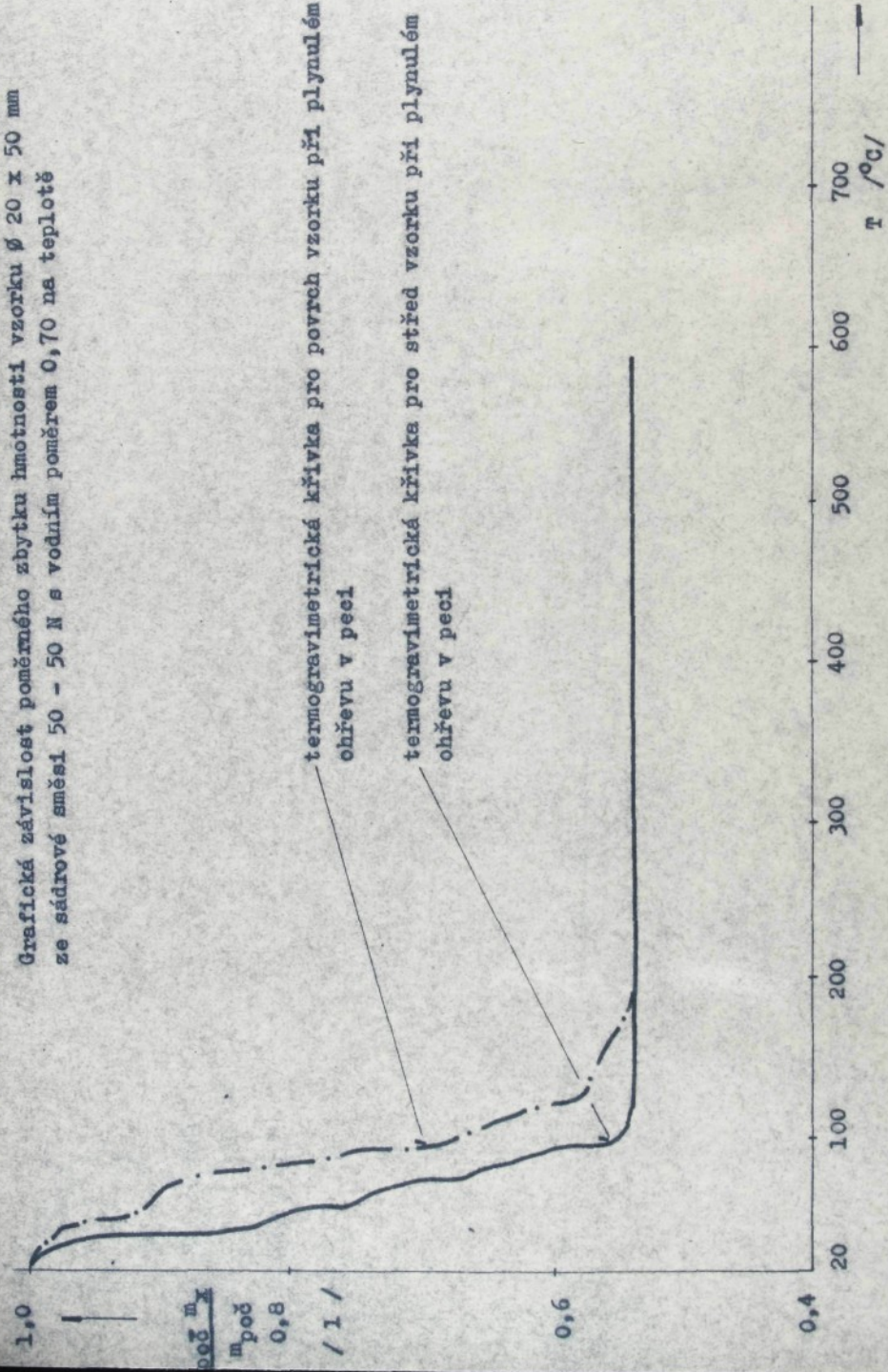
Grafická závislost poměrného zbytku hmotnosti vzorku $\varnothing 20 \times 50$ mm
z alabastrových sádrov s vodním poměrem 0,64 na teplotě



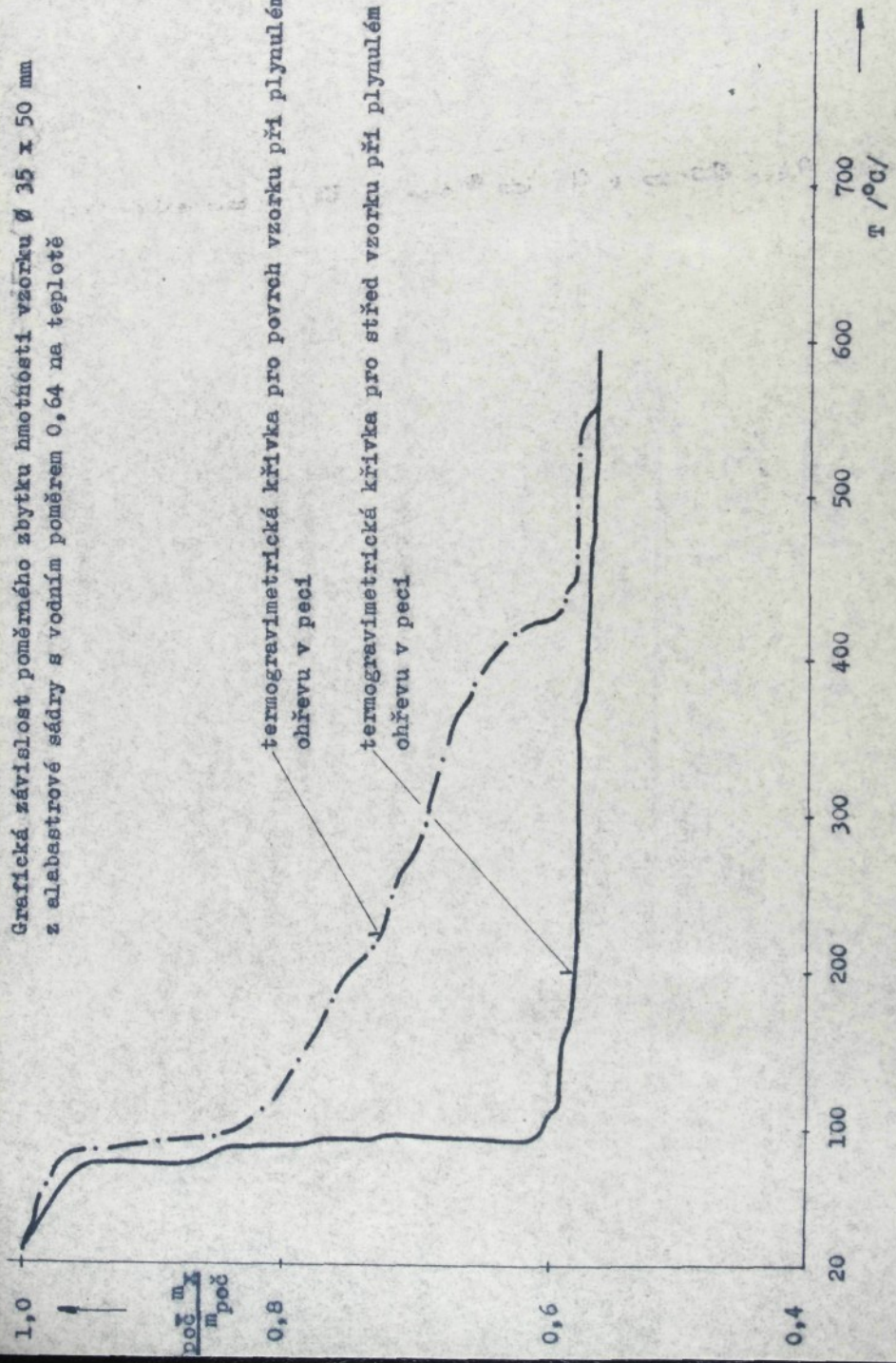
Grafická závislost poměru zbytku hmotnosti vzorku $\varnothing 20 \times 50$ mm
ze sádrové směsi 50 ± 50 s vodním poměrem 0,72 na teplotě



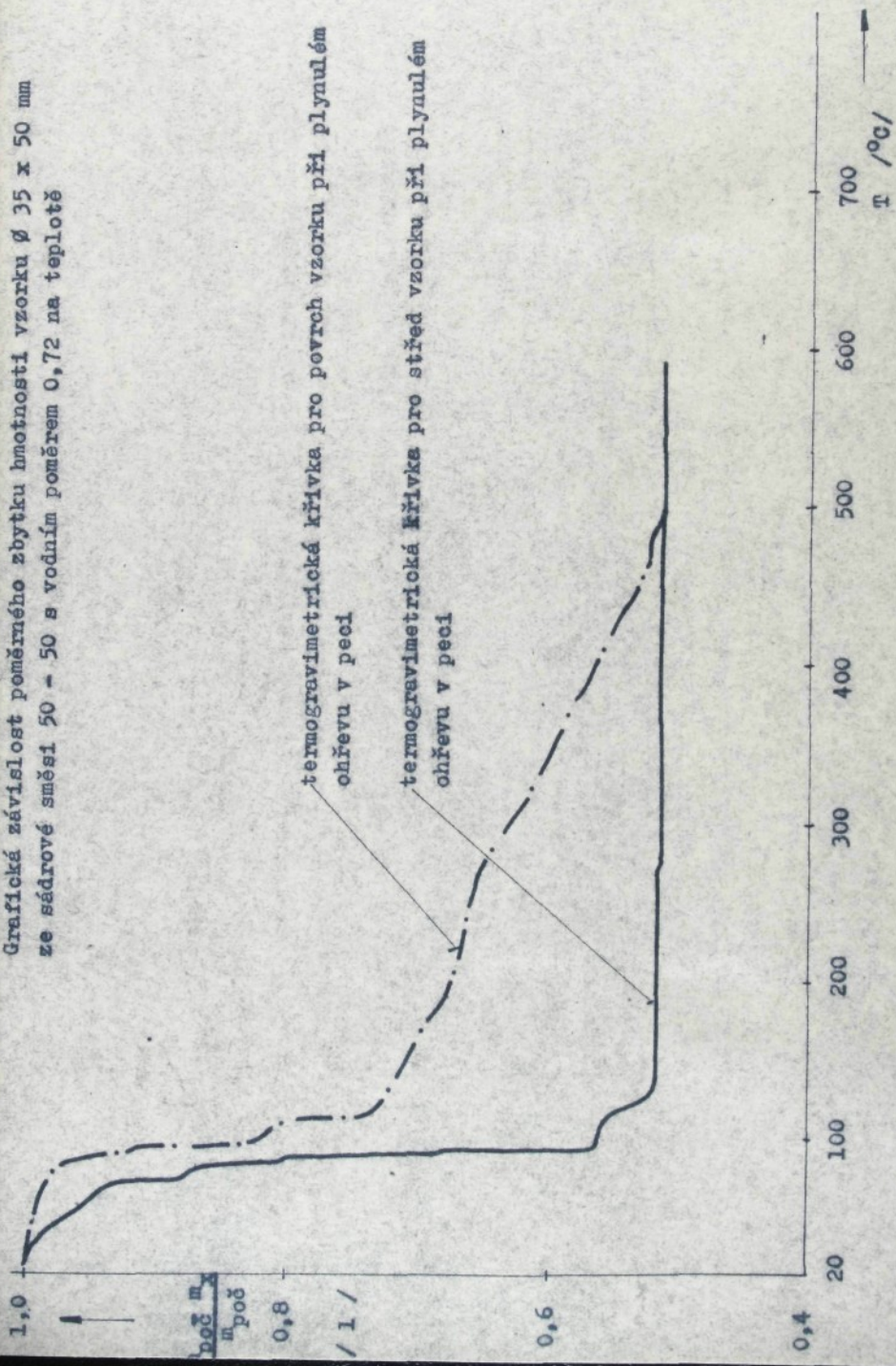
Grafická závislost poměrného zbytku hmotnosti vzorku $\varnothing 20 \times 50$ mm
ze sádrové směsi 50 - 50 N s vodním poměrem 0,70 na teplotě



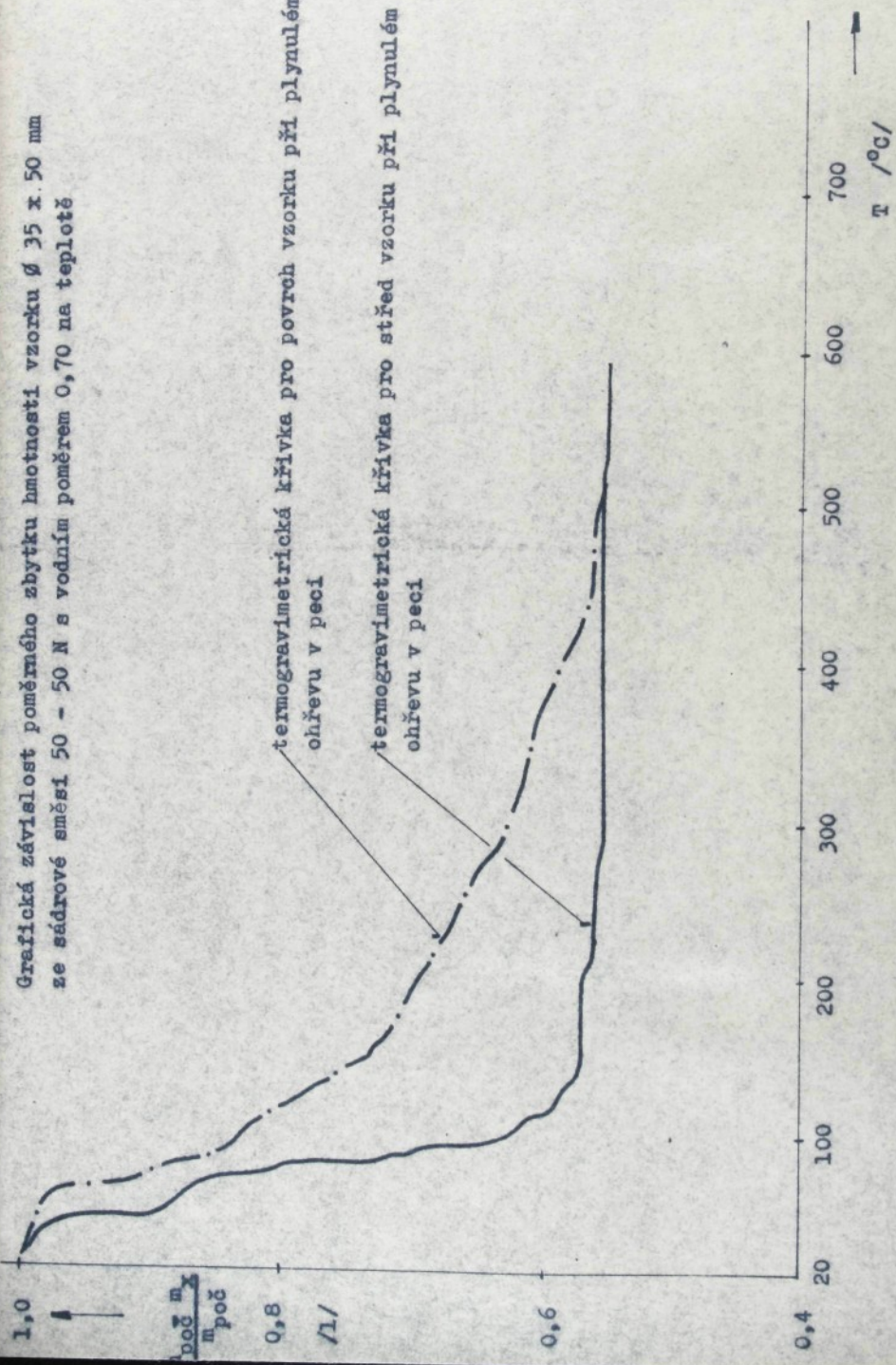
Gratická závislost poměrného sbytku hmotnosti vzorku $\varnothing 35 \times 50$ mm
z alabastrových sádry s vodním poměrem 0,64 na teplotě



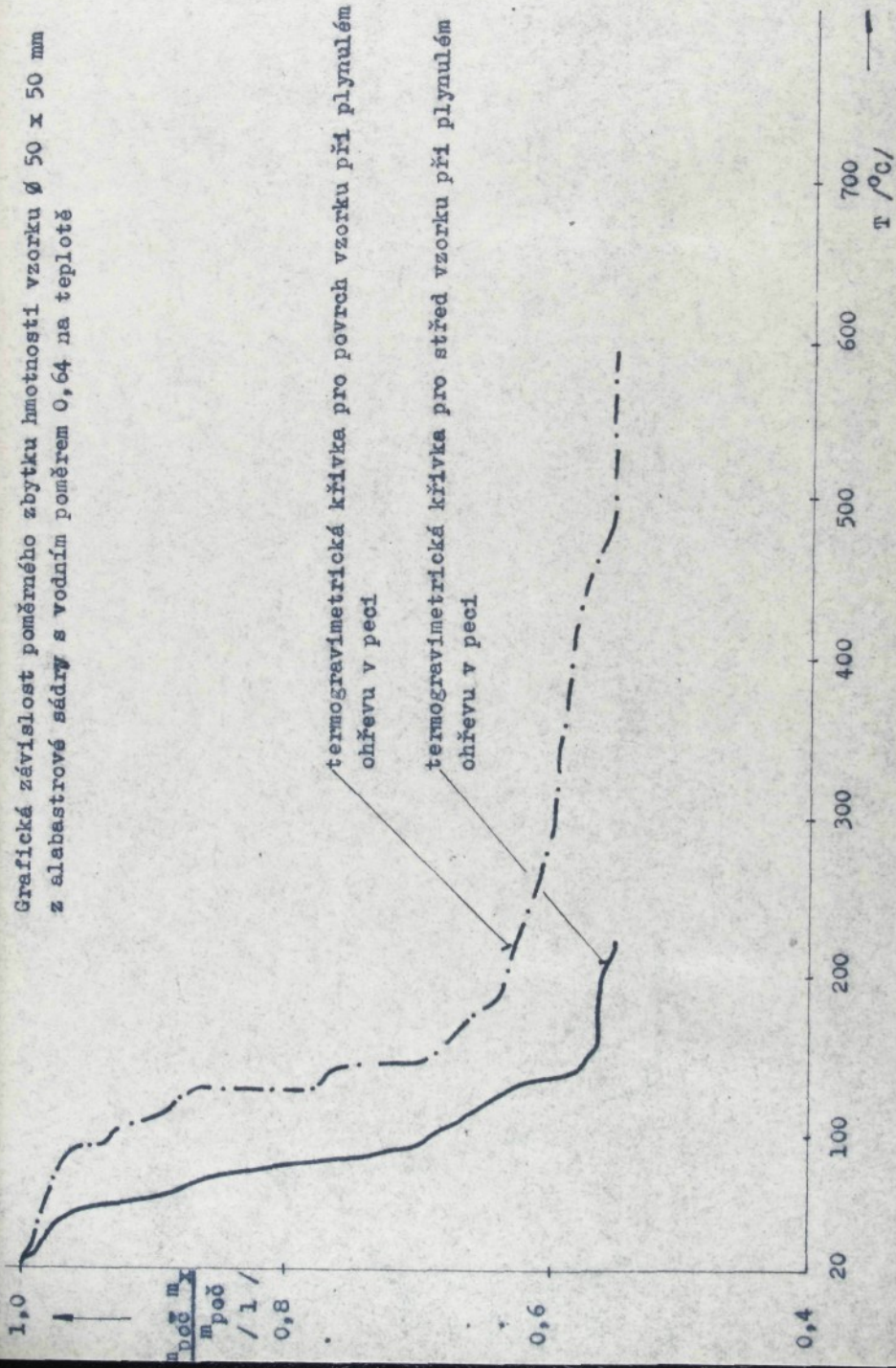
Grafická závislost poměrného zbytku hmotnosti vzorku $\varnothing 35 \times 50$ mm
ze sádrové směsi $50 - 50$ s vodním poměrem 0,72 na teplotě



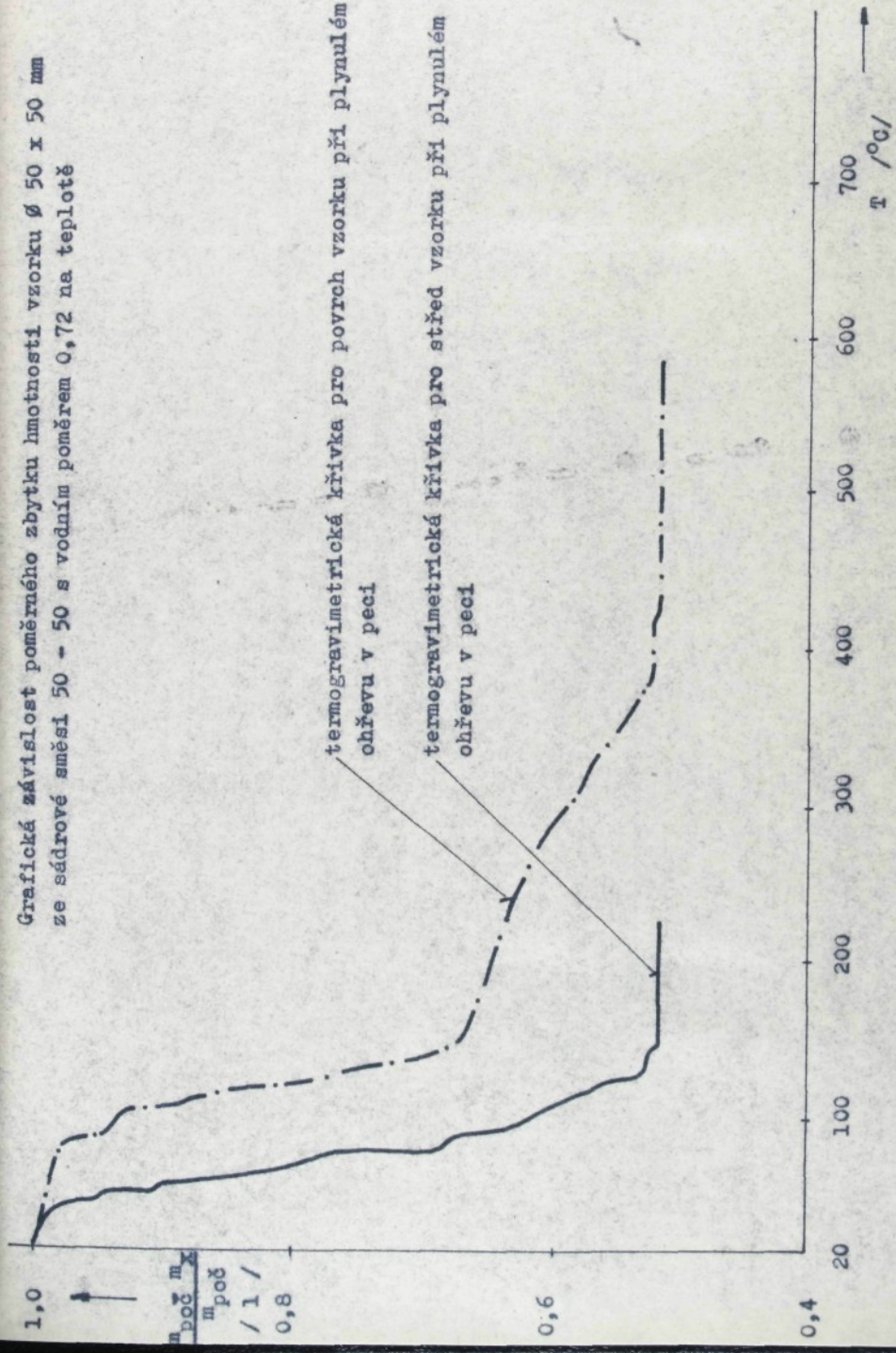
Grafická závislost poměrného zbytku kvalnosti vzorku Ø 35 x 50 mm
ze sádrové směsi 50 - 50 N s vodním poměrem 0,70 na teplotě



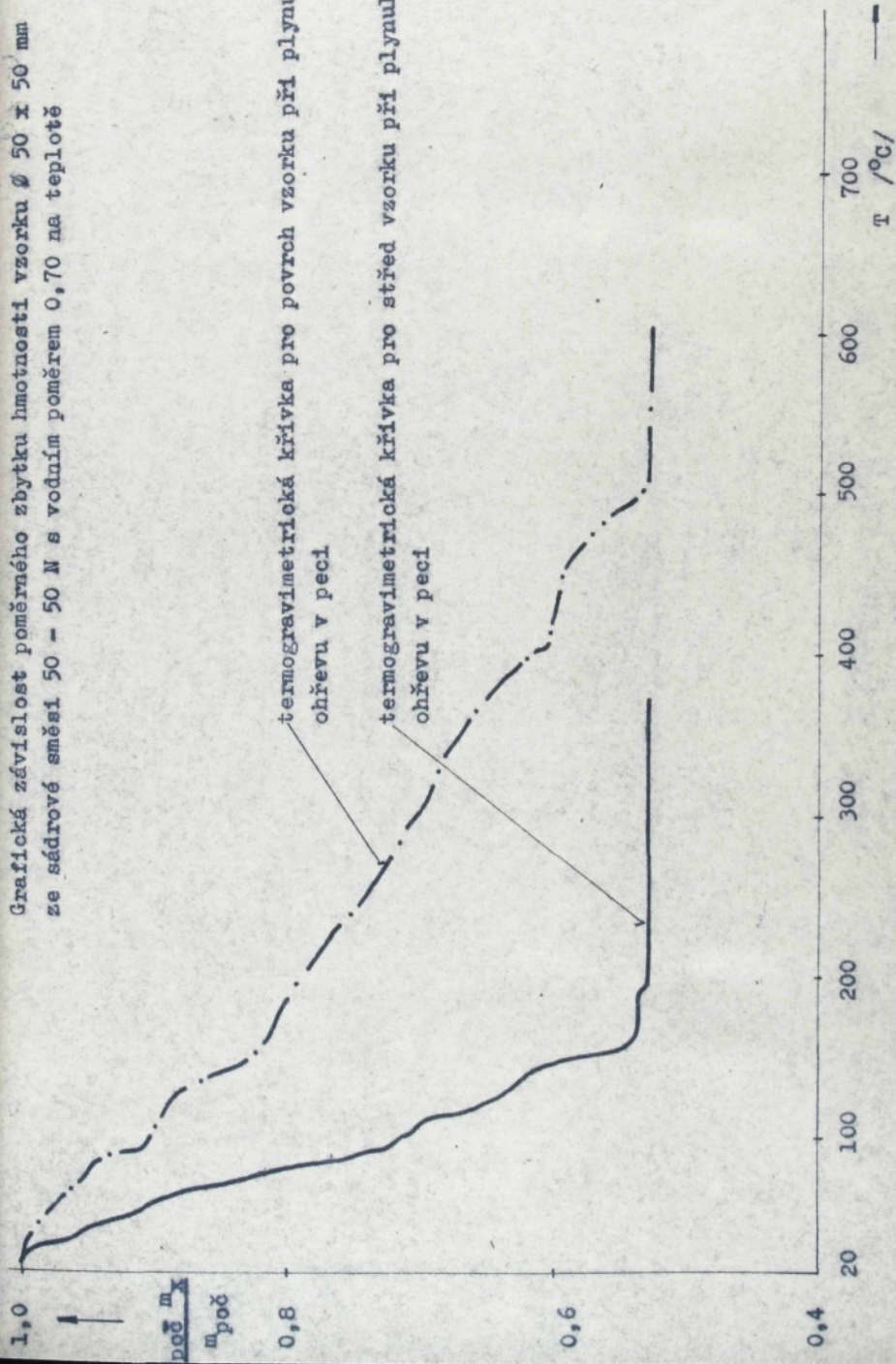
grafická závislost poměrného zbytku hmotnosti vzorku $\varnothing 50 \times 50$ mm
z alabastrové sádry s vodním poměrem 0,64 na teplotě



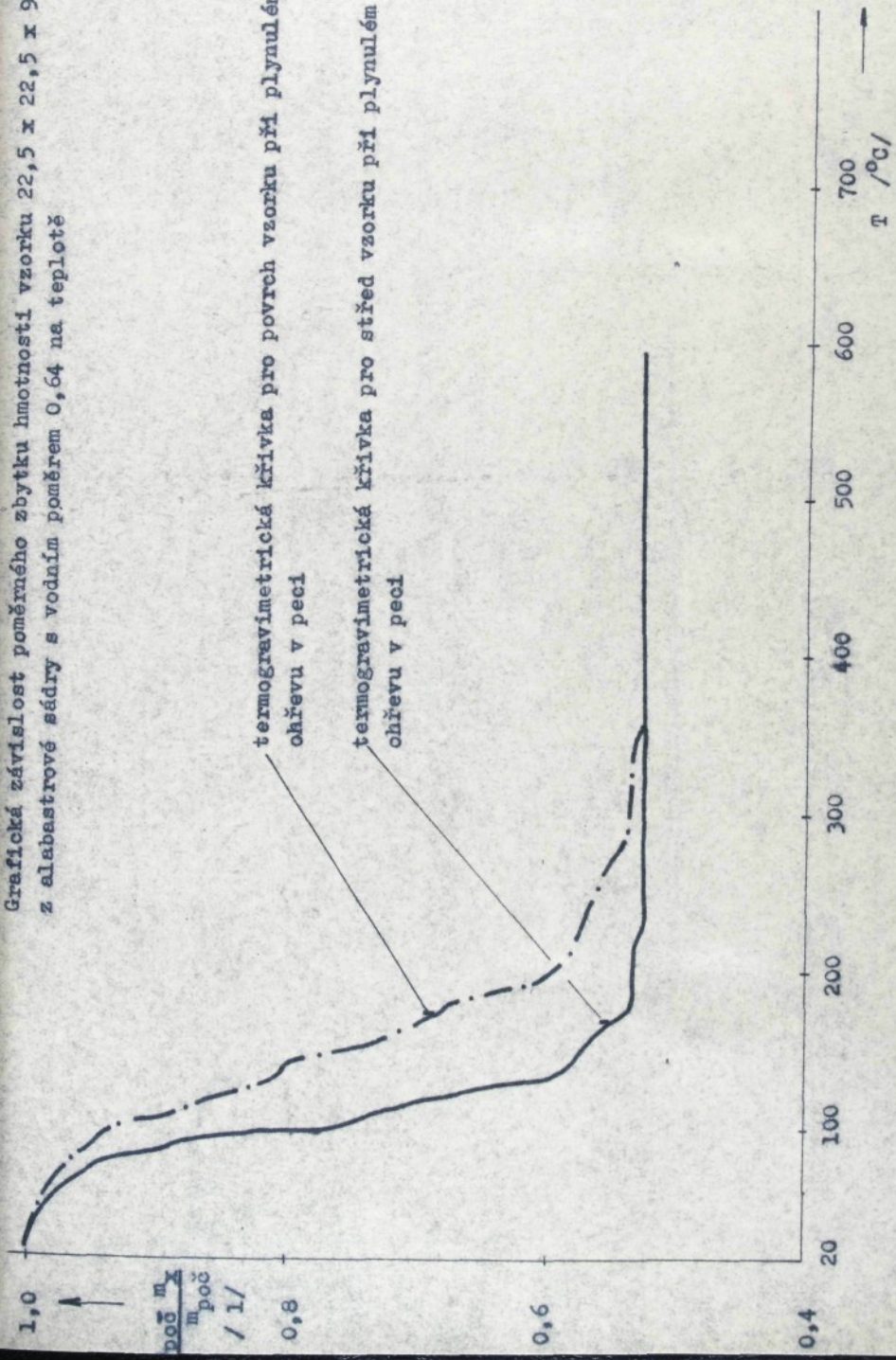
Grafická závislost poměrného zbytku hmotnosti vzorku $\emptyset 50 \times 50$ mm
ze sádrové směsi 50 - 50 s vodním poměrem 0,72 na teplotě



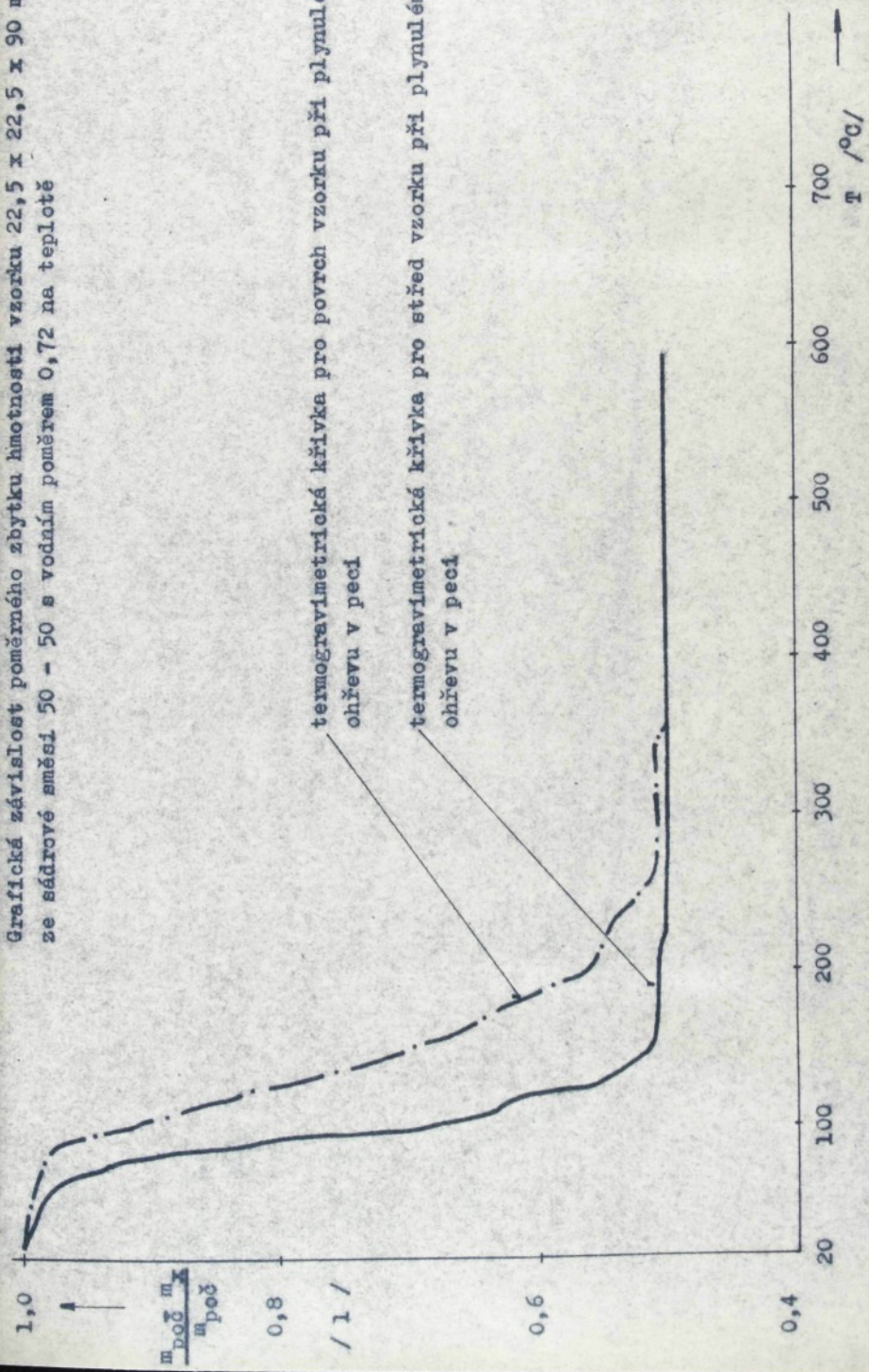
Grafická závislost poměrného zbytku hmotnosti vzorku $\varnothing 50 \times 50$ mm
ze sádrové směsi 50 - 50 N s vodním poměrem 0,70 na teplotě



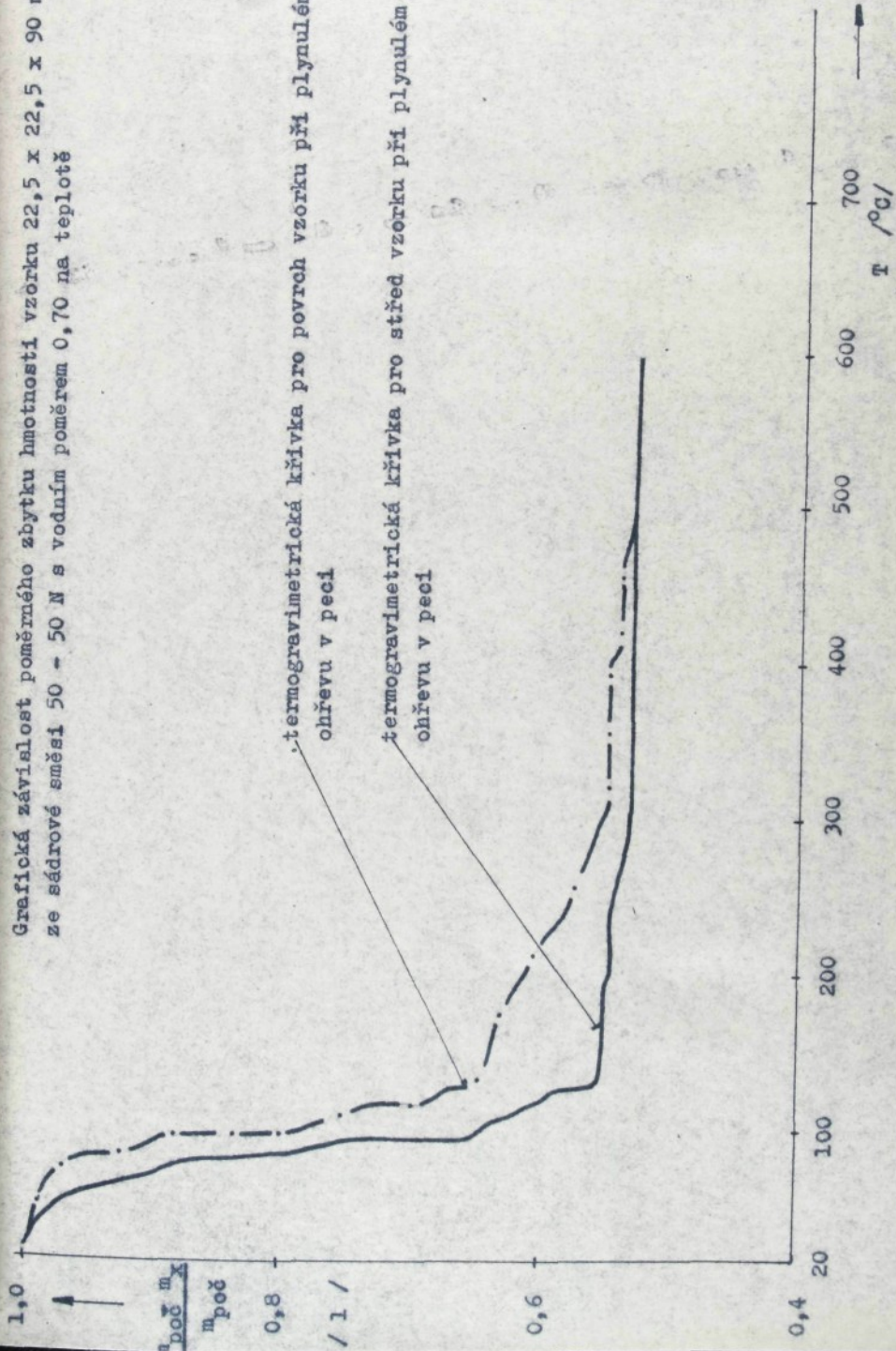
Grafické závislost poměrného zbytku hmotnosti vzorku 22,5 x 22,5 x 90 mm
z alabastrové sádry s vodním poměrem 0,64 na teplotě



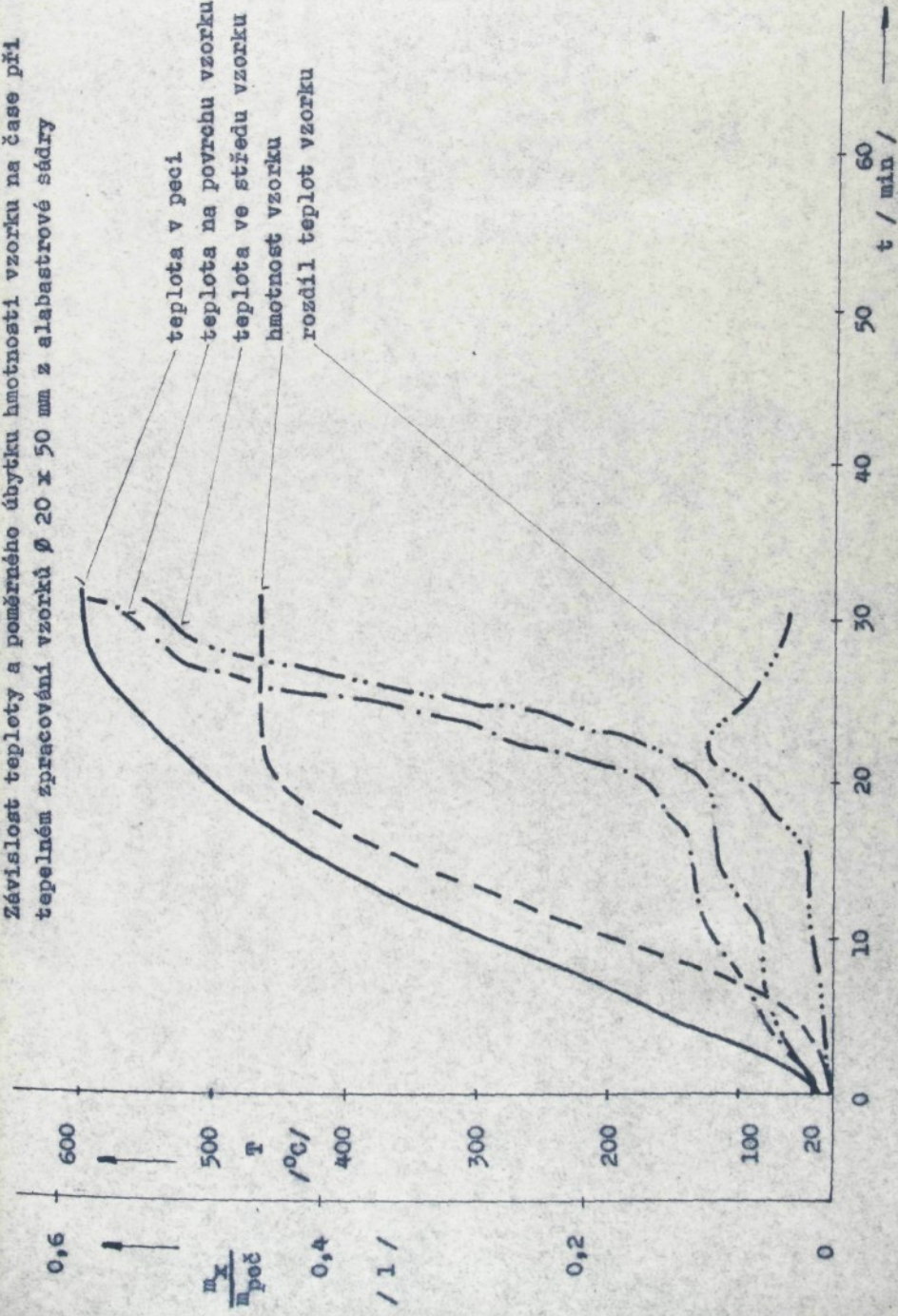
Grafická závislost poměrného zbytku hmotnosti vzorku $22,5 \times 22,5 \times 90$ mm
ze sádrové směsi 50 - 50 s vodním poměrem 0,72 na teplotě



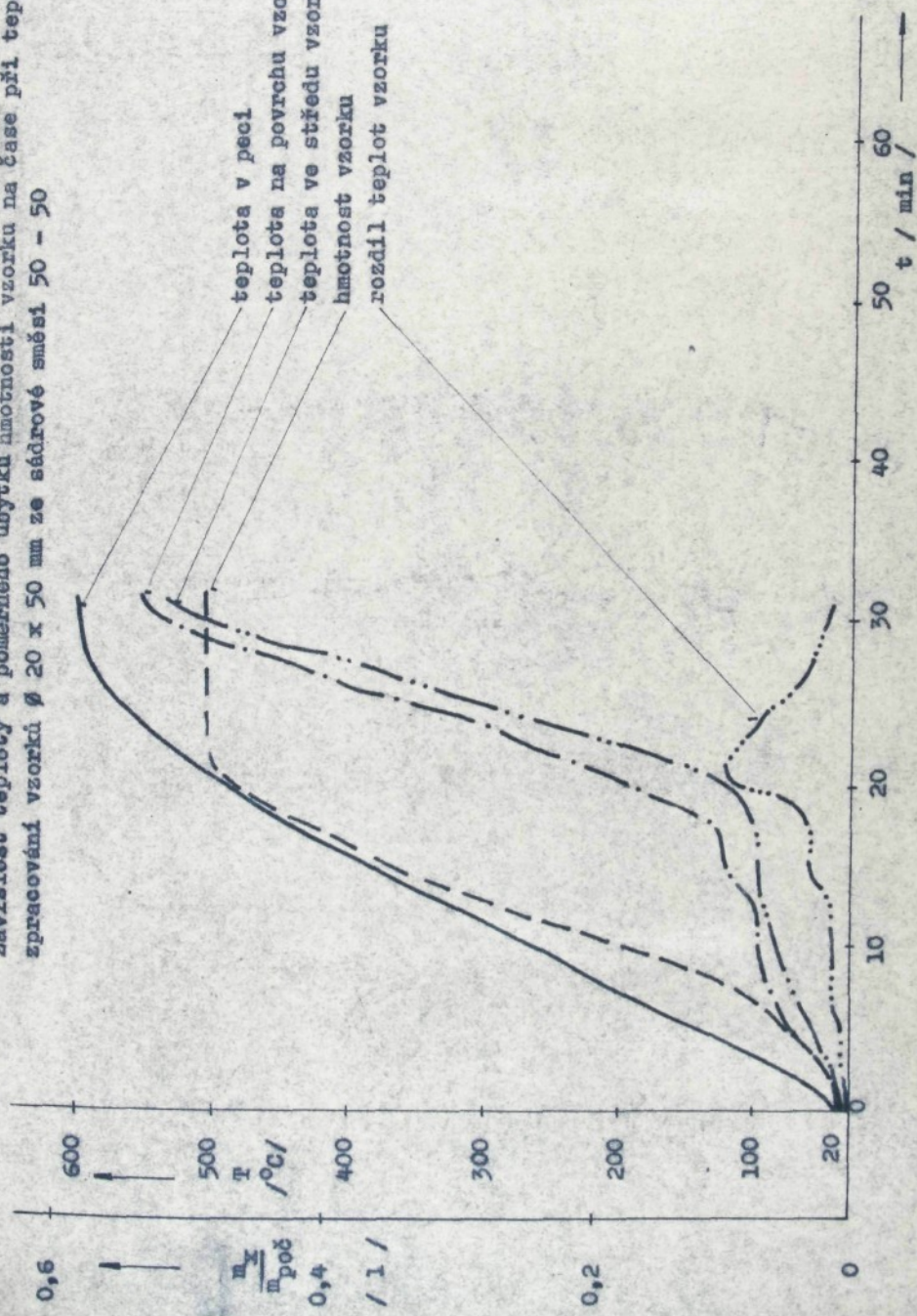
Grafická závislost poměru hmotnosti zbytku vzorku $22,5 \times 22,5 \times 90$ mm
ze sádrové směsi $50 - 50$ N s vodním poměrem $0,70$ na teplotě



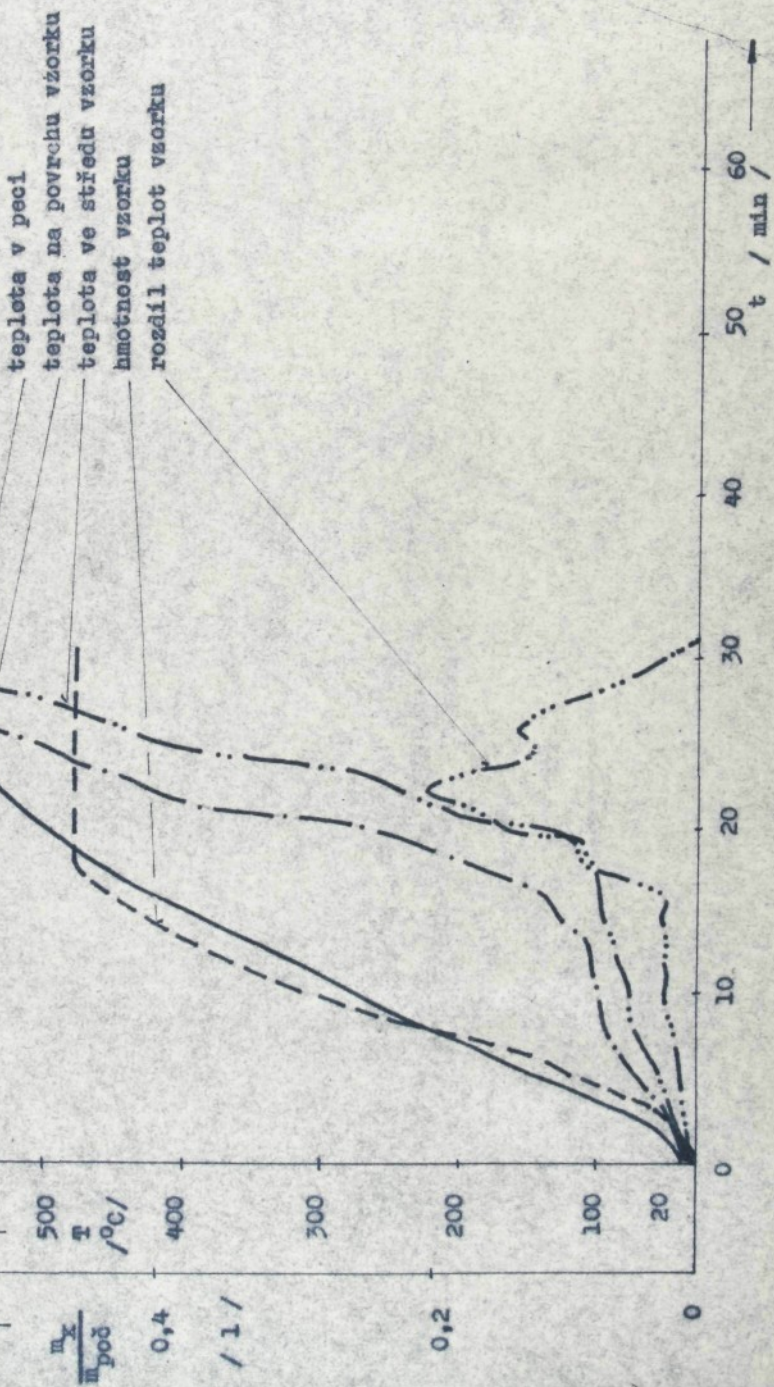
Závislost teploty a poměru hmotnosti vzorku na čase při tepelném zpracování vzorků $\varnothing 20 \times 50$ mm z alabastrové skály



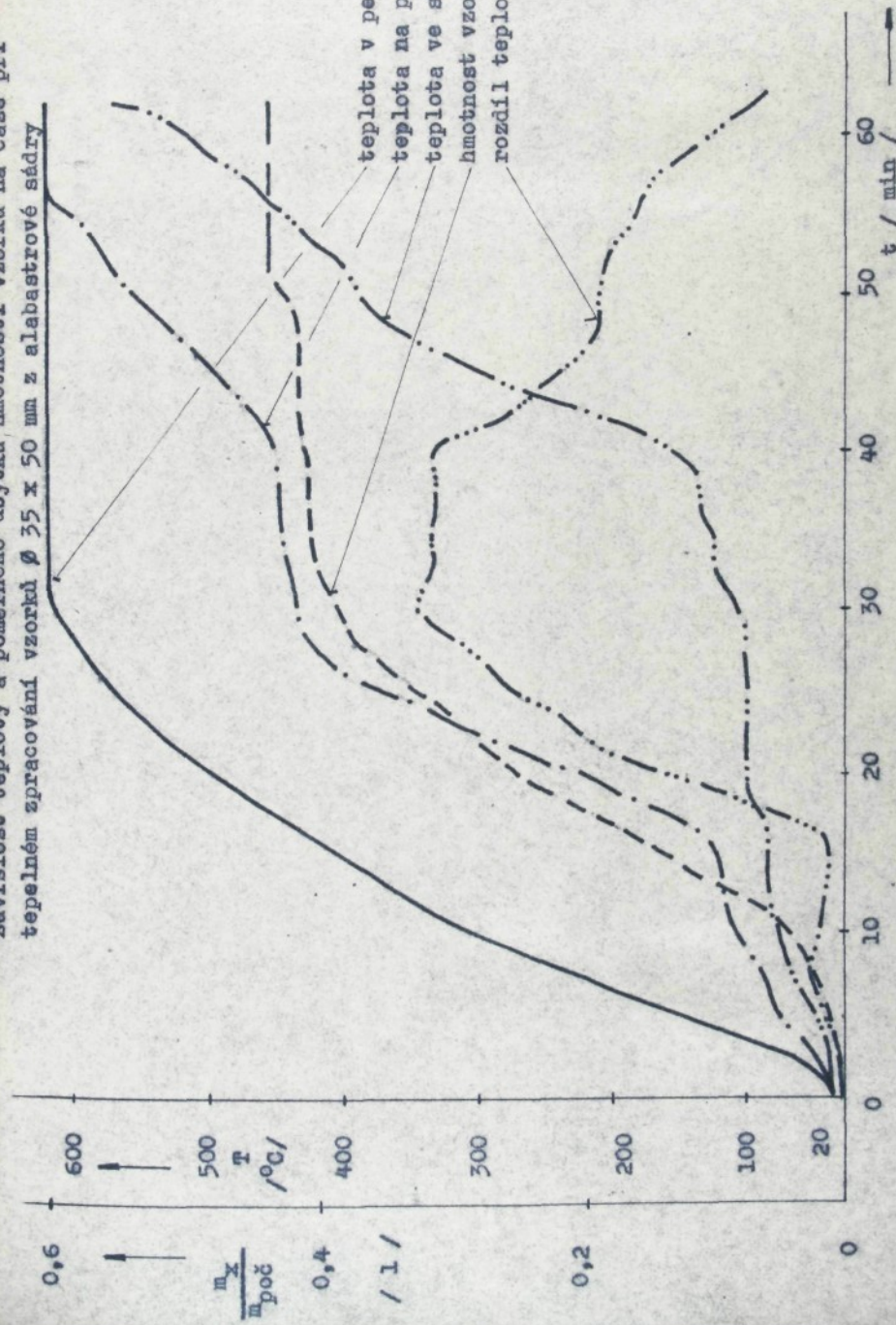
Závislost teploty a poměru úbytku hmotnosti vzorku na čase při tepelném zpracování vzorku $\varnothing 20 \times 50$ mm ze sádrové směsi 50 - 50



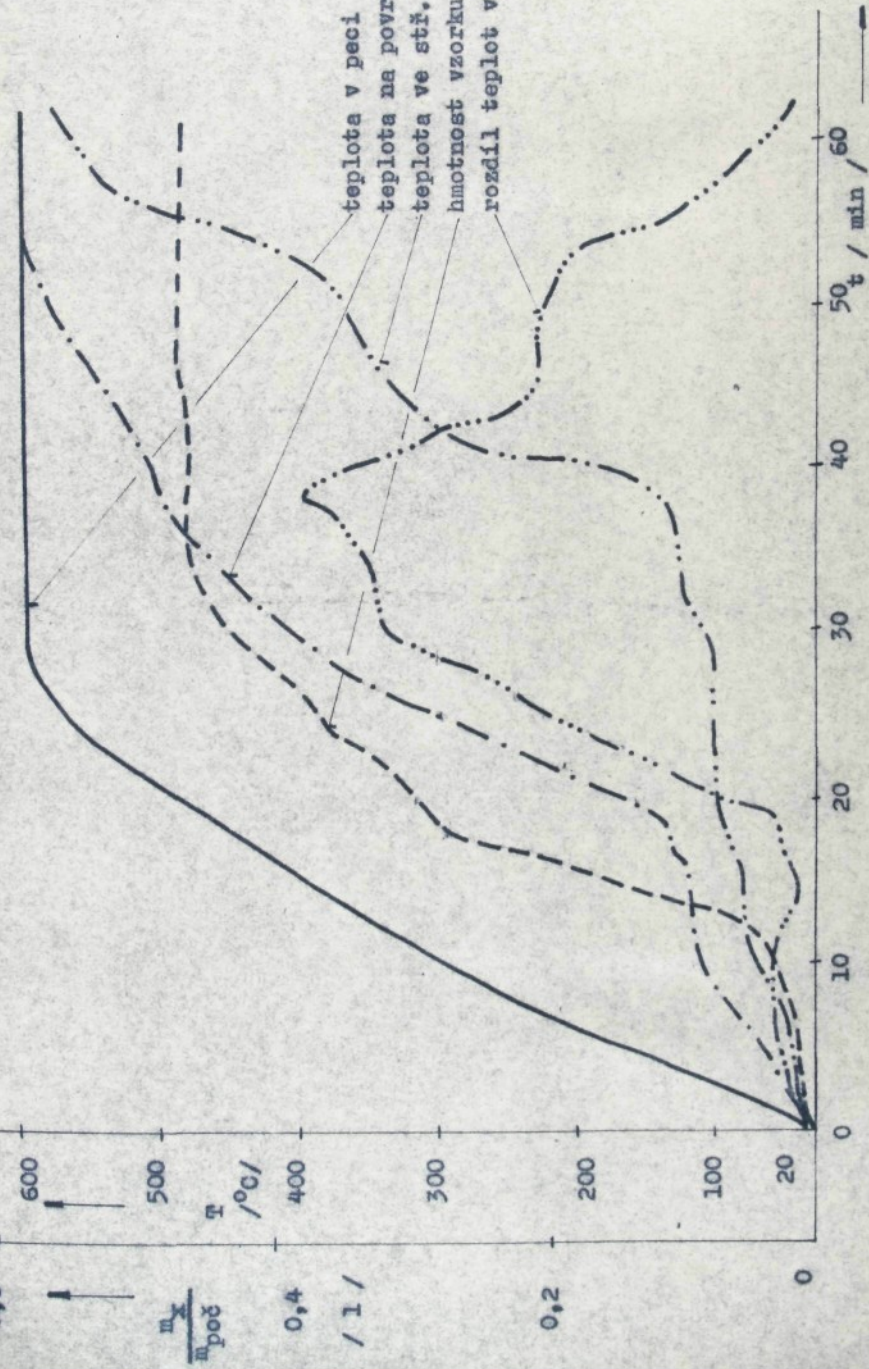
Závislost teploty a poměru hmotnosti na čase při tepelném zpracování vzorků $\varnothing 20 \times 50$ mm ze sádrové směsi 50 - 50 N



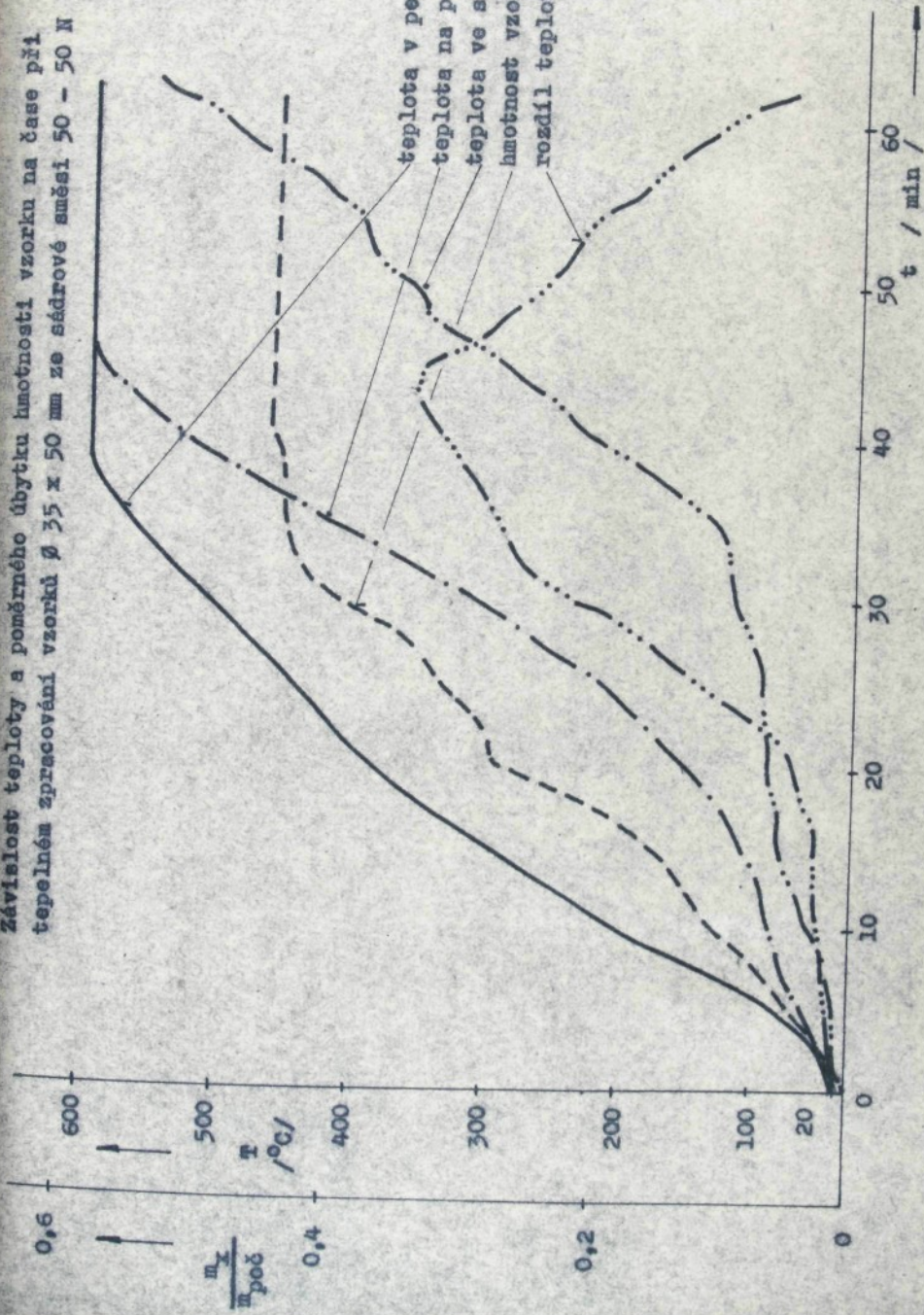
Závislosť teploty a poměrného úbytku hmotnosti vzorku na čase při tepelném zpracování vzorku $\phi 35 \times 50$ mm z alabastrové sádry



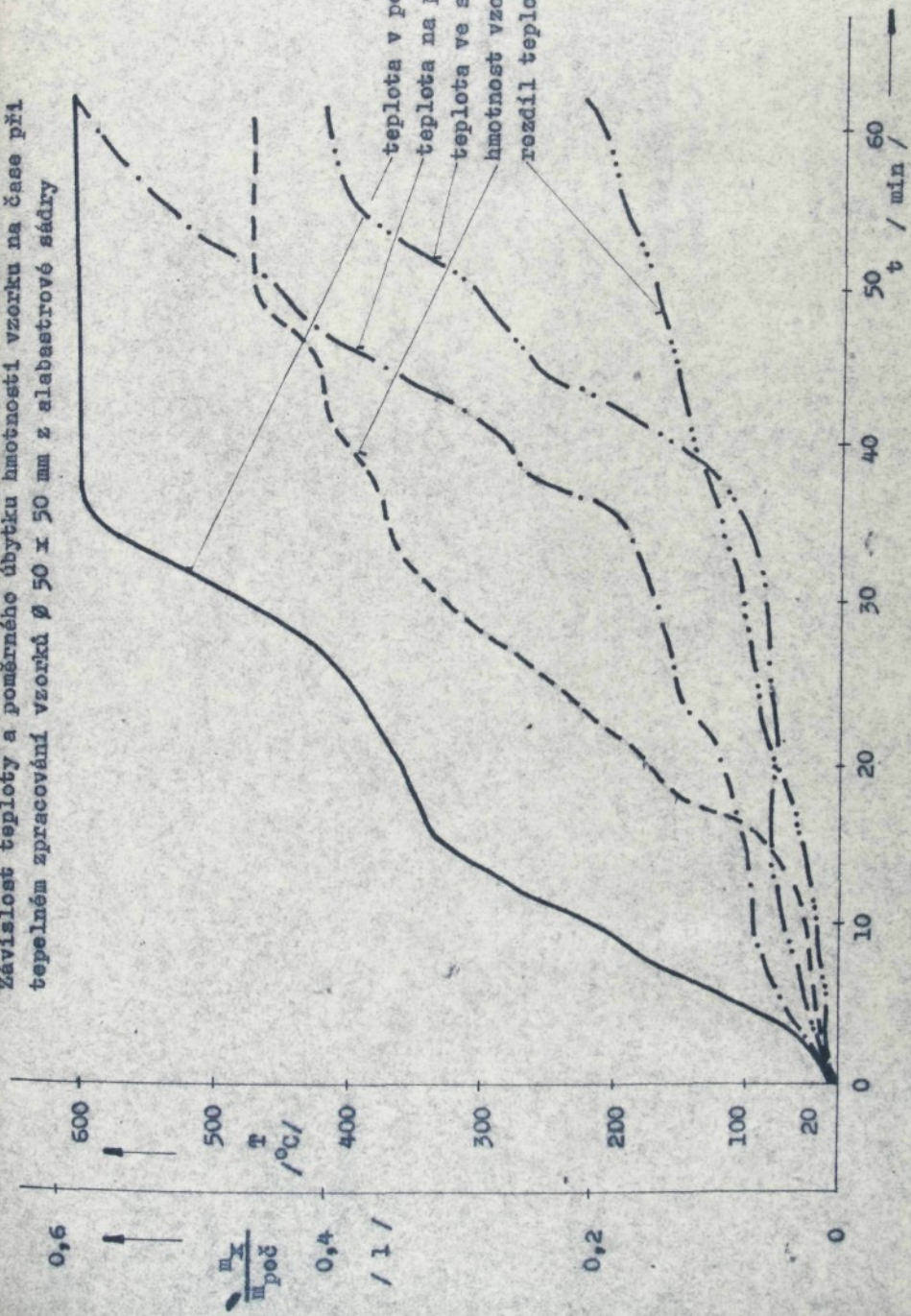
Závislost teploty a poměrného ubytku hmotnosti vzorku na čase při tepelném zpracování vzorku $\varnothing 35 \times 50$ mm ze sádrové směsi 50 - 50



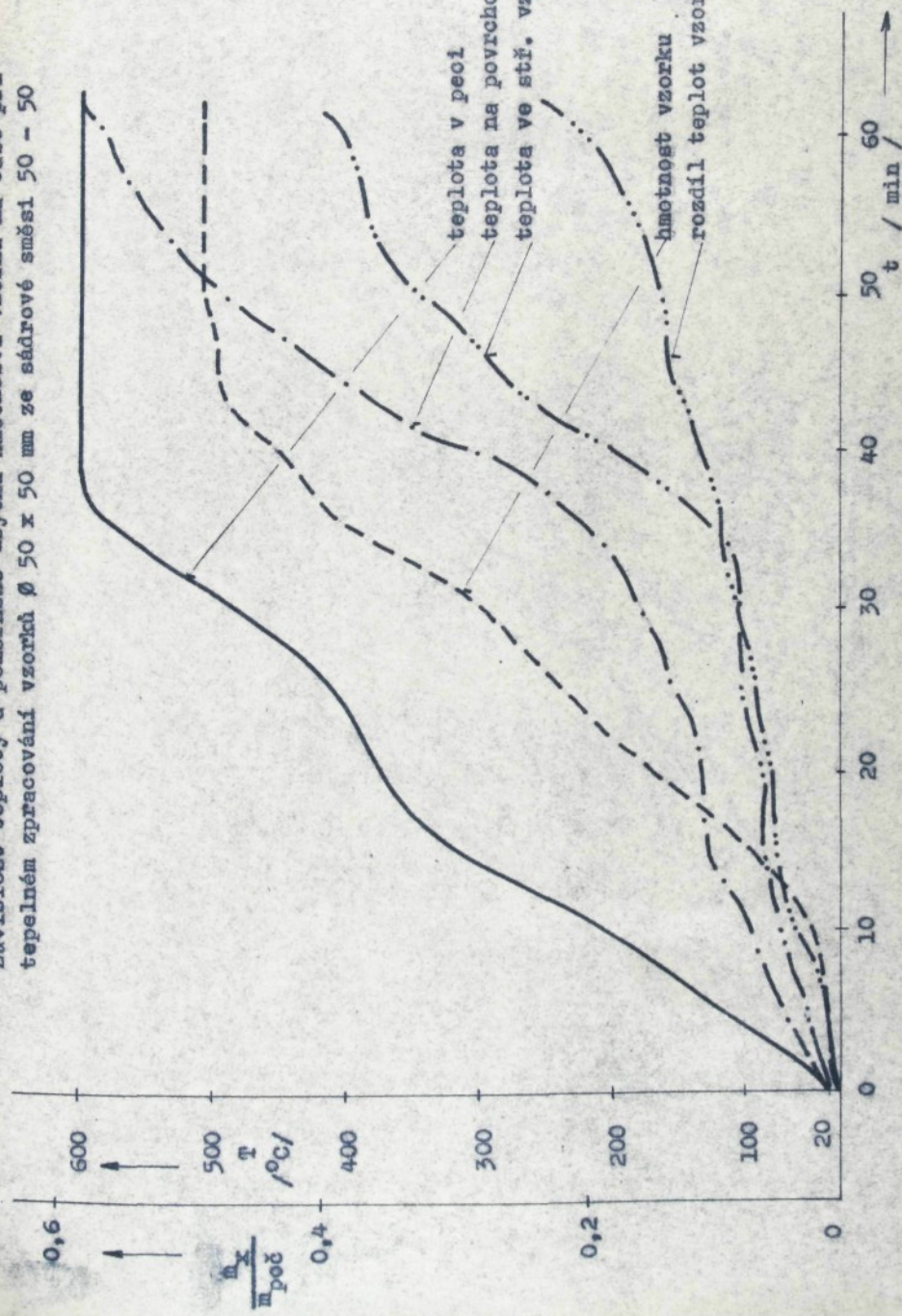
Závislost teploty a poměrného ubytí hmotnosti vzorku na čase při tepelném zpracování vzorků $\varnothing 35 \times 50$ mm ze sedlové směsi 50 - 50 N



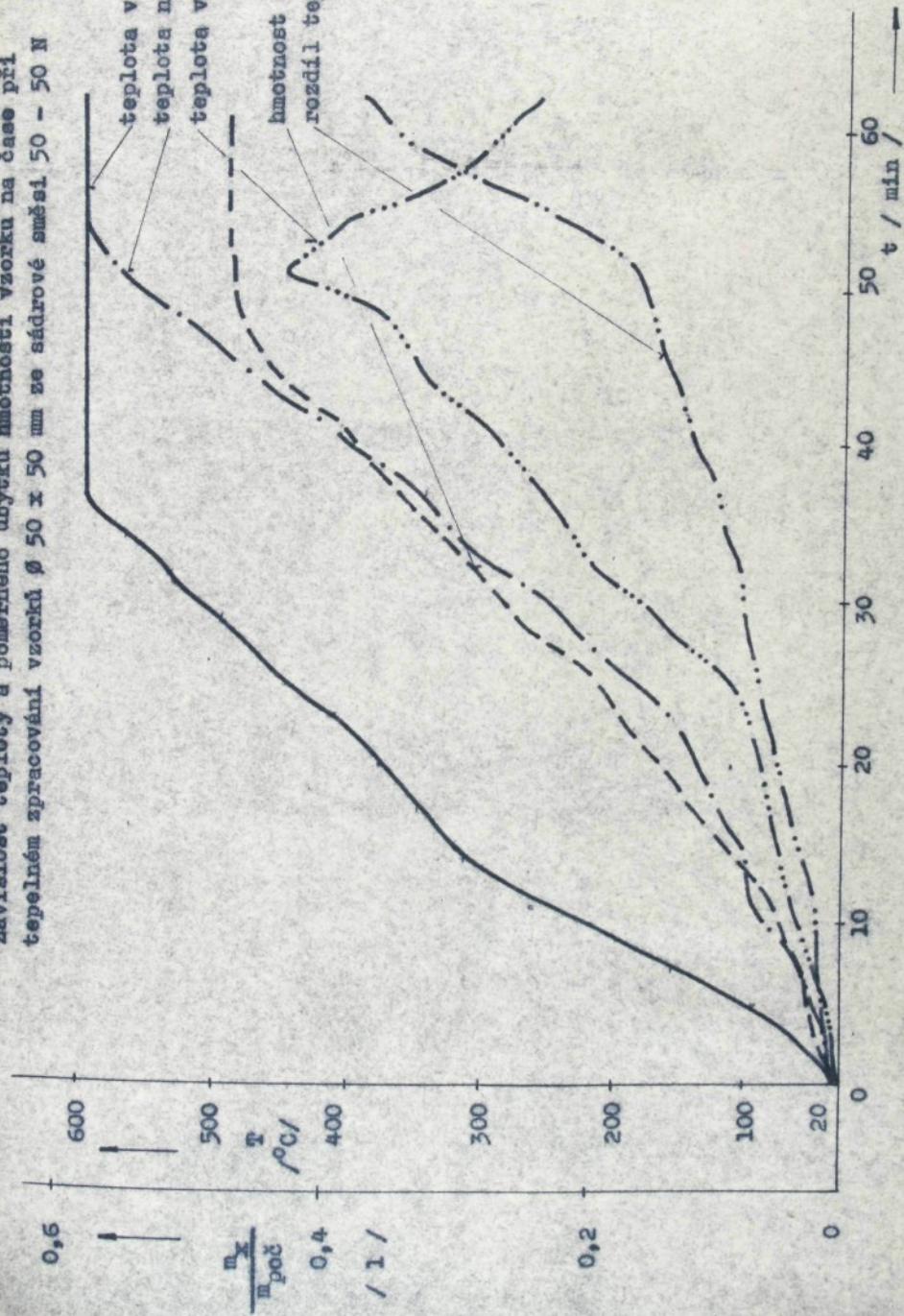
Závislost teploty a poměrného ubytku hmotnosti vzorku na čase při tepelném zpracování vzorků $\varnothing 50 \times 50$ mm z alabastrové sádry



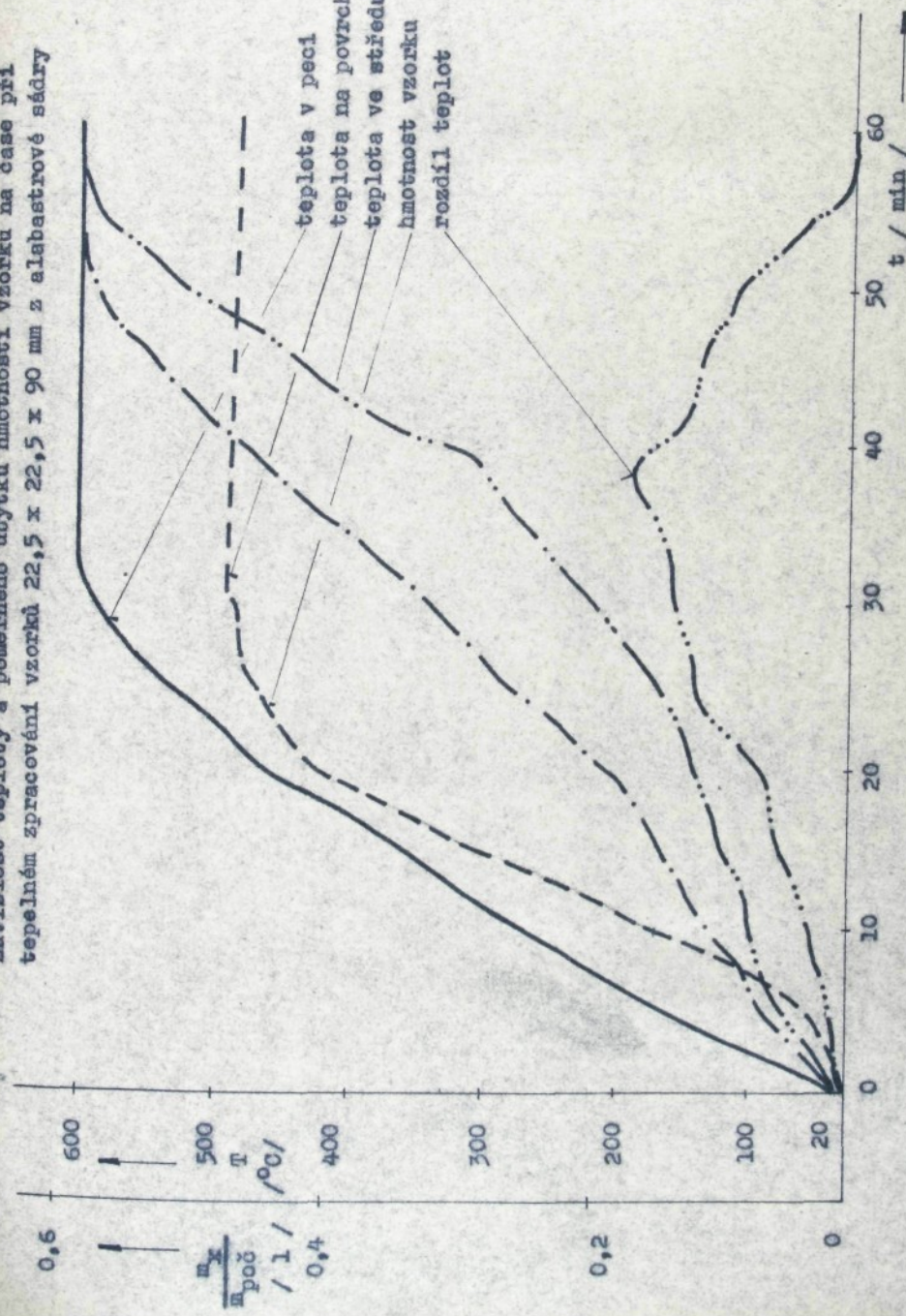
Závislost teploty a poměrného úbytku hmotnosti vzorku na čase při tepelném zpracování vzorků $\varnothing 50 \times 50$ mm ze sádrové směsi 50 - 50



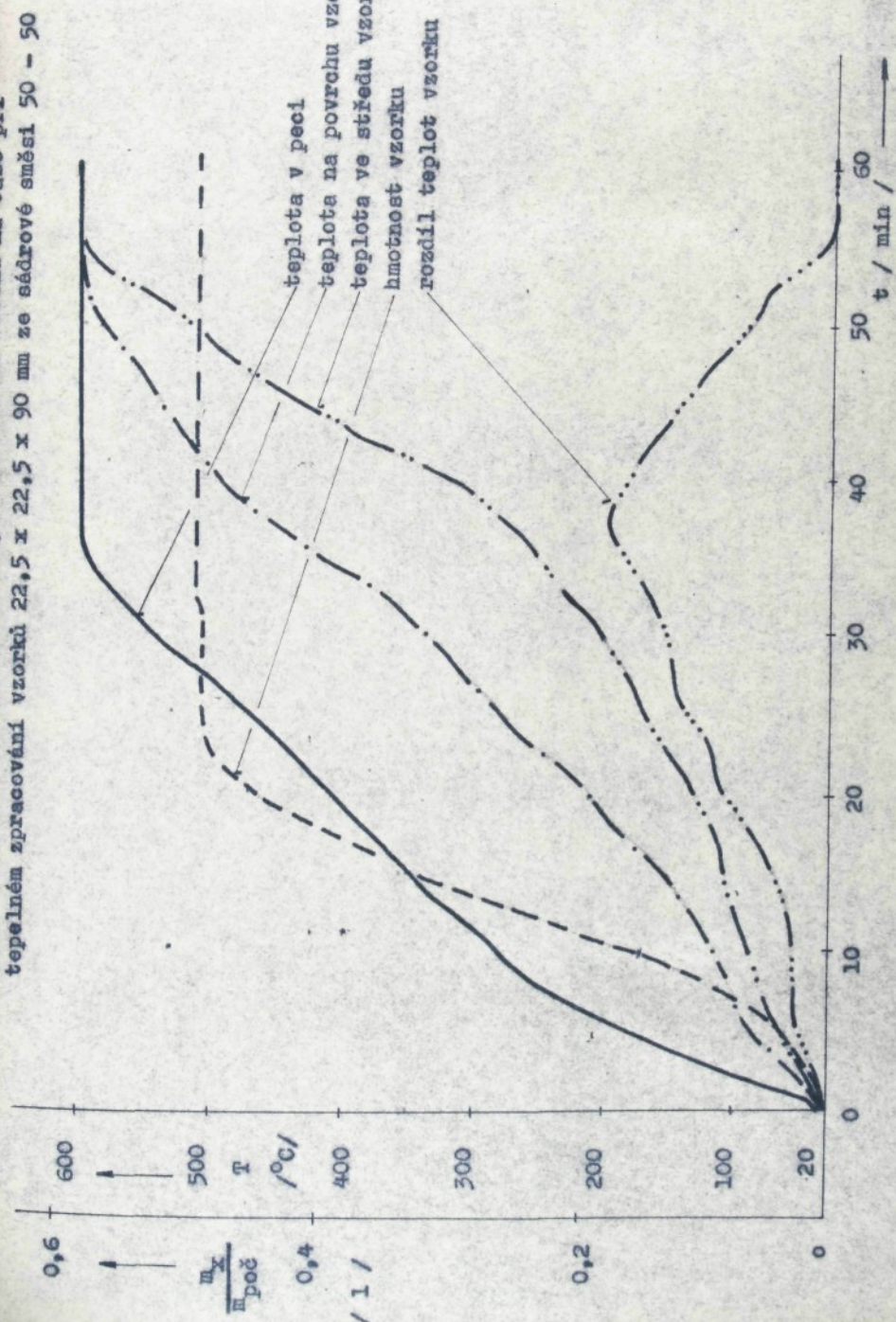
Závislost teploty a poměrného úbytku hmotnosti vzorku na čase při tepelném zpracování vzorku $\varnothing 50 \pm 50$ mm ze skidové směsi 50 - 50 N



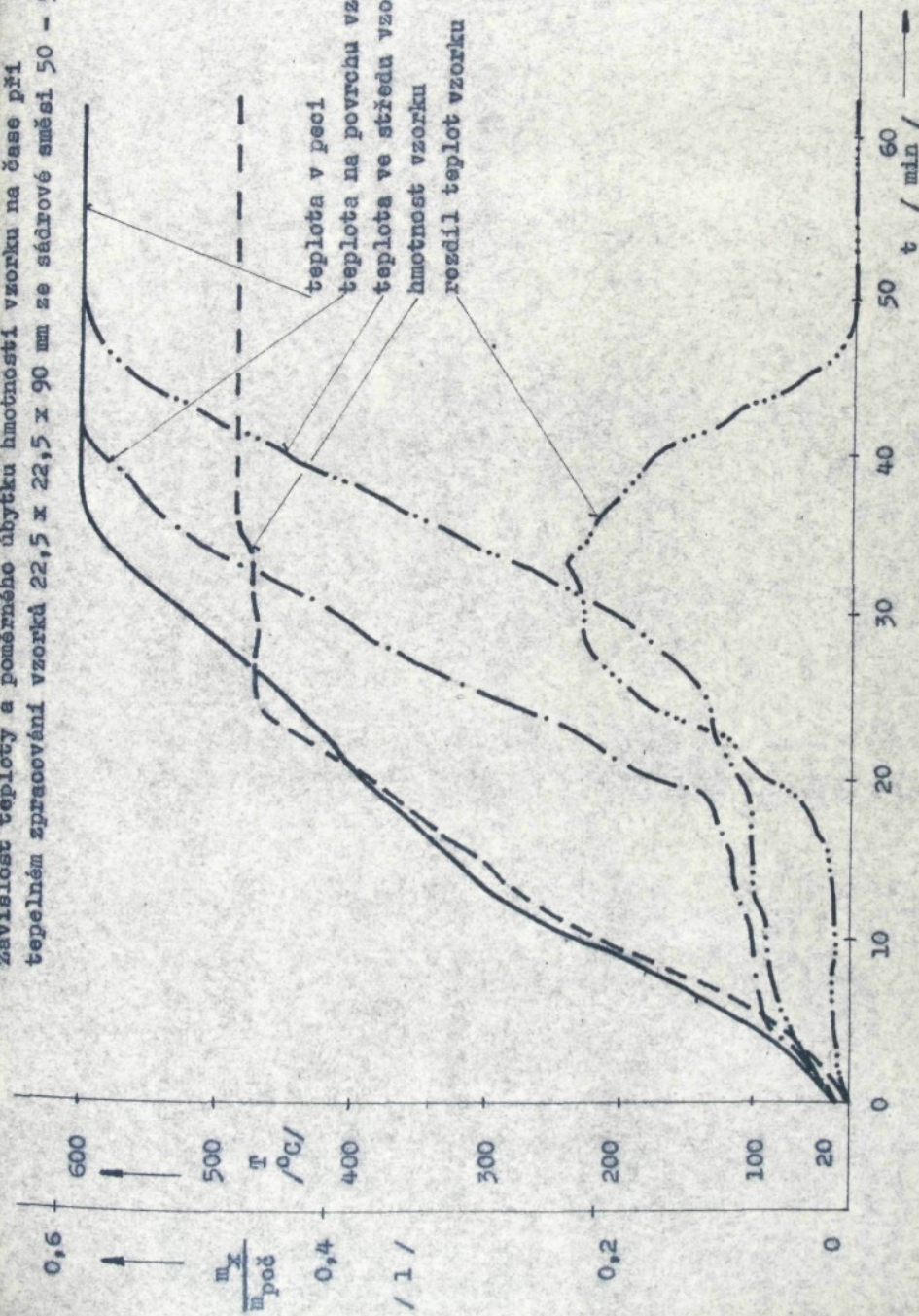
Závislost teploty a poměrného úbytku hmotnosti vzorku na čase při tepelném zpracování vzorků $22,5 \times 22,5 \times 90$ mm z alabastrové sády



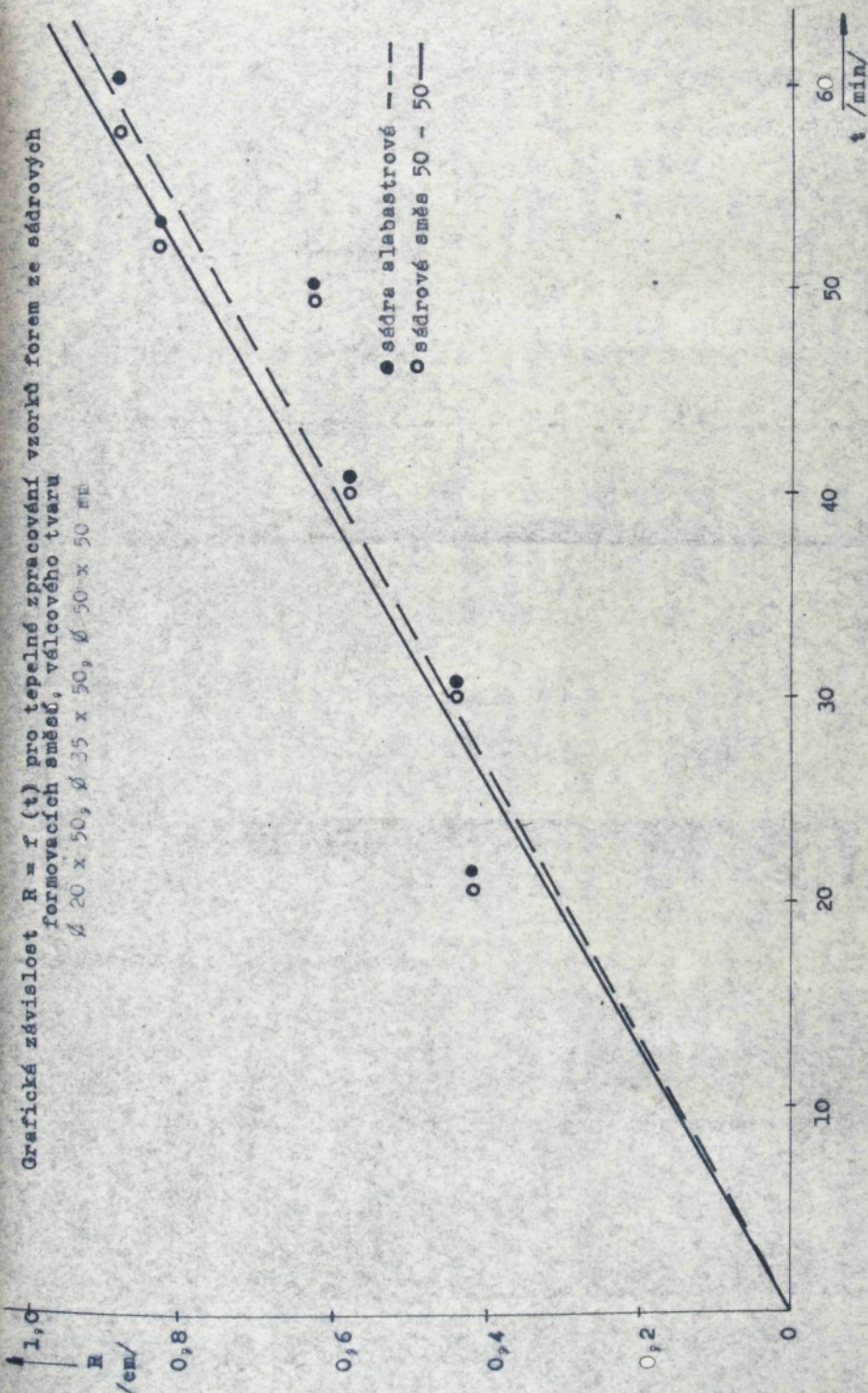
Závislost teploty a poměrného ubytku hmotnosti vzorku na čase při tepelném zpracování vzorků $22,5 \times 22,5 \times 90$ mm ze sádrové směsi 50 - 50



Závislost teploty a poměrného ubytku hmotnosti vzorku na čase při tepelném zpracování vzorká $22,5 \times 22,5 \times 90$ mm ze skárové směsi 50 - 50 N



Grafická závislost $R = f(t)$ pro tepelné zpracování vzorků forem ze sádrových formovacích směsí, válcového tvaru
 $\varnothing 20 \times 50, \varnothing 35 \times 50, \varnothing 50 \times 50$ mm



Teplotní závislost ΔG°_f pro hlavní složku alabastrových sídry - $\text{CaSO}_4 \cdot 1/2 \text{H}_2\text{O}(\text{s})$

Rovnici přesného výpočtu výkonu při jeho tunnuti a tepelném zpracování (zahrnující)

Rov.	Rovnice přesného výpočtu výkonu při jeho tunnuti a tepelném zpracování	ΔG°_f / J /	ΔG°_f / J /	ΔG°_f / J /	ΔG°_f / J /	ΔG°_f / J /	ΔG°_f / J /
I/a	$\text{CaSO}_4 \cdot 1/2 \text{H}_2\text{O}(\text{s}) + 5 \text{H}_2\text{O}(\text{l}) = \text{CaSO}_4 \cdot 2 \text{H}_2\text{O}(\text{s}) + 7/2 \text{H}_2\text{O}(\text{g})$						
I/b	$\text{CaSO}_4 \cdot 1/2 \text{H}_2\text{O}(\text{s}) + 5 \text{H}_2\text{O}(\text{l}) = \text{CaSO}_4 \cdot 2 \text{H}_2\text{O}(\text{s}) + 7/2 \text{H}_2\text{O}(\text{g})$						
II/a	$\text{CaSO}_4 \cdot 2 \text{H}_2\text{O}(\text{s}) = \text{CaSO}_4 \cdot 1/2 \text{H}_2\text{O}(\text{s}) + 3/2 \text{H}_2\text{O}(\text{g})$						
II/b	$\text{CaSO}_4 \cdot 2 \text{H}_2\text{O}(\text{s}) = \text{CaSO}_4 \cdot 1/2 \text{H}_2\text{O}(\text{s}) + 3/2 \text{H}_2\text{O}(\text{g})$						
III/a	$\text{CaSO}_4 \cdot 1/2 \text{H}_2\text{O}(\text{s}) = \text{CaSO}_4(\text{s}) + 1/2 \text{H}_2\text{O}(\text{g})$						
III/b	$\text{CaSO}_4 \cdot 1/2 \text{H}_2\text{O}(\text{s}) = \text{CaSO}_4(\text{s}) + 1/2 \text{H}_2\text{O}(\text{g})$						
III/c	$\text{CaSO}_4 \cdot 1/2 \text{H}_2\text{O}(\text{s}) = \text{CaSO}_4(\text{s}) + 1/2 \text{H}_2\text{O}(\text{g})$						
III/d	$\text{CaSO}_4 \cdot 1/2 \text{H}_2\text{O}(\text{s}) = \text{CaSO}_4(\text{s}) + 1/2 \text{H}_2\text{O}(\text{g})$						
<hr/>							
Rov.	$\Delta G^\circ_f = \Delta A + \Delta n \bar{V}$	$\Delta H^\circ_{298} / \text{J} /$	$\Delta S^\circ_{298} / \text{J/K} /$	$\Delta G^\circ_f / \text{J} /$	$T_H / \text{K} /$	$T_G / \text{J} /$	$\Delta G^\circ_{300} / \text{J} /$
I/a	-247,55 + 0,0337 · 136,973,20	364,27	28449,25	202619,03	-	1965,88	28161,87
I/b	-224,70 + 0,0912 · 114880,80	396,50	4768,31	177802,31	-	1847,23	23984,20
II/a	26,30 - 0,1432 · 83252,50	228,77	15079,04	81764,58	-	95,43	14573,91
II/b	3,40 - 0,0512 · 85345,90	223,54	18730,98	66595,71	-	215,95	20323,09
III/a	3,66 - 0,0212 · 32705,20	72,28	11164,27	32545,47	-	53,99	11020,62
III/b	26,56 - 0,1132 · 32956,40	68,52	12535,95	30057,46	-	75,71	12379,00
III/c	3,66 - 0,0212 · 21735,80	70,61	695,51	21576,07	-	52,31	551,31
III/d	26,56 - 0,1132 · 19642,40	66,84	- 275,92	16743,45	86,93	- 457,39	- 3104,91

Teplotná závislosť ΔG_f° pre hlavnú složku alabastrové sládry - $\text{CaSO}_4 \cdot 1/2 \text{H}_2\text{O}_{(\text{s})}$

Row.	Rovnice prevedené súčasne vápenatého príjeho tuhnutie a tepelné zpracovanie (zahŕňavanie)
I/a	$\alpha\text{CaSO}_4 \cdot 1/2 \text{H}_2\text{O}_{(\text{s})} + 5 \text{H}_2\text{O}_{(\text{l})} = \text{CaSO}_4 \cdot 2 \text{H}_2\text{O}_{(\text{s})} + 7/2 \text{H}_2\text{O}_{(\text{g})}$
I/b	$\beta\text{CaSO}_4 \cdot 1/2 \text{H}_2\text{O}_{(\text{s})} + 5 \text{H}_2\text{O}_{(\text{l})} = \text{CaSO}_4 \cdot 2 \text{H}_2\text{O}_{(\text{s})} + 7/2 \text{H}_2\text{O}_{(\text{g})}$
II/a	$\text{CaSO}_4 \cdot 2 \text{H}_2\text{O}_{(\text{s})} = \alpha\text{CaSO}_4 \cdot 1/2 \text{H}_2\text{O}_{(\text{s})} + 3/2 \text{H}_2\text{O}_{(\text{g})}$
II/b	$\text{CaSO}_4 \cdot 2 \text{H}_2\text{O}_{(\text{s})} = \beta\text{CaSO}_4 \cdot 1/2 \text{H}_2\text{O}_{(\text{s})} + 3/2 \text{H}_2\text{O}_{(\text{g})}$
III/a	$\alpha\text{CaSO}_4 \cdot 1/2 \text{H}_2\text{O}_{(\text{s})} = \alpha\text{CaSO}_4 \cdot 1/2 \text{H}_2\text{O}_{(\text{s})} + 1/2 \text{H}_2\text{O}_{(\text{g})}$
III/b	$\beta\text{CaSO}_4 \cdot 1/2 \text{H}_2\text{O}_{(\text{s})} = \beta\text{CaSO}_4 \cdot 1/2 \text{H}_2\text{O}_{(\text{s})} + 1/2 \text{H}_2\text{O}_{(\text{g})}$
III/c	$\alpha\text{CaSO}_4 \cdot 1/2 \text{H}_2\text{O}_{(\text{s})} = \text{CaSO}_4 \cdot 1/2 \text{H}_2\text{O}_{(\text{s})} + 1/2 \text{H}_2\text{O}_{(\text{g})}$
III/d	$\beta\text{CaSO}_4 \cdot 1/2 \text{H}_2\text{O}_{(\text{s})} = \text{CaSO}_4 \cdot 1/2 \text{H}_2\text{O}_{(\text{s})} + 1/2 \text{H}_2\text{O}_{(\text{g})}$
III/e	$\text{CaSO}_4 \cdot 2 \text{H}_2\text{O}_{(\text{s})} = \text{CaSO}_4 \cdot 1/2 \text{H}_2\text{O}_{(\text{s})} + 1/2 \text{H}_2\text{O}_{(\text{g})}$
III/f	$26,30 - 0,143T \quad 83252,50 \quad 228,77 \quad 15079,04 \quad 81764,58 \quad - 95,43 \quad 14573,91 \quad - 7992,74$
III/g	$3,40 - 0,051T \quad 85345,90 \quad 223,54 \quad 18730,98 \quad 86595,71 \quad - 215,95 \quad 20323,09 \quad - 3864,03$
III/h	$3,66 - 0,021T \quad 32705,20 \quad 72,28 \quad 11164,27 \quad 32245,47 \quad - 53,99 \quad 11020,62 \quad 5735,49$
III/i	$26,56 - 0,113T \quad 32956,40 \quad 68,52 \quad 12535,95 \quad 30057,46 \quad 75,71 \quad 12379,00 \quad 5739,69$
III/j	$3,66 - 0,021T \quad 21735,80 \quad 70,61 \quad 695,51 \quad 21576,07 \quad - 52,31 \quad 551,31 \quad - 6453,93$
III/k	$26,56 - 0,113T \quad 19642,40 \quad 66,84 \quad - 275,92 \quad 16743,45 \quad 86,93 \quad - 457,39 \quad - 3104,91$

Teplotní závislost $\Delta G^\circ_{\text{II}}$ pro hlavní složku stavební sádry - $\text{CaSO}_4^{\text{II}}$ (s)

Rev.	Rovnice přiřízeného výparu při jeho vzniku a v nepřímém zpracování (zahrnující)								
I/A	$\text{CaSO}_4^{\text{II}}(s) + 5 \text{H}_2^0(l) = \text{CaSO}_4 + 2 \text{H}_2^0(s) + 3 \text{H}_2^0(g)$								
II/A	$\text{CaSO}_4 + 2 \text{H}_2^0(s) = \text{CaSO}_4 + 1/2 \text{H}_2^0(s) + 3/2 \text{H}_2^0(g)$								
II/B	$\text{CaSO}_4 + 2 \text{H}_2^0(s) = \text{CaSO}_4 + 1/2 \text{H}_2^0(s) + 3/2 \text{H}_2^0(g)$								
III/A	$\text{CaSO}_4 + 1/2 \text{H}_2^0(s) = \text{CaSO}_4 + 1/2 \text{H}_2^0(g)$								
III/B	$\text{CaSO}_4 + 1/2 \text{H}_2^0(s) = \text{CaSO}_4 + 1/2 \text{H}_2^0(g)$								
III/C	$\text{CaSO}_4 + 1/2 \text{H}_2^0(s) = \overset{\text{II}}{\text{CaSO}_4} + 1/2 \text{H}_2^0(g)$								
III/D	$\text{CaSO}_4 + 1/2 \text{H}_2^0(s) = \overset{\text{II}}{\text{CaSO}_4} + 1/2 \text{H}_2^0(g)$								
Rev. $\Delta G_p = \Delta \alpha + \Delta bT$	$\Delta H_{298}^\circ / J /$	$\Delta S_{298}^\circ / J/K /$	$\Delta G_{298}^\circ / J /$	$T_H / J /$	$T_G / J /$	$\Delta G_{300}^\circ / J /$	$\Delta G_{400}^\circ / J /$		
I/A	- 251,27 + 0,207	115237,40	302,66	25044,72	181057,86	- 1924,65	24440,25	- 2930,10	
II/A	26,30 - 0,1432	83252,50	228,77	15079,04	81764,58	- 95,43	14573,91	- 7992,74	
III/B	3,40 - 0,0512	85345,90	223,54	18730,98	86695,71	- 215,95	20323,09	- 3864,03	
III/A	3,66 - 0,0212	32705,20	72,28	11164,27	32545,47	- 53,99	11020,62	3733,49	
III/B	25,56 - 0,1132	32956,40	68,52	12535,95	30057,46	75,71	12379,00	5739,69	
III/C	3,66 - 0,0212	21735,80	70,61	695,51	21576,07	- 52,31	551,31	- 6453,93	
III/D	26,56 - 0,1132	19642,40	66,84	- 275,92	16743,45	86,93	- 457,39	- 3104,91	

Teplotní závislost ΔG_T° pro hlavní složku sádry

Vypočítané hodnoty ΔG_T° pro různé teploty složky alabastrové sádry
 $\alpha\text{CaSO}_4 \cdot 1/2 \text{H}_2\text{O}$

Teplota /K/ Označ. křiv.	ΔG_T° /kJ/					
	300	350	400	450	500	550
I/a	28,16	7,15	- 5,13	- 24,82	- 39,34	- 53,07
II/a	14,57	6,41	- 7,99	- 14,88	- 25,22	- 35,33
III/a	11,02	7,42	3,73	- 0,29	- 3,22	- 6,69
III/c	0,55	- 2,96	- 6,45	- 9,91	- 13,35	- 16,74

Vypočítané hodnoty ΔG_T° pro různé teploty složky alabastrové sádry
 $\beta\text{CaSO}_4 \cdot 1/2 \text{H}_2\text{O}$

Teplota /K/ Označ. křiv.	ΔG_T° /kJ/					
	300	350	400	450	500	550
I/b	23,98	6,39	- 9,88	- 24,90	- 38,97	- 52,12
II/b	20,32	7,16	- 3,86	- 14,77	- 25,58	- 36,27
III/b	12,37	9,01	5,73	2,54	- 0,51	- 3,40
III/d	- 0,45	- 1,89	- 3,10	- 10,29	- 12,98	- 15,79

Vypočítané hodnoty ΔG_T° pro různé teploty složky stavební sádry

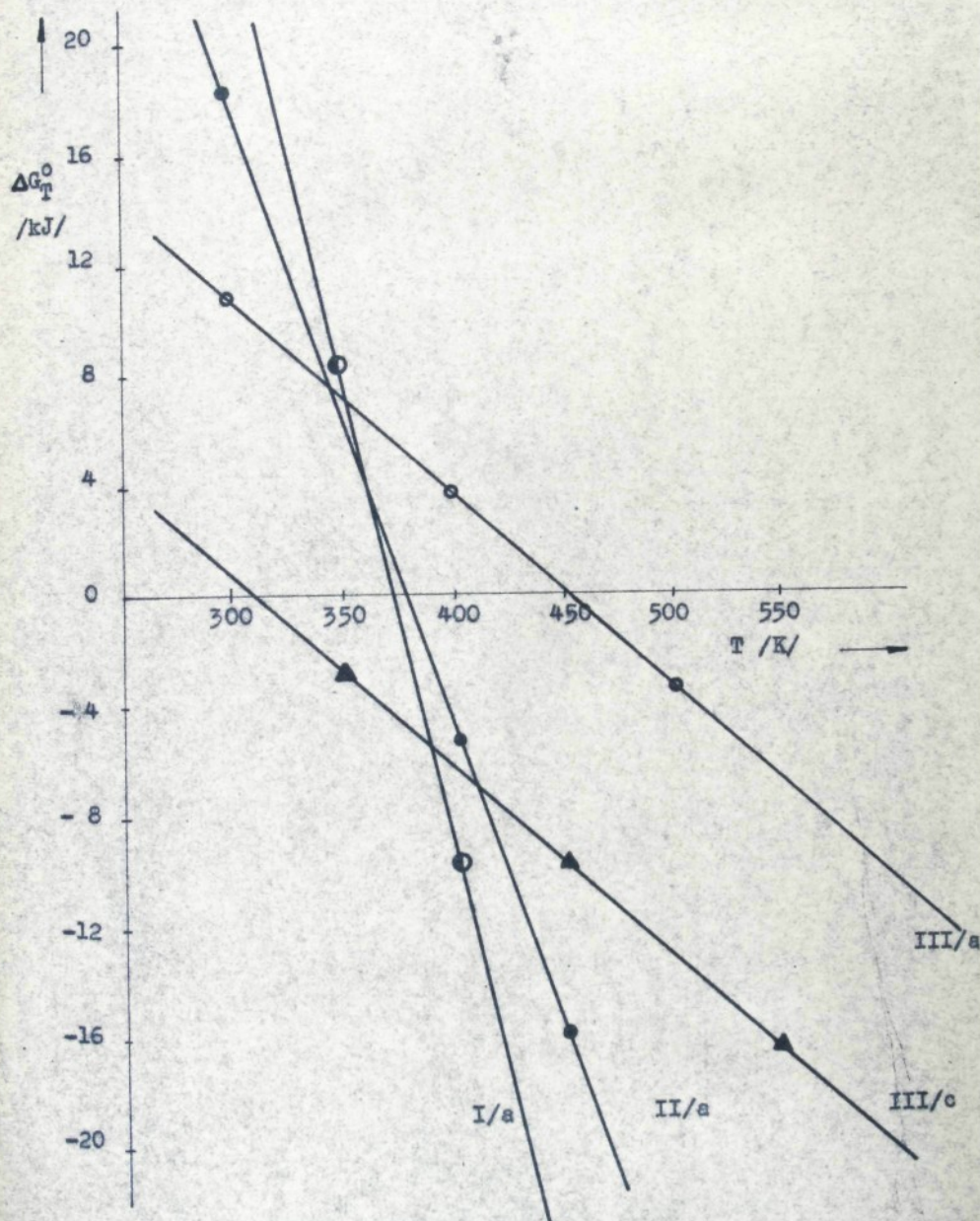
$\text{CaSO}_4^{\text{II}}$, za podmínek, kdy se častěji objevuje α - forma síranu vápenatého

Teplota /K/ Označ. křiv.	ΔG_T° /kJ/					
	300	350	400	450	500	550
I/A	24,44	10,11	- 2,93	- 14,91	- 25,99	- 36,33
II/A	14,57	6,41	- 7,99	- 14,88	- 25,22	- 35,33
III/A	11,02	7,42	3,73	0,29	- 3,22	- 6,69
III/C	0,55	- 2,96	- 6,45	- 9,91	- 13,35	- 16,74

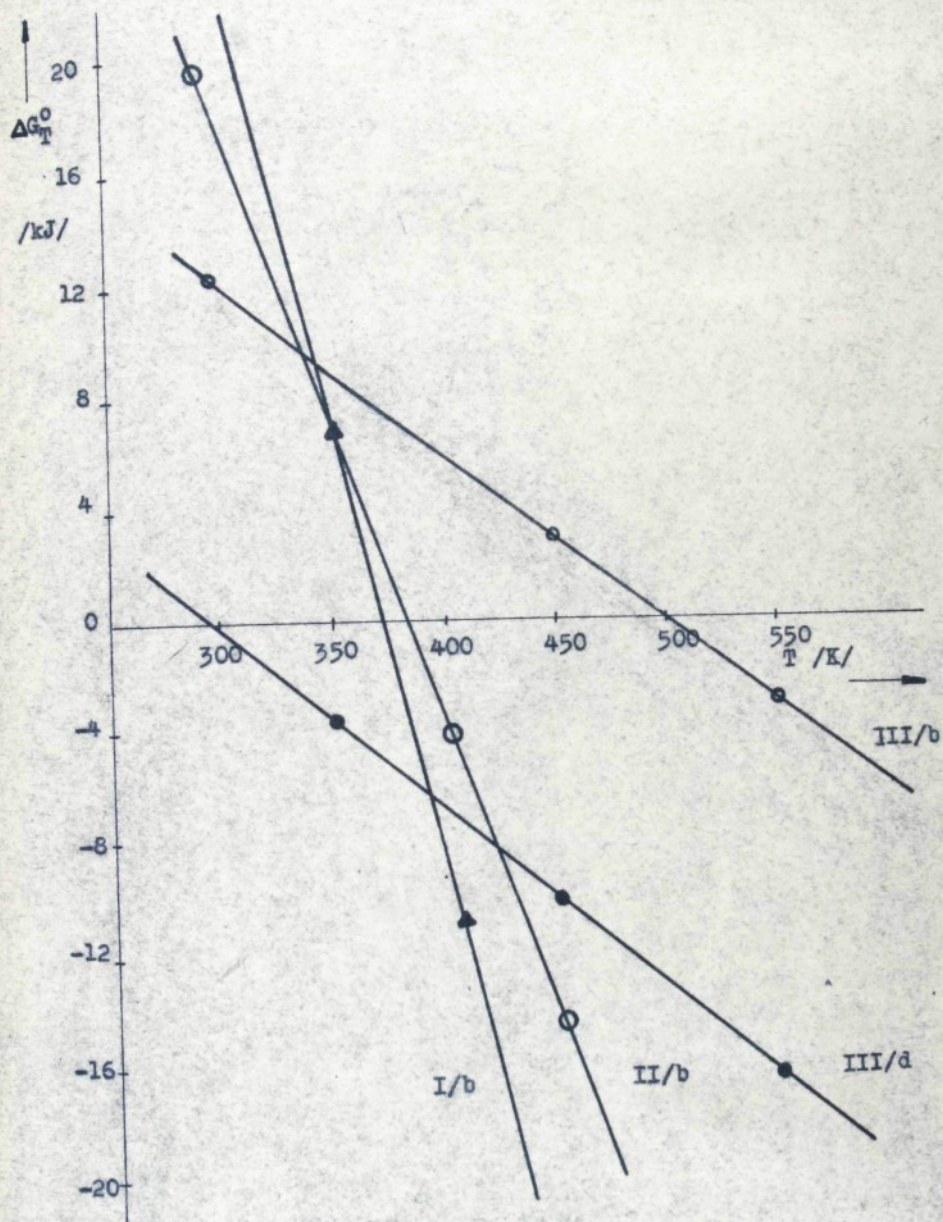
Vypočítané hodnoty ΔG_T° pro různé teploty složky stavební sádry

$\text{CaSO}_4^{\text{II}}$, za podmínek, kdy se častěji objevuje β - forma síranu vápenatého

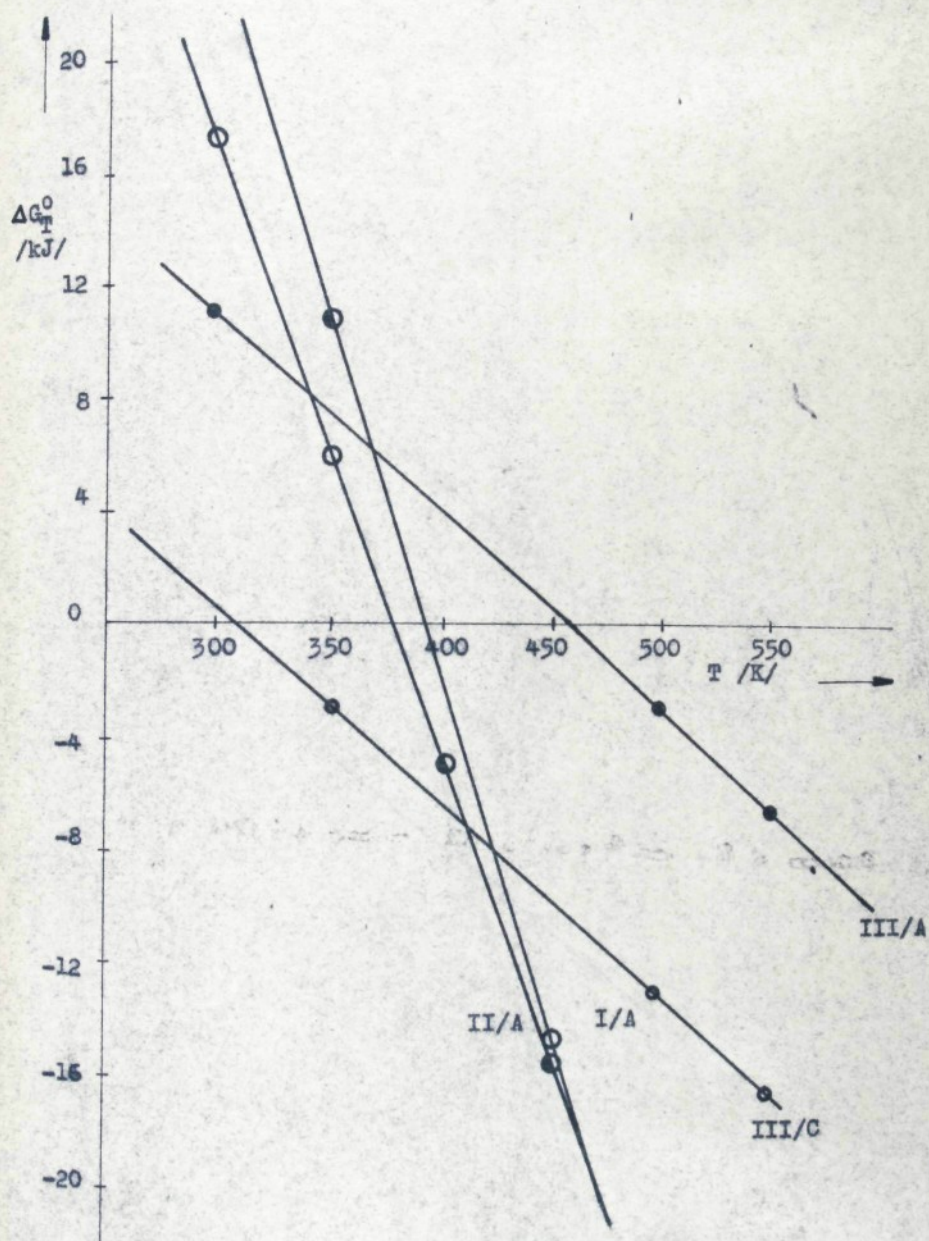
Teplota /K/ Označ. křiv.	ΔG_T° /kJ/					
	300	350	400	450	500	550
I/A	24,44	10,11	- 2,93	- 14,91	- 25,99	- 36,33
II/B	20,32	7,16	- 3,86	- 14,77	- 25,58	- 36,27
III/B	12,37	9,01	5,73	2,54	- 0,51	- 3,40
III/D	- 0,45	- 1,89	- 3,10	- 10,29	- 12,98	- 15,79



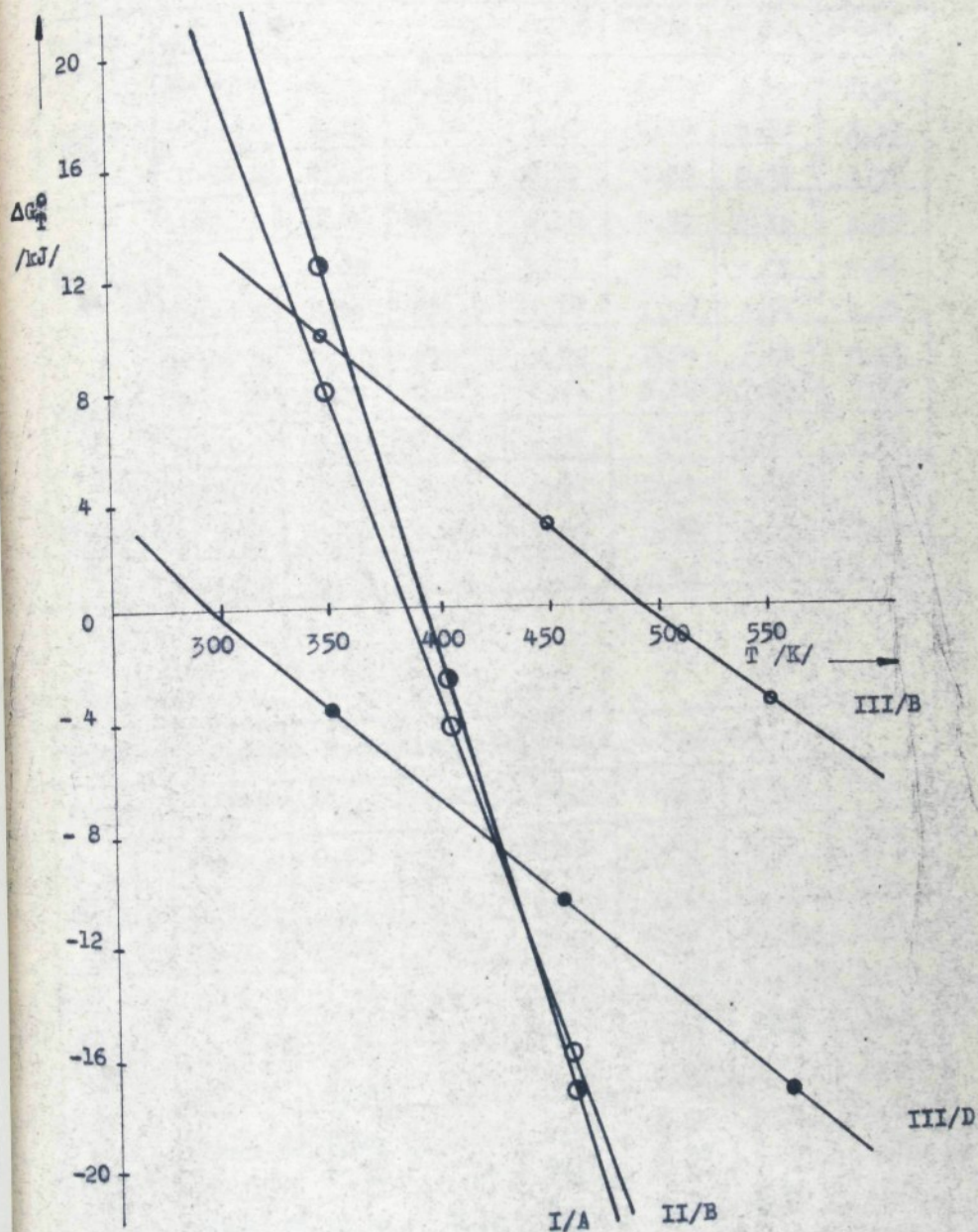
Teplotní závislost ΔG°_T pro hlavní složku
alabastrové sádry - $\text{CaSO}_4 \cdot 1/2 \text{H}_2\text{O}(\text{s})$



Teplotní závislost ΔG°_T pro hlavní složku
alabastrové sádry - $\beta\text{CaSO}_4 \cdot 1/2 \text{H}_2\text{O}(s)$



Teplotní závislost ΔG_T^0 pro hlavní složku
stavební sádry - $\text{CaSO}_4^{\text{II}} \cdot 2\text{H}_2\text{O}$ (s)



Teplotní závislost ΔG° pro hlavní složku stavební
sádry - $\text{CaSO}_4 \cdot \text{II}$ (s)

$\lambda / \text{g} \cdot \text{min}^{-1}$ Vypočítané hodnoty součinitels λ , vztaž. k teplotě stř. vzorku

Vzorek	Sádrová směs	λ_{30}	λ_{50}	λ_{100}	λ_{200}	λ_{300}	λ_{400}
$\varnothing 20 \times 50$ mm	ALAB. S	0,12	0,19	2,14	2,47	2,55	2,61
	50 - 50	0,05	0,16	2,00	2,19	2,30	2,39
	50-50 N	0,12	0,30	0,59	0,60	0,63	0,71
$\varnothing 35 \times 50$ mm	ALAB. S	0,06	0,21	2,56	3,03	3,12	3,47
	50 - 50	0,08	0,10	3,31	3,90	4,01	4,43
	50-50 N	0,24	0,52	1,30	1,70	1,76	1,81
$\varnothing 50 \times 50$ mm	ALAB. S	0,21	0,70	1,15	3,74	7,89	8,45
	50 - 50	0,11	0,19	2,91	5,69	7,17	7,72
	50-50 N	0,29	0,38	0,87	3,42	4,90	5,00
$22,5 \times 22,5$ $\times 90$ mm	ALAB. S	0,11	0,26	2,98	6,44	6,89	7,40
	50 - 50	0,10	0,17	3,06	6,40	6,55	7,15
	50-50 N	0,12	0,32	1,81	2,36	2,64	3,03

 $\lambda / \text{g} \cdot \text{min}^{-1}$ Vypočítané hodnoty součinitels λ , vztaž. k teplotě v peci

Vzorek	Sádrová směs	λ_{30}	λ_{50}	λ_{100}	λ_{200}	λ_{300}	λ_{400}
$\varnothing 20 \times 50$ mm	ALAB. S	0,05	0,11	0,42	0,69	1,19	1,22
	50 - 50	0,03	0,09	0,35	0,50	1,02	1,35
	50-50 N	0,06	0,12	0,22	0,78	0,81	0,87
$\varnothing 35 \times 50$ mm	ALAB. S	0,06	0,11	0,23	0,58	1,09	1,42
	50 - 50	0,04	0,16	0,27	0,67	0,85	1,65
	50-50 N	0,04	0,20	0,24	0,59	0,62	1,02
$\varnothing 50 \times 50$ mm	ALAB. S	0,06	0,17	0,28	0,34	0,75	2,30
	50 - 50	0,08	0,14	0,21	0,30	0,67	1,96
	50-50 N	0,06	0,19	0,21	0,34	0,39	1,21
$22,5 \times 22,5$ $\times 90$ mm	ALAB. S	0,02	0,11	0,19	0,36	2,18	3,24
	50 - 50	0,07	0,13	0,21	0,48	1,96	3,26
	50-50 N	0,10	0,12	0,20	0,36	1,56	2,05

Tabulka rozměrů sledovaných vzorků při sušení

Označ. vzorku	Rozměr vzorku / mm /	Objem vzorku V /cm ³ /	Povrch vzorku S /cm ² /	Poměr S/V /cm/
A1	50 x 5,5	10,90	48,00	4,40
A2	50 x 10,1	19,90	55,30	2,48
A3	50 x 16,3	32,20	65,00	2,02
A4	50 x 18,8	37,10	69,00	1,86
A5	50 x 43,4	85,60	107,70	1,26
A6	50 x 110,4	217,00	212,90	0,98

Označení vzorku	Sušení při teplotě 20°C			Sušení při teplotě 200°C		
	m _{poč} / g /	m _{kon} / g /	ρ _{kon} /kg·m ⁻³ /	m _{poč} / g /	m _{kon} / g /	ρ _{kon} /kg·m ⁻³ /
A1	17	9,40	860	16,50	9,00	830
A2	31	17,00	850	33,00	18,50	830
A3	50	27,50	850	65,00	36,00	840
A4	57	31,40	850	66,00	36,00	840
A5	129	71,00	830	118,00	65,00	840
A6	331	194,00	840	330,50	180,00	830

Sušení při teplotě v peci 200°C

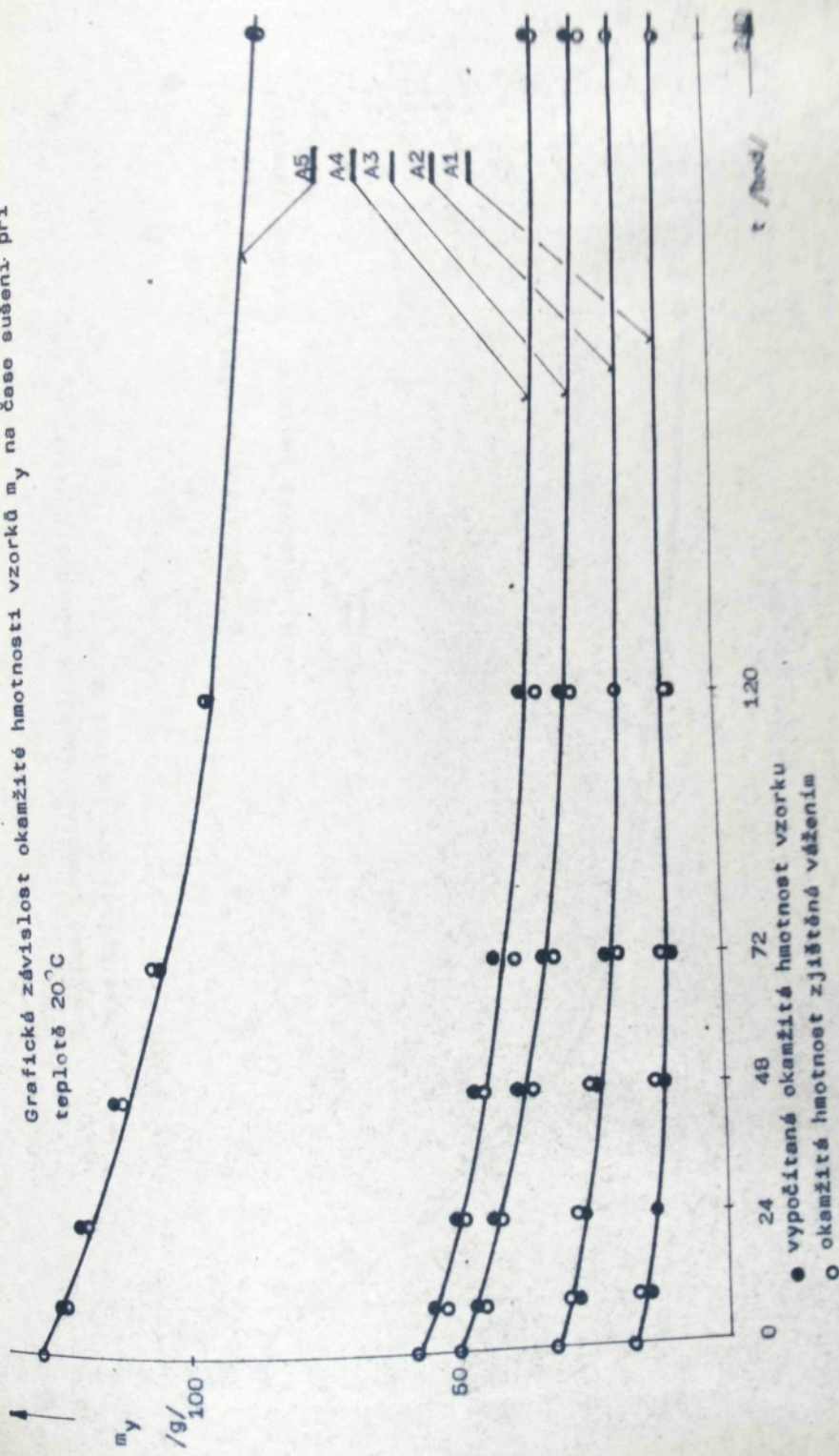
Označení vzorku	A1	A2	A3	A4	A5	A6
Čas sušení / h /	m _y / g /	m _y vyp / g /				
0,0	17,0	17,0	31,0	50,0	50,0	57,0
4,0	15,5	15,0	30,0	29,0	47,0	48,0
8,0	14,0	13,0	28,0	28,5	44,5	46,0
24,0	13,0	12,0	25,0	24,0	38,0	40,0
48,0	9,5	10,0	21,0	21,0	31,0	33,0
72,0	9,5	9,5	19,0	19,0	27,5	29,0
120,0	9,5	9,5	17,0	18,0	23,5	25,0
240,0	9,5	9,5	17,0	17,0	22,5	22,0

Sušení při teplotě v pece 200°C

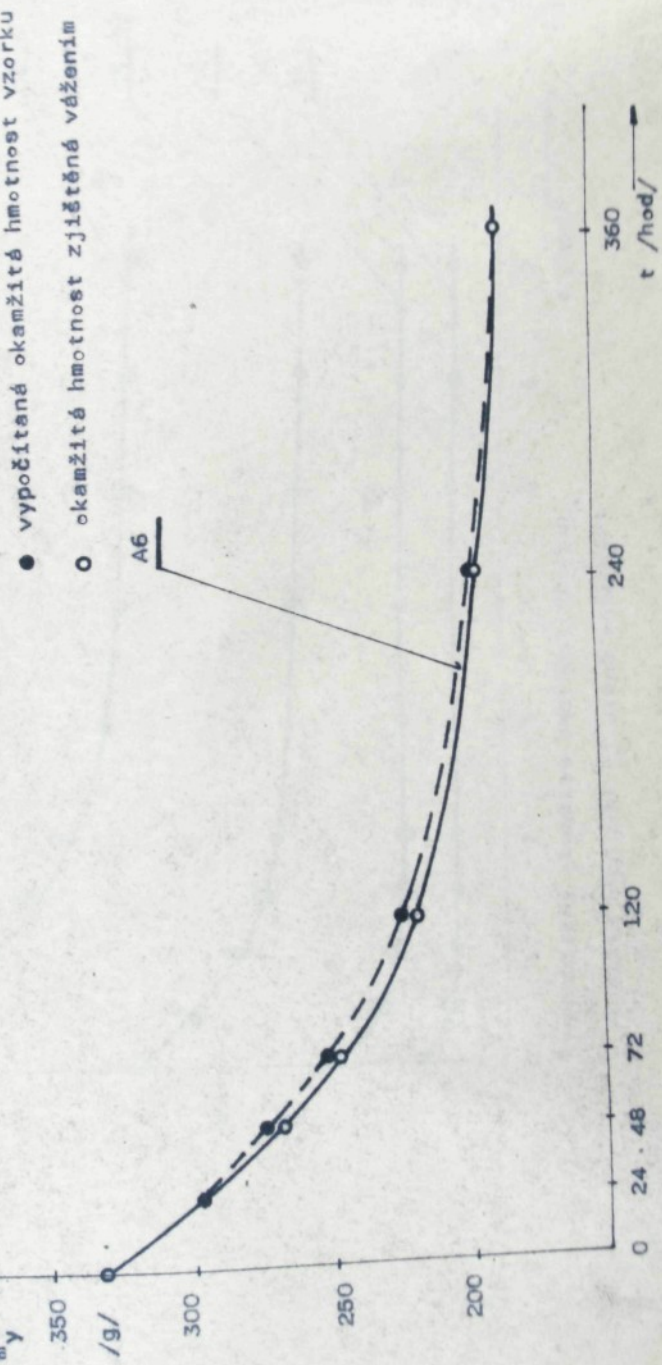
Oznáčení vzorku	A1			A2			A3			A4			A5			A6			
	m _y	m _y vyp. /g/	m _y vyp. /g/	m _y	m _y vyp. /g/														
Čas sušení / h /	0,0	16,5	16,5	33,0	33,0	65,0	65,0	66,0	66,0	118,0	118,0	118,0	118,0	118,0	118,0	118,0	118,0	118,0	
	0,5	10,0	9,5	23,0	22,5	58,0	54,0	59,0	56,0	105,0	101,0	105,0	101,0	105,0	101,0	105,0	101,0	105,0	101,0
	1,0	9,0	9,0	20,5	20,0	49,0	47,0	50,0	48,0	95,0	92,0	95,0	92,0	95,0	92,0	95,0	92,0	95,0	92,0
	1,5	9,0	9,0	19,5	19,5	43,0	43,0	44,0	43,0	86,0	83,0	86,0	83,0	86,0	83,0	86,0	83,0	86,0	83,0
	2,0	9,0	9,0	18,5	19,0	40,0	40,0	41,0	41,0	80,0	77,0	80,0	77,0	80,0	77,0	80,0	77,0	80,0	77,0
	3,0	9,0	9,0	18,5	18,5	37,0	38,0	38,0	39,0	71,0	71,0	71,0	71,0	71,0	71,0	71,0	71,0	71,0	71,0
	4,0	9,0	9,0	18,5	18,5	36,0	36,5	37,0	38,5	67,0	67,0	67,0	67,0	67,0	67,0	67,0	67,0	67,0	67,0
	5,0	9,0	9,0	18,5	18,5	36,0	36,0	37,0	37,5	66,0	66,0	66,0	66,0	66,0	66,0	66,0	66,0	66,0	66,0

Poznámka: hodnoty jsou zaokrouhleny na 0,5 g

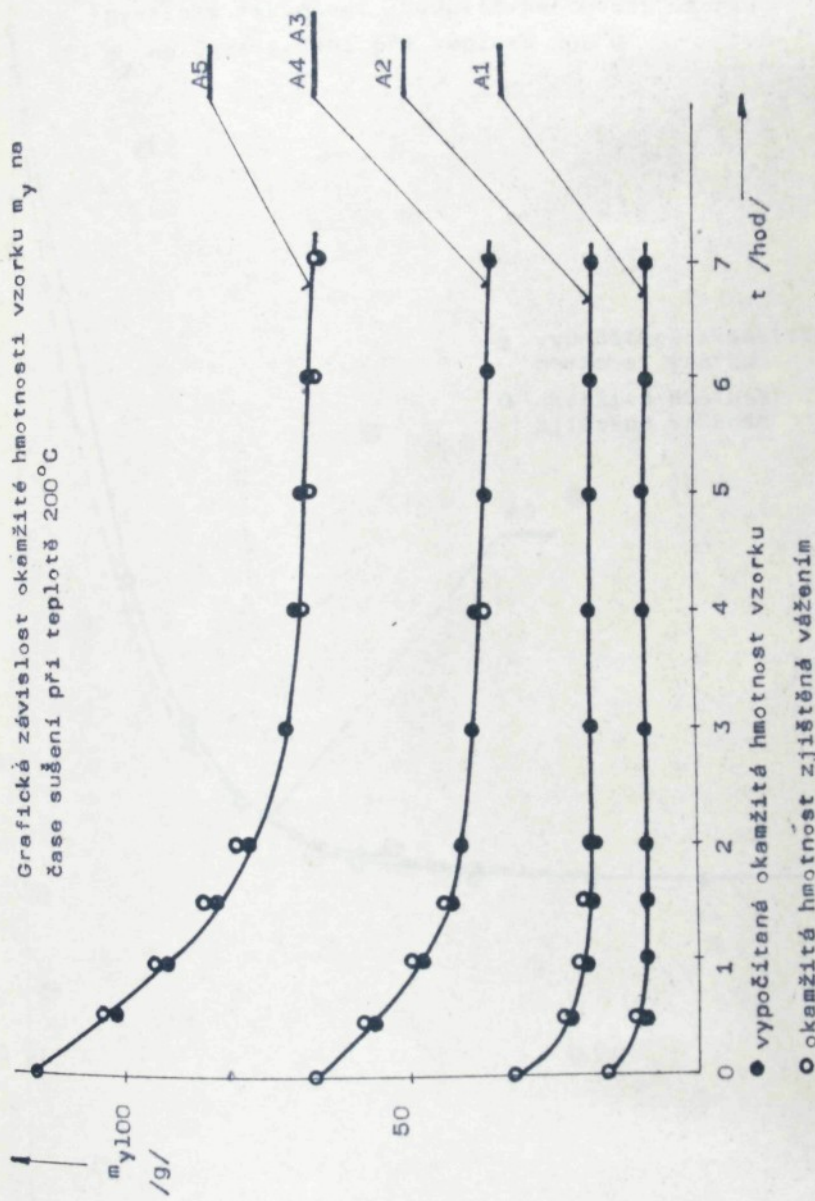
Grafická závislost okamžité hmotnosti vzorku m_y na čase sušení při
teplotě 20°C



Grafická závislost okamžité hmotnosti vzorku m_y na
čase sušení při teplotě 20°C

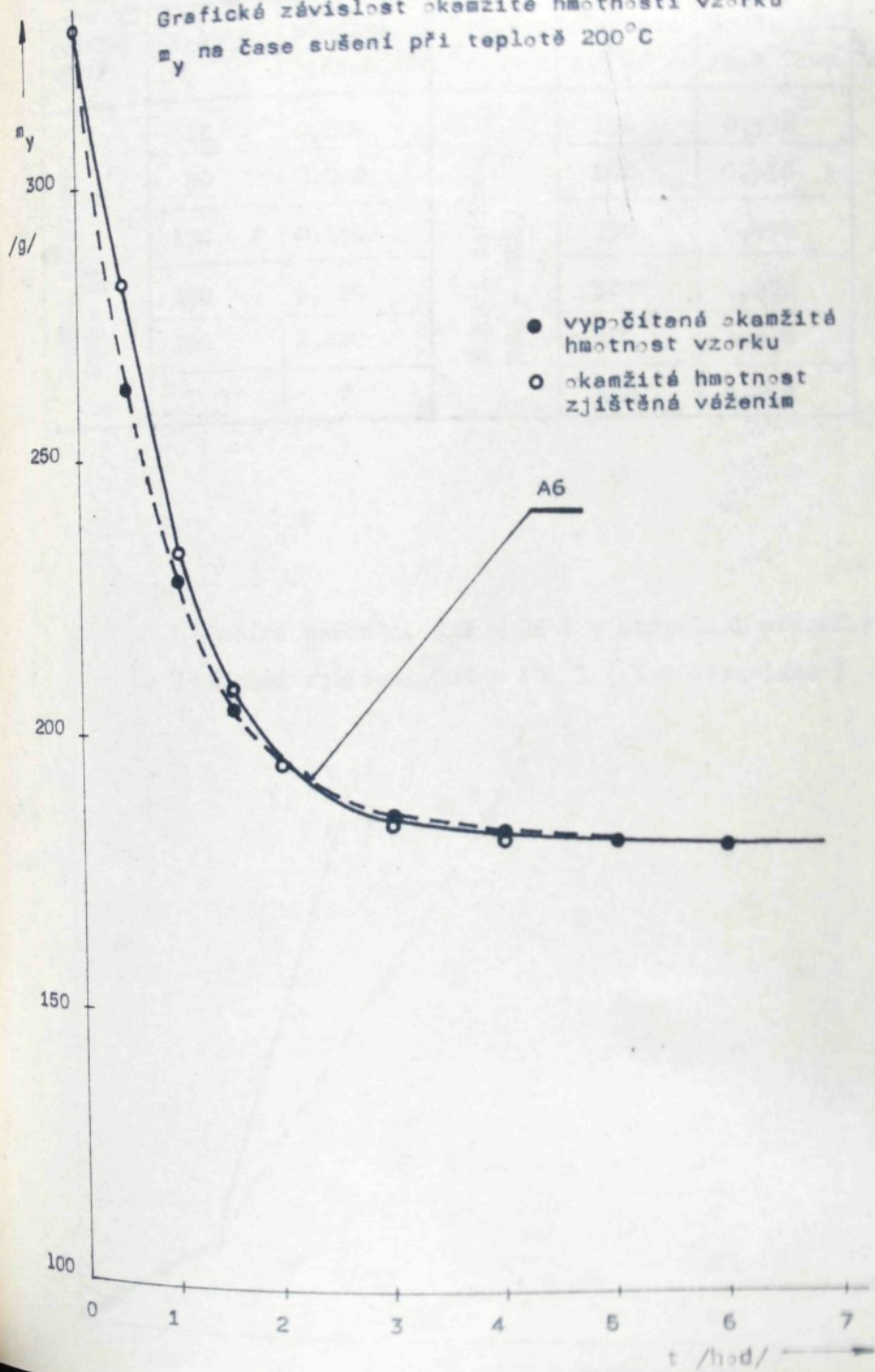


Grafická závislosť okamžité hmotnosti vzorku m_y na čase sušení pri teplotě 200°C



○ vypočítané okamžitá hmotnosť vzorku
● okamžitá hmotnosť zjištenej vážením

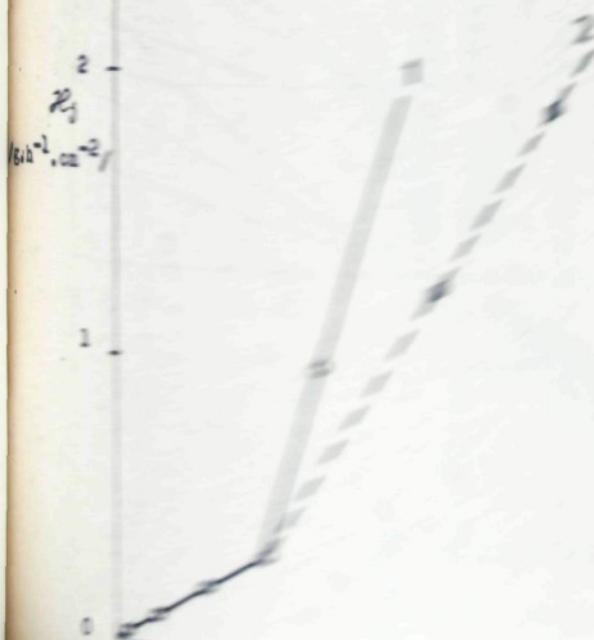
Grafické závislost okamžité hmotnosti vzorku
 m_y na čase sušení při teplotě 200°C



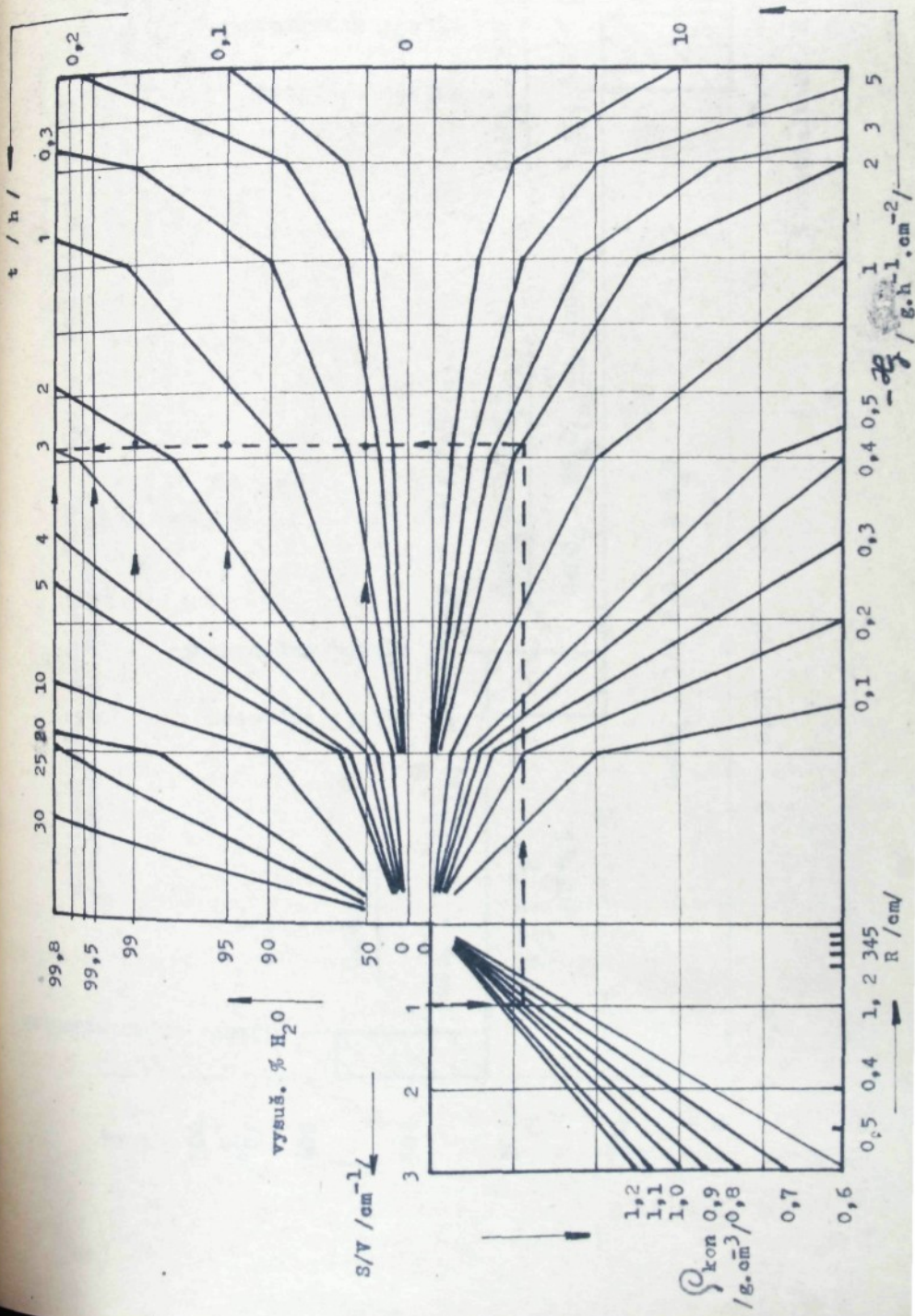
Tabulka hodnot χ_j

Tepelné správy	Teplota /°C/	Součinitel $\chi_j / \text{g} \cdot \text{h}^{-1} \cdot \text{cm}^{-2}/$	Tepl. zpr.	Teplota /°C/	Součinitel $\chi_j / \text{g} \cdot \text{h}^{-1} \cdot \text{cm}^{-2}/$
G = 26 G = 100 G = 200 G = 300 G = 400 G = 500	20	0,009	G = 100 G = 200 G = 300 G = 400 G = 500	150	0,338
	50	0,042		200	0,630
	100	0,150		250	0,950
	150	0,520		300	1,280
	200	1,020		400	1,910
	-	-		500	2,560

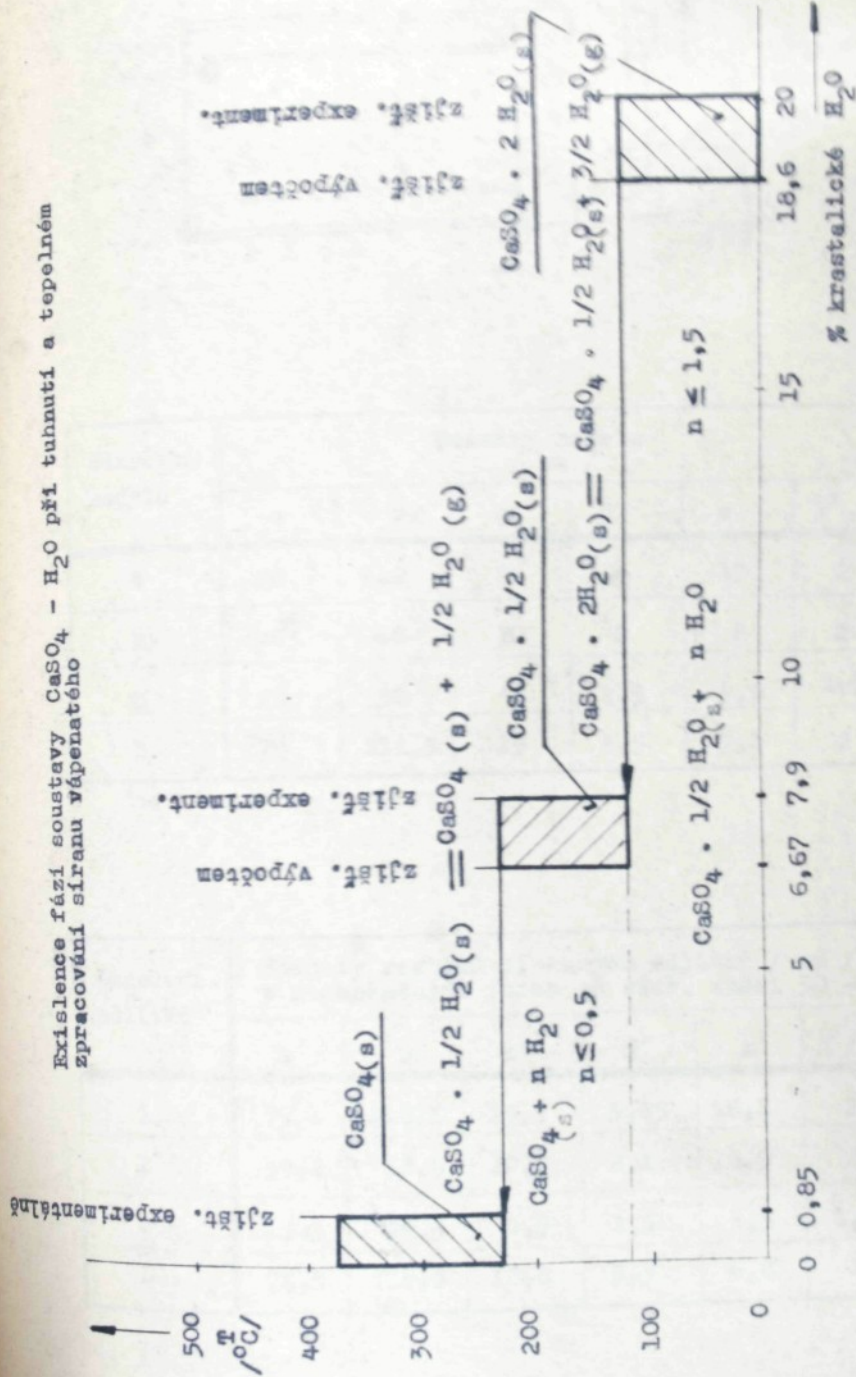
1 - Různým měřením 200 - 26 (s cirkulací atmosf.)
 2 - Různým měřením 200 - PMS 1 (bez cirkulace)

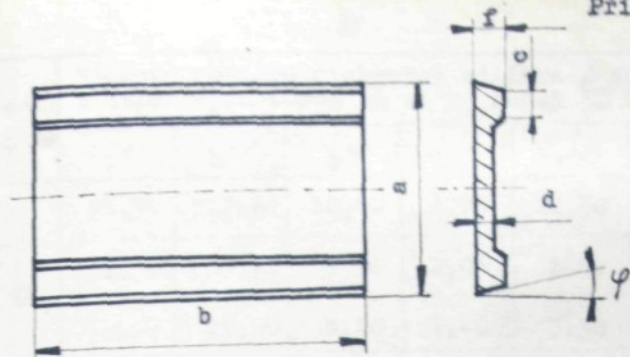


Nomogram sušení



Rušlení fází soustavy $\text{CaSO}_4 - \text{H}_2\text{O}$ při tuhnutí a tepelném zpracování síranu vápenatého

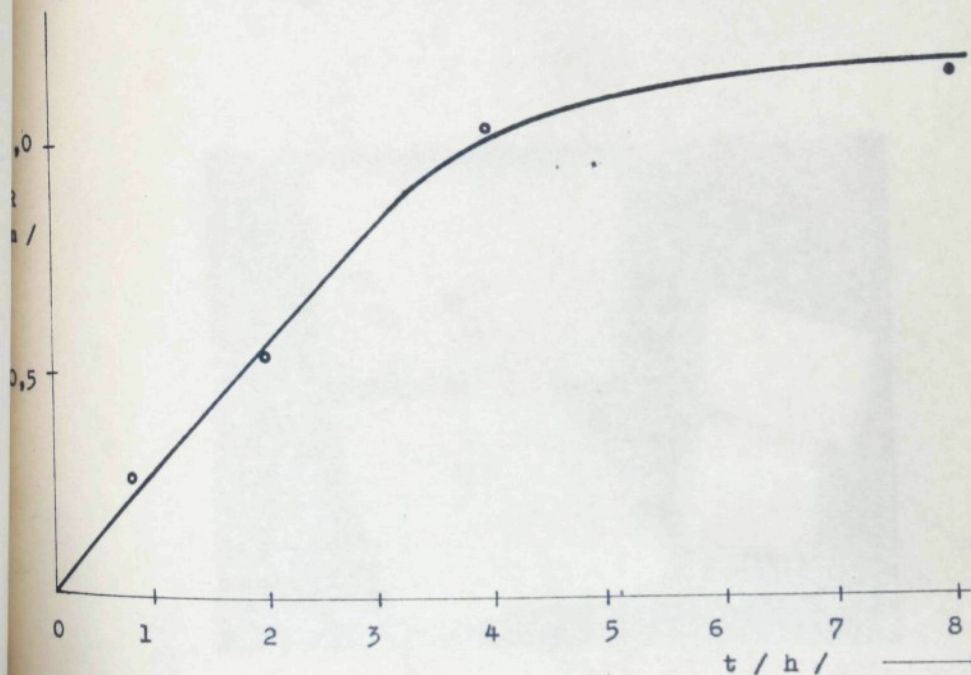




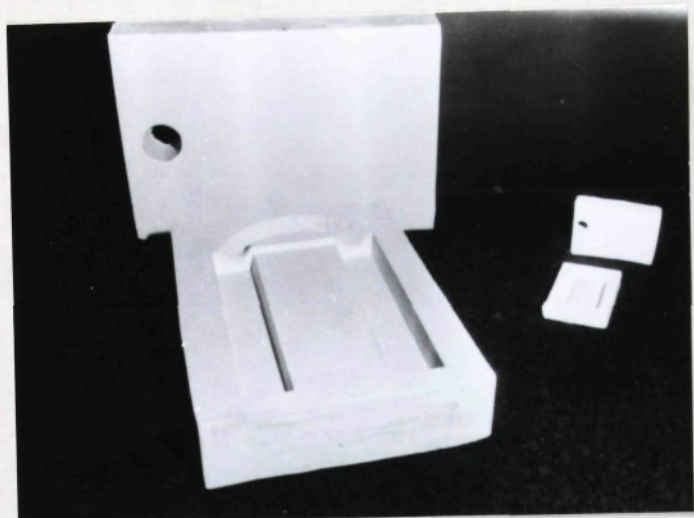
Označení modelů	Rozměry modelu / mm /					
	a	b	c	d	e	φ /°/
A	80	119	20	4	17	2
B	40	60	10	2	8	2
C	20	30	5	1,5	3,7	1,5
D	79	118,5	19	3,5	7,0	2

Označení odlitrků	Hodnoty rozměrů získaných odlitků / mm / z nenapěných forem ze sádr. směsi 50 - 50					
	a'	b'	c'	d'	e'	φ' /°/
A'	79,1	117,1	19,5	3,85	16,8	2
B'	39,2	58,9	10,0	2,1	6,9	2
C'	19,5	29,5	4,5	1,5	3,5	1,5
D'	78,3	117,8	18,8	3,5	6,8	2

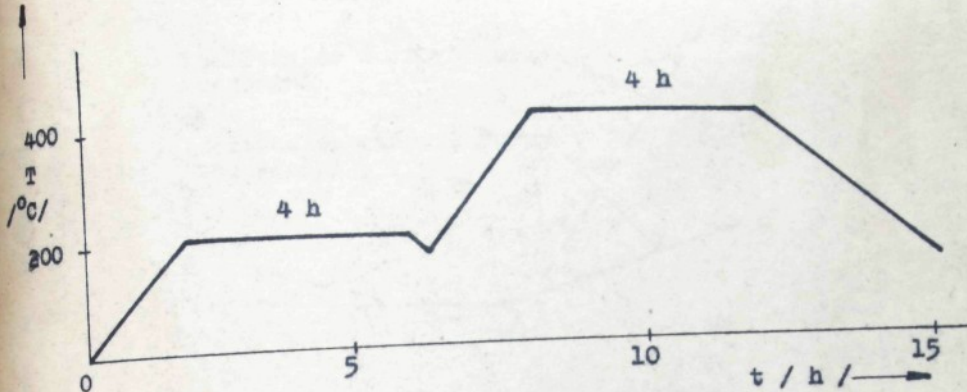
Označení odlitků	Hodnoty rozměrů získaných odlitků / mm / z napěněných forem ze sádr. směsi 50 - 50 N					
	a''	b''	c''	d''	e''	$\varphi''/\%$
A''	78,90	117,60	18,60	3,70	16,50	2
B''	39,30	59,10	9,20	2,05	6,70	2
C''	19,50	29,60	4,20	1,40	3,30	1,5
D''	76,80	117,80	18,10	3,40	6,70	2



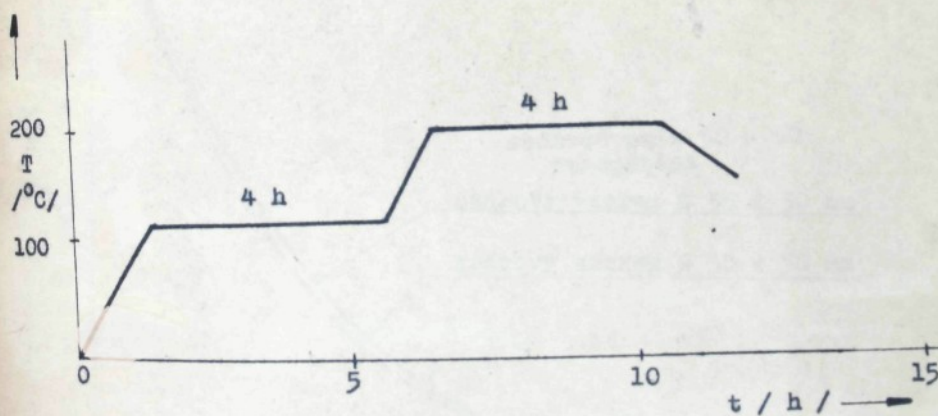
Závislost doby žihání sádrových forem na redukované tloušťce formy při teplotě prodlevy v peci 400°C pro formy nenapěněné a pro formy napěněné při teplotě prodlevy 200°C



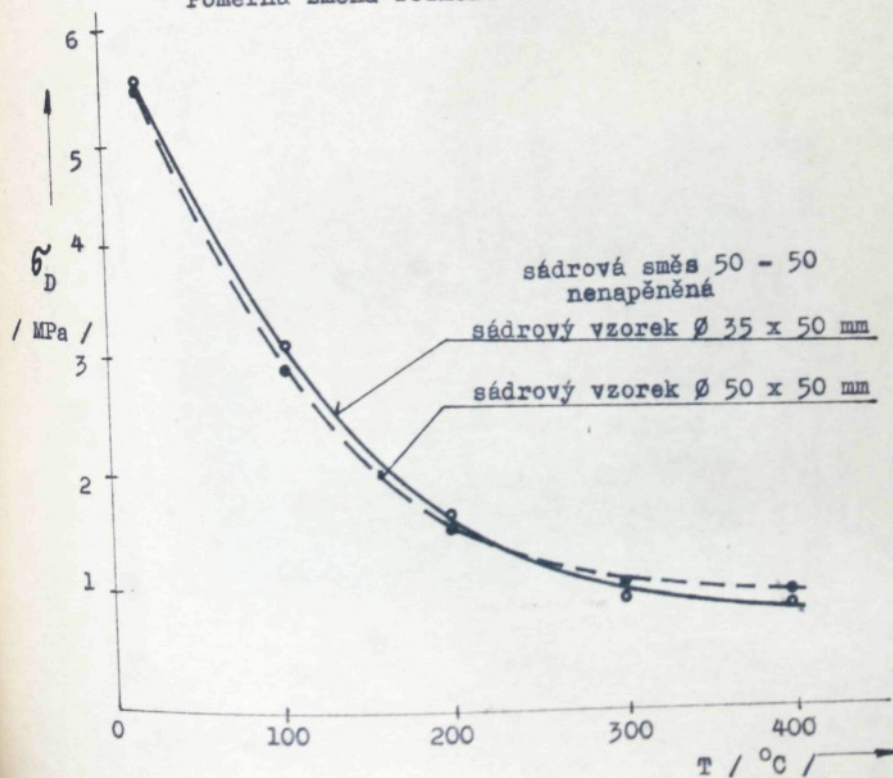
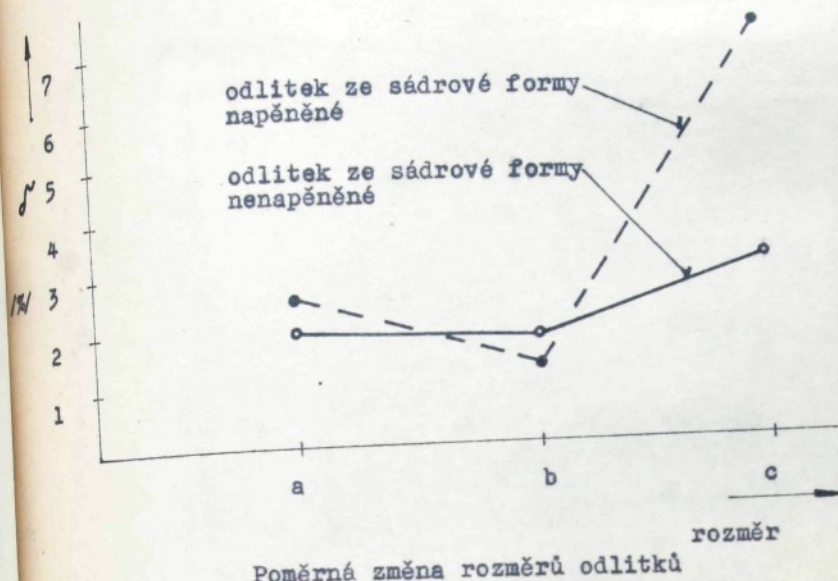
Sádrové formy ze směsi 50 - 50 a 50 - 50 N pro výrobu odlitků tvaru desky



Režim tepelného zpracování forem nenařeněných ze sádrové směsi 50 - 50 velikosti 170 x 116 x 30 mm s vodním poměrem 0,72.



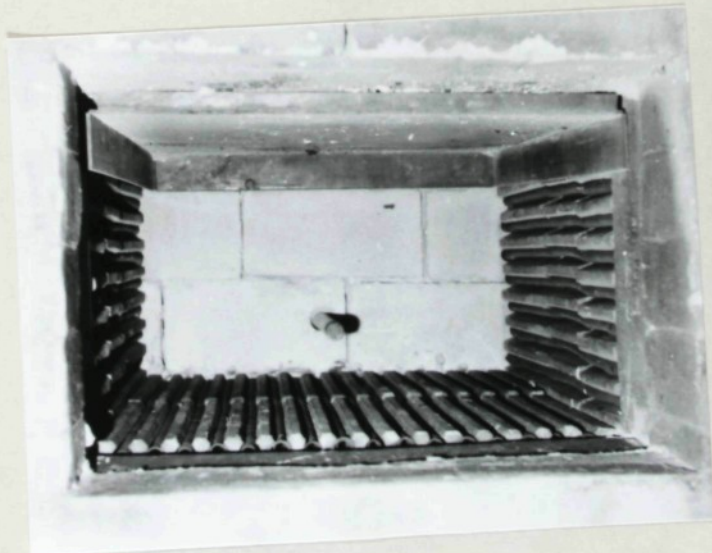
Režim tepelného zpracování forem ze sádrové směsi napěněné 50 - 50 N velikosti 170 x 116 x 30 mm s vodním poměrem 0,70



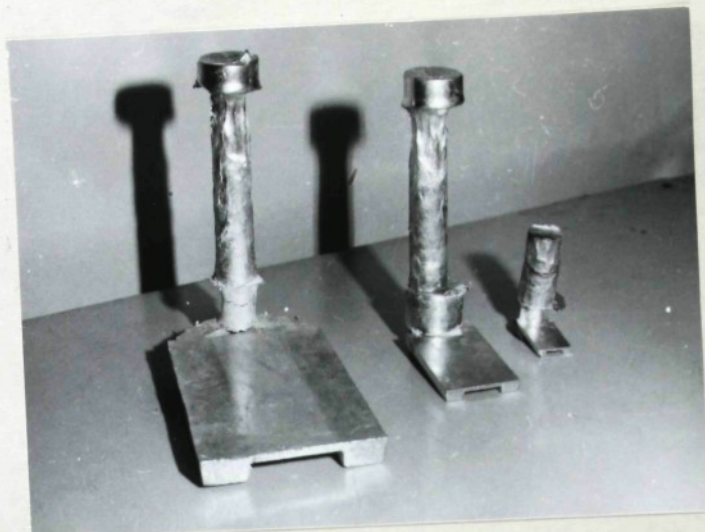
Grafická závislost pevnosti v tlaku sádrového vzorku na teplotě



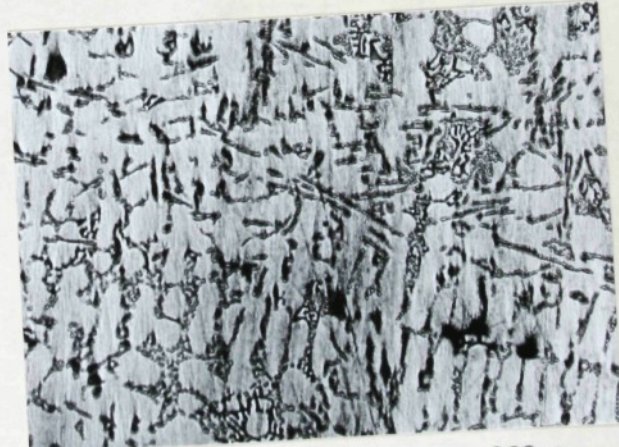
Sušárna STE s regulací do teploty 200°C



Zíhací komorová pec TSE - PEK 1



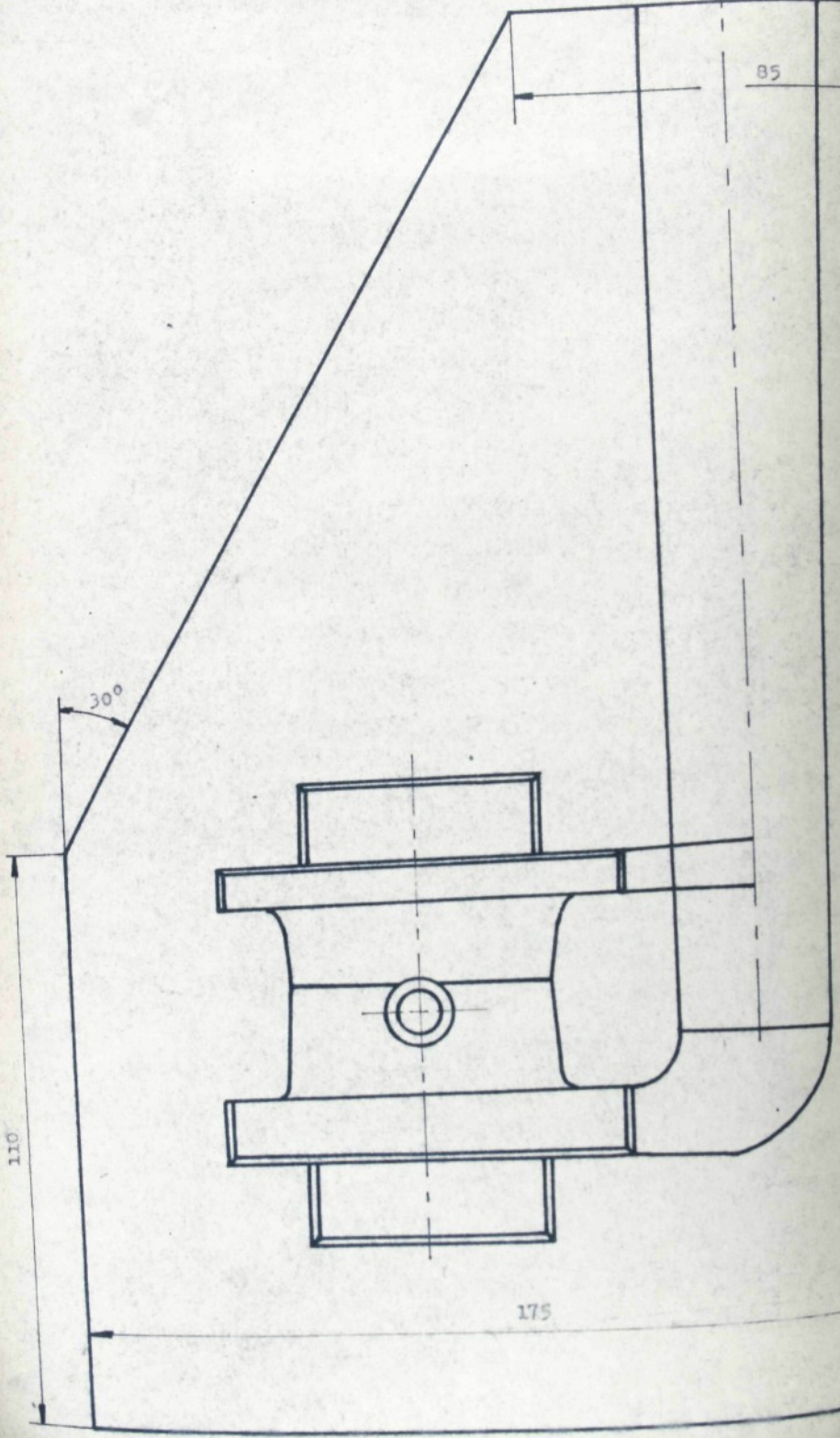
Získané odlitky tvaru desky

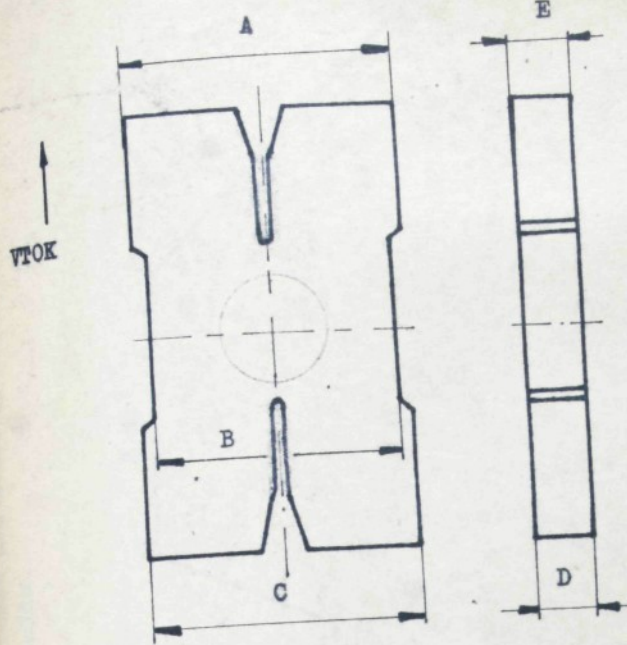


neleptáno

100 x

Mikrostruktura odlitku materiál
ČSN 424331

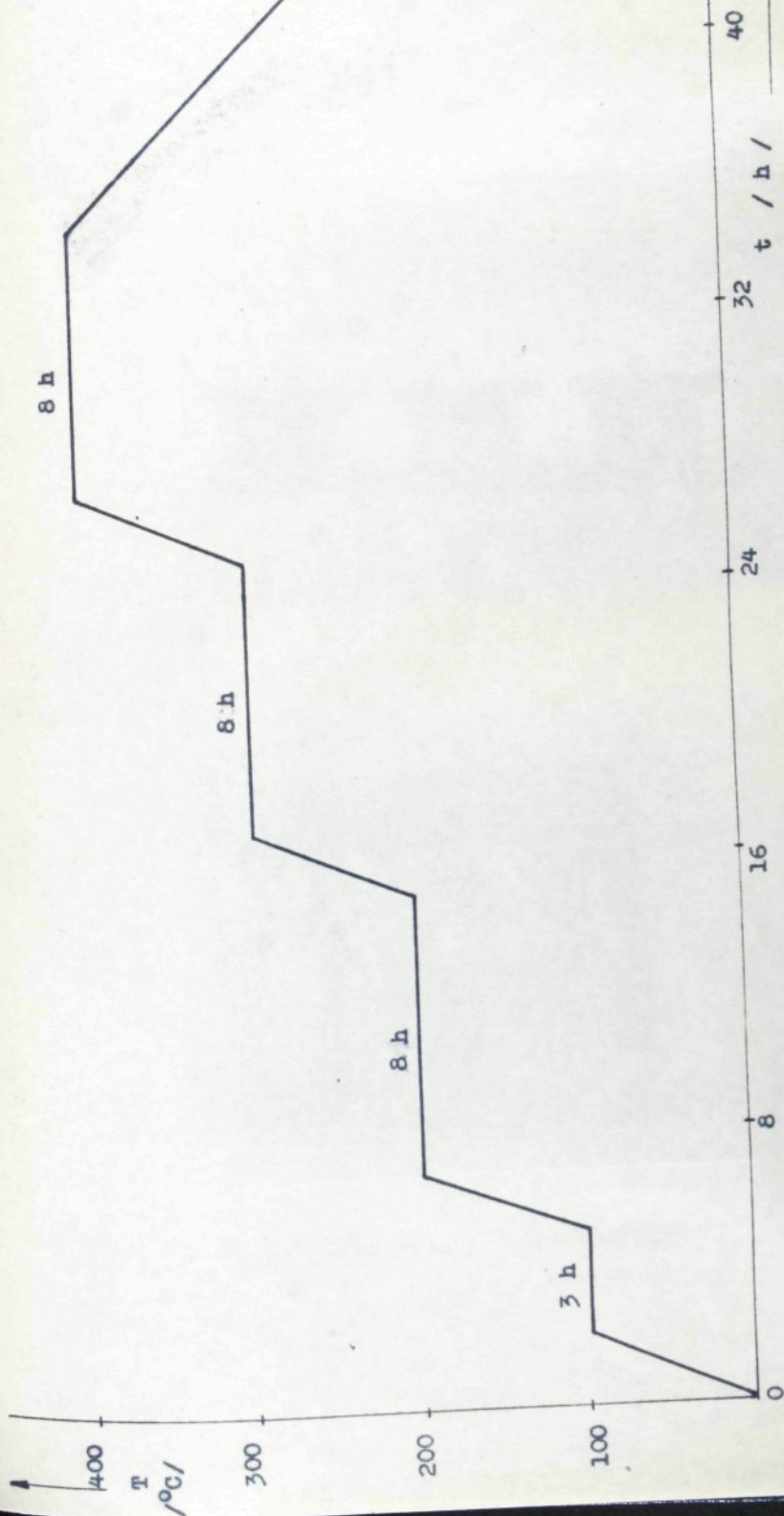


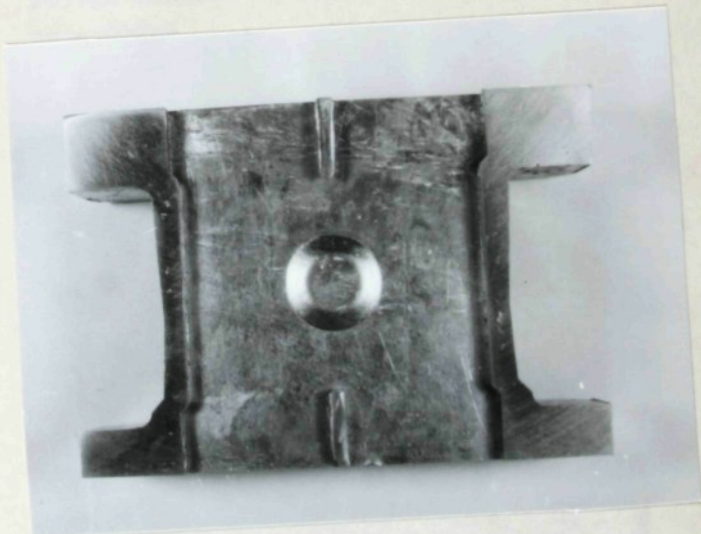
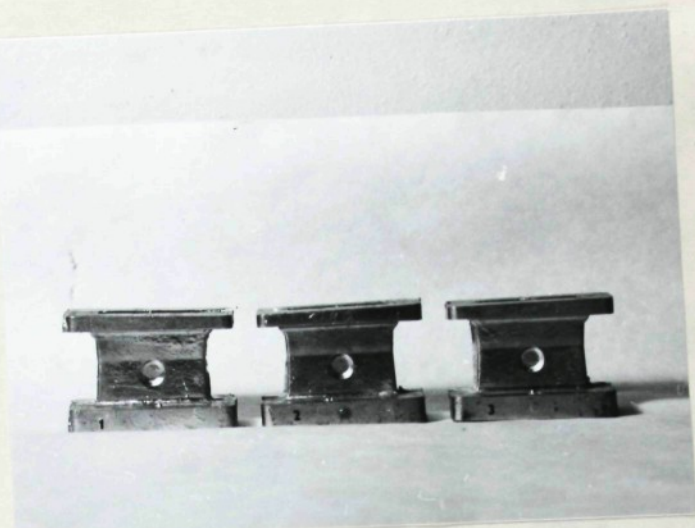


Rozměry
/ mm /

uváděny (naměřeny):	A	B	C	D	E
Výkres:	46,80	44,20	46,80	10,20	10,20
Jaderník:	47,15	44,55	47,15	10,10	10,10
Jádro:	1	47,30	44,70	47,28	10,25
	2	47,37	44,80	47,41	10,26
	3	47,42	44,82	47,41	10,24
Odlitek:	1	46,75	44,40	46,80	10,25
	2	45,55	43,35	45,85	9,90
	3	46,70	43,45	46,75	10,15

Režim tepelného zpracování sádrových forem pro zhotovení
odliliků určených k radiotechnickým účelům



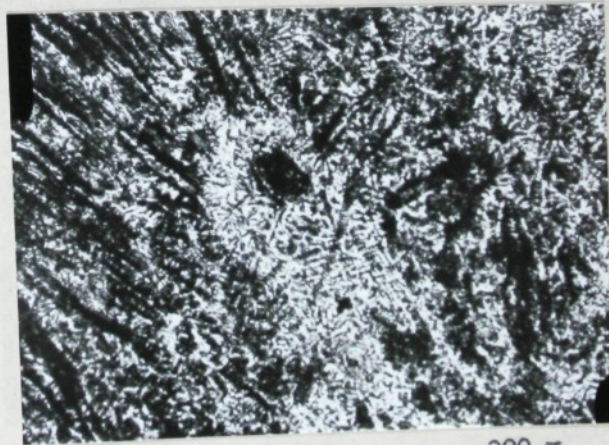


Odlitky používané v radiotechnice



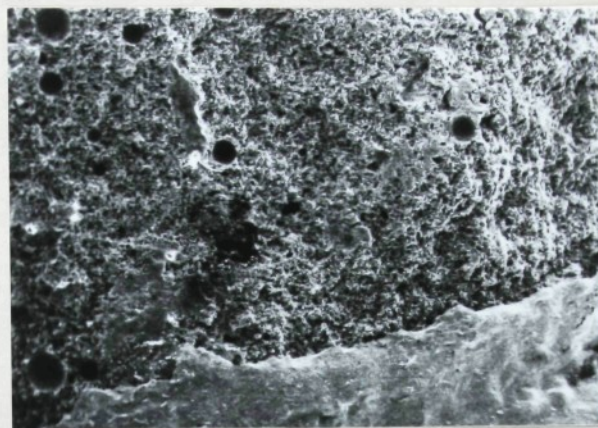
200 x

Povrch odlitku ze sádrové formy 50 - 50
nenapěněné



200 x

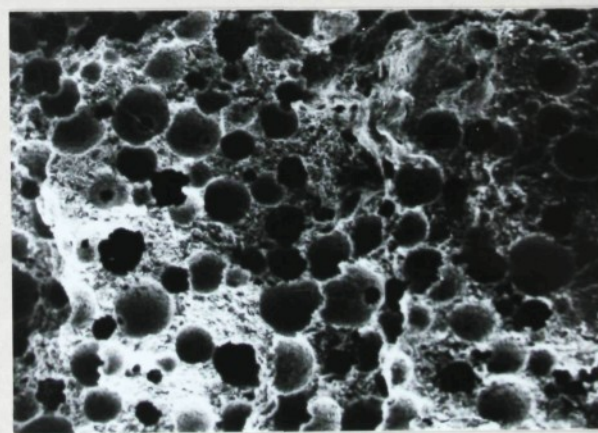
Povrch odlitku ze sádrové formy 50 - 50 N
napěněné



SEM

60 x

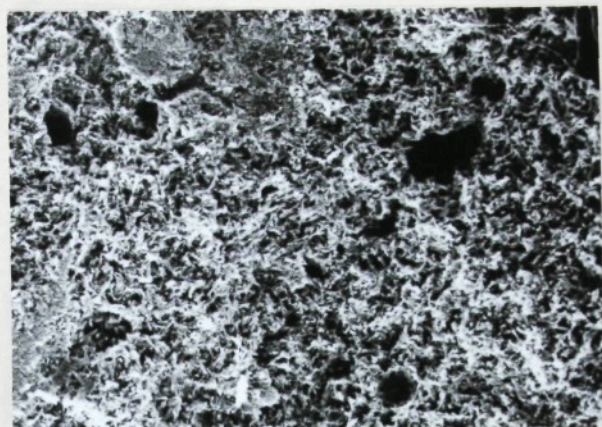
Struktura sádrové formy ze směsi 50 - 50
nenapěněné po tepelném zpracování



SEM

60 x

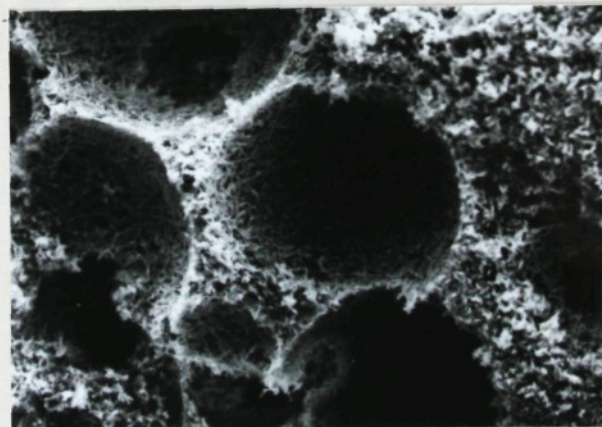
Struktura sádrové formy ze směsi 50 - 50 N
napěněné po tepelném zpracování



SEM

250 x

Struktura sádrové formy ze směsi 50 - 50
nenapěněné po tepelném zpracování



SEM

250 x

Struktura sádrové formy ze směsi 50 - 50 N
napěněné po tepelném zpracování



SEM

5000 x

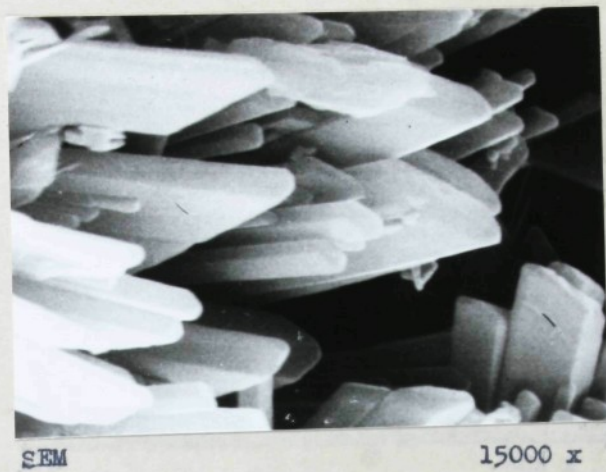
Struktura sádrové formy ze směsi 50 - 50
nenapěněné po tepelném zpracování



SEM

5000 x

Struktura sádrové formy ze směsi 50 - 50 N
napěněné po tepelném zpracování



SEM

15000 x

Struktura sádrové formy ze směsi 50 - 50
nenapěněné po tepelném zpracování



SEM

15000 x

Struktura sádrové formy ze směsi 50 - 50 N
napěněné po tepelném zpracování



SEM

300 x

Povrch odlitku ze sádrové formy 50 - 50
nenapěněné



SEM

2000 x

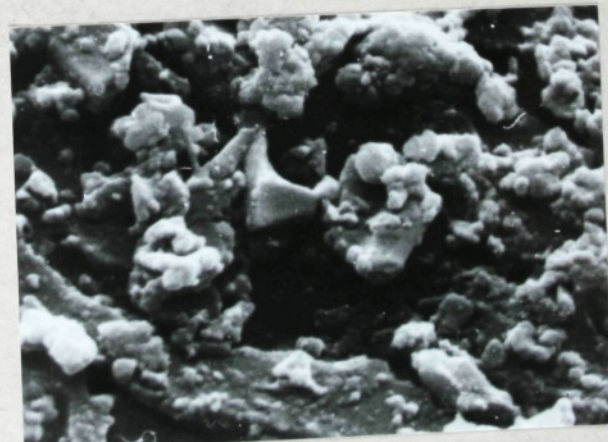
Povrch odlitku ze sádrové formy 50 - 50
nenapěněné



SEM

5000 x

Povrch odlitku ze sádrové formy 50 - 50
nenapěněné



SEM

10000 x

Povrch odlitku ze sádrové formy 50 - 50
nenapěněné



SEM

50 x

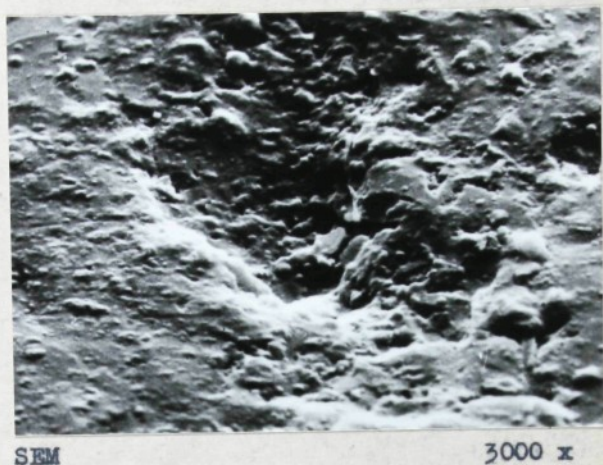
Povrch odlitku ze sádrové formy 50 - 50 N
napěněné



SEM

2000 x

Povrch odlitku ze sádrové formy 50 - 50 N
napěněné



SEM

3000 x

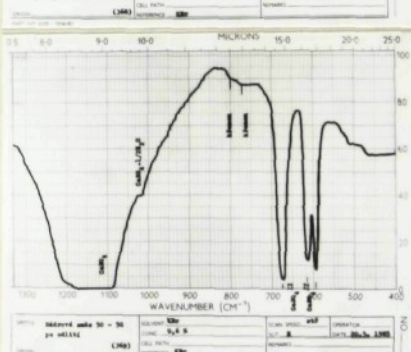
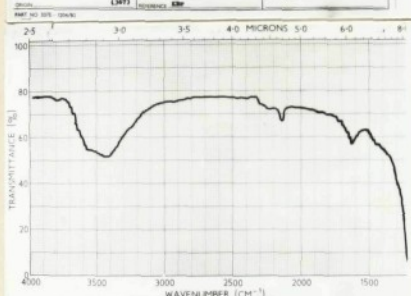
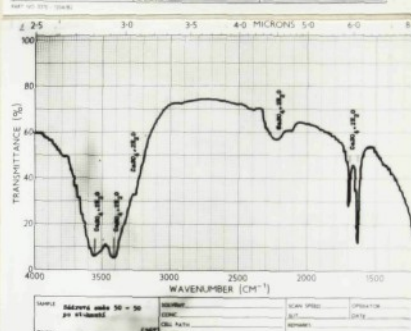
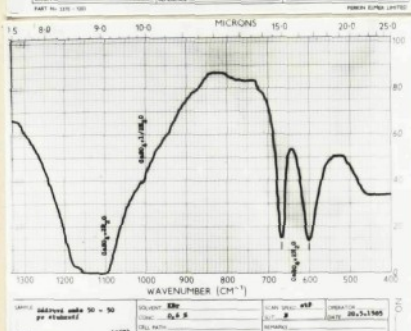
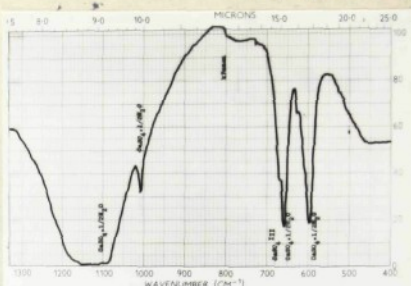
Povrch odlitku ze sádrové formy 50 - 50 N
napěněné



SEM

5000 x

Povrch odlitku ze sádrové formy 50 - 50 N
napěněné



Spektrogramy sádrové směsi 50 - 50 práškové, po ztuhnutí, po tepelném zpracování, po edlití



SEM

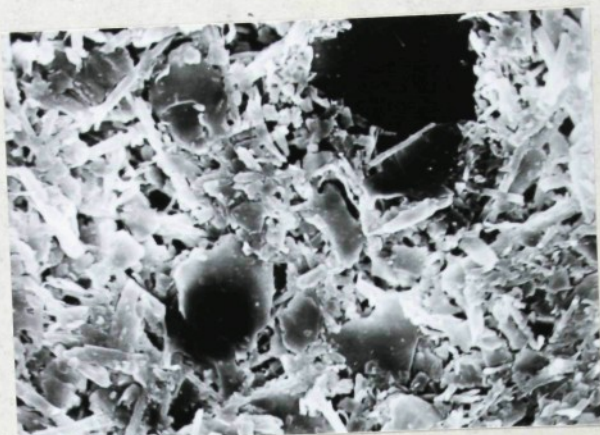
60 x



SEM

2300 x

Krystalická struktura sádrové směsi 50 - 50 po ztuhnutí



SEM

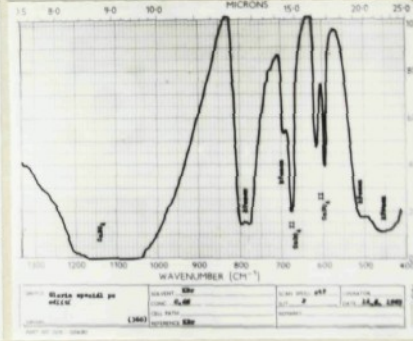
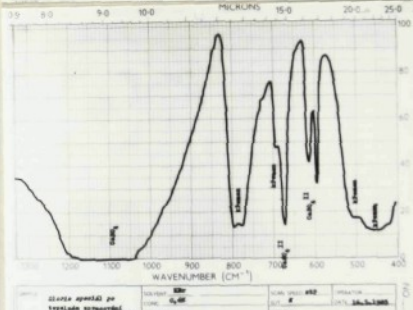
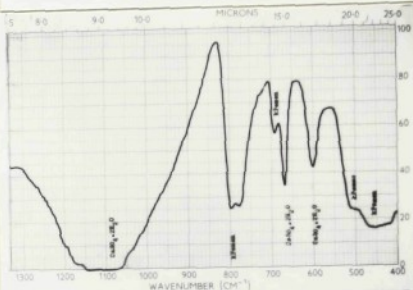
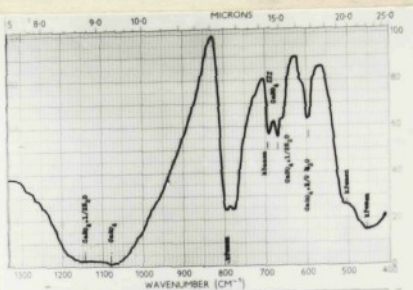
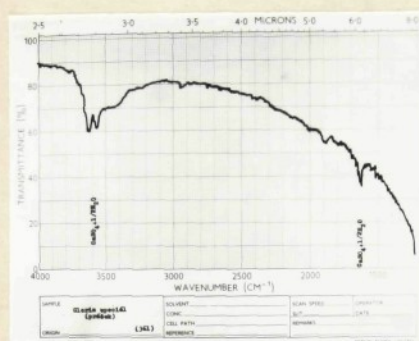
1150 x



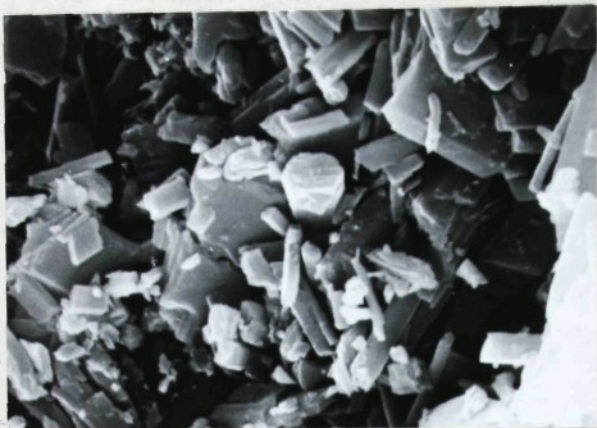
SEM

2600 x

Krystalická struktura sádrové směsi 50 - 50 po odlití
slitiny hliníku

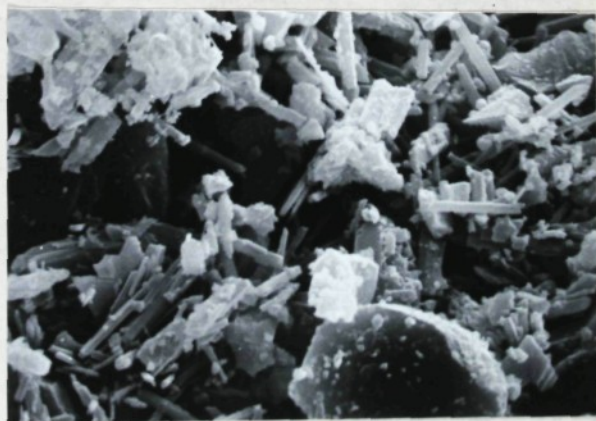


Spektrogramy sádrové směsi Gloria speciál práškové,
po ztuhnutí, po tepelném zpracování, po odlití
slitiny hliníku



SEM

60 x



SEM

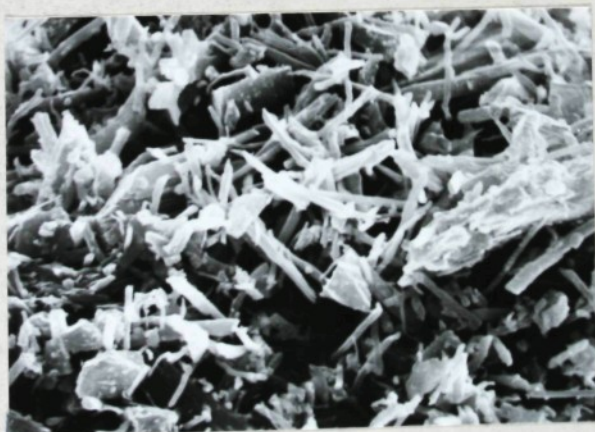
2400 x

Krystalická struktura sádrové směsi Gloria po ztuhnutí



SEM

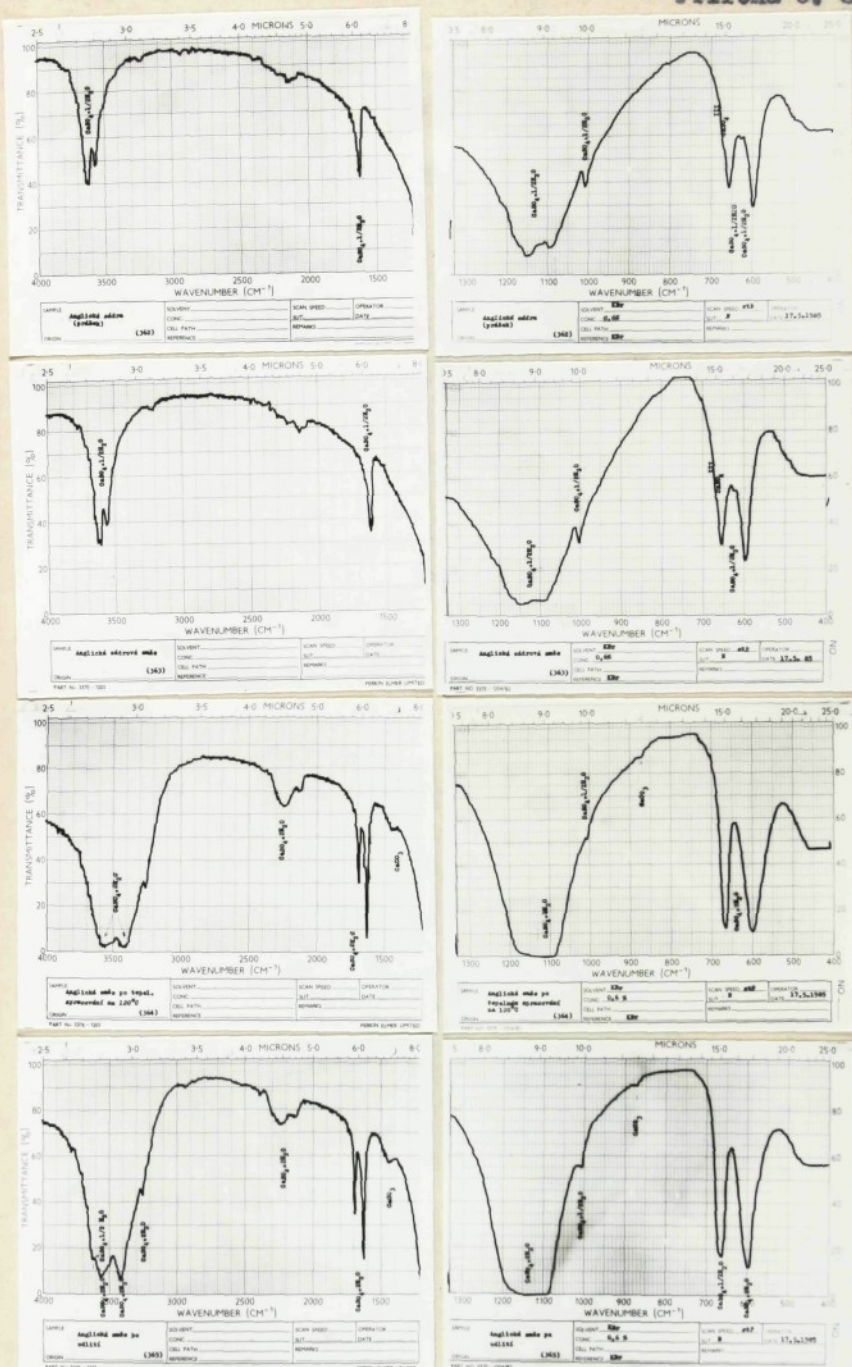
1120 x



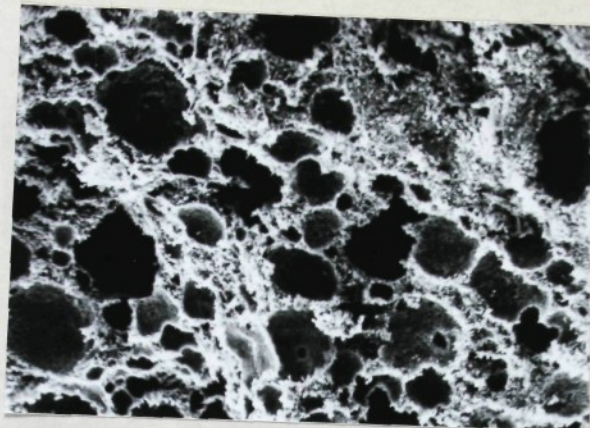
SEM

2200 x

Krystalická struktura sádrové směsi Gloria speciál
po odlití slitiny hliníku

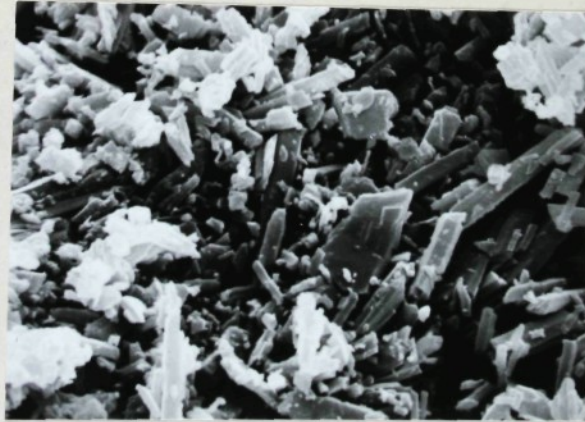


Spektrogramy anglické sádry práškové, anglické sádrové směsi práškové, po ztuhnutí, po odlití



SEM

60 x



SEM

1100 x

Krystalická struktura anglické sádrové směsi po odlití
slitiny hliníku



SEM

2100 x



SEM

5400 x

Krystalická struktura anglické sádrové směsi po odlití
slitiny hliníku